

**BİKOMPONENT KÖPÜK İPLİKLERLE KUMAŞ  
YAPILARININ TERMAL VE AKUSTİK  
ÖZELLİKLERİİNİN İYİLEŞTİRİLMESİ**

**Rumeysa ÇELEN**



T.C.  
BURSA ULUDAĞ ÜNİVERSİTESİ  
FEN BİLİMLERİ ENSTİTÜSÜ

**BİKOMPONENT KÖPÜK İPLİKLERLE KUMAŞ YAPILARININ TERMAL VE  
AKUSTİK ÖZELLİKLERİİNİN İYİLEŞTİRİLMESİ**

**Rumeysa ÇELEN**  
0000-0002-2972-8295

Prof. Dr. Yusuf ULCAY  
(Danışman)

DOKTORA TEZİ  
TEKSTİL MÜHENDİSLİĞİ ANABİLİM DALI

BURSA – 2021  
**Her Hakkı Saklıdır**

## ÖZET

Doktora Tezi

### BİKOMPONENT KÖPÜK İPLİKLERLE KUMAŞ YAPILARININ TERMAL VE AKUSTİK ÖZELLİKLERİNİN İYİLEŞTİRİLMESİ

**Rumeysa ÇELEN**

Bursa Uludağ Üniversitesi  
Fen Bilimleri Enstitüsü  
Tekstil Mühendisliği Anabilim Dalı

**Danışman:** Prof. Dr. Yusuf ULCAY

Bu tez çalışmasında düşük yoğunluklu polietilen köpük polimerden ilk defa sentetik iplik üretiminde yararlanılmıştır. İpliklerin üretiminde, yenilikçi lif üretim teknolojilerinden biri olan bikomponent lif üretim tekniği kullanılmıştır. Köpük polimerler düşük yoğunluğu, gözenekli yapısı, düşük termal iletkenlik katsayısı ve iyi ses yutuculuk özelliği gibi avantajlı özelliklerini nedeniyle pek çok endüstride kullanılmaktadır. Bu özelliklerinden teknik tekstil alanında da yararlanmak amacıyla bikomponent iplik içerisinde katkı olarak kullanarak bikomponent ipliklere ve bu ipliklerden üretilen yüzeylere kazandırdığı özellikler incelenmiştir.

İç içe bikomponent iplik üretiminde iç kısmda üç farklı katkı oranında düşük yoğunluklu polietilen köpük, dış kısmda ise polipropilen polimeri kullanılmıştır. Bikomponent ipliklerin özellikleri, iplik numarası, mukavemet, uzama gibi fiziksel testlerin yanı sıra taramalı elektron mikroskopu, diferansiyel taramalı kalorimetre gibi karakterizasyon yöntemleri ile test edilmiştir. Bikomponent ipliklerin ısı yalıtımları ve akustik özelliklerini inceleyebilmek için bikomponent ipliklerden örme kumaşlar üretilmiştir. Örme kumaşların kalınlık, gramaj gibi fiziksel özelliklerinin yanı sıra iki farklı standarda göre termal iletkenlik katsayıları ve ses yutuculuk katsayıları tespit edilmiştir. Bunlara ek olarak iplik ve kumaş numunelerinden elde edilen sonuçlar istatistiksel analize tabi tutuldu. Artan köpük polimer katkı oranı ile, kumaşların termal iletkenlik katsayıları azalmış, ses yutuculuk katsayıları ise artmıştır. En düşük termal iletkenlik katsayısı en yüksek katkı oranı ile üretilen kumaş ile  $0,060 \text{ W/mK}$  olarak elde edilmiştir. Ses yutuculuk katsayısı ise benzer şekilde en yüksek katkı orانına sahip kumaşa %64 oranında artmıştır.

**Anahtar Kelimeler:** Bikomponent iplik, polietilen köpük, termal yalıtım, ses yutuculuk  
**2021, xviii + 151 sayfa.**

## **ABSTRACT**

PhD Thesis

### **IMPROVEMENT OF THERMAL AND ACOUSTIC PROPERTIES OF FABRICS PRODUCED BY BICOMPONENT FOAM YARNS**

**Rumeysa ÇELEN**

Bursa Uludağ University  
Graduate School of Natural and Applied Sciences  
Department of Textile Engineering

**Supervisor:** Prof. Dr. Yusuf ULCAY

In this thesis, low-density polyethylene polymer foam was used for the first time in the production of synthetic yarn. Bicomponent fiber production technique, which is one of the innovative fiber production technologies, was used in the production of the yarns. Polymer foams are used in many industries due to their advantageous properties such as low density, porous structure, low thermal conductivity coefficient, and good sound absorption properties. To benefit from these properties in the field of technical textiles, it was used as an additive in the bicomponent yarn, and the properties it gave to the bicomponent yarns, and the surfaces produced from these yarns were examined.

In the production of core/ sheath bicomponent yarns, low-density polyethylene foam was used at the core section with three different additive ratios, and polypropylene polymer was used at the sheath section. The properties of bicomponent yarns were tested with physical tests such as yarn count, tenacity, and elongation, as well as characterization methods such as scanning electron microscopy and differential scanning calorimetry. To examine the thermal insulation and acoustic properties of bicomponent yarns, knitted fabrics were produced from bicomponent yarns. In addition to the physical properties of knitted fabrics such as thickness and weight, thermal conductivity coefficients according to two different standards and sound absorption coefficients were determined. In addition, the results obtained from yarn and fabric samples were subjected to statistical analysis. With the increasing foam polymer additive ratio, the thermal conductivity coefficients of the fabrics decreased, and the sound absorption coefficients increased. The lowest thermal conductivity coefficient was obtained as 0,060 W/mK with the fabric produced with the highest additive ratio. Similarly, the sound absorption coefficient increased by 64% in the fabric with the highest additive ratio.

**Key words:** Bicomponent yarn, polyethylene foam, thermal insulation, sound absorption.  
**2021, xviii + 151 pages.**

## **TEŞEKKÜR**

Doktora çalışmalarım süresince, bu tezin yürütülmesinde ve değerlendirilmesinde emeği geçen, desteğini her zaman yanında hissettiğim doktora danışmanım Prof. Dr. Yusuf ULCAY'a, değerli görüşlerini ve vaktini her zaman benimle paylaşan Dr. Öğr. Üyesi Fatih SÜVARİ' ye ve tez çalışmasıyla ilgili görüş ve önerileriyle katkı sağlayan Prof. Dr. Ömer KAYNAKLI' ya teşekkürlerimi sunarım.

Tezde kullandığım düşük yoğunluklu polietilen köpük malzemenin teminini sağlayan Durfoam İzolasyon ve Ambalaj San. Tic. A.Ş firması yetkililerine teşekkürlerimi sunarım.

Tez çalışmam süresince değerli fikirlerini benden esirgemeyen ve doktora eğitimim süresince de tez dışı ortak çalışmalarında bulduğum değerli dostum ve çalışma arkadaşım Arş. Gör. Gizem MANASOĞLU' na, bölüm laboratuvarımızdaki ölçümlerimde bilgi birikimi ve tecrübesiyle destek veren Yük. Müh. Mehmet TİRİTOĞLU' na, Tekstil Mühendisliği Bölümü'ndeki tüm saygıdeğer hocalarıma ve çalışma arkadaşlarına teşekkürlerimi sunarım.

Tüm bu süreç boyunca varlığıyla bana güç veren ve her konuda destek olan sevgili eşim ve meslektaşım Yük. Müh. Onur ÇELEN' e ve başta canım annem olmak üzere tüm aileme teşekkürlerimi sunarım.

Rumeysa ÇELEN  
24/11/2021

## İÇİNDEKİLER

	Sayfa
ÖZET.....	iii
ABSTRACT .....	iv
TEŞEKKÜR .....	v
SİMGELER ve KISALTMALAR DİZİNİ .....	xi
ŞEKİLLER DİZİNİ.....	x
ÇİZELGELER DİZİNİ .....	xv
1. GİRİŞ.....	1
2. KURAMSAL TEMELLER ve KAYNAK ARAŞTIRMASI.....	4
2.1. Bikomponent Lifler.....	4
2.1.1. Bikomponent lif tanımı .....	4
2.1.2. Bikomponent lif üretim yöntemleri.....	4
2.1.3. Bikomponent lif üretimiyle ilgili yapılan son çalışmalar.....	8
2.2. Köpük Polimerler .....	12
2.2.1. Köpük polimerlerin kısa tarihçesi .....	12
2.2.2. Köpük polimer nedir? .....	13
2.2.3. Köpük polimerlerin sınıflandırılması.....	15
2.2.4. Köpük polimerlerin özellikleri .....	17
2.2.5. Köpük polimerlerin üretimi .....	22
2.2.6. Poliolefin köpükler.....	25
2.2.7. Köpük polimerlerin tekstilde kullanımıyla ilgili son çalışmalar.....	30
2.3. Isı Yalıtımı .....	32
2.3.1. Isı transfer mekanizmaları.....	32
2.3.2. Isı yalıtmının faydaları .....	34
2.3.3. Yapıarda ısıl kazanç-kayıplar ve ısı yalıtımı gerektiren yerler .....	35
2.3.4. Isı yalıtım malzemeleri.....	36
2.3.5. Tekstilde ısı yalıtım uygulamalarıyla ilgili son çalışmalar.....	38
2.4. Ses Yalıtımı.....	40
2.4.1. Ses ile ilgili temel kavramlar.....	40
2.4.2. Gürültü .....	41
2.4.3. Ses yalıtmının faydaları ve uygulama alanları.....	42
2.4.4. Ses yalıtım malzemeleri .....	43
2.4.5. Gözenekli malzemelerle ses yutumu.....	44
2.4.6. Tekstilde ses yalıtım uygulamalarıyla ilgili son çalışmalar.....	46
3. MATERİYAL ve YÖNTEM.....	50
3.1. Materyal.....	50
3.2. İç içe monofilament bikomponent iplik üretim yöntemi.....	50
3.3. Monofilament bikomponent ipliklerden örme kumaş üretimi .....	54
3.4. Kullanılan polimer ve ipliklere uygulanan test ve karakterizasyon yöntemleri.....	54
3.4.1. İplik doğrusal yoğunluğu (iplik numarası) tayini.....	54
3.4.2. Enine ve boyuna kesit optik mikroskop analizi.....	55
3.4.3. Taramalı elektron mikroskop (SEM) analizi.....	55
3.4.4. Mukavemet ve uzama testleri.....	55
3.4.5. Diferansiyel taramalı kalorimetre (DSC) analizi.....	55
3.5. Örme Kumaşlara Uygulanan Test ve Karakterizasyon Yöntemleri.....	56
3.5.1. Örme kumaşlara uygulanan fiziksel testler.....	56
3.5.2. Termal iletkenlik katsayıları ölçümleri.....	57

3.5.3. Ses yutum katsayısı ölçümleri.....	58
3.6. İstatiksel Analiz.....	60
4. BULGULAR ve TARTIŞMA.....	64
4.1. Çalışmada Kullanılan Polimerlerin DSC Sonuçları.....	64
4.2. İplik Doğrusal Yoğunluğu (İplik Numara) Tayini Sonuçları .....	66
4.3. Enine ve Boyuna Kesit Optik Mikroskop Analiz Sonuçları.....	72
4.4. SEM Analizi Sonuçları.....	78
4.5. Mukavemet ve Uzama Test Sonuçları.....	81
4.6. Bikomponent İpliklerin DSC Analiz Sonuçları.....	97
4.7. Bikomponent İpliklerden Üretilen Örme Kumaşların Kalınlık ve Birim Alan Ağırlığı (Gramaj) Sonuçları.....	116
4.8. Bikomponent İpliklerden Üretilen Örme Kumaşların Optik Mikroskop Görüntüleri.....	117
4.9. Bikomponent İpliklerden Üretilen Örme Kumaşların Hava Geçirgenliği Sonuçları.....	119
4.10. Bikomponent İpliklerden Üretilen Örme Kumaşların Termal İletkenlik Katsayısı Sonuçları.....	122
4.11. Bikomponent İpliklerden Üretilen Örme Kumaşların Ses Yutum Katsayısı Sonuçları.....	128
5. SONUÇ .....	134
KAYNAKLAR .....	135
ÖZGEÇMİŞ .....	149

## SİMGELER ve KISALTMALAR DİZİNİ

<b>Simgeler</b>	<b>Açıklama</b>
$\phi$	Nispi yoğunluk ( $\text{kg}/\text{m}^3$ )
d	Ortalama hücre çapı
t	Ortalama kırış uzunluğu
$\rho$	Yoğunluk
$\rho_f$	Köpüğün yoğunluğu
$\rho_s$	Polimerin yoğunluğu
$\varphi$	Hacimsel fraksiyon
$M_f$	Köpüğün modülü
$M_p$	Polimerin modülü
X	Kapalı hücre fraksiyonu
f	Köpük
p	Polimer
k, $\lambda$	Isı iletim katsayısı ( $\text{W}/\text{mK}$ )
A	Alan ( $\text{m}^2$ )
$q_{taş}$	Taşınımıla transfer edilen ısı akışı
E	Materyalin yaydığı ısı enerjisi
$\sigma_s$	Stefan-Boltzman sabiti ( $\text{W}/\text{m}^2\text{K}^4$ )
$\lambda$	Dalga boyu
$\Delta H_{erime}$	Erime entalpisi
$\Delta H_m$	Polipropilen için referans erime entalpisi
wf	Ağırlık oranı
t	Süre
T	Sıcaklık (K)
q	Birim uzunluk için ısı değeri ( $\text{W}/\text{m}$ )
Q	Isı transferi
$\lambda_t$	Sıcaklık farkı
h	Kalınlık
<b>Kısaltmalar</b>	<b>Açıklama</b>
PA	Poliamid
PET	Polietilen tereftalat
PP	Polipropilen
PS	Polistiren
PVA	Polivinil alkol
PEG	Polietilen glikol
PVDF	Polivinilden florür
PE	Polietilen
CNT	Karbon nanotüp
XRD	X-ışını difraktometresi
TEM	Transmisyon elektron mikroskopu
DSC	Diferansiyel taramalı kalorimetre
SEM	Taramalı elektron mikroskopu
PNN	Poli N-izopropilakrilamid-ko-N metilolakrilamid

PEDOT:PSS	Poli (3,4-etilendioksitiofen): poli (stiren sülfonat)
PBS	Polibütilen süksinat
HDPE	Yüksek yoğunluklu polietilen
LDPE	Düşük yoğunluklu polietilen
EVA	Etilen vinil asetat
FT-IR	Fourier dönüşümlü kızıl ötesi spektrometresi
TGA	Termogravimetrik analiz
PLA	Poli laktik asit
PLLA	Poli-L laktik asit
UV-vis	Ultraviyole görünürlük bölge
WAXD	Geniş açılı x-ışını diffraktometresi
BaTiO <sub>3</sub>	Baryum titanat
PI	Poliimid
PBT	Polibütilen tereftalat
TPU	Termoplastik poliüretan
CA	Selüloz asetat
CO <sub>2</sub>	Karbon dioksit
CFC	Kloro floro karbon
TCFM	Tri kloro floro metan
N <sub>2</sub>	Nitrojen
ADC	Azo dikarbon amid
HCFC	Hidro kloro floro karbon
EMA	Etil metakrilat
SWCNT	Tek duvarlı karbon nanotüp
UV	Ultraviyole
CB	Karbon siyahı
ANOVA	Varyans analizi
SNK	Student-Newman-Keuls testi
dB	Desibel
kHz	Kilo hertz
Hz	Hertz
kN	Kilo Newton
N	Newton
kV	Kilo volt
kPa	Kilo paskal
MPa	Mega paskal
rpm	Dakikadaki devir sayısı
m	metre
mm	milimetre
nm	nanometre
H <sub>0</sub>	Orijinal hipotez
H <sub>A</sub>	Alternatif hipotez

## ŞEKİLLER DİZİNİ

	<b>Sayfa</b>
Şekil 2.1. Yaygın kullanılan bikomponent lif üretim yöntemlerinin şematik çizimleri.....	5
Şekil 2.2. Yan yana bikomponent liflere ait kesit görüntüleri.....	5
Şekil 2.3. Yan yana bikomponent liflere ait kesit görüntüleri.....	6
Şekil 2.4. Deniz ada bikomponent liflerin kesit görünümü.....	7
Şekil 2.5. Dilimli pasta bikomponent liflerin kesit görünümü.....	8
Şekil 2.6. Bir köpük için şematik sıkıştırma gerilim-gerinim eğrisi.....	19
Şekil 2.7. Farklı malzemelerin ısı iletim katsayısı değerleri.....	33
Şekil 2.8. Isı yalıtım malzemelerinin sınıflandırılması.....	38
Şekil 3.1. Bikomponent lif üretim makinesi ve bölümleri.....	51
Şekil 3.2. LDPE köpük polimeri katkılı bikomponent lif üretim denemelerinden bazı görüntüler.....	53
Şekil 3.3. Mettler Toledo Stare System DSC 823e cihazı.....	56
Şekil 3.4. QTM-710 termal iletkenlik katsayısı ölçüm cihazı.....	57
Şekil 3.5. Alambeta termal iletkenlik ölçüm cihazının ve bölümlerinin şematik gösterimi.....	58
Şekil 3.6. Ses yutum katsayısı cihazının şematik gösterimi.....	59
Şekil 4.1. Polipropilen cipsin DSC eğrisi.....	64
Şekil 4.2. Sarı polietilen cipsin DSC eğrisi.....	65
Şekil 4.3. Mavi polietilen cipsin DSC eğrisi.....	65
Şekil 4.4. Yeşil polietilen cipsin DSC eğrisi.....	65
Şekil 4.5. Pembe polietilen cipsin DSC eğrisi.....	66
Şekil 4.6. 5/1 dış/ iç ekstrüder besleme oranında üretilen bikomponent ipliklerin numara sonuçları.....	67
Şekil 4.7. 5/2 dış/ iç ekstrüder besleme oranında üretilen bikomponent ipliklerin numara sonuçları.....	67
Şekil 4.8. 4/2 dış/ iç ekstrüder besleme oranında üretilen bikomponent ipliklerin numara sonuçları.....	68
Şekil 4.9. 0.2/0.2 dış/ iç ekstrüder besleme oranında üretilen bikomponent ipliklerin numara sonuçları.....	69
Şekil 4.10. 0.4/0.2 dış/ iç ekstrüder besleme oranında üretilen bikomponent ipliklerin numara sonuçları.....	70
Şekil 4.11. 0.3/0.3 dış/ iç ekstrüder besleme oranında üretilen bikomponent ipliklerin numara sonuçları.....	70
Şekil 4.12. 0.6/0.3 dış/ iç ekstrüder besleme oranında üretilen bikomponent ipliklerin numara sonuçları.....	71
Şekil 4.13. 0.4/0.4 dış/ iç ekstrüder besleme oranında üretilen bikomponent ipliklerin numara sonuçları.....	71
Şekil 4.14. 5/1 dış/ iç ekstrüder besleme oranında üretilen bikomponent ipliklerin enine kesit optik mikroskop görüntüleri.....	73
Şekil 4.15. 5/2 dış/ iç ekstrüder besleme oranında üretilen bikomponent ipliklerin enine kesit optik mikroskop görüntüleri.....	73
Şekil 4.16. 4/2 dış/ iç ekstrüder besleme oranında üretilen bikomponent ipliklerin enine kesit optik mikroskop görüntüleri.....	73
Şekil 4.17. 5/1 dış/ iç ekstrüder besleme oranında üretilen bikomponent ipliklerin boyuna kesit optik mikroskop görüntüleri.....	74
Şekil 4.18. 5/2 dış/ iç ekstrüder besleme oranında üretilen bikomponent ipliklerin boyuna	

kesit optik mikroskop görüntüleri.....	74
Şekil 4.19. 4/2 dış/ iç ekstrüder besleme oranında üretilen bikomponent ipliklerin boyuna kesit optik mikroskop görüntüleri.....	74
Şekil 4.20. 0.2/0.2 dış/ iç ekstrüder besleme oranında üretilen bikomponent ipliklerin enine kesit optik mikroskop görüntüleri.....	75
Şekil 4.21. 0.4/0.2 dış/ iç ekstrüder besleme oranında üretilen bikomponent ipliklerin enine kesit optik mikroskop görüntüleri.....	75
Şekil 4.22. 0.3/0.3 dış/ iç ekstrüder besleme oranında üretilen bikomponent ipliklerin enine kesit optik mikroskop görüntüleri.....	76
Şekil 4.23. 0.6/0.3 dış/ iç ekstrüder besleme oranında üretilen bikomponent ipliklerin enine kesit optik mikroskop görüntüleri.....	76
Şekil 4.24. 0.4/0.4 dış/ iç ekstrüder besleme oranında üretilen bikomponent ipliklerin enine kesit optik mikroskop görüntüleri.....	76
Şekil 4.25. 0.2/0.2 dış/ iç ekstrüder besleme oranında üretilen bikomponent ipliklerin boyuna kesit optik mikroskop görüntüleri.....	77
Şekil 4.26. 0.4/0.2 dış/ iç ekstrüder besleme oranında üretilen bikomponent ipliklerin boyuna kesit optik mikroskop görüntüleri.....	77
Şekil 4.27. 0.3/0.3 dış/ iç ekstrüder besleme oranında üretilen bikomponent ipliklerin boyuna kesit optik mikroskop görüntüleri.....	77
Şekil 4.28. 0.6/0.3 dış/ iç ekstrüder besleme oranında üretilen bikomponent ipliklerin boyuna kesit optik mikroskop görüntüleri.....	78
Şekil 4.29. 0.4/0.4 dış/ iç ekstrüder besleme oranında üretilen bikomponent ipliklerin boyuna kesit optik mikroskop görüntüleri.....	78
Şekil 4.30. 5/1 dış/ iç ekstrüder besleme oranında üretilen bikomponent ipliklerin enine kesit SEM görüntüleri.....	79
Şekil 4.31. 5/2 dış/ iç ekstrüder besleme oranında üretilen bikomponent ipliklerin enine kesit SEM görüntüleri.....	80
Şekil 4.32. 0.3/0.3 dış/ iç ekstrüder besleme oranında üretilen bikomponent ipliklerin enine kesit SEM görüntüleri.....	81
Şekil 4.33. 5/1 dış/ iç ekstrüder besleme oranında üretilen bikomponent ipliklerin katkı oranına bağlı mukavemet değişimi.....	82
Şekil 4.34. 5/2 dış/ iç ekstrüder besleme oranında üretilen bikomponent ipliklerin katkı oranına bağlı mukavemet değişimi.....	83
Şekil 4.35. 4/2 dış/ iç ekstrüder besleme oranında üretilen bikomponent ipliklerin katkı oranına bağlı mukavemet değişimi.....	84
Şekil 4.36. 5/1 dış/ iç ekstrüder besleme oranında üretilen bikomponent ipliklerin katkı oranına bağlı % kopma uzaması değişimi.....	85
Şekil 4.37. 5/2 dış/ iç ekstrüder besleme oranında üretilen bikomponent ipliklerin katkı oranına bağlı % kopma uzaması değişimi.....	85
Şekil 4.38. 4/2 dış/ iç ekstrüder besleme oranında üretilen bikomponent ipliklerin katkı oranına bağlı % kopma uzaması değişimi.....	86
Şekil 4.39. 0.2/0.2 dış/ iç ekstrüder besleme oranında üretilen bikomponent ipliklerin katkı oranına bağlı mukavemet değişimi.....	88
Şekil 4.40. 0.4/0.2 dış/ iç ekstrüder besleme oranında üretilen bikomponent ipliklerin katkı oranına bağlı mukavemet değişimi.....	89
Şekil 4.41 0.3/0.3 dış/ iç ekstrüder besleme oranında üretilen bikomponent ipliklerin katkı oranına bağlı mukavemet değişimi.....	90

Şekil 4.42. 0.6/0.3 dış/ iç ekstrüder besleme oranında üretilen bikomponent ipliklerin katkı oranına bağlı mukavemet değişimi.....	90
Şekil 4.43. 0.4/0.4 dış/ iç ekstrüder besleme oranında üretilen bikomponent ipliklerin katkı oranına bağlı mukavemet değişimi.....	91
Şekil 4.44 0.2/0.2 dış/ iç ekstrüder besleme oranında üretilen bikomponent ipliklerin katkı oranına bağlı % kopma uzaması değişimi.....	92
Şekil 4.45. 0.4/0.2 dış/ iç ekstrüder besleme oranında üretilen bikomponent ipliklerin katkı oranına bağlı % kopma uzaması değişimi.....	93
Şekil 4.46. 0.3/0.3 dış/ iç ekstrüder besleme oranında üretilen bikomponent ipliklerin katkı oranına bağlı % kopma uzaması değişimi.....	93
Şekil 4.47. 0.6/0.3 dış/ iç ekstrüder besleme oranında üretilen bikomponent ipliklerin katkı oranına bağlı % kopma uzaması değişimi.....	94
Şekil 4.48. 0.4/0.4 dış/ iç ekstrüder besleme oranında üretilen bikomponent ipliklerin katkı oranına bağlı % kopma uzaması değişimi.....	95
Şekil 4.49. 5/1 dış/ iç ekstrüder besleme oranında üretilen referans bikomponent ipliklerin DSC eğrisi.....	98
Şekil 4.50. 5/1 dış/ iç ekstrüder besleme oranında üretilen %1 katkılı bikomponent ipliklerin DSC eğrisi.....	98
Şekil 4.51. 5/1 dış/ iç ekstrüder besleme oranında üretilen %2 katkılı bikomponent ipliklerin DSC eğrisi.....	99
Şekil 4.52. 5/1 dış/ iç ekstrüder besleme oranında üretilen %3 katkılı bikomponent ipliklerin DSC eğrisi.....	99
Şekil 4.53. 5/2 dış/ iç ekstrüder besleme oranında üretilen referans bikomponent ipliklerin DSC eğrisi.....	100
Şekil 4.54. 5/2 dış/ iç ekstrüder besleme oranında üretilen %1 katkılı bikomponent ipliklerin DSC eğrisi.....	100
Şekil 4.55. 5/2 dış/ iç ekstrüder besleme oranında üretilen %2 katkılı bikomponent ipliklerin DSC eğrisi.....	101
Şekil 4.56. 5/2 dış/ iç ekstrüder besleme oranında üretilen %3 katkılı bikomponent ipliklerin DSC eğrisi.....	101
Şekil 4.57. 4/2 dış/ iç ekstrüder besleme oranında üretilen referans bikomponent ipliklerin DSC eğrisi.....	102
Şekil 4.58. 4/2 dış/ iç ekstrüder besleme oranında üretilen %1 katkılı bikomponent ipliklerin DSC eğrisi.....	102
Şekil 4.59. 4/2 dış/ iç ekstrüder besleme oranında üretilen %2 katkılı bikomponent ipliklerin DSC eğrisi.....	103
Şekil 4.60. 4/2 dış/ iç ekstrüder besleme oranında üretilen %3 katkılı bikomponent ipliklerin DSC eğrisi.....	103
Şekil 4.61. 0.2/0.2 dış/ iç ekstrüder besleme oranında üretilen referans bikomponent ipliklerin DSC eğrisi.....	105
Şekil 4.62. 0.2/0.2 dış/ iç ekstrüder besleme oranında üretilen %1 katkılı bikomponent ipliklerin DSC eğrisi.....	105
Şekil 4.63. 0.2/0.2 dış/ iç ekstrüder besleme oranında üretilen %2 katkılı bikomponent ipliklerin DSC eğrisi.....	106
Şekil 4.64. 0.2/0.2 dış/ iç ekstrüder besleme oranında üretilen %3 katkılı bikomponent ipliklerin DSC eğrisi.....	106
Şekil 4.65. 0.4/0.2 dış/ iç ekstrüder besleme oranında üretilen referans bikomponent ipliklerin DSC eğrisi.....	107

Şekil 4.66. 0.4/0.2 dış/iç ekstrüder besleme oranında üretilen %1 katkılı bikomponent ipliklerin DSC eğrisi.....	107
Şekil 4.67. 0.4/0.2 dış/iç ekstrüder besleme oranında üretilen %2 katkılı bikomponent ipliklerin DSC eğrisi.....	108
Şekil 4.68. 0.4/0.2 dış/iç ekstrüder besleme oranında üretilen %3 katkılı bikomponent ipliklerin DSC eğrisi.....	108
Şekil 4.69. 0.3/0.3 dış/iç ekstrüder besleme oranında üretilen referans bikomponent ipliklerin DSC eğrisi.....	109
Şekil 4.70. 0.3/0.3 dış/iç ekstrüder besleme oranında üretilen %1 katkılı bikomponent ipliklerin DSC eğrisi.....	109
Şekil 4.71. 0.3/0.3 dış/iç ekstrüder besleme oranında üretilen %2 katkılı bikomponent ipliklerin DSC eğrisi.....	110
Şekil 4.72. 0.3/0.3 dış/iç ekstrüder besleme oranında üretilen %3 katkılı bikomponent ipliklerin DSC eğrisi.....	110
Şekil 4.73. 0.6/0.3 dış/iç ekstrüder besleme oranında üretilen referans bikomponent ipliklerin DSC eğrisi.....	111
Şekil 4.74. 0.6/0.3 dış/iç ekstrüder besleme oranında üretilen %1 katkılı bikomponent ipliklerin DSC eğrisi.....	111
Şekil 4.75. 0.6/0.3 dış/iç ekstrüder besleme oranında üretilen %2 katkılı bikomponent ipliklerin DSC eğrisi.....	112
Şekil 4.76. 0.6/0.3 dış/iç ekstrüder besleme oranında üretilen %3 katkılı bikomponent ipliklerin DSC eğrisi.....	112
Şekil 4.77. 0.4/0.4 dış/iç ekstrüder besleme oranında üretilen referans bikomponent ipliklerin DSC eğrisi.....	113
Şekil 4.78. 0.4/0.4 dış/iç ekstrüder besleme oranında üretilen %1 katkılı bikomponent ipliklerin DSC eğrisi.....	113
Şekil 4.79. 0.4/0.4 dış/iç ekstrüder besleme oranında üretilen %2 katkılı bikomponent ipliklerin DSC eğrisi.....	114
Şekil 4.80. 0.4/0.4 dış/iç ekstrüder besleme oranında üretilen %3 katkılı bikomponent ipliklerin DSC eğrisi.....	114
Şekil 4.81. 5/1 dış/iç ekstrüder besleme oranında üretilen bikomponent ipliklerden üretilen yüzeylerin optik mikroskop görüntüleri.....	118
Şekil 4.82. 5/2 dış/iç ekstrüder besleme oranında üretilen bikomponent ipliklerden üretilen yüzeylerin optik mikroskop görüntüleri.....	118
Şekil 4.83. 4/2 dış/iç ekstrüder besleme oranında üretilen bikomponent ipliklerden üretilen yüzeylerin optik mikroskop görüntüleri.....	119
Şekil 4.84. 5/1 dış/iç ekstrüder besleme oranında üretilen bikomponent ipliklerden üretilen yüzeylerin hava geçirgenliği sonuçları.....	120
Şekil 4.85. 5/2 dış/iç ekstrüder besleme oranında üretilen bikomponent ipliklerden üretilen yüzeylerin hava geçirgenliği sonuçları.....	120
Şekil 4.86. 4/2 dış/iç ekstrüder besleme oranında üretilen bikomponent ipliklerden üretilen yüzeylerin hava geçirgenliği sonuçları.....	121
Şekil 4.87. 5/1 dış/iç ekstrüder besleme oranında üretilen bikomponent ipliklerden üretilen yüzeylerin JIS R 2618 standardına göre termal iletkenlik katsayısı sonuçları.....	123
Şekil 4.88. 5/2 dış/iç ekstrüder besleme oranında üretilen bikomponent ipliklerden üretilen yüzeylerin JIS R 2618 standardına göre termal iletkenlik katsayısı sonuçları.....	123

Şekil 4.89. 4/2 dış/ iç ekstrüder besleme oranında üretilen bikomponent ipliklerden üretilen yüzeylerin JIS R 2618 standardına göre termal iletkenlik katsayısı sonuçları.....	124
Şekil 4.90. 5/1 dış/ iç ekstrüder besleme oranında üretilen bikomponent ipliklerden üretilen yüzeylerin Alambeta test standardına göre termal iletkenlik katsayısı sonuçları.....	125
Şekil 4.91. 5/2 dış/ iç ekstrüder besleme oranında üretilen bikomponent ipliklerden üretilen yüzeylerin Alambeta test standardına göre termal iletkenlik katsayısı sonuçları.....	125
Şekil 4.92. 4/2 dış/ iç ekstrüder besleme oranında üretilen bikomponent ipliklerden üretilen yüzeylerin Alambeta test standardına göre termal iletkenlik katsayısı sonuçları.....	126
Şekil 4.93. 5/1 dış/ iç ekstrüder besleme oranında üretilen bikomponent ipliklerden üretilen yüzeylerin ses yutuculuk katsayısı sonuçları.....	129
Şekil 4.94. 5/2 dış/ iç ekstrüder besleme oranında üretilen bikomponent ipliklerden üretilen yüzeylerin ses yutuculuk katsayısı sonuçları.....	130
Şekil 4.95. 4/2 dış/ iç ekstrüder besleme oranında üretilen bikomponent ipliklerden üretilen yüzeylerin ses yutuculuk katsayısı sonuçları.....	131
Şekil 4.96. 5/1 dış/ iç ekstrüder besleme oranında üretilen bikomponent ipliklerden üretilen yüzeylerin hava geçirgenliği ile ses yutuculuk katsayısı arasındaki ilişki.....	132
Şekil 4.97. 5/2 dış/ iç ekstrüder besleme oranında üretilen bikomponent ipliklerden üretilen yüzeylerin hava geçirgenliği ile ses yutuculuk katsayısı arasındaki ilişki.....	132
Şekil 4.98. 4/2 dış/ iç ekstrüder besleme oranında üretilen bikomponent ipliklerden üretilen yüzeylerin hava geçirgenliği ile ses yutuculuk katsayısı arasındaki ilişki.....	133

## ÇİZELGELER DİZİNİ

	<b>Sayfa</b>
Çizelge 2.1. Polimer tipinin köpük polimer özelliklerine etkisi.....	27
Çizelge 2.2. Polimer yoğunluğunun köpük polimer özelliklerine etkisi.....	27
Çizelge 3.1. Kullanılan polimerlerin bazı özellikleri.....	50
Çizelge 3.2. Üretim parametreleri.....	52
Çizelge 3.3. Bikomponent ipliklerin numune kodları.....	53
Çizelge 3.4. Örme kumaşların numune kodları.....	54
Çizelge 3.5. Bikomponent ipliklere uygulanan istatistiksel analizlere ait hipotezler.....	61
Çizelge 3.6. Örme kumaşlara uygulanan istatistiksel analizlere ait hipotezler.....	62
Çizelge 4.1. Metot A ile üretilen bikomponent iplik numara sonuçları için istatistiksel analiz (ANOVA ve SNK) sonuçları.....	68
Çizelge 4.2. Metot B ile üretilen bikomponent iplik numara sonuçları için istatistiksel analiz (ANOVA ve SNK) sonuçları.....	72
Çizelge 4.3. Metot A ile üretilen bikomponent ipliklerin mukavemet ve uzama sonuçları.....	82
Çizelge 4.4. Metot A ile üretilen bikomponent ipliklerin mukavemet ve uzama sonuçları için istatistiksel analiz (ANOVA ve SNK) sonuçları.....	86
Çizelge 4.5. Metot B ile üretilen bikomponent ipliklerin mukavemet ve uzama sonuçları.....	87
Çizelge 4.6. Metot B ile üretilen bikomponent ipliklerin mukavemet ve uzama sonuçları için istatistiksel analiz (ANOVA ve SNK) sonuçları.....	95
Çizelge 4.7. Metot A ile üretilen bikomponent ipliklerin DSC eğrilerinden elde edilen sonuçlar.....	104
Çizelge 4.8. Metot B ile üretilen bikomponent ipliklerin DSC eğrilerinden elde edilen sonuçlar.....	115
Çizelge 4.9. Metot A ile üretilen örme kumaşların kumaş sıklığı, gramaj ve kalınlık sonuçları.....	116
Çizelge 4.10. Metot A ile üretilen bikomponent ipliklerden oluşturulan örme kumaşların kalınlık ve gramaj sonuçları için istatistiksel analiz (ANOVA ve SNK) sonuçları.....	117
Çizelge 4.11. Metot A ile üretilen bikomponent ipliklerden oluşturulan örme kumaşların hava geçirgenliği sonuçları için istatistiksel analiz (ANOVA ve SNK) sonuçları.....	121
Çizelge 4.12. Metot A ile üretilen bikomponent ipliklerden oluşturulan örme kumaşların iki farklı standarda göre yapılan termal iletkenlik katsayıları sonuçları için istatistiksel analiz (ANOVA ve SNK) sonuçları.....	126

## **1. GİRİŞ**

21. yüzyıldaki en büyük endişelerden biri, enerji kaynaklarında ve çevresel konularda sürdürülebilirliği sağlamaktır (Palmer, 2002). Enerji sektöründeki endişenin temel nedeni sınırlı enerji kaynakları ve tüketim arasındaki dengesizluktur. (Rüttinger ve Feil, 2010). Çevre sektöründeki endişenin temel nedeni ise dünya nüfusunun hızla artması ile tüketim oranlarının artması ve ürünlerin kullanım ömrleri bitmeden atık olarak çöplüklerde atılma eğiliminin giderek artmasıdır. (Bergstrom ve Randall, 2016). İnşaat ve otomobil sektörleri, küresel enerjinin ana tüketen sektörleri olarak kabul edilmektedir. Küresel düzeyde, binaların dünya küresel enerjisinin yaklaşık %40'ını tükettiği tahmin edilmektedir (Asdrubali, D'Alessandro ve Schiavoni, 2015). Benzer şekilde Avrupa'daki binalar enerji tüketiminin %40'ından sorumludur (European Parliament, 2010). Bu nedenle, binalarda enerji tüketimini azaltmak önemli bir konu haline gelmektedir. (Iwaro ve Mwasha, 2010). Enerji kayiplarını azaltmada temel yöntemlerden biri malzemelerin ısı yalıtım özelliklerini geliştirmektir (Hasanzadeh, Azdast, Doniavi ve Eungkee Lee, 2019).

Bir enerji çeşidi olan ses, istenmeyen seviyelere ulaştığında gürültü olarak tanımlanmaktadır. Sanayinin gelişimi ve yapı elemanlarının hafiflemesiyle birlikte tehlikeli boyutlara ulaşabilecek gürültü seviyesindeki artış hem yaşam alanlarımızı hem de çalışma koşullarımızı önemli ölçüde etkilemektedir. Bu nedenle günümüzdeki en önemli çevresel sorunlardan biri de gürültü kirliliğidir. Gürültü ile mücadeledeki en etkili yollarından biri de ses yalıtımıdır. Ses yalıtım malzemeleri araştırılırken bilinen bazı ısı yalıtım malzemelerinin aynı zamanda ses yalıtımında da kullanılabileceği ortaya çıkmıştır. Her ısı yalıtım malzemesi ses yalıtım malzemesi olarak kullanılamasa da hemen hemen tüm ses yalıtım malzemeleri aynı zamanda ısı yalıtım malzemesi olarak kullanılabilirler (Binyıldız, 2017).

Günümüzde, polimerik malzemelerin bilimde ve endüstride kullanımı giderek artmaktadır bu nedenle bu malzemelerin tüketimindeki tasarruf çevresel bir gereklilikdir (Hasanzadeh, Azdast, Doniavi ve Eungkee Lee, 2019). Polimer malzemelerin kullanımından tasarruf etmenin etkili yollarından biri köpükleme işlemidir. Malzeme

kullanımı azaltılırken polimerin, mekanik (Azdast ve Hasanzadeh, 2018; Eungkee Lee, Hasanzadeh ve Azdast, 2017), fiziksel (Molani ve diğerleri, 2018) kimyasal (Ranaweera ve diğerleri, 2017), ses (Verdejo ve diğerleri, 2009) ve termal (Wicklein ve diğerleri, 2015) yalıtım özellikleri de gelişir. Tozlar, lifli levhalar, çok katmanlı sistemler, vakum paneller vb. gibi tüm yalıtım malzemeleri arasında köpük polimerin temel avantajı, düşük maliyetli olması ve genel olarak üretiminin ve bakımının kolay olmasıdır. Köpük polimer türleri arasında da kapalı hücreli polimerik köpükler mühendislik uygulamalarında en yaygın olarak kullanılan ısı yalıtkanlardır. Kapalı hücreli köpükler, herhangi bir geleneksel vakumsuz yalıtkan arasında en düşük termal iletkenliğine sahiptir. Katı fazın düşük hacimli fraksiyonu, konveksiyonu ortadan kaldırın ve radyasyonu azaltan küçük hücre boyutu ve kapalı gazın düşük iletkenliği, bu düşük termal iletkenliğin fiziksel temelidir (Alvarez-Lainez, Rodriguez-Perez ve De Saja, 2007). Köpük polimerler sürekli bir katı faz ile çevrili olan gaz gözeneklerinden oluşurlar böylece ses dalgalarını absorbe edebilirler. Özellikle poliolefin (Alvarez-Lainez, Rodriguez-Perez ve De Saja, 2014), PMMA (Notario, Ballesteros, Pinto ve Rodriguez-Perez, 2016) ve polivinil (Xue, Deng ve Zhang, 2016) gibi köpükler ses yalıtımında kullanılmaktadır.

Düşük üretim maliyetleri, düşük özgül ağrıkları, gözenekli ve lifli yapıları sebebiyle tekstil kumaşları yalıtım uygulamalarında sıkılıkla kullanılmaktadır. Gözenekli yapıdaki lifli tekstil ürünleri sesi emer ve iyi ses absorplama malzemesi olarak kullanılabilir (Patnaik, 2016). Tekstiller ses yutucu malzeme olarak genelde dokusuz yüzey, dokuma veya örme kumaş olarak kullanılmaktadır. Benzer şekilde malzemelerin ısı yalıtım özelliği gözenekliliğe ve kıvrımlı yapıya bağlı olduğundan, tekstil kumaşlarında birbirine bağlı iplik ve/veya lifsi yapıların oluşturduğu gözenekler bu yapıların ısı yalıtım malzemeleri olarak seçilmelerindeki tercih sebeplerindendir (Hadded, Benloufa, Fayala ve Jemni, 2016; Smith ve diğerleri, 2013; Stanković, Popović ve Poparić, 2008).

Sentetik lif üretimi alanındaki en önemli gelişmelerden biri; tek bileşenli bir lifte elde edilemeyen bir özelliğin, iki farklı malzemenin avantajlı yanlarını birleştirerek tek bir lifte elde edilmesine olanak sağlayan bikomponent lif üretimidir. Bikomponent lif üretim yöntemleri arasında iç içe bikomponent lif üretimi hem akademik hem de ticari uygulamalarda en çok tercih edilen yöntemdir. İç malzeme ile genellikle fonksiyonel

özellik kazandırılmakta, dış malzeme ile ise estetik özellikler korunmaktadır. İçi boş lifler de iç malzemede hava gibi bir gazın olduğu iç içe bikomponent lifler olarak değerlendirilebilir (Sonnenschein, 1999). İçi boş liflerin en fazla kullanıldığı alan ısı yalıtılm uygulamalarıdır (Jaffe ve East, 2007).

Literatürdeki bu bilgilerden yola çıkarak, bu tez çalışmasında termal yalıtılm ve akustik izolasyon uygulamalarında kullanıma yönelik iç içe bikomponent lif üretimi tasarlanmıştır. Köpük polimer ilk defa bir sentetik lif üretiminde kullanılmıştır. İç içe yapının iç kısmında köpük polimer kullanılarak, tipki içi boş liflerdeki gibi bir hava boşluğu ve gözenekli yapı oluşturmak hedeflenmiştir. Bu amaçla yapılan ön çalışmalar sonrası, içteki köpük polimerin ısıyla genleşmesine bağlı olarak dış polimere zarar vermesini önleyecek şekilde katkı oranları belirlenmiştir. Termal yalıtılm ve akustik özelliklerinin test edilmesi amacıyla da örme kumaşlar üretilmiştir. Bikomponent ipliklerden üretilen örme yüzeylerin yalıtılm özellikleri de literatürde ilk defa değerlendirilmiştir.

## **2. KURAMSAL TEMELLER ve KAYNAK ARAŞTIRMASI**

### **2.1. Bikomponent Lifler**

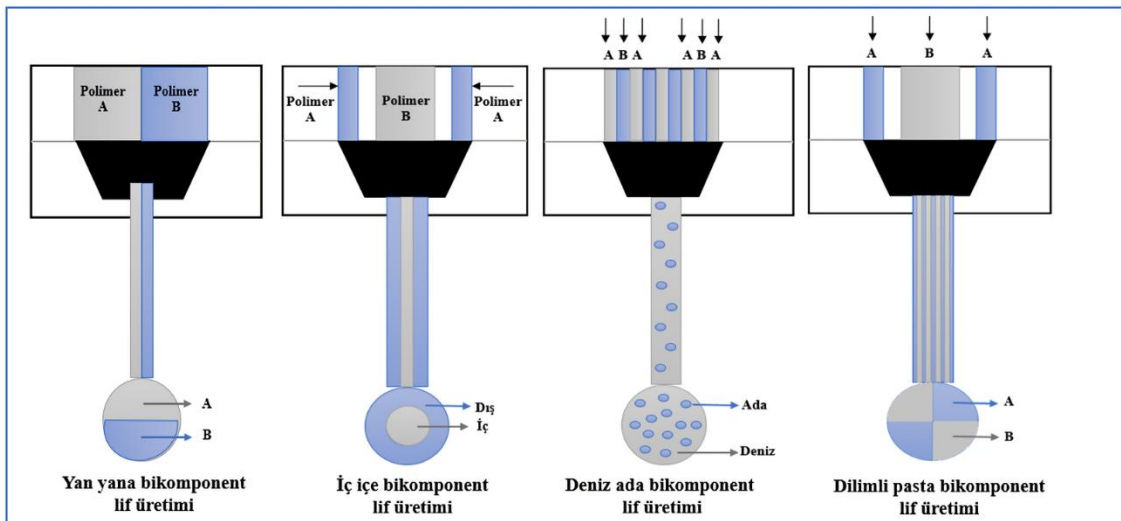
#### **2.1.1. Bikomponent lif tanımı**

Bikomponent lif üretmek, iki kimyasal ve/veya fiziksel olarak farklı iki polimeri tek lif içinde birleştirmek anlamına gelir (Fourn, 1995). Bikomponent lifler, lif uzunluğu boyunca iki malzemenin gereksinimlerini tek bir lifte karşılamak üzere tasarlanmıştır. Bu yüzden, “kompozit”, “konjuge” ve “hetero” lifler olarak da bilinmekte dirler (Dasdemir, Maze, Anantharamaiah ve Pourdeyhimi, 2012). Polimer karışımlarının aksine, lif uzunluğu boyunca birbirinden net şekilde ayrılan iki polimerden oluşurlar, bu da polimerlerin kendi özelliklerine ilave olarak büyük avantaj sağlar (Prahsarn, Klinsukhon, Roungpaisan ve Srisawat, 2013).

Bikomponent lif üretiminin amacı, kullanım alanına uygun olarak materyalin performans özelliklerini geliştirmektir. Bikomponent liflerin davranışı, lif içindeki her bir komponentin davranışına, bileşim oranına ve bileşenler arasındaki etkileşime bağlıdır (Choi ve Kim, 1999). Bikomponent teknolojisile son kullanım yerine bağlı olarak, uygun kesit seçimiyle, özel lifler üretmek mümkündür. İki polimer bileşeninin viskozitesi, soğutma oranı ve yüzey gerilimi bikomponent liflerin oluşumu ve özellikleri için kritiktir. İstenilen lif kesitin elde edilebilmesi için her bir komponentin viskozitelerinin benzer olması gereklidir. Soğutma oranı; her bir komponentin oryantasyonunu belirlerken, yüzey gerilimi; iki komponentin adezyonunu ve son lif kesit yüzeyini belirler (Dasdemir, Maze, Anantharamaiah ve Pourdeyhimi, 2012).

#### **2.1.2. Bikomponent lif üretim yöntemleri**

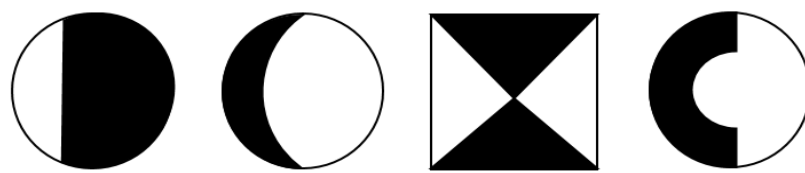
Bikomponent lifler kesit şekli dağılımına göre sınıflandırılırlar. Yaygın olanlar; yan yana, iç içe, denizde ada ve dilimli pasta bikomponent liflerdir (Şekil 2.1)



**Şekil 2.1.** Yaygın kullanılan bicomponent lif üretim yöntemlerinin şematik çizimleri

▪ Yan yana bicomponent lif üretimi

Yan yana bicomponent iplikler, filament enine ve boyuna kesitinde polimerin düzenli veya düzensiz dağılımıyla üretilirler. Düzenli yan yana filamentler için, her iki polimerin birlikte aktığı yer, doğrudan kılcal deliğin üzerinde ve mümkün olduğunca birbirine yakın olmalıdır. Her iki polimerdeki küçük viskozite dalgalanmaları nedeniyle ya da kılcal deliğin düzensiz akışa sebep olacak bir yüzeye sahip olması nedeniyle, mesafe arttıkça yan yana yapının düzensizliği artar. Ekstrüzyon anında, iki polimerin viskoziteleri aynı olduğunda, iki polimeri ayıran hat düz devam eder. Aksi takdirde düşük viskoziteli polimer diğer polimerin etrafına sarılacaktır (Fourné ve Hergeth, 1999). Polimerlerin yerleşimine bağlı olarak yan yana bicomponent liflerde farklı kesit alanları elde edilebilir (“Bicomponent Fibers”, 2018). Şekil 2.2’de yan yana bicomponent liflere ait farklı kesit görüntülerinden örnekler verilmiştir.

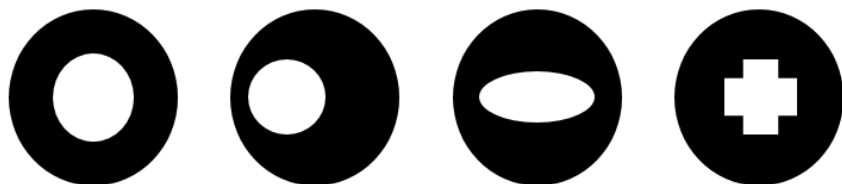


**Şekil 2.2.** Yan yana bicomponent liflere ait kesit görüntüleri

Bu yöntem, kendi kendine kıvrımlanan (self-crimping) lifler üretmek için de kullanılır. Kırırm, iki polimerin kütlesel oranından ve büzülme potansiyelinden etkilenir (Fourné ve Hergeth, 1999). Isı veya kaynar su içinde lif, iki polimerin farklı çekme özelliği nedeniyle kıvrım kazanır (Dayioğlu ve Karakaş, 2007).

- **İç içe bikomponent lif üretimi**

İç içe bikomponent lifler, bileşenlerden birinin ikinci bileşen ile çevrelendiği liflerdir. İç polimer, lif çekim delığının merkezindeki delik tarafından oluşur (Dayioğlu ve Karakaş, 2007). İç ve dış delikler tam olarak eş merkezli ayarlanırsa filament konsantrik yapıda, tam tersi olması durumunda eksantrik yapıda olur (Fourné ve Hergeth, 1999). Şekil 2.3'te iç içe bikomponent liflere ait farklı kesit görüntüleri verilmiştir.



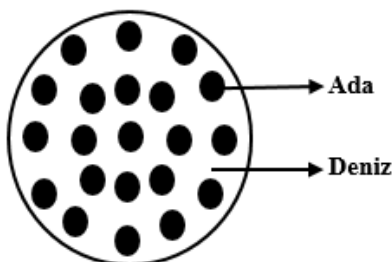
**Şekil 2.3.** Yan yana bikomponent liflere ait kesit görüntüleri

İç içe bikomponent lifler, liflere mekanik özellik kaybı olmaksızın multi fonksiyonel özellik kazandırdığı için çok ilgi çekmektedir (Tomioka ve Kojima, 1979). Bu konjugasyonun konsantrik veya eksantrik biçimi iki bileşenin özelliklerini birleştirmek için kullanılabilir. Eksantrik konfigürasyon kendi kendine kıvrımlanan özelliğini sağlamada kullanılır. Diğer taraftan lif ve kumaş mukavemeti daha çok isteniyorsa konsantrik konfigürasyon seçilebilir (Dasdemir, Maze, Anantharamaiah ve Pourdeyhimi, 2012).

İç yapı ile mukavemet, iletkenlik gibi özellikler, dış yapı ile estetik veya yapışma gibi özelliklerden yararlanılmaktadır (El-Salmawy ve Kimura, 2001). Bugün ticari olarak üretilen bikomponent liflerin çoğu iç içe bikomponent lif yapısındadır. Bu liflerin çoğunlukla uygulama alanı dokusuz yüzeylerdir. Bu amaçla, dışta erime sıcaklığı içteki polimere göre daha düşük olan bir polimer seçilir. Dokusuz yüzey ürünlerde pek çok uygulamada bu lifler kullanılabilir (Dasdemir, Maze, Anantharamaiah ve Pourdeyhimi, 2012).

- Deniz ada bikomponent lif üretimi

Matris fibril yöntemi olarak da adlandırılırlar. Bunlar teknik olarak üretimi ve kullanımı karmaşık yapılardır. Şekil 2.4'te deniz ada bikomponent liflerin kesit görünümünü simgelemektedir.

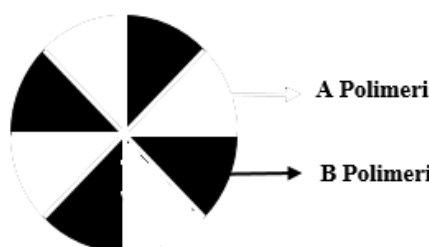


**Şekil 2.4.** Deniz ada bikomponent liflerin kesit görünümü

Ada veya fibril diye adlandırılan kısımda genellikle poliamid (PA), poliester (PET) veya polipropilen (PP) gibi polimerler kullanılır. Deniz veya matris olarak adlandırdığımız kısımda ise polistiren (PS), suda çözünebilen PET, plastize ya da sabunlaştırılmış poli vinil alkol (PVA) kullanılır (“Bicomponent Fibers”, 2018). Bu lifler gerekli orandaki iki polimer karışımından çekilir ve bir polimer ikinci eriyikte damlacık şeklinde asılı kalır (Dayıoğlu ve Karakaş, 2007). Bu yöntemle aynı zamanda mikro lif eldesi yapılmaktadır.

- Dilimli pasta bikomponent lif üretimi

Bu yöntemde birbirine karışmayan iki farklı polimer lif içerisinde pasta dilimleri veya üçgen prizma şeklinde düzenlenmiştir. Bu yöntemin deniz ada yönteminden farkı, bir polimerin uzaklaştırılması yerine, her iki polimerin de lif içerisinde yer almıştır. Şekil 2.5'te de görüldüğü gibi çekim işleminden sonra filamentler dilimlere ayrılmaktadır. PA/PET veya PET/poliolefİN tercih edilen kombinasyonlar arasındadır (“Microfiber”, 2018; Mukhopadhyay ve Ramakrishnan, 2008; Nakajima, Kajiwara ve McIntyre ,1994)



**Şekil 2.5.** Dilimli pasta bikomponent liflerin kesit görünümü

### **2.1.3. Bikomponent lif üretimiyle ilgili yapılan son çalışmalar**

Bikomponent lifler ve kısa tarihçesinden yukarıda bahsedilmiştir, burada bikomponent liflerle ilgili son dokuz yıldaki çalışmalar dikkate alınmıştır.

Liu ve diğerleri (2012) filtrasyon uygulamalarında kullanılmak üzere PP/PET bikomponent lif üretmişlerdir. Liflerin yapısı, gözenekliliği ve filtrasyon performansı değerlendirilmiştir. Ortalama lif çapı  $2\text{-}3,5 \mu\text{m}$ , gözenek çapı  $12,3\text{-}15,6 \mu\text{m}$  ve gözeneklilik oranı %90-94 olarak elde edilmiştir. Referans olarak monofilament PP kullanılmıştır. Üretilen lifler monofilament PP ile kıyaslandığında lif çapının daha ince, yüzey alanının daha fazla, gözenek çapının daha düşük ve gözenekliliğin daha yüksek çıktığı tespit edilmiştir. Monofilament PP' ye göre filtrasyon etkinliği daha iyi çıkmıştır. Bikomponent liflere uygulanan korona deşarj işlemi sonrası filtrasyon etkinliği %97,3'e ulaşmıştır.

Van Do, Nguyen ve Park (2012) koaksiyel elektro çekim yöntemiyle polietilenglikol (PEG) / polivinildenflorür (PVDF) iç içe bikomponent nano lifler üretmişlerdir. Nano lifler, iyi termal dayanım ve yeterli çekme mukavemeti değeri göstermişlerdir. Potansiyel uygulama alanı olarak ısı düzenleyici (termoregülör) tekstiller için ısı enerjisi depolama malzemesi olabileceği vurgulanmıştır.

Hufenus, Affolter, Camenzind ve Reifler (2013) çalışmalarında PA/ PE iç içe monofilament bikomponent lif üretmişlerdir. Suni çimlerdeki cilt tahrışı riskini minimize edip, rezilyansı maksimize etmeyi amaçlamışlardır. Farklı iç/dış polimer kombinasyonu ve farklı iç/dış polimer oranları kullanılmıştır. Optimum malzeme kombinasyonu, lif enine kesiti ve filamentlerin çekiminin validasyonu için sayısal simülasyon uygulamışlardır. Üretilen suni çim, oynanabilirlik ve görünüm açısından doğal çim ile benzerlik göstermiştir.

Glaub ve diğerleri (2013) piezoelektrik uygulamalar için iç içe bikomponent lifler üretmişlerdir. İç malzeme olarak PP-CNT (karbon nanotüp), dış malzeme olarak PVDF

kullanarak liflerin üretilenliklerini araştırmışlardır. Üretilen ipliklere optik mikroskop, XRD, TEM ve DSC analizi uygulanmıştır. Kullanılan malzemelerin üretilenliklerinin uygun olduğu sonucuna varılmıştır. Otuz dakika boyunca kopuşsuz bir çekim işlemi gerçekleştirilebilmiştir. Çalışmanın devamında proses ve malzeme iyileştirmelerinin yapılmasının gerekli olduğu sonucuna varılmıştır.

Eren ve Ulcay (2015) çalışmalarında elektromanyetik kalkanlama uygulamalarında kullanım amaçlı %20'lik nano demir oksit katkılı bikomponent iplikler üretmişlerdir. %1, 2 ve 3 olmak üzere üç farklı katkı oranı denenmiş akıştaki bozukluk ve kopmalardan dolayı sadece %1 katkılı üretim yapılmıştır. Üretilen iplikten iki farklı sıklıkta örme kumaş üretilmiş ve elektromanyetik kalkanlama etkinlikleri ölçülmüştür. Demir oksit kullanımının ve kumaş sıklığının elektromanyetik kalkanlama üzerinde etkisi olduğu istatiksel olarak doğrulanmıştır. En yüksek kalkanlama etkinliği 18,78 dB olarak belirtilmiştir.

Noll, Seide ve Gries (2016) çalışmalarında dizel yakıtların filtrasyon verimliliğini artırmak için PA 6 bikomponent liflerden su yönlendirme kanalları geliştirmiştirlerdir. Üretilen filtrelerle dizel yakıttan su damlacıklarının ayrılması sağlayan bir sistem tasarlamışlardır. Yüzeyde poliamid 6 liflerinin hidrofilitesini artırmak için anti statik ajanlarla birlikte SiO<sub>2</sub> partiküller kullanılmıştır.

Lin, Don, Chang, Huang ve Chiu (2016) iç içe bikomponent lif yapısına sahip ısıya duyarlı ve iletken nano lifler üretmişlerdir. Dış malzeme olarak poli N-isopropilakrilamid-ko-N metilolakrilamid (PNN) kullanılmış ve iletken poli3,4-etylendioksitiofen: polistiren sülfonat (PEDOT: PSS) ile suda farklı ağırlık oranlarında karıştırılmıştır. İç malzeme olarak polibütilakrilat-ko-stiren (PBS) kullanılmıştır. Dış malzemede, 0,20 PEDOT: PSS/PNN ağırlık oranına sahip nano lifler için yüzey iletkenliği 29,4 S /cm olarak ölçülmüştür. Sıcaklığa elektriksel direnç azaldığında dahi nano lifler ısıya duyarlı özellik sergilemiştir.

Zhang, Zhang, Liu, Wang ve Wang (2016) PVA/kazein bileşiminden oluşan bikomponent nano lifler üretmişlerdir. Debi, voltaj gibi farklı proses parametreleri ve beş

farklı polimer oranı çalışılmıştır. SEM analizi ile nanoliflerin yüzey özellikleri karakterize edilmiştir. Yazarlar, bu liflerin özellikle spor yaralanmalarında yara örtüsü olarak kullanılabileceğini ileri sürmüşlerdir.

Wang, Yu, Han , Song ve Zhu (2017) çalışmalarında PET/PA 6 içi boş dilimli pasta bikomponent liflerin özellikleri üzerine çekme basıncının etkisini araştırmışlardır. Liflerin termal, morfolojik, oryantasyon ve mukavemet özellikleri incelenmiştir. Çekme basıncının artmasıyla birlikte liflerin kristalizasyon ve oryantasyon derecesinde artış meydana gelmiştir. Çekme basıncı artarken liflerin mukavemet değeri artmış, uzama değeri azalmıştır.

Dai ve diğerleri (2018) çalışmalarında korona şarj teknolojisini kullanarak nano kristal MnO<sub>2</sub> ve PE/PP bikomponent liflerle kombine edilmiş çok işlevli bir kompozit filtre oluşturmuştur. Korona şarj işlemi sonrası filtrasyon verimliliği nispeten artmıştır. Filtrasyon, adsorpsiyon ve katalitik mekanizmalar yoluyla pasif oda havasının temizlenmesi için multi fonksiyonel lif filtrelerin üretilmesi, mevcut hava filtersi endüstrisinde acil ihtiyaçların karşılanması için kritik öneme sahiptir. Yazarlar, MnO<sub>2</sub>/PE/PP filtrenin üretiminin yorucu prosedürler içermediği ve seri üretime kolayca olanak sağlayabileceği için, daha fazla işlevsellik ve daha yüksek bir şarj tutma kapasitesi ile imal edilmesine yönelik metodolojinin, bu tarz filtrelerin oluşturulmasını kolaylaşdırabileceğini belirtmiştir.

Sibanda ve diğerleri (2018) uçucu sivrisinek kovucuların kontrollü salınımı için, iç içe bikomponent lifler üretmiştir. Dış malzeme olarak yüksek yoğunluklu polietilen (HDPE), iç malzeme olarak da polietilen ko-vinil asetat (EVA) içinde konsantré bir uçucu olan Dietil-m-toluamid (DEET) kullanmışlardır. Taramalı elektron mikroskopu ile iç içe bikomponent lif yapısının oluşumu doğrulanmıştır. Bu liflerden üretilen örme tekstil yüzeyleri, 20 soğuk yıkamadan sonra bile sinek kovucu özellik göstermiştir. Yüzeylerin sekiz ay laboratuvar koşullarında yaşılandırılmışından sonra bile etkinliği sürdürmüştür. Çalışma sonuçları, üretilen bu liflerin, açık hava sivrisinek ısrıklarını etkili ve uygun bir şekilde önleme amaçlı alternatif olarak kullanılabileceğini göstermiştir.

Takematsu, Diniz, Mattos ve Dutra (2018) dışta PE, içte PP polimeri kullanarak ürettikleri iç içe bikomponent lifleri, FT-IR, DSC, TGA, SEM gibi karakterizasyon yöntemleriyle analiz etmişlerdir. SEM analizi ile iç içe konfigürasyon ve her bir tabakanın genişliği karakterize edilmiştir. Termal analizler, termal bozunma sırasındaki kütle kaybının analizi için kullanılmıştır. FT-IR ve ultraviyole görünürlük (UV-VIS) spektroskopi de liflarındaki bileşenleri karakterize etmek için kullanılmıştır. Çalışma, özellikle FT-IR analizinin iç içe yapının kompozisyonunu anlamadaki önemini vurgulamaktadır.

Roungpaisan, Takarada ve Kikutani (2019) PLLA polimerinden üç farklı türde (yüksek yoğunluklu PLLA, düşük yoğunluklu PLLA ve bikomponent PLLA) lif üretimi gerçekleştirmiştir. Bikomponent lif üretiminde dışta düşük yoğunluklu PLLA, içte yüksek yoğunluklu PLLA kullanılmıştır. İç/Dış malzeme oranı 50/50'dir. İpliklerin yüksek çekim hızında üretilebilirliği incelenmiştir. Lif özelliklerinin analizi için, enine kesit görüntüleri incelenmiş, WAXD (geniş açılı X ışını kırınımı) analizi yapılmış ve mukavemet ve uzama testleri değerlendirilmiştir.

Çelen ve Ulcay (2019) eriyik çekim yöntemiyle baryum titanat katkılı iç içe bikomponent iplikler üretmiştir. İç malzeme olarak nano baryum titanat ( $\text{BaTiO}_3$ ) ve PBT, dış malzeme olarak PET kullanılmıştır. 3 farklı katkı oranı (%1, %2 ve %3) kullanılarak üretilen bu ipliklerden iki farklı sıklıkta örme yüzeyler elde edilmiştir. İpliklerin elektriksel iletkenliği ve yüzeylerin elektromanyetik kalkanlama etkinliği ölçülmüştür. Konsantrasyon attıkça elektriksel iletkenlik değeri artmış, en yüksek  $1,26 \times 10^{-3}$  S/cm elektriksel iletkenlik değeri elde edilmiştir. Yüzeylerin elektromanyetik kalkanlama (EMK) etkinliği değeri en yüksek 25.95 dB olarak ölçülmüştür.

Cai ve diğerleri (2019) elektro çekim yöntemiyle PVDF/ poliimid (PI) yan yana bikomponent nano lifler üretmişlerdir. Nano liflerin termal stabilitesi, mekanik özellikleri ve filtrasyon özellikleri incelenmiştir. Sonuçlar, nano liflerin hem iyi mekanik özelliklere hem de yüksek termal kararlılığa sahip olduğunu göstermiştir. Nanolifler yüksek sıcaklıkta işlem gördükten sonra bile iyi filtrasyon performansı göstermiştir. Bu yüzeylerin orta ve yüksek sıcaklıklarda filtrasyon uygulamalarında kullanılabileceği beklenmektedir.

Çelen ve Ulcay (2020) baryum titanat katkılı bikomponent liflerden üç farklı örgü yapısında (bez ayağı, saten, özel örgü) dokuma kumaş üretmiştir. Dokuma kumaş örgü tipinin ve iplikteki katkı oranının kumaşların elektriksel direnç, elektromanyetik kalkanlama ve solar özelliklerini üzerine etkisi incelenmiştir. En yüksek elektromanyetik kalkanlama etkinliği %3 katkılı bikomponent liflerden üretilen özel örgülü kumaş ile elde edilmiştir. Baryum titanat katkısı kumaşların solar reflektans özelliklerini iyileştirmiştir, en yüksek reflektans değeri %3 katkılı bikomponent liflerden üretilen bezayağı örgü yapısı ile elde edilmiştir.

Kawahara ve diğerleri (2020) yüksek hızda çekilen PLA/PBT iç içe bikomponent liflerin yapısal, mukavemet ve anti bakteriyel özelliklerini incelemiştir. Üretilen bikomponent liflerin medikal tekstil malzemeleri tasarımları için yeterli fiziksel, mekanik özelliklere ve antibakteriyel aktiviteye sahip olduğu bildirilmiştir.

Zhang, Chen ve Zeng (2020) tarafından eriyik üfleme ve elektro çekimle üretilen liflerdeki sarmal yapıların morfolojik gelişimi ilk kez modellenmiştir. Bu modele dayanarak, eriyik üfleme PP/ TPU ve elektro çekimle üretilen CA / TPU liflerinin içsel eğriliğinin gelişimini rapor etmişlerdir. Farklı hacimsel orana sahip bikomponent liflerin tahmin edilen içsel eğriliğinin genel olarak deneysel sonuçlarla tutarlı olduğu ortaya çıkmıştır. Yazarlar bu model sayesinde, liflerin sarmal yapısının kontrolüne yardımcı olmak için içsel eğriliklerin tahmin edilebileceğini ileri sürmüştür.

## **2.2. Köpük Polimerler**

### **2.2.1. Köpük polimerlerin kısa tarihçesi**

Köpük polimerler ilk olarak 1930-1940 yılları arasında üretilmiştir. 2. Dünya Savaşı'ndan birkaç yıl sonra esnek poliüretan köpük icat edilmiştir. Bu polimerler mobilya ve otomotiv endüstrisinde tamponlama amaçlı kullanılmıştır. Takip eden yirmi yıl içerisinde gelişen teknolojiyle birlikte (enjeksiyon kalıplama, çift vidalı ekstrüzyon ve farklı ekstrüzyon teknikleriyle) köpük polimerler daha kapsamlı kullanılmaya başlamıştır. Köpük polimer üretiminde ozon tabakasına zarar veren şişirme ajanlarının kullanımı

sonraki yıllarda endişeleri arttırmıştır. Olumsuz çevresel etkiye sahip olmayan şisirme ajanları arayışına girilmiştir (Sivertsen, 2007). Atık bertarafı sıkıntısı ve çevresel problemlerin artış göstergesi nedeniyle biyobozunur köpükler gündeme gelmiştir. Biyobozunur köpükler, suda çözünebilir ve neme karşı hassastır, CO<sub>2</sub> emisyonunu azaltmada önemlidirler. CFC (kloro-fluoro karbonlar) kullanımına getirilen kısıtlamalar köpük polimerlerin daha çevre dostu olabilmeleri açısından önemlidir. EVA, PVA, poli kaprolaktam, PLA ve nişasta dahil pek çok biyomalzeme biyobozunur köpük polimer üretimi için kullanılmaktadır. Biyobozunur köpük polimerlerin gelişiminin geri dönüşüm ve atık bertarafı sorununa yardımcı olacağı düşünülmektedir. (Sivertsen, 2007).

### **2.2.2. Köpük polimer nedir?**

Köpük polimerler bir köpük oluşturmak üzere birlikte karıştırılmış bir katı ve gaz fazından oluşur (Sivertsen, 2007). Polimer esaslı köpük malzemeler hücresel veya genleşmiş plastikler olarak tanımlanabilir (Ünal ve Yetgin, 2011). Ortaya çıkan köpük kapalı hücreli ya da açık hücreli olarak bilinen hava kabarcığı ya da hava tüneli içeren bir polimer matrise sahiptir (Sivertsen, 2007).

Çoğu köpük, bir polimer matrisinde gaz kabarcıklarının çekirdeklenmesi ve büyümeyi içeren işlemlerle oluşturulur. Kabarcıklar büyündükçe, köpük yapısı aşağıdaki gibi tarif edilebilen aşamalarla değişir:

- Başlangıcta, küçük disperse küresel kabarcıklar yoğunlukta küçük bir azalma ile sıvı matriks içinde üretilir.
- Kabarcıklar küresel olarak büyürken, kabarcıklar kapalı paket yapıya ulaştığında en düşük köpük yoğunluğu elde edilir.
- Daha fazla büyümeye ve daha düşük köpük yoğunluğu, daha sonra çok yüzlü yapıların oluşması için hücrelerin bozulmasına döner.
- Viskoz ve yüzey gerilimi etkileri daha sonra malzemenin triküspit enine kesit kavşakları oluşturmak üzere kesişen hücre elemanlarına doğru akmasına neden olur.
- Son aşama, açık hücreli olacak şekilde hücre duvarlarının yırtılmasını içerebilir.

Genleşme derecesine ve özel formülaysyona bağlı olarak, köpük polimerler bu yapıların herhangi birine veya bir kombinasyonuna sahip olabilir. Köpük polimerlerin kapsamlı karakterizasyonu aşağıdaki parametrelerin ölçümünü içerir:

- **Köpük Yoğunluğu:** Genellikle  $\text{kg/m}^3$  olarak tanımlanır. Daha temel bir ölçü ise nispi yoğunluktur ( $\phi$ ). Nispi yoğunluk (2.1)'deki denkleme göre hesaplanır:

$$\phi = \rho_f / \rho_s \quad (2.1)$$

$\rho_f$ ; köpüğün yoğunluğu,  $\rho_s$ ; orijinal polimerin yoğunluğu ‘dur.

- **Hücre Boyutu:** Hücre boyutu, köpük kesitinin doğrudan incelenmesi ile ölçülebilir. Hücre boyutu ölçümü için ASTM D3576 standartı kullanılır. Bu standartta belirli bir uzunlukta kesişen hücre sayısı hesaba katılır. Ortalama kiriş uzunluğu ( $t$ ) belirlenir ve ortalama hücre çapı ( $d$ ) (2.2)'deki denkleme göre hesaplanır:

$$d = t / 0.616 \quad (2.2)$$

Uygulamada genellikle hücre boyutlarının bir dağılımı vardır. Çoğu köpük polimer üreticisi, köpükler için ya ortalama bir hücre boyutu ya da bir dizi hücre boyutu önermektedir.

- **Açık Hücre/ Kapalı Hücre Oranı:** Bu oran özellikle düşük yoğunluklu PU köpüklerin özelliklerinin belirlenmesinde önemlidir. Esnek poliüretanlarda üretim sürecinde de önemli bir parametredir. Hücreler genleşme adımının sonunda açılmadıkça, karbondioksitin hücrelerden yayılması, havanın yerine gelebileceğinden çok daha hızlıdır, bu da köpüğün çökmesine neden olur.
- **Anizotropi:** Köpükler, üç boyutta serbest genleşmeye izin veren koşullar altında yapılmadıkça, önemli bir yapısal anizotropi sergileyebilirler. Bu durum, hücrelerin bir miktar yanal bozulmaya sahip olduğu ekstrüzyon işlemleriyle üretilen köpüklerde

sıklıkla görülür. Uzunluk ve genişlik yönlerinde ölçülen fiziksel özelliklerde farklılıklara neden olur.

- Hücre Biçimi: Köpük polimerlerin hücre topolojisi belki de ilk olarak 1664 yılında Robert Hooke tarafından kapsamlı bir şekilde incelenmiştir. Çekirdekli, genleşen gaz kabarcıklarının büyümesiyle oluşan düşük yoğunluklu köpük polimerler genellikle hücrelerde beşgen on iki yüzlü şevidir. Beş taraflı yüzler mikroskopik gözleme sıkılıkla tanımlanır ve bu yüzler stabil yapıyı sağlamak için gerekli açılara çok yakın olan dört yüzlü bağlantıarda buluşur (Eaves, 2004).

Köpük polimer içindeki boşluklar, malzemenin yoğunluğunu azaltarak daha az hamadden kullanım imkânı sunar. Ayrıca polimer içindeki boşluk oranı kontrol edilerek polimer yoğunluğu ayarlanabilir. Böylece farklı özelliklerde köpük polimerler üretilebilir (Yetgin ve Ünal, 2008).

Köpük polimerler modern dünyada neredeyse her yerde bulunur. Polimer köpüklerin yaygın olarak kullanılmasının nedeni pek çok avantajlı özelliğe sahip olmasıdır (Sivertsen, 2007). Köpük polimerler, konvansiyonel plastik malzemelere kıyasla düşük termal iletkenlik, yüksek mukavemet, çok iyi ısı ve ses yalıtım gibi özelliklerden dolayı geniş kapsamda kullanılmaktadır (Gautam, Bassi ve Yanful, 2007; Sauceau, Nikitine, Rodier ve Fages, 2011).

### **2.2.3. Köpük polimerlerin sınıflandırılması**

- Polimer matris malzemesine göre

Polimer matris malzemesine göre köpük polimerler ikiye ayrılır: Termoplastik ve termoset. Polietilen (PE), polipropilen (PP), polistiren (PS) gibi polimerler termoplastik esaslı, poliüretan (PU), epoksi gibi polimerler termoset esaslı köpük yapımında kullanılabilecek polimerlerdir (Jacobs, Danen, Kemmere ve Keurentjes, 2007).

- Hücre morfolojisine göre

Hücre morfolojisine göre köpük polimerler kapalı veya açık hücreli olmak üzere ikiye ayrılır. Kapalı hücreli köpükler genellikle serttir, açık hücreli köpükler genellikle esnekdir (Sivertsen, 2007). Açık hücreli polimer köpüklerin ses emme karakteristiği yüksektir (Dillon, 2004).

- Camsı geçiş sıcaklığına göre

Camsı geçiş sıcaklığına göre köpük polimerler üçe ayrılır: Esnek, rijit ve yarı rijit. Camsı geçiş sıcaklığı, oda sıcaklığının altında ise esnek köpük, camsı geçiş sıcaklığı oda sıcaklığının üstünde ise rijit köpük, yoğunluk ve fonksiyonellik açısından bu iki sınıf arasında yer alan köpüklere de yarı rijit köpük adı verilir. Rijit köpükler yüksek mekanik dayanıma sahiptir. Esnek köpükler düşük hacimsel yoğunluğa sahiptirler, ısı ve ses yalıtım uygulamalarında sıkılıkla kullanılırlar (Demir, Sipahioğlu, Balköse ve Ülkü, 2008).

- Genleşme oranına göre

Polimer köpüklerin yoğunlukları  $1,6 \text{ kg/m}^3$  ile  $833 \text{ kg/m}^3$  arasında değişmektedir. Genleşme oranına göre köpük malzemeler üçe ayrılır: Yüksek yoğunluk, orta yoğunluk ve düşük yoğunluk. Yüksek yoğunluklu malzemelerin yoğunluğu  $240 \text{ kg/m}^3$  civarındayken, düşük yoğunluklu malzemelerin yoğunluğu  $240 \text{ kg/m}^3$  'den azdır (Chang-Dong Patrick, 2006; Park, Behravesh ve Venter, 1998; Pop-Iliev, 1999).

- Köpük hücre boyutuna göre

Köpük hücre boyutuna göre köpük polimerler 4'e ayrılır: Makro Hücreli ( $>100 \mu\text{m}$ ), Mikro Hücreli ( $1-100 \mu\text{m}$ ), Ultra Mikro Hücreli ( $0,1-10 \mu\text{m}$ ), Nano Hücreli ( $0,1-100 \text{ nm}$ ) (Jiong 2006; Lee ve diğerleri, 2005).

## **2.2.4. Köpük polimerlerin özelliklerı**

### **■ Yapısal özellikler**

Daha önce de bahsedildiği gibi köpükler açık hücreli veya kapalı hücreli olabilir. Bununla birlikte hücre terimi genel olarak kabul edilenden biraz farklıdır. Tüm köpüklerde hücre veya gözenek yapısı spesifik bir tek tip birim değildir, bir tanesi baskın yapı olacak olmasına rağmen, çok farklı boyutlarda hücre ve gözenekler ve kapalı hücre ve açık hücre olan belirli bir miktar vardır. Hücrelerin veya gözeneklerin boyutu ve şekli çok dağıldığından, köpük yapılarını tanımlamak için en iyi yaklaşım istatistiksel modeller yoluyladır, çünkü bir köpükte küresel hücrelerin düzenli olarak paketlenmesi yoktur. Ek olarak, polimer köpürdüğü için hücreler genellikle belirli bir yönde uzar, bu da köpüğün herhangi bir ideal model olarak modellenmesini zorlaştırır. Köpüğün özelliklerine sadece polimerin kendisi değil, aralarındaki gaz fazı da katkıda bulunur.

Köpük yapısındaki gözeneklerin miktarı, özelliklerinin çoğunu etkiler. Daha fazla ve daha küçük gözenekler olduğunda, köpük çok daha iyi bir yalıtkandır, çünkü gaz temel olarak ısıyı transfer edemez ve ısı konveksiyonu tüm gözeneklerin etrafında yolunu bulmak zorundadır. Ne kadar fazla gözenek varsa, yol o kadar kıvrımlıdır ve ısı transferinin etkili bir şekilde gerçekleşme şansı daha azdır. Bu durumda, köpük özelliklerinin belirlenmesinde gaz fazı, gerçek polimere göre daha baskındır.

Köpüğün mekanik tepkilerine de köpük yapısının etkisi vardır. Açık hücreli bir yapıda gaz fazı bir arada tutulamaz ve köpük çok daha fazla sıkıştırılabilir. Hücre boyutu da köpüğün özelliklerini etkiler. Daha küçük hücre boyutlarında, açık hücre yapının miktarı da azalır (Sivertsen, 2007).

### **■ Mekanik özellikler**

Gaz en az mekanik mukavemete sahip olduğundan, gaz ne kadar fazla olursa köpük o kadar az güçlü olur, bu da düşük yoğunluklu köpüklerin düşük Young modülünü sergilediği anlamına gelir. Köpüğün hücreleri değişen bir şeyle sahip olsa bile, oluşturduğu yönden dolayı köpüklerde genellikle bir miktar anizotropi vardır. Köpüklenme yönü

boyunca mukavemet daha iyidir. Bir hücrenin yükseklik / genişlik oranı belirli bir miktarda arttırılırsa, köpüğün basınç mukavemeti ve gerilme mukavemeti de aynı miktarda artar.

Açık hücreli yapılar daha düşük mekanik özelliklerin dezavantajına sahiptir, ancak ses emiliminde çok daha iyidir. Açık hücre yapısı köpüğün modülünü etkilediğinden, modül hesaplanırken bu dikkate alınmalıdır. Modül değeri (2.3)'teki denkleme göre hesaplanır:

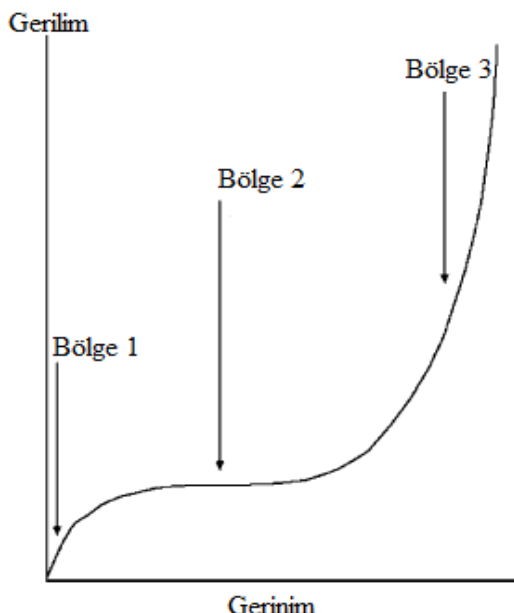
$$\frac{M_f}{M_p} = (1 - X)\varphi^2 \left(\frac{\rho_f}{\rho_p}\right) + x(1 - \varphi) \left(\frac{\rho_f}{\rho_p}\right) \quad (2.3)$$

$M_f$ ; köpüğün modülü,  $M_p$ ; polimerin modülü,  $\varphi$ ; hacimsel fraksiyon,  $\rho$ ; yoğunluk,  $X$ ; kapalı hücre fraksiyonu,  $f$ ; köpük,  $p$ ; polimerdir.

Darbe emilimi köpük polimerlerin köpüklendirilmiş polimere göre önemli bir avantajıdır. Hücreler, enerji etkisini absorbe etmek için deform olur ve daha sonra yük çıkarıldığında yeniden şekillenir. Polimer köpüğün çoklu yüklemelere dayanabilmesi ve yapıdaki değişime direnebilmesi gereklidir, böylece yükleme birçok kez tekrarlanabilir. Köpük çok büyük yüklerle maruz kalırsa, hücre duvarları patlar ve açık hücre yapısının miktarının artması köpüğün mekanik özelliklerini zayıflatır (Sivertsen, 2007).

- Basınç özellikleri

Tüm köpükler üç bölgeye ayrılan bir “gerilim-gerinim” eğrisi gösterir. Bölge 1: Lineer “Hookian” davranış, Bölge 2: Çökmüş düz luk, Bölge 3: Yoğunlaştırma olarak tanımlanır.



**Şekil 2.6.** Bir köpük için şematik sıkıştırma gerilim-gerinim eğrisi ((Eaves, 2004)'ten düzenlenmiştir.)

Bölge 1'de lineer elastik davranış, hücre duvari eğilmesi ile ve kapalı hücrelerde de gaz basıncı nedeniyle hücre duvarı gerilmesi ile kontrol edilir. Bölge 2'de hücreler, hücre duvarı burkulması yoluyla veya kırılgan köpüklerde hücre kırılması ve hücre duvarı kırılması yoluyla çökmektedir. Bölge 3'te yoğunlaşma meydana gelir. Köpük yoğunluğu arttıkça Bölge 1'de Young modülü artar, düzlük stres değeri artar ve yoğunlaşmanın başladığı gerginlik azalır.

Büyük basınç gerilmelerinde, gerilim-gerinim eğrisi yoğunlaşma nedeniyle keskin bir şekilde artar ve bir sınırlama gerilmesinde, sınırlayıcı bir eğime (başlangıç modülünden çok daha yüksek) doğru yönelir. İdealleştirilmiş hücre yapıları kullanılarak, matris polimer özellikleri, köpüğün nispi yoğunluğu, köpük özellikleri ve köpük yapısı ile ilişkili eşitlikler türetilmiştir. Başlangıç (Young) basınç modülü, kesme modülü, elastik çökme gerilimi ve Poisson oranı değerlendirilmiştir. Bununla birlikte, pratik amaçlar için ve pek çok köpük polimerde başlangıç polimer özellikleri reaksiyonlar sırasında modifiye edildiğinden (örneğin çapraz bağlanma gibi) köpük özellikleri direkt ölçülür ve üreticiler tarafından tablo veya şekillerle verilir (Eaves, 2004).

- Enerji absorplama özellikleri

Pek çok köpük polimer uygulaması, köpük polimerin üretildiği katı polimerden ziyade köpük yapısının enerji absorplama kapasitesini kullanır. Enerji, özellikle esas olarak gerilim-gerinim eğrisinin düz luk bölgesinde, elastik burkulma, plastik akma veya kırıl gane ezme bölgelerinde emilir. Plastik köpüklerde enerji, hücrelerin plastik akışı ile emilir ve ani geri toparlanma genellikle azdır. Kapalı hücreli polietilen köpükler, hücrelerin plastik deformasyonu ile enerjiyi emen malzemelere örnektir (Eaves, 2004).

- Tutuşabilirlik özellikleri

Köpük polimerlerin üretiminde şışirici ajan olarak kullanılan uçucu sıvılar kolayca yanabilen köpük polimerlerin oluşumuna yol açar. Esnek poliüretan köpükler düşük yoğunlukludur ve çok sayıda açık hücre yapısına sahiptir, bu da havaya geçirgen olduğu ve bir aleve maruz kaldığında kolayca yanacağı anlamına gelir. Çözümlerden biri köpükte alev geciktiriciler kullanmaktadır. Klorlu fosfat esterleri, klorlu parafinler, melamin tozları ve grafit alev geciktiricilerin kullanımı yaygındır (Sivertsen, 2007).

- Termal iletkenlik özellikleri

Köpük polimerlerin en yaygın uygulamaları, bina ve inşaat sektörü (duvar ve zemin yalımı, boru yalımı) taşımacılık (soğutuculu gıda kamyonları, sıvılaştırılmış gaz tankerleri), buz dolabı astarları gibi alanlardaki ısı yalıtım uygulamalarıdır. İnşaat uygulamalarında mineral yün en çok kullanılan yalıtım malzemesi olarak kalmasına rağmen, polimer köpüklerin üstün özellikleri; daha iyi yalıtım, daha kolay kullanım, su absorb etmemesi (kapalı hücreli köpükler için) genel olarak daha yüksek maliyetlerini telafi eder. PS ve PU köpükler yüksek miktarda kullanılır. Köpüklerin termal iletkenlikleri dört faktörle belirlenir:

- Katı polimerden ısı iletimi,
- Gaz fazından ısı iletimi,
- Hücrelerden ısı taşınımı,
- Hücre duvarlarından ve boşluklardan radyasyon.

Konveksiyon sadece 10 mm'den daha büyük hücre boyutlarına sahip köpük polimerlerde önemlidir. Bu nedenle hücre boyutları 0,1-2 mm arasında olan çoğu ticari köpükte ihmali edilebilir. Termal iletkenliğinde büyük katkıda bulunan gaz yoluyla iletimdir. Katı madde boyunca olan radyasyon ve iletim de katkı sağlar. (Gaz iletiminin sadece 1/3 'üne denk gelir). Gibson ve Ashby (1999) tarafından 0,1 MPa hava içeren 0,025 yoğunluğa sahip kapalı hücreli bir PS köpük için verilen örnekte köpük polimer 0,04 W/mK termal iletkenliğinde sahiptir. Bunun 0,003 W/mK' si PS katkısı, 0,024 W/mK'i hava katkısı ve 0,013 W/mK' si radyasyon yoluyla katkıdır. Konveksiyonun önemsiz olduğu varsayılmıştır. Bu durumda termal iletkenliğin; %62,5 katı, %7,5 gaz ve %32,5 radyasyon kaynaklıdır.

Köpük polimerin yoğunluğu azaldıkça katı polimerden geçen termal iletim miktarı da buna bağlı olarak azalır ve köpüğün iletkenliği 0,05 nispi yoğunlukta köpüğün iletkenliği minimum seviyeye düşer. Bu değerin altında, hücre duvarlarının radyasyona karşı artan şeffaflığından dolayı, köpük yoğunluğu sıfıra yaklaştıkça radyasyon katkısı kesin bir şekilde artar. Bu değerin üstünde, katı yoluyla iletim baskın olmaya başlar. En azından köpük iletkenliği hücrelerde bulunan havanından çok daha büyük değildir. İletkenliği daha da azaltmak için en çok kullanılan yöntem havayı TCFM (trikloroflorometan) gibi düşük iletkenlik içeren gazla değiştirmektir.

Hücre çapları 2 mm'den az olan köpüklerde hücre boyutunun termal iletkenlik üzerindeki etkisi nispeten küçüktür, ancak hücre boyutu azaldıkça iletkenliğin azalması eğilimi vardır. Termal iletkenlikte bazı küçük iyileştirmeler (azalmalar) hücre duvarlarının yansıtıcılığını arttıracak ve böylece radyasyon iletimini azaltmak için hücre yapısını değiştirebilir. ,

Yalıtım uygulamaları için sert PU köpükler üzerine yapılan son çalışmalar CFC kullanımını ve bununla ilgili çalışmalara yoğunlaşmıştır (Schütz ve Glicksman, 1984). Köpük polimerler yoluyla ısı transferi, sıcaklık düştükçe keskin bir şekilde azalır, çünkü katıların ve gazların ısı iletkenliği sıcaklıkla azalır ve düşük sıcaklıklarda radyasyon da daha azdır. Köpüklerin termal iletkenlikleri genellikle 10 °C' de standart sıcaklıkta ölçülür (Eaves, 2004).

- Diğer termal özellikler

Bir köpüğün erime noktası veya yumuşama noktası esasen katı polimerinkidir. Bir köpüğün özgül ısısı esasen üretildiği katı polimerden kaynaklanır çünkü gazın katkısı çok azdır. Termal genleşme katsayısı, özgül ısı gibi, esasen katı polimerinkidir, çoğu polimer köpük  $10^{-4}$  /K genleşme katsayısına sahiptir. Bununla birlikte, sıcaklık arttıkça gaz içeriğinin köpüğe uyguladığı basınç nedeniyle, kapalı hücreli veya düşük yoğunluklu elastik köpükler daha yüksek termal genleşme katsayısına sahip olma eğilimindedir. Düşük yoğunluklu köpüklerdeki ilk genleşmeyi, gazın köpükten yayılması nedeniyle genellikle hacimde bir azalma takip eder ve sıcaklık polimerin yumuşama noktasına yaklaşacak kadar yüksekse, köpük hücreleri çökmeye başladığında hacim orijinalden daha az bir seviyeye düşebilir (Eaves, 2004).

### **2.2.5. Köpük polimerlerin üretimi**

- Şişirme ajanları

Bir polimer kütlesinde hücresel yapıyı üreten madde üfleme ajanı olarak tanımlanmaktadır. Çoğu polimerik köpük malzemedeki gaz fazı, köpük polimer imalatında kullanılan şişirme ajanı tarafından üretilir. Şişirme ajanı hem polimer köpüğün üretiminde hem de performansında önemli bir rol oynamaktadır. Şişirme ajanı köpüğün yoğunluğunu kontrol eden en baskın faktördür. Yoğunluğun yanı sıra, köpüğün hücresel mikro yapısını ve morfolojisini de etkiler. Bu da polimerin son kullanım performansına etki eder. Kapalı hücreli köpük polimerlerin kullanıldığı izolasyon gibi bazı uygulamalarda, şişirme ajanı köpüğün hücresel yapısında bazen onlarca yıl tutulur, bu nedenle köpüğün uzun vadeli performansında merkezi bir rol oynar. Açık hücreli köpük polimerlerin kullanıldığı ambalaj ve yastıklama gibi uygulamalarda köpüğün hücresel yapısı köpük oluşturulduktan hemen sonra şişirme ajanının kaçacağı şekildedir.

Köpük polimer üretimi sırasında şişirici ajanın seçimi ve işleme koşulları/ aşamalarının seçimi birbirine bağlıdır. Polistiren, poliolefinler, poliamid, polyester gibi yüksek molekül ağırlıklı polimerlerin köpüklenmesi durumunda, şişirici ajan eriyik viskozitesini

ve polimerin termal geçmişini dolayısıyla da köpük oluşumu ve şekillendirilmesi sırasında reolojiyi değiştirir.

Şüphesiz, kullanılan şişirme ajanları arasında çok ortak nokta vardır ancak dünyanın belirli bir bölgesinde spesifik bir uygulamada kullanılan bir polimere özgü birçok gereklilik vardır. Karbondioksit PU için öncelikli şişirme ajanı iken, PS için metil klorür bütelen gibi düşük kaynama noktalı sıvılar öncelikli şişirme ajanıdır (Pontiff, 2000; Singh 2002; Suh ve diğerleri, 2000). Günümüzde pek çok şişirme ajanı ve bunların karışımıları kullanılmaktadır. Şişirme ajanları fiziksel veya kimyasal şişirme ajanı olarak sınıflandırılırlar (Eaves, 2004).

Fiziksel şişirme ajanları inorganik ve organik şişirme ajanları olarak ikiye ayrılmaktadır. Nitrojen, karbondioksit, su ve hava inorganik şişirme ajanlarıdır (Al Jahwari, Huang, Naguib ve Lo, 2016; Peng, Wals, Sabo, Turng ve Clemons, 2016; Pinto ve diğerleri 2017; Xie ve diğerleri, 2018). Organik şişirme ajanları ise pentan, heksan, dikloroetan ve freon olarak sıralanabilir (Song, Barber ve Lee, 2017). Kimyasal şişirme ajanları da inorganik ve organik olmak üzere ikiye ayrılır. Ayrıca, termal ayırmaya ve reaksiyon şişirme maddeleri olmak üzere de iki tipe ayrılabilir. İnorganik şışirme maddesi esas olarak sentetik kauçuk, doğal kauçuk ve kauçuk köpük ürünlerinde kullanılır. İnorganik termal ayırmaya şışirme maddelerine bikarbonat, karbonat ve nitrit örnek verilebilir. İnorganik reaktif şışirme maddelerine ise sodyum bikarbonat veya çinko tozu, bir asit reaksiyonu, hidrojen peroksit ve bir maya reaksiyonu örnek verilebilir (Petlitckaia ve Poulesquen 2019; Sadik, Pillon, Carrot ve Ruiz, 2018). Organik şışirme ajanları iyi dağılabilirlik, stabil gaz çıkışlı ve düzgün kabarcık oluşumu gibi avantajlara sahiptir. Organik reaktif şışirme maddesi izosiyanat bileşiklerinden oluşur. Organik termal ayırmaya şışirme maddeleri arasında azo köpük oluşturucu madde, nitrozo köpük oluşturucu madde ve asil hidrazit köpük oluşturucu madde bulunur (Liu, Long, Xie ve Xie, 2017; Long, An ve Xie, 2019; Michałowski, Prociak, Zajchowski, Tomaszevska ve Mirowski, 2017; Wu, Zhao, Wang, Zhang ve Li, 2018;).

- Köpükleme yöntemleri

Polimerlerin köpüklendirmesine dair farklı yöntemler mevcuttur. Burada mekanik, fizikal ve kimyasal köpükleme işlemlerinden kısaca bahsedilecektir. Mekanik köpükleme işleminde polimere hava eklenir ve sonrasında polimer köpüklendir. Mekanik köpürmede, ilave şişirici ajan gerekmez, işlem basittir. Çevreci, toksik olmayan ve güvenli bir yöntemdir. Düşük maliyetli ve yüksek verimliliği olan bir prosedür. Dezavantajı ekipman için yüksek gereksinim gerektirir. Fizikal köpürmede, düşük kaynama noktalı bir sıvı ve bir polimer karıştırılır ve daha sonra basınçlandırma ve ısıtma ile köpürtülür. Fizikal şişirme ajanının maliyeti nispeten düşüktür, özellikle karbondioksit ve nitrojen kullanıldığından. Köpükleme yöntemi kirlilik içermez, köpürmeden sonra kalıntı bırakmaz ve polimerin özellikleri üzerinde çok az etkisi vardır. Dezavantajı ise, özel enjeksiyon kalıplama makinesi ve ekipmana, yüksek teknik gereksinimlere ihtiyaç duyur.

Kimyasal köpürmede iki yöntem kullanılabilir. İlk yöntemde, şişirici ajan erimiş polimere ilave edilir ve gazı serbest bırakmak için ayrıştırılır. Daha sonra polimer, basınçlandırılarak ve ısıtılarak köpüklendir. İkinci yöntem, iki polimer arasındaki kimyasal reaksiyonların inert gazlar üretmek için meydana geldiği ve ardından polimerlerin köpüklendiği yöntemdir. Kimyasal köpürtücü ajan, belirli bir sıcaklık aralığında termal olarak ayırtılabilir ve bir veya daha fazla gaz açığa çıkabilir, bu nedenle bu yöntem belirli bir sıcaklık aralığında eriyik viskozitesine sahip polimerler için uygun olabilir. Kimyasal köpürme, sıradan enjeksiyon kalıplama makinesi ile gerçekleştirilebilir. Dezavantajı; yüksek kalıp imalat hassasiyeti gereklidir, kalıp maliyeti yüksektir ve yüksek basınçlı köpükleme işlemi sırasında ikinci bir sıkıştırma basıncı cihazına ihtiyaç vardır (Jin, Zhao, Park ve Park, 2019).

- Üretim teknikleri

Ekstrüzyon kalıplama: Şişirme ajansı olarak karbon dioksit ( $\text{CO}_2$ ) veya nitrojen ( $\text{N}_2$ ) gibi süper kritik bir sıvı kullanılır. Ekstrüder, birkaç ısıtma bölgesinden oluşur. Ekstrüder belirli bir sıcaklığa ısıtılarak ve besleme oranı ve vida hızı, işlem koşullarına göre belirlenmiş değerlere ayarlanır. Ekstrüderin besleme haznesine bir polimer (polimer karışımı veya polimer kompozit) ilave edilir ve işlem koşulları altında ekstrüde edilir.

Bir şırınga pompası kullanılarak haznenin bir bölgесine süper kritik bir sıvı verilir, süper kritik sıvı, polimer eriyiği içinde çözülerek polimerin eriyik viskozitesini düşürür. Köpürme sıcaklığının azaltılmasıyla hücre yoğunluğu artar ve eriyik mukavemet artar. Son olarak, mikro hücreli köpükler elde edilir (Ellingham, Duddleston ve Turng, 2017; Keshtkar, Nofar, Park ve Carreau, 2014; Wang, Zhao, Zhang, Mu ve Park, 2018).

**Enjeksiyonlu kalıplama:** Enjeksiyon makinesi, hizneden düzeye kadar birkaç enjeksiyon sıcaklığından oluşur. Enjeksiyon sıcaklığı, enjeksiyon basıncı, enjeksiyon hızı, kalıp sıcaklığı, bekletme süresi ve soğuma süresi gibi enjeksiyon kalıplama parametreleri, işlem koşullarına göre sabit değerlere ayarlanır. Bir polimer (polimer karışımı veya polimer kompozit), işleme koşulları altında plastikleştirilir. Süper kritik akışkan, homojen bir polimer / gaz çözeltisi oluşturmak için erimiş polimer içinde hızla çözülür. Çözelti, hızlı bir basınç düşüşü yaşayarak kalıp boşluğununa enjekte edilir. Enjekte edilen köpüklerin görsel görünümü ve karakteristikleri büyük ölçüde hammaddeye, kalıp tasarımına ve işleme koşullarına bağlıdır (Barbosa, Campilho ve Silva, 2018; Wang, Hikima, Ishihara ve Ohshima, 2017).

### **2.2.6. Poliolefin köpükler**

Poliolefin köpükler ilk altmışlı yılların başında piyasaya sürüldükten sonra neredeyse her sektörde bir kullanım alanı bulmuşlardır. Uygulama alanları arasında paketleme, spor ürünler, oyuncaklar, yalıtım, otomotiv, askeriye, uçak, yüzdürme, yastıklama ve diğerleri bulunmaktadır. Sert (kırılın olmasa da) köpükler PP veya HDPE kullanılarak elde edilirken, daha yumuşak köpükler etilen veya PP-kopolimerler kullanılarak elde edilir.

Poliolefin köpük üretiminde baskın olan tek bir yöntem yoktur. Hem sürekli hem de kesikli (batch) prosesler uygulanır. Üretim yöntemi köpük özelliklerini ve köpüğün formunu (levha, blok, boncuk) belirleyen bir faktördür. Proses köpük yapısını ve çapraz bağlanma derecesini belirler. Poliolefin köpükler normalde kapalı hücrelidir, üretim sonrası bir işlemle açık hücreli hale getirilebilir. Köpükler çapraz bağlı veya çapraz bağlı olmayan yapıda olabilir. Poliolefin köpük ürünlerin çoğu imalattan sonra köpük üzerinde ilave işlem içerir.

Bir süredir, poliolefİN köpük üretimi için, etilen ve propilen homo ve kopolimerlerini kapsayan geniş malzeme seçim aralığımasına rağmen, bu aralık metalosen katalizörleri kullanılarak üretilen poliolefİN köpüklerin üretimi eklenmiştir. Bu katalizörler, yüksek derecede polimer yapısını kontrol eder ve daha yüksek çekme mukavemeti, uzama, daha iyi esneklik gibi polimer oluşumu sağlar. Metalosen kullanılarak polimer üretimi daha zordur, üretim maliyeti artar. PoliolefİN köpükler için kullanılan yaygın şişirme ajanları; ADC (Azodikarbonamid), CFC (klora flora karbonlar), HCFC (hidro klora flora karbonlar), hidrokarbonlar ve CO<sub>2</sub> ve N<sub>2</sub> gibi gazlardır. Köpükler kapalı hücreli olduğundan, şişirme ajanının köpük içinde kalması önemlidir. Bazen oldukça uzun süreler köpük içinde kalır, köpüğün özelliklerini ve imalat sonrası şekillendirme işlemlerini etkiler.

PoliolefİN köpük üretiminde en çok kullanılan polimer LDPE' dir. LDPE uygun erime noktasına ve iyi işleme özelliklerine sahiptir. Doğrusal düşük yoğunluklu PE (LLDPE) ve HDPE gibi polimerler daha dar bir erime aralığı, daha düşük erime sıcaklığı ve daha düşük erime mukavemeti gibi daha kritik işleme şartlarına sahiptir ve bu özellikler bu malzemeleri proses için daha az uygun yapar (Eaves, 2004).

- PoliolefİN köpüklerin özellikleri

Tüm köpük polimerlerde özellikler aşağıda belirtilen parametrelere bağlıdır:

- Polimer cinsi
- Açık veya kapalı hücreli olması
- Köpük yoğunluğu
- Herhangi bir katkı maddesinin varlığı
- Hücre yapısı ve bütünlüğü

PoliolefİN köpüklerin neredeyse tamamı kapalı hücrelidir. Modifiye edici maddeler; küçük miktarda pigmentler, çekirdekleştirici ajanlar ve proses yardımcıları ile sınırlıdır ve bunların hiçbir özelliği üzerinde önemli etkiye sahip değildir. Alev geciktirici katkılar ağırlıkça %20'ye kadar ilave edilir ve bunlar fizikal özelliklerini etkileyebilir. Dolgu maddeleri fizikal özelliklere herhangi bir pozitif katkı olmadan yoğunluğu arttırdığı için normalde kullanılmazlar. Bu nedenle genel olarak fizikal özellikler köpük

yoğunluğu ve hücre yapısına bağlıdır. Çizelge 2.1'de Zotefoams firmasının kaynaklarına göre, benzer yoğunluktaki polimer tipinin köpük polimerin fiziksel özelliklerine etkisinin incelendiği örnek sunulmuştur. Maksimum kullanım sıcaklığındaki artış, etilen kopolimerlerinden homo polimerlere geçilirken daha yüksek yumuşama noktasını yansıtır. En yüksek mukavemet, yüksek yoğunluklu polietilen köpüklerle bulunur, bu da bu malzemelerin sağlam ve yüksek darbe gerilimine maruz kalacak alanlarda kullanılmasına imkân sunar.

**Çizelge 2.1.** Polimer tipinin köpük polimer özelliklerine etkisi (Zotefoams, 2004).

Özellik	Polimer Cinsi		
	EVA	LDPE	HDPE
Yoğunluk [kg/m <sup>3</sup> ]	35	33	30
Maksimum kullanım sıcaklığı [°C]	80	105	125
Basınç Mukavemeti (%25) [kPa]	35	40	60
Yırtılma Mukavemeti [N/m]	730	690	1320
Kopma Mukavemeti [kPa]	620	455	825
Kopma Uzaması [%]	200	135	55

Benzer şekilde Zotefoams firmasının kaynaklarına göre, köpük yoğunluğunun köpük polimerlerin fiziksel özellikleri üzerine etkisinin incelendiği örnek Çizelge 2.2'de sunulmuştur. Beklenildiği gibi, tüm özellikler yoğunluk artışıyla birlikte gelişmiştir.

**Çizelge 2.2.** Polimer yoğunluğunun köpük polimer özelliklerine etkisi (Zotefoams, 2004).

Özellik	Polimer yoğunluğu [kg/m <sup>3</sup> ]				
	24	33	45	60	70
Basınç Mukavemeti (%25) [kPa]	35	40	50	70	85
Yırtılma Mukavemeti [N/m]	410	690	1130	1490	1855
Kopma Mukavemeti [kPa]	340	455	600	790	945
Kopma Uzaması [%]	105	135	150	160	170
Eğilme Modülü [MPa]	0,4	0,7	1	1,7	2,7

Eaves (1998) çalışmasında kimyasal şisirme ajanı kullanılarak üretilen köpüklerin daha zayıf bir hücre yapısına sahip olduğu bunun da daha düşük fiziksel özelliklerle ilişkili olduğunu belirtmiştir. Örneğin, mukavemet %45 daha az, uzama %30 daha azdır. Yine aynı çalışmada ve Eaves ve Witten (1998) metalosen poliolefİN kullanılarak üretilen köpüklerle ilgili çalışmasında, aynı yoğunluk ve benzer eğilme miktarında üretilen LDPE köpükler kıyaslandığında, %60 daha yüksek mukavemet, %55 daha yüksek kopma

uzamasına sahip olduğu ve bu nedenle bu malzemelerin sert aşınmaya karşı giysiler için kullanılabilceği belirtilmiştir.

- PoliolefİN köpüklerin uygulama alanları

PoliolefİN köpükler çok çeşitli uygulama alanlarına sahiptir ve kullanmayan çok az sanayi vardır (Srivastava ve Srivastava, 2014). Bu alanlardan bazıları ve özel uygulamalar aşağıda listelenmiştir:

**Aletler:** Contalar ve iletişim balataları: Yoğunlukları  $15-60 \text{ kg/m}^3$  arasında değişen LDPE veya EVA köpükle üretilir. EVA köpük daha fazla esnekliğe ve sıkıştırma geri kazanımına sahipken LDPE daha iyi yük taşıma kapasitesine sahiptir.

**Otomotiv:** Contalar ve keçeler, su bariyerleri, halı altlıkları, ses yalıtım uygulamaları, titreşim tamponları, darbe koruması gibi alanlarda kullanılır. Genelde  $15-45 \text{ kg/m}^3$  arasında değişen LDPE köpükler kullanılır. Daha fazla esneklik istenen uygulamalarda EVA ve EMA köpükler, yüksek darbe koruması isteniyorsa HDPE köpük kullanılır.  $130^\circ\text{C}$ 'ye kadar dayanıklı olan PP kopolimer köpük tabaklarda geniş uygulama alanına sahiptir ve son zamanlarda  $15 \text{ kg/m}^3$  yoğunluğa sahip metasolen köpükler ağırlık tasarrufu sağladığı için teşvik edilmektedir. PP boncuk köpükler ise darbe emici tamponlarda yaygın olarak kullanılır.

**Yapı ve inşaat:** Sızdırmaz taşıyıcılar, cam contalar, saçak dolgu maddeleri, boru izolasyonu, darbe ses emilimi gibi alanlarda kullanılır.  $15-50 \text{ kg/m}^3$  yoğunlukta LDPE ve EVA köpükler özellikle yük desteğinin gerekliliği olduğu yerlerde örneğin darbe ses emilimi için zemin bloklarının altında kullanılır. Alev geciktiriciler, bina yönetmeliklerine uygun miktarda kullanılabilir.

**Uzay:** Sızdırmazlık, yüzdürme yastıkları, ses yalıtımı, kanal astarı gibi alanlarda kullanılır. Hemen hemen tüm havacılık uygulamaları için önemli bir kriter güç tutuşurluk için dikey yakma testi içerir. Airbuslar, duman ve toksisite içeren ek gereksinimlere sahiptir.  $50 \text{ kg/m}^3$  yoğunluğa sahip LDPE köpükler kullanılır. Ağrılık tasarrufu nedeniyle fiziksel özellikleri karşılayacak şekilde düşük yoğunluklar tercih edilir. Zotefoams

firmasının düşük yoğunluklu  $15 \text{ kg/m}^3$  güç tutuşur metasolen PE köpük özellikle uzay ve havacılık uygulamalarına yönelikdir.

**Denizcilik:** Can yeleği, şamandıra, çamurluklar, petrolün yayılmasını önleme çiti, üzer hortumlar gibi alanlarda kullanılır. Bu uygulamalar için genellikle yoğunluğu  $60 \text{ kg/m}^3$  e kadar olan LDPE köpükler kullanılır. Düşük yoğunluklu köpüklerin kaldırma kuvveti biraz daha fazladır ancak fiziksel özellikleri daha düşüktür ve sadece maliyetin önemli olduğu durumlarda kullanılır. Çamurluklar ve üzer hortum gibi bazı uygulamalarda köpüğün yüzey direncini artırmak için köpük bir veya daha fazla katmanlı koruyucu tabaka ile kaplanır.

**Medikal ve sağlık:** Atel, boyunluk, ortopedik ayakkabı tabanlığı, egzersiz matları, implant araçları, ortez destekler gibi alanlarda kullanılır. Kullanılan köpükler tüm yoğunluktaki polimerleri kapsar. Polimer seçimi gerekli destek derecesine (yüksek köpük sertliği) veya yumuşak (esnek) köpük veya konfor gereksinimine bağlıdır. Vücuda uygun şekli vermek için termoform şekillendirme işlemi sıkılıkla kullanılır.

**Spor ve hobi:** Yüzdürme teçhizatı, yüzücü yelekleri, yüzme tahtası, kamp matları, su kaydıracı paspasları, spor ayakkabı tabanları, kano koltukları, sörf tahtaları, oyuncaklar, kasketler gibi alanlarda kullanılır. Tıbbi uygulamalarda olduğu gibi özel uygulama gereksinimlerine bağlı olarak çok çeşitli polimerler ve köpük yoğunlukları kullanılır.

**Elektronik:** Statik dağıtıçı ambalaj, pim yerleştirme paketleri, iletken ambalajlar, faraday kafesi, iş istasyonu paspasları, iletken ayakkabı tabanlıkları gibi uygulamalarda kullanılır. Tüm bu uygulamalar statik deşarj etkilerine karşı koruma sağlayarak hassas elektronik bileşenlere zarar gelmesini önlemeyi amaçlamaktadır. Köpük polimer EVA veya LDPE bazlı olabilir, karbon siyahı katkısıyla iletken ya da statik dağıtıçı olması sağlanabilir. Gerekli iletkenlik seviyesini sağlamak için yüksek miktarda (%10-20) gibi iletken maddeye ihtiyaç vardır. İletken köpükler  $5 \times 10^3 \Omega \cdot \text{cm}$  hacimsel dirence sahipken, statik olanların yüzey direnci  $1 \times 10^7 \Omega/\text{sq}$  dir. Anti statik köpükler de  $1 \times 10^{11} \Omega/\text{sq}$  yüzey direnci vardır. Bu köpükler tanınma amacıyla genelde pembe renklidir. Yaygın kullanıllırlar fakat kuru ortamda kötü performans gösterirler.

Askeri: Uyku matları, mermi paketleme, silah paketleri, kasklar, travma pedleri, polis kalkanları EVA köpükler kullanılarak yüksek kaliteli, yırtılma dayanıklı, delinmeye dayanıklı uyku matları üretilir. Travma pedleri, kasklarda LDPE köpük kullanılırken, 115 kg/m<sup>3</sup> yoğunlukta HDPE köpük, askeri kask içinde kask astarı olarak tüfek atışından korumak için tasarlanmıştır.

Ambalaj: Bu uygulamalar nispeten iddiasızdır. Maliyet/görünüm başlıca kriterlerdir. En iyi performans yarı riyit LDPE veya LDPE/HDPE karışımıyla elde edilir (Eaves, 2004).

### **2.2.7. Köpük polimerlerin tekstilde kullanımıyla ilgili son çalışmalar**

Yang, Gupta, Dudley ve Lawrence (2005) elektromanyetik kalkanlama uygulamaları için karbon nano lif katkılı PS kompozit köpükler üretmiş, elektriksel iletkenlik, elektriksel geçirgenlik ve EMK özelliklerini incelemiştir. Saf PS köpüğe göre, %5 katkı oranında ani bir artış olup, elektriksel iletkenlik değeri  $4,5 \times 10^{-4}$  S/m' ye yükselmiştir. %15 karbon nano lif katkılı PS köpük yaklaşık 19 dB kalkanlama etkinliği göstermiştir. Ürettikleri kompozit köpüğün umut vadeden hafif bir EMK malzemesi olabileceğini ileri sürmüştür.

Azmi (2012) hindistan cevizi lifi takviyeli PU kompozit paneller üretmiştir. Kompozitin özelliklerini iyileştirmek için %5'ten %20'ye değişen oranlarda lif takviyesi kullanılmış ve kompozitin fiziksel ve mekanik özelliklerine etkisi incelenmiştir. %5 hindistan cevizi lifi takviyesi bile kompozitin özelliklerini iyileştirmiş ve lif katkısı ile daha hafif kompozit yapı elde edilmiştir.

Azahari, Rus, Kormin ve Zaliran (2017) akustik uygulamalar için farklı oranlarda doğal lif katkılı PU polimer kompozitler üretmiştir. 30 mm kalınlıkta ve %20 odun lifi katkı oranında üretilen kompozit malzeme en yüksek ses absorpsiyon katsayısı vermiştir. Bu tip bir kompozit malzemenin herhangi bir alanda ses absorbe edici malzeme olarak kullanılabileceği ileri sürülmüştür.

Razzaz, Mohebbi ve Rodrigue (2018) membran uygulamaları için köpük polimerden gözenekli içi boş lifler üretmişlerdir. Azodikarbonamid ve düşük yoğunluklu polietilen ekstrüzyon yoluyla birleştirilmiştir. Yüksek hücre yoğunluğu ve homojen hücre boyutu dağılımı elde edebilmek için şişirici gaz miktarı ve sıcaklık profili optimize edilmiştir. Daha yüksek hücre yoğunluğununa sahip membranların gaz geçirgenliğinin daha yüksek olduğu sonucuna varılmıştır.

Tongtong, Shuming, Wenbo, Yebin ve Jiang (2019) çalışmalarında konvansiyonel açık hücreli PU köpüklerle PE lif katkılı PU köpüklerin akustik özelliklerini kıyaslamıştır. PE lif içeriği (0,1- 0,6 g) arasında değişen, PE lif katkılı PU köpüklerin ses absorbsiyonu özellikleri geliştirmek istenmiştir. Lif katkısının ses absorpsiyonuna etkisi ve katkı ile absorbsiyon katsayısı arasındaki ilişki incelenmiştir. PE lifin PU köpüğe eklenmesi ile özellikle düşük frekans bölgesinde (100-630 Hz) ses absorbsiyonu önemli ölçüde bir artış göstermiştir. 0,1 g PE lif katkısı optimum bir ses absorbsiyon yeteneği sağlamıştır. PE lif katkılı PU kompozitler, PU köpüğe göre daha yüksek ses emicilik katsayısı göstermiştir.

Wu ve diğerleri (2019) çalışmalarında poliester dokusuz yüzey kumaş, karbon kumaş ve esnek poliüretan köpüğün bileşiminden oluşan güç tutuşur sandviç kompozit kumaşlar üretmişlerdir. Polyester dokusuz yüzeyin gramajı ve güç tutuşur malzemenin katkı oranının kompozit yapılarının mekanik özellikleri ve güç tutuşur özellikleri üzerine etkisi incelenmiştir. Artan gramajla mekanik özellikler iyileşmiştir. Güç tutuşur malzemenin oranının artması da kompozit yapının güç tutuşur özelliğini olumlu etkilemiştir. Kompozit yapı yanmaz olarak nitelendirilmiştir.

Yan ve diğerleri (2020) yüksek elektriksel iletkenliğe sahip düşük yoğunluklu polietilen köpük elde etmek için, karbon siyahı, tek duvarlı karbon nanotüp ve LDPE kullanarak kompozit köpük üretmişlerdir. Köpüğün elektriksel iletkenliği, mekanik özellikleri, mikro yapısı, yoğunluğu ve kristalliği ayrıntılı olarak incelenmiştir. Karbon siyahı ve tek duvarlı karbon nano tüplerin birlikte kullanıldığında sinerjik bir etkiye sahip olduğu bulunmuştur. %19 CB and %0.05 SWCNT katkısıyla  $2,88 \times 10^{-5}$  S/cm elektriksel iletkenlik elde edilmiştir.

Atiénzar-Navarro, Del Rey, Alba, Sánchez-Morcillo ve Picó (2020) geri dönüştürülmüş poliüretan köpüklerle dokuma kumaşların bileşiminden oluşan kompozit yapının ses absorpsiyon özelliklerini incelemiştir. PU süngerler silindirik deliklerle delinmiş ve farklı dokuma kumaşlarla birleştirilmiştir. Perforasyon oranı ne kadar yüksek olursa, orta ve yüksek frekanslarda ses yutma değerleri o kadar düşük çıkmıştır. Aynı perforasyon oranı için, açıklık boyutu ne kadar büyükse, absorpsiyon değerleri biraz daha yüksek çıkmıştır. Dokuma kumaş ve delikli PU köpük kombinasyonu, deliksiz PU örneklerine kıyasla 2 kHz civarındaki frekanslarda ses emme katsayısını değiştirmiştir ve önemli ölçüde arttırmıştır. Deneyel sonuçlar, ses absorpsiyonunun kullanılan dokuma kumaşın tipine de biraz bağlı olduğunu kanıtlamıştır.

### **2.3. Isı Yalıtımı**

Enerji kaynaklarının azalması ve küresel ısınmanın artmasıyla enerjinin daha verimli kullanımı her alanda ön plana çıkmaktadır. Dünya genelinde enerji tüketimi kişi başı %5 kadar artarken, ülkemizde son 25 yıldaki artış oranı %100 üzerindedir. Enerji tüketiminin çoğu yapılardaki ısıtma-soğutma sistemlerinden kaynaklanmaktadır (Ülker, 2009). Türkiye'deki yapılarda sadece ısıtma için tüketilen yıllık enerji miktarı  $200 \text{ kWh/m}^2$ 'nin üzerindedir (Dilmaç ve Keser 2003). Isı yalıtımı enerji ve atık tasarrufu ile dünyayı daha sağlıklı bir hale getirmeyi hedeflemektedir. Binaların ısı etkilerine karşı yalıtımlarındaki amaç hem yaz hem de kış mevsimlerindeki ısı hareketlerinin sonucu ortaya çıkabilecek bina hasarlarını önlemektir.

Isı bir enerjidir ve farklı sıcaklıklara sahip ortamlarda Termodinamiğin ikinci yasası gereği ısı yüksek sıcaklıklı ortamdan düşük sıcaklıklı ortama transfer olur ("Binaların Isı Yalıtımı", 2017 ; "Yapılarda Isı Yalıtımı", 2017). Farklı sıcaklıklı iki ortam arasında ısı transferini azaltmak için yapılan bu işleme "ısı yalıtımı" denir. Başka bir deyişle ısı yalıtımı, kışın ısınmak yazın da serinlemek için harcadığımız enerji miktarını azaltmak için alınan önlemlerdir ("Isı Yalıtımı Sektör", 2006).

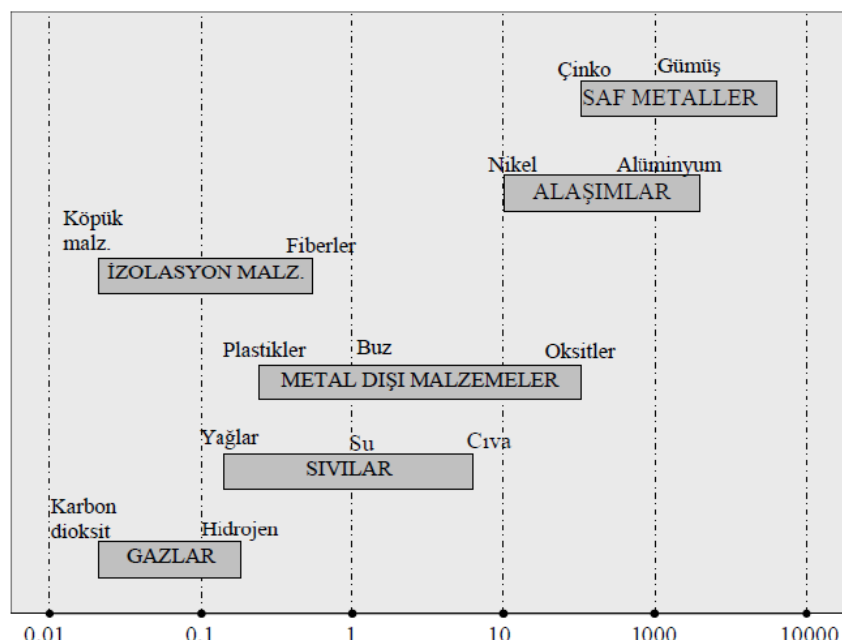
#### **2.3.1. Isı transfer mekanizmaları**

Isı transferi mekanizmalarını üç başlık altında incelemek mümkündür. Bunlar; ısı iletimi (kondüksiyon), ısı taşınımı (konveksiyon) ve ısı ışınımı (radyasyon)'dır.

**İşı İletimi:** İletim bir maddenin partikülleri arasındaki ilişki esnasında daha fazla enerjiye sahip partiküllerden daha az enerjiye sahip partiküllere enerji transferi olarak görülebilir (Kılıç ve Yiğit, 2008). İşı iletiminin temel denklemi (2.4) ile gösterilen Fourier İşı İletim Kanunu ile ifade edilir.

$$Q_x = -k A \left( \frac{\Delta T}{\Delta X} \right) [w] \quad (2.4)$$

$k$ , ısı iletim katsayısı ( $\text{W/mK}$ ) olup malzemenin önemli bir özelliğidir.  $A$  ( $\text{m}^2$ ) ise malzemenin alanını ifade eder. Genel olarak katılar sıvılardan, sıvılar da gazlardan daha yüksek ısı iletim katsayısına sahiptir (Kılıç ve Yiğit, 2008). Çeşitli malzemelerin ısı iletim katsayısı değerleri Şekil 2.7'de gösterilmiştir.



**Şekil 2.7.** Farklı malzemelerin ısı iletim katsayıları değerleri (Kılıç ve Yiğit, 2008).

**İşı Taşınımı:** Isınan havanın hareketinden kaynaklanan ısı akımıdır. Taşınım, isınan malzemenin bünyesindeki boşluk çeperleri veya yüzeyinden iletim etkisiyle isınan havanın yükselmesi ve soğuk havayla yer değiştirmesiyle gerçekleşir (Ülker, 2009). Taşınımı transfer edilen isınan sıcaklık farkı ile orantılı olduğu bulunmuştur. Bu durumda, bir orantı sabiti tanımlanarak 2.5'teki denklem elde edilmiştir.

$$q_{taş} = \frac{Qt}{A} = h_m (T_y - T^\infty) \quad (2.5)$$

Bu eşitlik Newton'un Soğuma Kanunu olarak bilinir.  $h_m$  ortalama ısı taşınım katsayısı olarak tanımlanır. Isı taşınım katsayısının birimi [ $\text{W}/\text{m}^2\text{K}$ ] dir.  $q_{taş}$  ise taşınımıla transfer edilen ısı akıdır (Kılıç ve Yiğit, 2008).

**Isı Işınımı:** Isınan bir yüzeyden gelen kızılıötesi ışınların ısıtıcı özellikteki enerjisinden kaynaklanan ısı akımıdır (Ülker, 2009). Maddenin ısıl enerjisinden kaynaklanan ve birim yüzeyinden birim zamanda serbest bırakılan enerji yayının gücü  $E$  ile gösterilebilir. Stefan-Boltzmann Kanunu yayının gücünün alabileceği maksimum değeri belirtmektedir. Yüzeyden birim zamanda ve birim alandan net ışınımla ısı transferi için (2.6)'daki denklem kullanılır.

$$q_{ışınım} = E \sigma_S (T_y^4 - T_{çevre}^4) \quad (2.6)$$

Bu eşitlik; birim zamanda ve birim alandan, yüzeyin ışına ile kaybettiği enerji ile yüzeye gelen ışına ile kazandığı enerji arasındaki farkı vermektedir. Birimi  $\text{W}/\text{m}^2$ 'dir.  $E$  materyali yaydığı ısı enerjisini,  $\sigma_S$  Stefan-Boltzman sabitini ( $5,67 \times 10^{-8} \text{ W}/\text{m}^2 \text{ K}^4$ ) ifade eder (Kılıç ve Yiğit, 2008).

### 2.3.2. Isı yalıtıminın faydaları

Isı yalıtımlı, enerji ve atık tasarrufu ile dünyayı daha sağlıklı bir hale getirmeyi hedeflemektedir. Isı yalıtıminın faydalarından bir kısmına aşağıda yer verilmiştir:

- Binalarda mekanik ve elektrik sistemlerin kurulmasını en aza indirgeyerek doğal kaynak kullanımına bağlı enerji korunumuna yardım eder.
- Binada kullanılan işletme enerjisinden %50-70 oranında tasarruf edilmesini sağlar.
- Çevresel kazanç olarak hava kirliliğini azaltır.
- Kısıtlı enerji kaynaklarının daha uzun süre kullanılmasını sağlayarak gelecek nesillere katkıda bulunulmasını sağlar.
- ısıl konfor olarak iç hava kalitesini sürekli kılar.
- İşitsel konfor olarak; dış ortamdan ve komşu birimlerden gelen gürültüyü engelleyerek akustik yalıtılmaya yardımcı olur.

- Sıcaklık değişimlerinin yapı bileşenlerine zarar vermesini engelleyerek binanın ömrünü uzatır.
- Uygun malzeme kullanımıyla yangının geciktirilmesini sağlar, büyümeye engel olur (Al-Homoud, 2005).

### **2.3.3. Yapılarda ıslık kazanç-kayıplar ve ısı yalıtımı gerektiren yerler**

Binalarda istenen termal konfor şartlarını sağlamak için ısıtma, soğutma, havalandırma ve aydınlatma amacı ile enerjinin önemli bir kısmı tüketilir (Maleki, 2011). Yapılarda ısı kayıpları; pencerelerden %15-20, tavandan %25, duvarlardan %25-30 ve dösemelerden %10 oranında gerçekleşmektedir. Çatı, döseme ve dış duvarlar yalıtım malzemeleriyle uygun bir şekilde yalıtlarak enerji kaybı azaltılabilir. Termal konforu sağlayabilmek için ıslık kazanç ve kayıplar dengelenmelidir. Bir yapıdaki ıslık kazanç ve kayıplar aşağıda açıklanmıştır:

- Isıtma sisteminden elde edilen faydalı ısı,
- Elektrik ışıklarından, fırından, su ısıtıcılarından, bulaşık makinesi ve buzdolabı gibi motorlu ev makinelerinden dağılan ısı,
- Kullanıcıların yaydığı ısı,
- Pencere yüzeylerinden yayılan ısı,
- Duvar yüzeylerinden yayılan ısı (dış yüzeyden ısınımla emilim, iç yüzeye iletim ve taşınım yoluyla gerçekleşen ısı akımı),
- Havalandırma yoluyla kapı ve pencere altındaki boşluklardan, açık camlardan, anahtar deliklerinden ve bacalarдан kaybedilen ısı,
- Çatıdan taşınım yoluyla kaybedilen ısı,
- Dösemeden taşınım yoluyla kaybedilen ısı,
- Duvarlardan iletim yoluyla kaybedilen ısı,
- Pencerelerden iletim ve ısınımla kaybedilen ısı,
- Sıcak suyun drenajıyla kaybedilen ısı,
- Mekândaki suyun buharlaşmasıyla ve dışarıya kaçmasıyla kaybedilen ısı (Diamant, 1965).

### **2.3.4. Isı yalıtım malzemeleri**

Isı yalıtım malzemelerini birbirinden ayıran en temel özellik ısı iletim katsayılarıdır (“Isı Yalıtımı Sektör”, 2006). Isı yalıtım malzemelerinin sahip olması gereken temel teknik özellikler aşağıda sıralanmıştır:

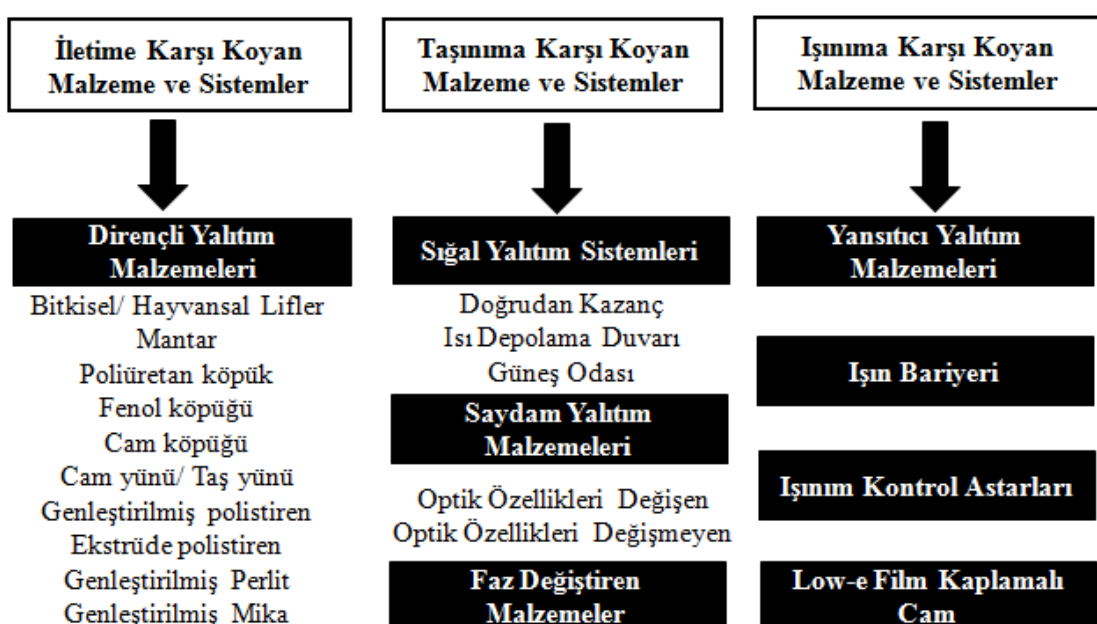
- **İsıl İletkenlik Katsayısı (W/mK):** Malzemenin ısı yalıtım değerini belirler, birbirine paralel iki yüzey arasındaki sıcaklık farkı 1 °C olduğunda birim zamanda birim alan ve birim kalınlıktan geçen ısı miktarıdır.
- **İsıl Direnç (R) ( $m^2K/W$ ):** Isı yalıtımı yapılmasının amacı ısı kayıp ve kazançlarını önlemektir. Isı yalıtım malzemesinin bunlara karşı göstereceği dirence büyük olmalıdır. Isı yalıtım sistemleri standartlarında (TS EN 13499), (TS EN 13500) ısı yalıtım sistemlerinden istenilen ısıl direnç değeri  $1\ m^2K/W$  ve üzeridir (Anonim, 2017).
- **Yoğunluk ( $kg/m^3$ ):** Isı yalıtım malzemenin bünyesel boşluklu yapıları gereği birim hacim ağırlığının düşük olması gerekmektedir. Isı yalıtım malzemelerinde, birim hacim ağırlığın az olması boşluk oranının yani ısı yalıtım özelliğini veren hareketsiz hava boşluklarının fazla olduğunu gösterir. Isı yalıtım malzemelerinde birim hacim ağırlık  $10 - 500\ kg/m^3$  arasında değişmektedir.
- **Buhar Difüzyon Direnci:** Buhar difüzyon direncinin hangi seviyede olacağı ısı yalıtım malzemesinin kullanılacağı yere göre belirlenir. Bazı koşullarda ısı yalıtım malzemesinin su buharını tamamen geçirmesi bazı koşullarda ise hiç geçirmemesi istenebilir. Buharın yoğunması sonucu oluşacak nemlenme, malzemenin yalıtım özelliklerini yitirmesine sebep olur (Toydemir ve diğerleri, 2000).
- **Boyutsal Kararlılık:** Isı yalıtım malzemeleri, bilhassa dış cephelerde büyük ısı farklılıklarına maruz kalır bu sebeple boyutsal stabilité çok önemlidir (Anonim, 2017). Isı yalıtım malzemelerinde boyutsal kararlılık yüzdece ifade edilmekte olup ilgili standartlarla belirlenmektedir (Ülker, 2009).
- **Mekanik Dayanım:** Malzemenin basınca ve çekmeye dayanım gibi özelliklerini kapsar. Yalıtım malzemesinin zarar görmeden yükleri karşılaması gereken durumlarda yüksek basınç dayanımına sahip olması beklenir. Fakat bazı malzemeler basınç yükleri karşısında gösterdikleri esneme kabiliyetine sahiptir ve yapısını koruyarak yalıtım özelliklerini kaybetmez; bu durumda da yüksek basınç dayanımı beklenmez (Strother

ve Turner, 1990). Özellikle eğilmeden kaynaklanan çekilme gerilmelerinin karşılanabilmesi için ısı yalıtılmalzemesinin yeterli bir çekme mukavemetine sahip olması gereklidir (Toydemir ve diğerleri, 2000).

- Dayanıklılık: Bu kapsamda malzemelerin suya, neme, kimyasal ve biyolojik etkilere karşı dayanım özelliklerini önemlidir. Malzemelerin işlevlerini yerine getirebilmeleri için nemlenmemeleri ve ıslanmamaları gereklidir. Malzemenin su ve neme dayanıklılığının belirlenebilmesinde standartlarca belirlenen birtakım ölçütler vardır. Kullanılacak malzemelerin maruz kalacağı kimyasal etkilere göre gerekli testler ve değerlendirmeler yapılmalıdır. Yapılarında parazit barındırmaması, küp oluşumuna izin vermemesi ve bunların etkisiyle de özelliklerini kaybetmemeleri gereklidir (Toydemir ve diğerleri, 2000).
- Sıcaklığa Dayanım ve Yangın Emniyeti: Isı yalıtılmalzemelerinin sığa ve soğuğa karşı uzun süreli azalmayan bir performans göstergeleri istenir (Anonim, 2017). Isı yalıtılmalzemeleri yangın davranışlarına göre 3 farklı sınıfta ele alınırlar; hayvansal ve bitkisel kökenli malzemeler, mineral kökenli malzemeler ve polimer kökenli malzemeler. Hayvansal ve bitkisel kökenli malzemeler yanma sıcaklıklarına eristiklerinde yanmaktadır. Mineral kökenli yalıtılmalzemeleri  $250^{\circ}\text{C}$ 'ye kadar dayanabilemektedir. Genel olarak yüksek sıcaklıklara dayanıklıdır, yangın halinde yapılarının bozulmasına rağmen yanıcı değildir. Polimer kökenli ısı yalıtılmalzemeleri ise sürekli kullanım sıcaklıklarını genellikle  $60^{\circ}\text{C}$  seviyesinde olan,  $120^{\circ}\text{C}$ 'den sonra ayırmaya, sonrasında zehirli gaz çıkarmaya, daha sonra da yanmaya başlayan malzemelerdir (Gürdal, 1998).
- Ekolojik Uygunluk: Isı yalıtılmalzemeleri gerek üretim esnasında gerekse sonrasında çevreye (çevre ve ekosistem) zarar vermemeli, temas halinde de insan sağlığına zararlı olmamalıdır. Mümkin olduğunda az enerji tüketimi gerektirmesi beklenir.
- Ekonomiklik
- Uygulama Kolaylığı

Isı yalıtılmalzemelerinin sınıflandırılmasında literatürde pek çok farklı yaklaşım mevcuttur. Bunlara örnekler verecek olursak: Crone (1956), ısı yalıtılmalzemelerini düşük yoğunluklu düşük iletkenlikli ve yansıtıcı ısı yalıtılmalzemeleri olmak üzere iki başlık altında sınıflandırılmıştır. Neğiş (1988) ısı yalıtılmalzemelerini malzemenin yapısına ve malzemenin yapıldığı esas maddeye göre sınıflandırmıştır. Toydemir ve ark.

(2004) ısı yalıtım malzemelerini doğada varoluşlarına ve bünyesel yapılarına göre sınıflandırmıştır. Papadopoulos (2005), ısı yalıtım malzemelerini inorganik, organik, kombinasyon ve yeni teknoloji malzemeler olarak sınıflandırılmıştır. Ülker (2009) ise tez çalışmasında bu sınıflandırmalar ve diğer burada bahsedilmeyen sınıflandırmaları da baz alarak yeni bir sınıflandırma oluşturmuştur. Isı yalıtım malzemelerini; iletme karşı koyan malzemeler ve sistemler, taşınma karşı koyan malzemeler ve sistemler, işinme karşı koyan malzemeler ve sistemler olmak üzere ayırmıştır (Şekil 2.8).



**Şekil 2.8.** Isı yalıtım malzemelerinin sınıflandırılması (Ülker, 2009).

### 2.3.5. Tekstilde ısı yalıtımlarıyla ilgili son çalışmalar

Matusiak ve Sikorski (2011) çalışmalarında farklı desende, farklı lineer yoğunluğa sahip çözgü ve atkı pamuk ipliklerden dokunmuş kumaşları incelenmiştir. Kumaş yapısının termal izolasyon özelliklerine etkisi araştırılmıştır. Ölçüm sonuçlarından ısı absorplama kapasitesi en iyi olan numune bezayağı numune olup kumaş gramajı artışıyla ısı absorplama kapasitesinin artığı görülmüştür.

Canbolat (2013) tez çalışmasında binalarda ısı ve ses izolasyonu için kullanılabilen duvar kumaşı üretimi amaçlamıştır. Kanallı poliester elyaf kullanılarak dokusuz yüzey,

polipropilen ve içi boş polipropilen elyaf kullanılarak elde edilen tekstüre ipliklerden ise bez ayağı desenine göre yüzeyler oluşturulmuştur. Bu iki farklı yüzey adhesiv madde ile birleştirilmiştir. Bu yapıya 3 farklı konsantrasyonda ve 2 farklı boyutta ponza taşı tozu aktarılmıştır. Duvara adhezyon için de çift katmanlı yüzeyin bir tarafı adhesiv bir madde ile kaplanmıştır. Ponza taşı tozu miktarı ile katmanlı yapının ısı iletim katsayısının düşüğü gözlenmiştir. Katmanlı yapının insan kulaginiın en hassas olduğu 3000 Hz frekanstaki sesin %58-29 oranında absorplandığı görülmüştür.

Manasoğlu (2014) tez çalışmasında farklı konsantrasyonlarda ve farklı tanecik boyutlarına sahip selüloz tozları ile kaplanan polyester kumaşların ısı ve ses yalıtım özelliklerini incelemiştir. Kaplamalı kumaşların özellikle orta ve yüksek frekanslarda ses yutma davranışının belirgin şekilde geliştiği ve genelde ısil iletkenlik değeri düşük kaplamaların elde edilebildiği görülmüştür.

Van Amber, Wilson, Laing, Low ve Niven (2015) çalışmalarında çorap kumaşlarında; lif türü, iplik türü ve kumaş yapısının termal direnç, su buharı direnci, ısil iletkenlik ve su buharı geçirgenliği ve sıvı emme kapasitesi üzerine etkisini incelemiştir. Bu özellikler üzerinde en fazla etkisi olan parametre kumaş yapısıdır. Havlu kumaşlar en çok termal ve su buharı direncine sahip çıkmıştır.

Afzal ve diğerleri (2017) çalışmalarında poliester/pamuk çift katlı örme interlok kumaşlarda çeşitli kumaş parametrelerinin termal direnç, termal iletkenlik, termal soğuruculuk ve termal yalıtım özelliklerine etkisini incelemiştir. Daha yüksek övgül ısı ile elyaf içeriği arttıkça kumaşın ısil geçirgenliği azalmıştır. İplik numarası, ilmek uzunluğu ve kumaş kalınlığı ile kumaşların termal yalıtım değeri doğru orantılı çıkmıştır.

Abreu, Catarino ve Tama (2018) spor giysilerde kumaş özelliklerinin termal yalıtım özelliklerine etkisini incelemiştir. İki farklı lif kombinasyonu ve yedi farklı örgü tipi seçilerek uzun kollu tişörtler üretilmiştir. Her bir tişört için toplam ve efektif giysi yalıtım değerleri hesaplanmıştır. Isı kaybı değerlerinin vücut bölgelerine göre karşılaştırılması ve ayrıca etkili giysi izolasyonları için karşılaşmalar yapılmıştır. Vücut bölgelerine göre ısı akışı belirlenmiştir. Elde edilen veriler ışığında, kullanıcı konforunu ve performansını

artırmak için üretilen kumaşlar birleştirilerek yeni bir gömlek tasarımları sunulmuş ve önerilmiştir.

Yang, Wang, Liu, Cheng ve Li (2019) koaksiyel yaşı çekim yöntemiyle selüloz asetat/poliakrilik asit içi boş lif hazırlayarak, ardından ipek fibroin çözeltisini içi boş liflere enjekte ederek termal yalıtım uygulamalarına yönelik lif üretmişlerdir. Bu liflerden oluşan mat, 20 ile 100 °C aralığında mükemmel termal yalıtım özelliği göstermiştir. Yazarlar bu liflerin yüksek performanslı giyilebilir ısı yalıtım malzemeleri geliştirmek için alternatif bir malzeme olduğunu ileri sürmüştür.

Pakdel ve diğerleri (2020) pamuklu kumaşlara değişen oranlarda titanyum dioksit ve içi boş cam mikroküre kaplamıştır. Kaplamalı kumaşların termal yalıtım özelliklerinin yanı sıra, alev geciktirici özelliği, UV koruma dayanımı ve akustik performansı incelenmiştir. Termal yalıtım özellikleri hem termal infrared görüntüleme yöntemiyle hem de buguya karşı korunmuş kızgın plaka deneyi (sweating guarded hot plate test) ile değerlendirilmiştir. Pamuklu kumaş üzerindeki içi boş cam mikro kürelerin varlığı termal yalıtım değerini %78 oranında arttırmıştır.

## 2.4. Ses Yalıtımı

### 2.4.1. Ses ile ilgili temel kavramlar

Ses, fiziksel bir etki ile titreşen bir kaynaktan çıkan, maddesel ortam koşullarında yayılan ve insan kulağınca algılanabilen basınç dalgalarıdır (Özkan, 2001). İnsan kulağı 20 Hz ile 20.000 Hz arasındaki sesleri iştebilir. Sesin işitilebilmesi için şiddetinin belli bir düzeye erişmesi gereklidir. İnsan sesleri 250-500-1000-2000 Hz' lik frekanslarda yer alır (“Ses Yalıtımı”, 2017). Sesin iletilmesi için mutlaka bir hava ortamı gereklidir. Hava olmayan bir mekânda ses iletilemez. Ses dalgaları; farklı ortamlarda farklı hızlarda yayılır. Örneğin ses dalgalarının havadaki yayılma hızı 344 m/s iken suda 500 m/s, betonarme bir elemanda ise 3000-3500 m/s'dir (“İnşaat Teknolojisi Ses”, 2017). Ses ile ilgili temel kavramlar aşağıda sıralanmıştır:

- Frekans: Ses dalgalarının saniyedeki titreşim sayısına “frekans” denir. Birimi Hertz (Hz) ‘dir (“İnşaat Teknolojisi Ses”, 2017). Canlıların duyduğu ses frekans aralıkları

birbirinden farklıdır. İnsan kulağının en hassas olduğu frekans aralığı 1000-4000 Hz'dır. Gürültü ile oluşan işitme kayıpları da önce bu bölgede başlar.

- Periyot: İki sıkışma veya gevşeme bölgesi arasındaki zamana veya bir titreşim için geçen süreye “periyot” denir. Birimi saniyedir (Demirkale, 2007). Periyodun tersi frekanstır.
- Dalga boyu ve genlik: İki sıkışma veya iki gevşeme bölgesi arasındaki mesafeye “dalga boyu” denir.  $\lambda$  ile ifade edilir, birimi metre (m)'dir. Böylece sabit bir c hızında hareket eden dalga T zamanında  $\lambda = c / f$  kadar yol kat edecektir. Bir ses titreşiminde genliğin azlığı veya çokluğu ses şiddetinin azlığı veya çokluğu anlamındadır. Frekansı değişmeyen bir titreşimde, genliğin artması ile aynı süre içinde elementler daha fazla yol kat edeceklerinden, elementlerin genlik atılım hızının (titreşim hızı) artması, ses titreşimini meydana getiren enerjinin artması, bu da ses şiddetinin artması demektir (“İnşaat Teknolojisi Ses”, 2017).
- Ses şiddeti ve ses basınç seviyesi: Ses alanı içinde verilen bir noktada, belirli bir doğrultu içindeki birim alandan geçen akustik gücün ortalama miktarına ‘ses şiddeti’ denir. Birimi Watt/cm<sup>2</sup>'dir (Demirkale, 2007). Ses yayılması sırasında değişen atmosferik basıncın referans ses basıncına (20 µPa) göre farkına ‘ses basınç seviyesi’ denir. Ses basınç seviyesinin birimi desibel (dB)'dir (“İnşaat Teknolojisi Ses”, 2017).

#### **2.4.2. Gürültü**

Ses dalgası gelişigüzel bir spektrumda yer alıyorsa, başka bir deyişle istenmeyen bir ses ise buna gürültü denir (“Ses Yalıtımı”, 2017). Gürültü düzensiz yapılı, farklı frekans bileşenlerine sahip ve genellikle zamana göre değişken olan istenmeyen ses topluluğudur. Gürültü olarak adlandırılan sesler genellikle 60 Hz- 4000 Hz frekans aralığı ve 60-130 dB aralığında kabul edilmektedir (Özkan, 2001).

Endüstrileşme sürecinin hızlı gelişimi ile, gürültü kirliliği günlük yaşamı ciddi şekilde etkilemiş ve insanların fiziksel ve zihinsel sağlığına önemli ölçüde zarar vermiştir (Black, 1986; Goines ve Hagler, 2015). Yüksek düzeyde çevresel gürültüye uzun süre maruz kalmanın, yalnızca baş dönmesi, baş ağrısı ve işitme bozukluğu gibi sağlık sorunlarına neden olmakla kalmayıp, aynı zamanda depresyon, sinirlilik, hipertansiyon,

kardiyovasküler hastalıklar, diyabet ve uyku bozukluğu gibi sayısız zararlı sağlık etkilerine de katkıda bulunduğuna dair güçlü kanıtlar vardır (Basner ve diğerleri 2014; Taban, Mortazavi, Vosoughi, Khavanin, ve Asilian Mahabadi, 2017; Talebi, Soltani, Habibi ve Latifi, 2019).

Gürültüyle mücadele metotları “akustik düzenleme” ve “ses yalıtımı” olmak üzere ikiye ayrılır (“Ses Yalıtımı”, 2017).

Akustik düzenleme genellikle işitsel konforun önemli olduğu, bireylerin dinleme ya da dinleme ve izleme eylemleri içinde oldukları ortamlarla, ses kayıt işlemlerinin gerçekleştirildiği ortamlarda yapılması öngörülen çalışmalardır (Özkan, 2001). Ses yalıtımı ise; yapı elemanları vasıtasıyla iletilen seslerin miktarını azaltmak için yapılan işlemidir. Ses yalıtımı uygulamalarında ses kaynağı çoğunlukla uygulamanın yapılacak hacmin dışındadır (“İnşaat Teknolojisi Ses”, 2017). Yapı elemanlarında sesin iletimi ve yayılımı hava doğuşumlu ve darbe kaynaklı olmak üzere iki yolla olmaktadır. Ses dalgaları hava içerisinde hareket ederek ulaştıkları yapı elemanın titreşmesine neden olur. Titreşimler yapı elemanı içerisinde ilerleyerek veya yapı elemanında bulunan çeşitli boşluklardan geçerek ses kaynağının komşu olan hacme ilettilir. Tipik hava doğışumlu ses iletimine örnek olarak konuşma, müzik dinleme vb. faaliyetler verilebilir. Bir nesnenin yapı elemanına (duvar, tavan veya döşeme) çarpması sonucu, yapı elemanın her iki yüzeyi de titreşerek ses dalgası üretir ve darbenin olduğu hacmin dışındaki diğer hacimlere ses ilettilir. Tipik darbe kaynaklı ses iletimine örnek olarak ayak sesleri, zıplama, eşyaların düşürülmesi, sürüklənməsi vb. faaliyetler verilebilir.

#### **2.4.3. Ses yalıtımının faydaları ve uygulama alanları**

Ses yalıtımının faydaları aşağıdaki şekilde sıralanabilir:

- Gürültünün zararlı etkilerinden koruyarak, sağlıklı ve konforlu yaşam alanlarının oluşturulmasını sağlar.
- Çalışanların iş veriminin artması ve iş kazalarının azaltılmasını sağlar.
- Dünya Sağlık Örgütü tarafından yapılan araştırmalar sonucunda gürültünün çocuklarda uzun dönemli hatırlama ve kavrama yeteneklerinin azalmasına neden

olduğunu ortaya koymaktadır. Ses yalıtımı, gürültünün eğitim kalitesini azaltıcı etkisini ortadan kaldırır.

Ses yalıtmının uygulandığı yerler aşağıdaki şekilde sıralanabilir:

- Konutlar, okul, hastane, yurt, otel, iş yeri gibi, gürültünün zararlı etkilerinden korunması gereken alanların duvar, döşeme, çatı, kapı, pencere ve tesisat elemanlarına,
- Çevreye yaydıkları gürültünün önlenmesi gereken jeneratör, hidrofor, kalorifer dairesi gibi alanların ve yüksek ses düzeyine sahip eğlence yerleri vb. mekânların duvar, döşeme, tavan, pencere, kapı ve tesisat elemanlarına,
- Sinema, tiyatro, konser ve konferans salonu, TV ve ses kayıt stüdyosu gibi kullanım koşulu sese bağlı alanların duvar, döşeme, tavan, kapı, pencere ve tesisat elemanlarına yapılmalıdır (“İnşaat Teknolojisi Ses”, 2017).

#### **2.4.4. Ses yalıtım malzemeleri**

Katı cisimler kütleleriyle ses geçişine karşı direnç gösterirler. Yapı elemanlarının kütleleri arttıkça titreşerek ses iletmeleri zorlaşır. Bu nedenle birbiriyile temas halindeki iki cisim arasında ses geçişinin azaltılması için hacimlerin arasındaki ortak yüzeyin mümkün olduğunda ağırlaştırılması gereklidir. Bu prensibe “Kütle Kanunu” denir. Bitişik iki hacmin arasındaki yapı elemanın titreşerek ses geçişine neden olmaması için izlenebilecek diğer yöntem ise ortak yapı elemanın birbiri ile temas etmeyecek şekilde iki katmandan oluşturularak bölünmesi ve araya yay görevi görecek ses yutucu malzemelerin yerleştirilmesidir. Böylelikle birinci katmandan kısmen gecebilen ses dalgaları ses yutucu malzemenin içerisinde geçerken büyük ölçüde yutulur ve ikinci katmanında kütlesinden kaynaklanan dirence maruz kalarak ses geçişini azaltır. Bu prensibe “Kütle- Yay- Kütle Kanunu” denir.

Hava doğuşumlu seslerin iletiminin kütle-yay-kütle prensibi ile azaltılması için; iki kütle arasında yay görevi gören ses yutucu malzemelerin bünyelerinde, havanın gecebileceği boşluklar bulunmaktadır. Hava doğuşumlu sesler; açık gözenekli yapıya sahip olan ses yutucu malzemelere nüfuz ettiklerinde, bu iç boşluklara doğru ilerler. Ses enerjisinin bir

kısmı; bu boşluklarda ilerlerken sürtünme ve malzemelerdeki küçük elyafların titreşimi nedeniyle ısı enerjisine dönüşerek kaybolur. Ses dalgasının malzeme bünyesine aldığı yol arttıkça (malzeme kalınlığı) yutulan ses enerjisi de artar. Bu tür ürünlere cam yünü, taş yünü, süngerler, yumuşak poliüretan köpüğü, ahşap yünü örnek olarak verilebilir.

Bir cismin bir yüzeye çarpması ile oluşan darbe kaynaklı sesler; katı ortamda moleküllerin titreşmesine neden olarak ses iletimine neden olurlar. Darbe kaynaklı seslerin bina içerisinde yayılmasının kütle-yay-kütle prensibi ile önlenmesi için; darbenin meydana geldiği ortamdan sesin titreşim yoluyla diğer katı yapı elemanlarına aktarımının önüne geçilmesi gereklidir. Bu amaçla darbenin meydana geldiği ortamın diğer yapı elemanları birbirinden ayıran belirli miktarlarda sünebilen elastik yapısıyla yay görevi gören ses yutucu malzemeleri kullanılır. Bu tür ürünlere polietilen köpüğü örnek olarak verilebilir (“İnşaat Teknolojisi Ses”, 2017).

#### **2.4.5. Gözenekli malzemelerle ses yutumu**

Ses yutucu malzemeler endüstriyel salonlarda ve binalarda, refahı ve yaşam kalitesini iyileştirmek için gürültü kontrol tekniklerinden biri olarak kullanılmaktadır (Berardi and Iannace, 2015; Jayamani ve Hamdan, 2013; Soltani ve Zerrebini, 2012; Yang ve Moon 2019). Genel olarak bu akustik malzemeler tanecikli, hücresel ve lifli yapılar olarak sınıflandırılır. Lifli ses yutucular temel olarak sentetik (organik ve inorganik) ve doğal (hayvansal, bitkisel veya mineral bazlı) lifler olarak sınıflandırılabilir (Jawaid ve Abdul Khalil, 2011).

İyi akustik özellikler elde etmek için malzemelerin gözenekli yapıda olması gereklidir. Gözenekli malzemeler, sesin matrislerine girmesine ve dağılmamasına izin verir. Ses dalgaları gözenekli malzemelere girdiğinde, gözeneklerdeki hava molekülleri titreşerek ses enerjisini termal ve viskoz ısıya dönüştürür (Berardi ve Iannace, 2015). Düşük frekanslarda, bu enerji izotermal proses tarafından dağıtilır ancak yüksek frekanslarda enerji adyabatik süreç tarafından kaybedilir (Berardi ve Iannace, 2015; Berardi ve Iannace 2017). Sonuç olarak, düşük frekansta düşük miktarda ses emilir, ancak yüksek frekansta

absorpsiyon daha yüksektir, bu da düşük frekanslarda düşük ses absorpsiyon katsayısına neden olur.

Çeşitli ses yutucu malzemeler arasında tekstiller, hafiflikleri, yüksek işlenebilirlikleri ve ucuz maliyetleri nedeniyle geleneksel gözenekli malzemelere umut verici bir alternatif olarak kabul edilmektedir. Yüksek frekans bandında iyi ses absorpsiyon özelliklerini nedeniyle gürültü azaltma ve titreşim kontrolünde tekstilden ses yutucu malzemelerin uygulanabilme aralıkları artış göstermektedir (Li, Chang, Liu ve Tian, 2014). Yapısı gözenekli olan lifli tekstil ürünleri sesi emer ve iyi ses absorplama malzemesi olarak kullanılabilir (Patnaik, 2016). Tekstiller ses yutucu malzeme olarak genelde dokusuz yüzey, dokuma veya örme kumaş olarak kullanılmaktadır. Son yıllarda ses yutucu tekstil malzemeleri olarak çoğunlukla dokusuz yüzey veya keçe ürünlere karşıma çıkmaktadır. Dokuma kumaşların kalınlıklarının dokusuz yüzey veya lif bazlı keçe ürünlere kıyasla daha az olması nedeniyle ses absorplama özellikleri nispeten daha zayıftır (Tang, Zhang, Zhuang, Zhang ve Yan, 2018). Kumaşların akustik özellikleri, hazırlama yöntemine, doğasına, liflerine ve gözenekliliğine, iplik yoğunluğuna ve nem koşullarına bağlı olarak değişebilir (Kang Lee, Lee, Choi ve Shin, 2018). Tekstil malzemelerinin akustik özellikleri aynı zamanda kumaşın mekanik özelliklerine ve üretim sürecine de bağlıdır.

Ses yumumuna etki eden faktörleri aşağıdaki gibi sıralayabiliriz:

- **Lif inceliği:** Düşük numaralı liflerde materyalin birim ağırlığındaki lif miktarı artarken, daha büyük lif toplam yüzey alanı oluşur ve yapıdaki liflerin ses dalgalarıyla temas etme olasılığı yükselir (Tascan ve Vaughn, 2008).
- **Lifin enine kesit şekli:** Farklı lif enine kesit şekilleri farklı yüzey alanları oluşturur. Düzensiz lif enine kesit şekilleri, lifler ve hava arasındaki sürtünmeyi dolayısıyla ısıl etkileri artırdığı için ses yumum kabiliyeti de artar (Yılmaz, 2009).
- **Gözeneklilik:** Gözenekli malzemelerin ses yumum mekanizmaları inceleinirken gözeneklerin sayısı, büyülüğu ve çeşidi göz önünde bulundurulmalıdır. Sürtünme etkisiyle, sesin yayılmasına izin vermek için ses dalgasının gözenekli malzemenin içine girmesi gereklidir. Malzeme yüzeyinde yeteri kadar gözenek olması halinde ses, gözenek içerisinde geçer ve titreşim azalır (Seddeq, 2009).

- **Hava akış direnci:** Yapıda bulunan lifler, ses dalgalarının hareketine karşı sürtünmeyle direnç oluştururlar. Materyal birim kalınlığındaki hava akış direnci materyalin gözenek büyülüğünün karesiyle ters orantılıdır (Seddeq, 2009).
- **Kalınlık:** Materyal kalınlaştıkça düşük frekanslarda ses yumut katsayısı artmış, yüksek frekanslarda kalınlık arttıkça ses yumut katsayısında önemli bir değişim olmamıştır (Jayaraman, 2005).
- **Yoğunluk:** Materyal yoğunluğunun artması, orta ve yüksek frekanstaki ses yumut değerini artırır. Birim alandaki lif sayısı arttıkça materyalin görünür yoğunluğu da büyür. Yüzey sürtünmesi arttıkça enerji kaybı artar, bu da ses yumut katsayısını artırır (Seddeq, 2009).

#### **2.4.6. Tekstilde ses yalıtım uygulamalarıyla ilgili son çalışmalar**

Silva ve Magalhaes (2008) çalışmalarında inşaat sektöründe kullanılmak üzere çok katmanlı malzemelerin akustik özelliklerini incelemiştir. Hindistan cevizi lifleri sıkıştırılarak 20 mm kalınlığında bir lif tabakası elde edilmiş, bu tabaka 5 mm ve 10 mm kalınlığa sahip köpük malzeme ile farklı kombinasyonlar halinde birleştirerek çok katmanlı malzemeler hazırlamıştır. Ses yumut katsayılarının ölçümü ASTM E 1050 standardına göre 200- 3000 Hz frekans aralığında yapılmıştır. Ayrı ayrı ölçüldüklerinde ses yutuculuğu %25 ile %35 arasında değişim gösteren malzemeler, birlikte kullanıldıklarında %100'e yakın bir ses yutuculuğu göstermişlerdir.

Küçükali (2010) tez çalışmasında akustik özellikleri geliştirilmiş örme kumaş tasarımları ve bunların otomotiv endüstrisinde kullanımını hedeflenmiştir. Farklı hammadde ve iplik çeşitlerinden farklı kalınlıklarda ve örgü tipinde kumaş numuneleri üretilmiştir. Öncelikle hammadde sabit tutularak örgü tipindeki değişikliklerin kumaş ses yumut özelliği üzerine etkisine bakılmıştır. Kumaş kalınlığındaki ve yoğunluğundaki artış kumaş ses yumut özelliğini olumlu yönde etkilediği tespit edilmiştir. Kumaşa uygulanan boyama ve yıkama işlemi kumaşın yoğunluk, kalınlık ve sıklık gibi yapısal özelliklerinde artış sağlamıştır. Bu doğrultuda kumaş ses yumut özelliği iyileşmektedir. Kullanılan iplik yapısının kumaş ses yumut özelliği üzerindeki etkisi görmek için, test edilen frekans aralıklarında en iyi ses yumut katsayısı değerlerine sahip örme kumaş seçilmiştir. Bu

kumaş 3 farklı yapıda polyester ipliği kullanılarak örülmüştür. Yapılan deneyler sonucunda polyester iplik yapısı olarak puntalı iplik kullanılmasının kumaş içerisindeki boşluklu yapıyı çıplak gözle dahi fark edilebilir bir şekilde azalttığından en iyi ses yutum özelliği sağladığı görülmüştür. Kullanılan lif tipinin kumaş akustik özelliği üzerindeki etkisi görmek için, test edilen frekans aralıklarında en iyi ses yutum katsayısı değerlerine sahip örme kumaş seçilmiştir. Bu kumaş son iplik numarası aynı olan farklı hammaddede iplikler kullanılarak örülmüştür. Yapılan deneyler sonucunda kullanılan lif tipinin kumaş ses yutum özelliği üzerinde etkisi olduğu görülmüş ve en yüksek ses yutum performansını %100 akrilik lifinden olan kumaş göstermiştir.

Abdelfattah, Ghalia ve Eman (2011) araç içi gürültüyü önleme amaçlı otomobil iç bileşenlerinde kullanılabilecek poliester ve içi boş poliester liflerinden oluşan üç farklı lif karışım oranında farklı gramajlarda dokusuz yüzeyler üretmiştir. Yüksek oranda içi boş liflerle üretilen numuneler en yüksek ses yutma oranlarını kaydederken, %100 polyester liflerle üretilen numuneler en düşük ses yutum katsayısına sahiptir. Ayrıca kumaş gramajı ile ses yutma verimi arasında doğrudan bir ilişki olduğu da tespit edilmiştir.

Süvari, Ulcay, Maze ve Pourdeyhimi (2013) çalışmalarında deniz ada bikomponent liflerden üretilen dokusuz yüzeylerin ses emicilik davranışını araştırmışlardır. Ada polimeri olarak poliamid 6, deniz polimeri olarak polietilen kullanılmıştır. 1, 7, 19, 37 ve 108 olmak üzere beş farklı ada sayısı kullanılmış, ada sayısının ses emicilik davranışını üzerine etkisi araştırılmıştır. Sonuçlar fibrilasyon derecesinin ve ada sayısının yüzeylerin ses emicilik davranışını etkilediğini göstermiştir. Ada sayısı arttıkça ses emilimi artmıştır. Yüzeylerin, özellikle düşük frekanslı uygulamalarda iyi bir absorblayıcı malzeme olarak kullanılabileceği sonucuna varılmıştır.

Süvari, Ulcay ve Pourdeyhimi (2019) çalışmalarında hafif ve lifli deniz ada bikomponent lif üretimiyle üretilen dokusuz yüzeylerin akustik uygulamalarda kullanımını amaçlamıştır. Devamında deniz polimeri dokusuz yüzeylerden uzaklaştırılmıştır. Numunelerin ağırlık, kalınlık, hava geçirgenliği, gözenek boyutu ve ses absorpsiyon katsayıları deniz polimerinin uzaklaştırılmasından önce ve sonra ölçülmüştür. Sonuçlar, deniz polimerinin uzaklaştırılmasıyla bikomponent filament fibrilasyonunun daha fazla

olduğu ve bunun ses emilimini olumlu yönde etkilediğini göstermiştir. Ada liflerinin daha fazla olduğu yapı daha iyi akustik özellik göstermiştir.

Süvari ve Dulek (2019) çalışmalarında poliester dokuma kumaşların ses absorpsiyon özelliklerine şardonlama işleminin etkisini incelemiştir. Farklı yapı ve parametrelerde dokuma kumaşlar üretilmiş ve bir ila 3 kez şardonlama işlemeye tabi tutulmuştur. Birinci şardonlama işleminden sonra kumaş yüzeyleri hızlı bir değişim göstermiş, yapının kalınlığı artmış ve hacimli bir görünüm kazanmıştır. İki şardon geçişine kadar, kumaş yapısındaki elyaf hacminin oranı ve kumaşların hava akımı direnci önemli ölçüde azalmıştır. Sonuç olarak daha düşük katı hacim oranına ve hava akış direğine sahip şardonlanmış kumaşlar daha yüksek frekanslarda ses emme performansının daha iyi olduğu lifli malzemelerin absorpsiyon karakteristik eğrilerini göstermiştir.

Atiénzar-Navarro, Bonet-Aracil, Gisbert-Payá, del Rey ve Picó (2020) emdirme tekniği ile mikro kapsülasyon yapılan dokuma kumaşların akustik özelliklerini incelemektedir. Aynı mikrokapsül konsantrasyonuna sahip altı farklı dokuma kumaşın ses sökütleme etkisini araştırmışlardır. Sonuçlar, katkılı dokuma kumaşların ses yutma katsayılarındaki değişim kumaş tipine, mikrokapsül konsantrasyonuna ve deney düzeneğine bağlı olduğunu göstermektedir.

Chen ve diğerleri (2020) kabak lifi atıklarından ve çevre dostu poliester liflerinin sıcak pres yöntemiyle birleştirilmesinden elde edilen kompozit yapıların ses absorplama özelliklerini incelemiştir. Sonuçlar, polyester elyaf yüzeyinin çok sayıda gözenekli yapı ile daha pürüzlü hale geldiğini ve sıcak preslemeden sonra üç boyutlu bir ağ oluşturduğunu ortaya koymuştur. Kompozitlerin kalınlığı arttıkça ses yutum katsayıları artış göstermiştir.

Süvari (2020) üç farklı atkı sıklığı ve dört farklı iplik numarasında atkı ipliği kullanarak ürettiği dokuma kumaşların örtme faktörü ve gözeneklilik parametreleri ile ses yutuculuk davranışları arasındaki ilişkiyi incelemiştir. Kalın numaralı iplik kullanımı ve kumaştaki artışı gözenek oranında düşüşe sebep olmuş, daha küçük gözeneklere sahip olan dokuma kumaşların hava geçirgenlik değerleri de düşük çıkmıştır. Hava geçirgenlik değerlerinin

azalması da daha yüksek ses yutuculuk katsayısı elde edilmesine neden olmuştur. Örtme faktörünün artması da benzer şekilde kumaşların ses yutuculuk performansını artırmıştır.

Li ve diğerleri (2020) düz, dimi ve petek örgülü dokuma kumaşların yapısal parametrelerinin ses absorpsiyonuna etkisini incelemiştir. Kumaş ses emme performansı ile kumaş kalınlığı, yüzey yoğunluğu ve gözeneklilik arasında önemli bir korelasyon olmadığı sonucuna varılmıştır. Bu sonuç dokuma kumaşların ses absorpsiyon mekanizmasının dokusuz yüzey ya da keçe gibi yapılardan farklı olabileceğini göstermiştir. Gözenek özellikleri dokuma kumaşların akustik özelliklerini etkileyen önemli faktörler olmasına rağmen, gözenek özelliklerinin tek başına tekstillerin akustik absorpsiyonuna etki ettiğinin söylenmesinin doğru olmayacağı, gözeneklerin boyutunun ve şeklinin de dokuma kumaşların ses emme performansı üzerinde önemli bir rol oynayabileceğini ileri sürmüşlerdir.

### **3. MATERİYAL VE YÖNTEM**

#### **3.1. Materyal**

İç içe bikomponent monofilamentlerin üretiminde dış (sheath) kısım için polipropilen (PP) polimeri, iç (core) kısım içinse belli katkı oranlarında düşük yoğunluklu polietilen (LDPE) köpük ve PP polimeri seçilmiştir. Ayrıca iç içe bikomponent yapısının ve ayrimının optik mikroskop görüntülerinde net gözlemlenebilmesi adına iç kısında %1 oranında farklı renklerde boyalı polietilen (PE) cips kullanılmıştır. Monofilament bikomponent lifin dış ve iç bölümleri için kullanılan bu polimerlerin bazı özellikleri Çizelge 3.1'de verilmiştir.

**Çizelge 3.1.** Kullanılan polimerlerin bazı özellikleri

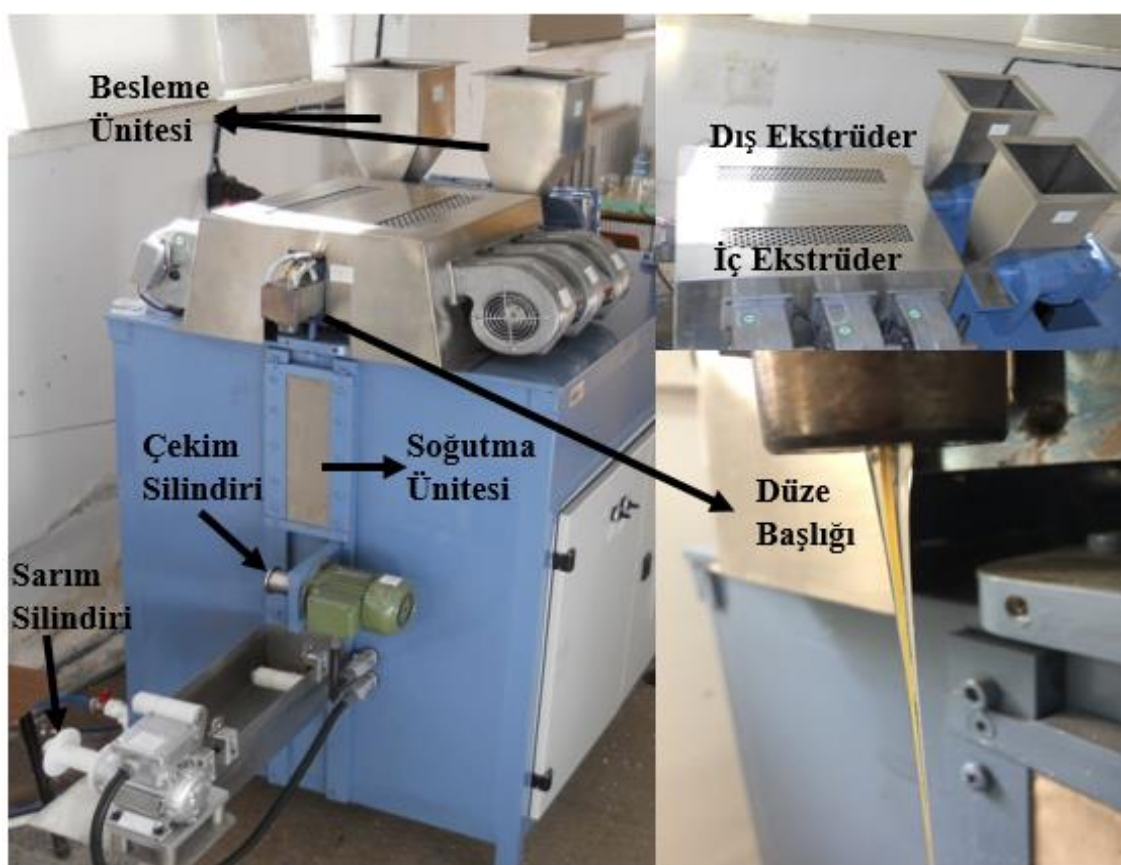
Polimer	Özellik	
Polipropilen cips	Tedarikçi Firma	PETKİM A.Ş
	Erime Sıcaklığı	163 °C
	Erime Akış Hızı (MFR), (2160 g, 230°C)	4,7 g/10 dk.
	Yoğunluk	0.905 g/cm <sup>3</sup>
LDPE Köpük Polimer	Tedarikçi Firma	DURFOAM
	Hücre Yapısı	Kapalı
	Yoğunluk	0,03-0,04 g/cm <sup>3</sup>
	Erime Sıcaklığı	190-195 °C
	Şişirici Gaz	Azot
	Şişirici Gaz Oranı	%5

Polipropilen polimeri düşük yoğunluk, pürüzszüz yüzey görünümü, düşük su emicilik, iyi rezilyans gibi özellikleri nedeniyle yaygın kullanılan bir polimerdir. Ev tekstillerinde, giysi üretiminde, otomotiv tekstillerinde, filtre, halat ve ağ yapımında, jeotekstiller ve tıbbi tekstiller gibi pek çok alanda kullanılmaktadır (Mather, 2005). Monofilament ve bikomponent lif üretiminde de en çok tercih edilen polimerlerden biridir.

#### **3.2. İç içe monofilament bikomponent iplik üretim yöntemi**

İç içe monofilament bikomponent iplikler, laboratuvarımızda bulunan laboratuvar tipi bikomponent lif üretim makinesinde üretilmiştir. Makine eriyikten çekim lif üretim

prensibine göre çalışmaktadır. Şekil 3.1' de bikomponent iplik üretim makinesi ve bölümleri gösterilmiştir. Makinede iç ve dış malzemenin beslendiği iki ayrı ekstrüder bulunmaktadır. Ekstrüder sıcaklıklarını üç ayrı bölge olarak kontrol edilmekle birlikte ekstrüder sonrası (düze öncesi) ve düzeye sıcaklığı olmak üzere hem iç hem dış ekstrüder için ayrı ayrı beş ısıtma bölgesi bulunmaktadır. Soğutma havasının hızı manuel olarak ayarlanabilmektedir. Aynı şekilde çekim ve sarım silindirlerinin hızları da manuel olarak ayarlanabilmektedir.



**Şekil 3.1.** Bikomponent iplik üretim makinesi ve bölümleri

Çizelge 3.2'de bikomponent ipliklerin üretim parametreleri detaylı bir şekilde verilmiştir. İplik üretimi Metot A ve Metot B olarak adlandırılan iki farklı gruptan oluşmaktadır. Metot A ile daha kalın numarada iplikler üretilirken, Metot B ile daha ince numarada iplikler üretilmiştir. Yukarıda iç malzemede boyalı polietilen cipslerin kullanımından bahsedilmiştir, Metot A ile üretilen liflerde sırasıyla sarı, pembe ve yeşil polietilen cipsler, Metot B ile üretilen liflerde sırasıyla sarı, mavi ve yeşil polietilen cipsler kullanılmıştır.

**Çizelge 3.2. Üretim parametreleri**

<b>Üretim Parametreleri</b>	<b>METOT A</b>			
	<b>Referans (%100 PP)</b>	<b>%1 LDPE Köpük Katkısı</b>	<b>%2 LDPE Köpük Katkısı</b>	<b>%3 LDPE Köpük Katkısı</b>
1. Ekstrüder Sıcaklık (°C)	190-195-200			
2. Ekstrüder Sıcaklık (°C)	190-195-200			
Düze Öncesi Sıcaklık (°C)	205			
Düze Sıcaklığı (°C)	210			
Çıkış silindiri/ Sarıcı motor (Çekim/ Sarım) Hız Oranları	1 / 1			
Diş/ İç Ekstrüder Besleme Oranları	5 / 1	5 / 2	4 / 2	
Diş/ İç Ekstrüder Hız Oranları (rpm)	12 / 2	12 / 5	10 / 5	
<b>Üretim Parametreleri</b>	<b>METOT B</b>			
	<b>Referans (%100 PP)</b>	<b>%1 LDPE Köpük Katkısı</b>	<b>%2 LDPE Köpük Katkısı</b>	<b>%3 LDPE Köpük Katkısı</b>
1. Ekstrüder Sıcaklık (°C)	180-182-184			
2. Ekstrüder Sıcaklık (°C)	180-182-184			
Düze Öncesi Sıcaklık (°C)	186			
Düze Sıcaklığı (°C)	188			
Çıkış silindiri/ Sarıcı motor (Çekim/ Sarım) Hız Oranları	1 / 1.5			
Diş/ İç Ekstrüder Besleme Oranları	0.2/0.2	0.4/0.2	0.3/0.3	0.6/0.3
Diş/ İç Ekstrüder Hız Oranları (rpm)	1/1	2/1	1/1	2/1
				1/1

İplik üretimi öncesinde ekstrüder sıcaklıkları, besleme oranları ve katkı oranlarını belirlemek adına ön çalışmalar yapılmıştır. Örneğin; Şekil 3.2'de katkı oranı belirlemek için yapılan denemelerden alınan görüntülere yer verilmiştir. Köpük malzeme ısiyla birlikte genleştiği için ve görüntülerde kullanılan katkı oranları da üretim parametrelerindeki (Çizelge 3.2) katkı oranlarından daha yüksek olduğundan, genleşme nedeniyle dış malzemede de yırtılma, hava kabarcığı oluşturma gibi durumlar

gözlenmiştir. En yüksek %3 köpük polimer katkısıyla lif üretimi gerçekleştirilebildiği için daha yüksek katkı oranlarına çıkılamamıştır.



**Şekil 3.2.** LDPE köpük polimeri katkılı bikomponent lif üretim denemelerinden bazı görüntüler

Benzer şekilde yüksek çekim/sarım hızlarına çıkışlığında üretimde çok sık kopmalar meydana gelmiş ve sürekli şekilde lif üretilememiştir. Ön çalışmalarдан yola çıkarak Çizelge 3.2'de belirtilen parametrelerle herhangi bir sıkıntı yaşanmadan sürekli lif üretimi başarıyla gerçekleştirilmiştir. Referans iplik olarak, aynı makinede ve aynı üretim şartlarında (Metot A ve B) üretilen iç/dış %100 polipropilen bikomponent monofilament iplik üretilmiş ve kullanılmıştır. Çizelge 3.3'te üretilen ipliklere ait numune kodları belirtilmiştir.

**Çizelge 3.3.** Bikomponent ipliklerin numune kodları

Dış/ İç Ekstrüder Besleme Oranları	Bikomponent İplik Kodu			
	Referans (%100 PP)	%1 LDPE Köpük Katkılı	%2 LDPE Köpük Katkılı	%3 LDPE Köpük Katkılı
<b>5 / 1</b>	5.1RY(A)	5.1.1Y(A)	5.1.2Y(A)	5.1.3Y(A)
<b>5 / 2</b>	5.2RY(A)	5.2.1Y(A)	5.2.2Y(A)	5.2.3Y(A)
<b>4 / 2</b>	4.2RY(A)	4.2.1Y(A)	4.2.2Y(A)	4.2.3Y(A)
<b>0.2 / 0.2</b>	2.2RY(B)	2.2.1Y(B)	2.2.2Y(B)	2.2.3Y(B)
<b>0.4 / 0.2</b>	4.2RY(B)	4.2.1Y(B)	4.2.2Y(B)	4.2.3Y(B)

<b>0.3 / 0.3</b>	3.3RY(B)	3.3.1Y(B)	3.3.2Y(B)	3.3.3Y(B)
<b>0.6 / 0.3</b>	6.3RY(B)	6.3.1Y(B)	6.3.2Y(B)	6.3.3Y(B)
<b>0.4 / 0.4</b>	4.4RY(B)	4.4.1Y(B)	4.4.2Y(B)	4.4.3Y(B)

### 3.3. Monofilament bikomponent ipliklerden örme kumaş üretimi

Metot A ile üretilen bikomponent ipliklerin ısı ve ses yalıtım özelliklerinin incelenmesi için monofilament ipliklerden haroşa örgüde kumaş numuneleri üretilmiştir. Çizelge 3.4'te üretilen kumaşlara ait numune kodları verilmiştir. Metot B ile üretilen ipliklerin ince olması, düşük mukavemet ve oldukça yüksek uzama değerlerine sahip olması nedeniyle yüzey üretimi gerçekleştirilememiştir.

**Çizelge 3.4.** Örme kumaşlarının numune kodları

Bikomponent İplik Kodu	Örme Kumaşların Kodları
5.1RY(A)	5.1RF(A)
5.1.1Y(A)	5.1.1F(A)
5.1.2Y(A)	5.1.2F(A)
5.1.3Y(A)	5.1.3F(A)
5.2RY(A)	5.2RF(A)
5.2.1Y(A)	5.2.1F(A)
5.2.2Y(A)	5.2.2F(A)
5.2.3Y(A)	5.2.3F(A)
4.2RY(A)	4.2RF(A)
4.2.1Y(A)	4.2.1F(A)
4.2.2Y(A)	4.2.2F(A)
4.2.3Y(A)	4.2.3F(A)

### 3.4. Kullanılan Polimer ve İpliklere Uygulanan Test ve Karakterizasyon Yöntemleri

#### 3.4.1. İplik doğrusal yoğunluğu (iplik numarası) tayini

Test işlemi DIN EN ISO 2060 standardına göre yapılmıştır. Çıkrığa standart uzunlukta numune iplik sarılır. Hassas terazide ağırlığı tartıldıktan sonra iplik numarası dtex olarak belirlenmiştir. Her numuneden beşer ölçüm alınıp ortalama değer belirlenmiştir.

### **3.4.2. Enine ve boyuna kesit optik mikroskop analizi**

Metot A ile üretilen ipliklerin enine kesit görüntüleri 5 büyütme ile, Metot B ile üretilen ipliklerin enine kesit görüntüleri 40 büyütme ile Projectina optik mikroskopla çekilmiştir. Metot A ile üretilen ipliklerin boyuna kesit görüntüleri 20 büyütme ile, Metot B ile üretilen ipliklerin boyuna kesit görüntüleri 40 büyütme ile Olympus CH40 optik mikroskopla çekilmiştir.

### **3.4.3. Taramalı elektron mikroskop (SEM) analizi**

Metot A ile üretilen bikomponent ipliklerin SEM analizi TÜBİTAK BUTAL'de Tescan marka Vega3 SB model cihazında yapılmıştır. Tüm numuneler analiz öncesi  $3\pm0,5$  nm kalınlığında altın ile kaplanmıştır. Uygulanan voltaj değeri 10 kV'dur. Her bir numune için farklı büyütme oranları kullanılmıştır. Metot B ile üretilen bikomponent ipliklerin SEM analizi ise Bursa Teknik Üniversitesi Merkez Laboratuvarında Carl Zeiss/Gemini 301 cihazında yapılmıştır. Tüm numuneler  $3\pm0,5$  nm kalınlığında altın kaplanmıştır. Uygulanan voltaj değeri 10 kV'dur. Büyütme oranı 500x'dır.

### **3.4.4. Mukavemet ve uzama testleri**

İplik mukavemet ve uzama testleri Shimadzu AG-X Plus mukavemet test cihazında yapılmıştır. Test işlemi TS EN ISO 2062 standardına göre yapılmıştır. Cihazda üst çene sabit alt çene hareketlidir. Metot A ile üretilen ipliklerde, yük hücresi 5 kN, çeneler arası mesafe 250 mm, çekme hızı 250 mm/dk., ipliklere uygulanan ön gerilim 0,50 N'dur. Metot B ile üretilen ipliklerde, yük hücresi 100 N, çeneler arası mesafe 100 mm, çekme hızı 600 mm/dk., ipliklere uygulanan ön gerilim 0,50 N'dur. Her bobinden onar ölçüm alınıp ortalama değer belirlenmiştir.

### **3.4.5. Diferansiyel taramalı kalorimetre (DSC) analizi**

Hem kullanılan polimerlere hem de iplik numunelerine DSC analizi yapılmıştır. DSC analizinde Şekil 3.3'te de gösterilen Heat Flux tipi Mettler Toledo Stare System DSC 823e cihazı kullanılmıştır. Cihaz test işlemini ISO 11357-7 standardına göre yürütmektedir. DSC analizleri azot gazı altında  $10^{\circ}\text{C}/\text{dk}$  artış hızıyla gerçekleştirilmiştir.



**Şekil 3.3.** Mettler Toledo Stare System DSC 823e Cihazı

DSC eğrilerinden malzemelerin camsı geçiş sıcaklığı, uçucu malzeme çıkışı, soğuk kristallanme derecesi, erime sıcaklığı ve bozunma sıcaklığı gibi değerler elde edilebilmektedir. Kristallanme derecesi (3.1)'deki denklem ile hesaplanabilmektedir.

$$\text{Kristalizasyon miktarı [\%]} = \frac{\Delta H_{\text{erime}}}{\Delta H_m w_f} \times 100 \quad (3.1)$$

$\Delta H_{\text{erime}}$ : erime entalpisi,  $\Delta H_m$ : polipropilen için referans erime entalpisi ( $209 \text{ J.g}^{-1}$ ),  $w_f$ : ağırlık oranıdır.

### **3.5. Örme Kumaşlara Uygulanan Test ve Karakterizasyon Yöntemleri**

#### **3.5.1. Örme kumaşlara uygulanan fiziksel testler**

Örme kumaşların sıra ve çubuk sıklığı tayini, TS EN 14971 standardı esas alınarak yapılmıştır.

Birim alan ağırlığı (gramaj) ölçümleri TS 251 standardına göre yapılmıştır. Ölçümler üç tekrar alınarak yapılmış, ortalama değerler hesaplanmıştır.

Kumaşların kalınlık ölçümleri Alambeta test cihazında yapılmıştır. Ölçümler onar tekrar alınarak yapılmış, ortalama değerler hesaplanmıştır.

Kumaşların optik mikroskop görüntüleri Olympus SZ60 optik mikroskopla 10x büyütme oranında çekilmiştir.

Kumaşların hava geçirgenlik ölçümleri SDL Atlas MO21A Air Permeability Tester cihazında ASTM D737 standardına göre yapılmıştır. Hava basıncı 125 Pa numune tutucu alanı 5 cm<sup>2</sup> dir. Ölçümler beş tekrar alınarak yapılmış, ortalama değerler hesaplanmıştır.

### 3.5.2. Termal iletkenlik katsayısı ölçümleri

Kumaşların termal iletkenlik katsayıları iki farklı cihazda ve dolayısıyla iki farklı standarda göre yapılmıştır. İlk ölçümler JIS R 2618 standardına göre Quick Thermal Conductivity Meter (QTM-710) (Şekil 3.4) cihazında yapılmıştır. Bu yöntem Hot Wire Method (sıcak tel) yöntemi olarak da tanımlanmaktadır. Numunelerin termal iletkenlik katsayısı (3.2)'deki denklem ile hesaplanmaktadır:

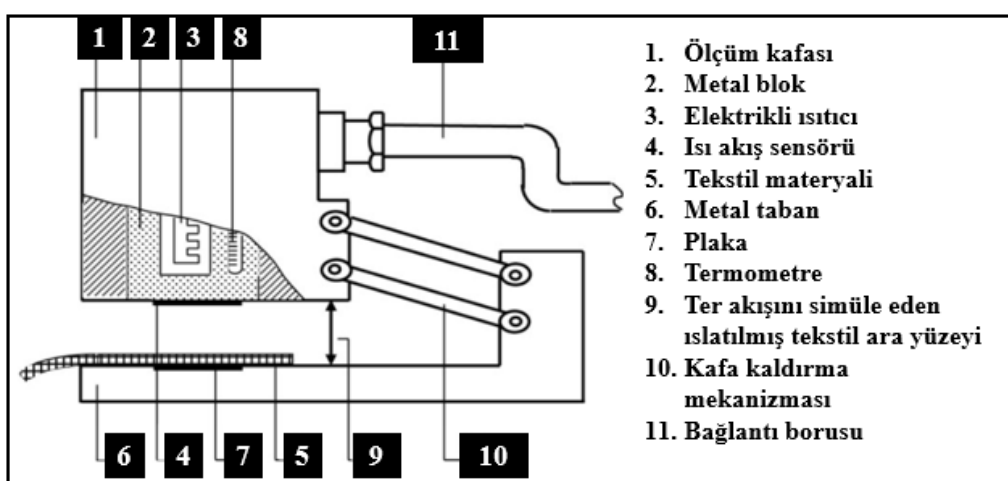
$$\lambda = q \cdot \ln(t_2 - t_1) / 4\pi(T_2 - T_1) \quad (3.2)$$

$\lambda$ ; numunelerin termal iletkenlik katsayısı (W/mK),  $q$ ; birim uzunluk için ısı değeri (W/m),  $t$ ; süre (sn) ve  $T$ ; sıcaklıktır (K). Termal iletkenlik testi öncesi tüm numuneler %65 ± 2 bağıl nem ve 20 ± 2 °C sıcaklıkta 2 gün bekletilmiştir. Ölçüm, termal iletkenlik katsayıları belli üç standart malzemeyi (polietilen köpük, silikon ve kuartz) referans alarak yapılmaktadır. Test edilecek numune sırasıyla bu üç malzemenin üzerine yerleştirilerek ölçüm alınır ve ortalama bir termal iletkenlik katsayısı elde edilir (Şekil 3.4).



Şekil 3.4. QTM-710 termal iletkenlik katsayısı ölçüm cihazı

Diger termal iletkenlik katsayisi ölçümü ise Lubos Hes tarafından termal absorpsiyonun ölçülmesi amacıyla geliştirilen Alambeta test cihazinda (Şekil 3.5) yapılmıştır. Cihaz bir ölçüm kafası ve numunenin üzerine yerleştirildiği bir tabandan oluşmaktadır. Ölçüm başladığı anda, ısı akış sensörünü ihtiva eden ölçüm kafası aşağıya düşer ve alt plakaya düzlemsel bir şekilde yerleştirilen numuneye dokunur. Bu sırada numunenin yüzey sıcaklığı aniden değişir ve cihazın bilgisayarı ısı akış değerlerini kaydeder. Aynı zamanda bir fotoelektrik sensör numune kalınlığını ölçer. Bu prosedür, insan parmağının oda sıcaklığındaki bir kumaşa dokunması işlemine benzerdir (Gunesoglu, Meric ve Gunesoglu, 2005).



**Şekil 3.5.** Alambeta termal iletkenlik ölçüm cihazının ve bölümlerinin şematik gösterimi (Hes ve Dolezal (2018)'den düzenlenmiştir).

Alambeta test cihazından elde edilen termal iletkenlik katsayısı değeri (3.3)'teki denklem ile hesaplanmaktadır:

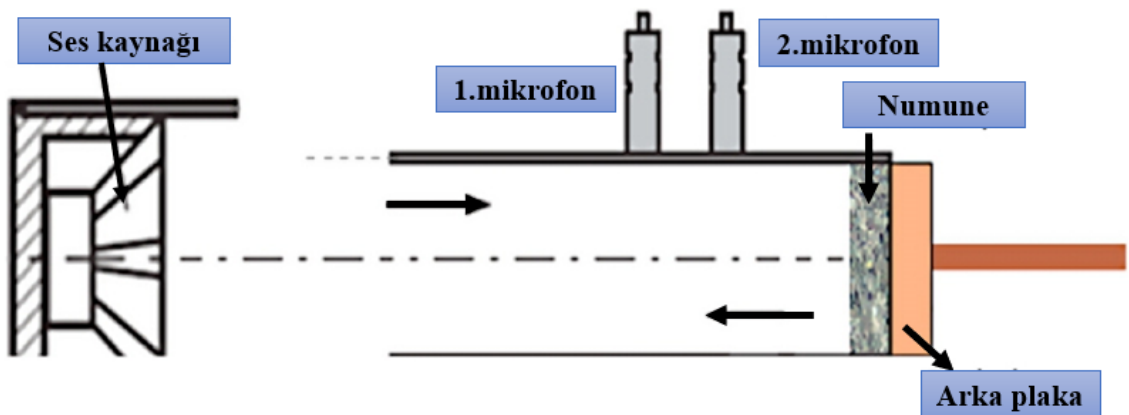
$$k = \frac{Q}{A \cdot \lambda t} \quad (3.3)$$

$k$ ; termal iletkenlik katsayısı ( $\text{W/mK}$ ),  $Q$ ; ısı transferi,  $A$ ; alan,  $\lambda t$ ; sıcaklık farkı,  $h$ ; malzeme kalınlığıdır.

### 3.5.3. Ses yutuculuk katsayısı ölçümü

Kumaşların ses yutuculuk ölçümü iki sabit mikrofonlu empedans tüp yöntemi kullanılmıştır. BSWA SW 260 marka cihazda ölçümler yapılmıştır. Bu yöntemde ses kaynağı tüpün bir ucuna konumlandırılmıştır. Test numunesi ise tüpün diğer ucuna

yerleştirilir. Ses kaynağı geniş bantta ses dalgaları üretir. Kullanılan tüpün çapına bağlı olarak ses dalgaları ilgili frekanslarda düzlem dalga şeklinde empedans tüp içinde ilerlemektedir. Ses dalgası numuneyle etkileşime girer ve geri yansır. Malzemenin ses yutuculuk katsayısı, iki ayrı konumda sabit iki mikrofonun ses seviyelerini ölçmesi ile belirlenir. Yapılan ölçümlerde malzeme özelliğine uygun aralıkta sonuç verdiği için küçük tüp kurulumu kullanılmıştır. Küçük tüp ile 1 kHz – 6,1 kHz aralığında ses yutuculuk katsayıları ölçülebilmektedir. Ölçümler ASTM E1050-12 standardındaki tariflere göre yapılmıştır. Ses yutuculuk testi öncesi tüm numuneler  $\%65 \pm 2$  bağıl nem ve  $20 \pm 2$  °C sıcaklıkta 2 gün bekletilmiştir.



**Şekil 3.6.** Ses yutum katsayısı cihazının şematik gösterimi (Süvari, Ulcay ve Pourdeyhimi, 2016'dan düzenlenmiştir).

### **3.6. İstatiksel Analiz**

Tüm istatiksel analizlerde SPSS 23 yazılımı kullanılmıştır. Bikomponent ipliklerin iplik numarası, mukavemet ve uzama değerleri üzerine ve bikomponent ipliklerden üretilen kumaş özellikleri (kalınlık, gramaj, hava geçirgenliği ve termal iletkenlik katsayısı) üzerine köpük polimer katkı oranının ve ekstrüder besleme oranlarının istatistiksel önemini belirlemek için iki yönlü ANOVA uygulanmıştır. Anlamlılık seviyeleri Student–Newman–Keuls (SNK) testi ile kıyaslanmıştır. Tüm istatistiksel testler için seçilen anlamlılık seviyesi ( $\alpha$ ) değeri 0.05'tir. Etki dereceleri ortalama değerlere göre belirlenmiş ve aralarında önemli ölçüde farklılık olduğunu ifade edecek şekilde farklı harflerle gösterilmiştir.

Ölçüm sonuçlarına ait verilerin değerlendirilmesinde kullanılan iki faktörlü tamamen tesadüfi dağılımlı varyans analizi tekniğinin matematiksel modelleri şu şekildedir:

İki faktörlü varyans analiz tekniği

$$Y_{ijk} = \mu + A_i + B_j + AB_{ij} + \varepsilon_{k(ij)}$$

$Y_{ijk}$ : Birinci (A) faktörün  $i$ 'inci ve ikinci (B) faktörün  $j$ 'inci seviyelerindeki  $k$ 'inci gözlem

$\mu$ : Her iki faktörün bütün seviyeleri için ortak etki (her zaman sabit)

$A_i$ : Birinci faktörün  $i$ 'inci seviyesindeki etkisi  $i = 1, 2, \dots, a$

$B_j$ : İkinci faktörün  $j$ 'inci seviyesindeki etkisi  $j = 1, 2, \dots, b$

$AB_{ij}$ : A ve B faktörlerinin  $ij$ 'deki kesimlerinin etkisi

$\varepsilon_{k(ij)}$ : A ve B faktörlerinin  $ij$ 'deki kesimindeki  $k$ 'inci gözlemde bulunan tesadüfi hata

$k = 1, 2, \dots, n$

**Çizelge 3.5.** Bikomponent ipliklere uygulanan istatistiksel analizlere ait hipotezler

<b>İki faktörlü tamamen tesadüfi dağılımlı varyans analizi teknigi</b>		
<b>Değişken 1:</b> İplik numarası		
<b>Faktör 1:</b> Katkı oranı	<b>Hipotezler</b>	
	<b><math>H_0</math></b>	<b><math>H_A</math></b>
<b>Faktör 2:</b> Besleme oranı	$H_{01}$ : Katkı oranının iplik numarası değerine etkisi yoktur.	$H_{A1}$ : Katkı oranının iplik numarası değerine etkisi vardır.
	$H_{02}$ : Besleme oranının iplik numarası değerine etkisi yoktur. $H_{03}$ : Katkı oranı ve besleme oranının iplik numarası değerine birlikte etkisi yoktur.	$H_{A2}$ : Besleme oranının iplik numarası değerine etkisi vardır. $H_{A3}$ : Katkı oranı ve besleme oranının iplik numarası değerine birlikte etkisi vardır.
<b>Değişken 2:</b> Mukavemet		
<b>Faktör 1:</b> Katkı oranı	<b><math>H_0</math></b>	<b><math>H_A</math></b>
	$H_{01}$ : Katkı oranının mukavemet değerine etkisi yoktur.	$H_{A1}$ : Katkı oranının mukavemet değerine etkisi vardır.
<b>Faktör 2:</b> Besleme oranı	$H_{02}$ : Besleme oranının mukavemet değerine etkisi yoktur.	$H_{A2}$ : Besleme oranının mukavemet değerine etkisi vardır.
	$H_{03}$ : Katkı oranı ve besleme oranının mukavemet değerine birlikte etkisi yoktur.	$H_{A3}$ : Katkı oranı ve besleme oranının mukavemet değerine birlikte etkisi vardır.
<b>Değişken 3:</b> Uzama		
<b>Faktör 1:</b> Katkı oranı	<b><math>H_0</math></b>	<b><math>H_A</math></b>
	$H_{01}$ : Katkı oranının uzama değerine etkisi yoktur.	$H_{01}$ : Katkı oranının uzama değerine etkisi vardır.
<b>Faktör 2:</b> Besleme oranı	$H_{02}$ : Besleme oranının uzama değerine etkisi yoktur.	$H_{02}$ : Besleme oranının uzama değerine etkisi vardır.
	$H_{03}$ : Katkı oranı ve besleme oranının uzama değerine birlikte etkisi yoktur.	$H_{03}$ : Katkı oranı ve besleme oranının uzama değerine birlikte etkisi vardır.

**Çizelge 3.6.** Örme kumaşlara uygulanan istatiksel analizlere ait hipotezler

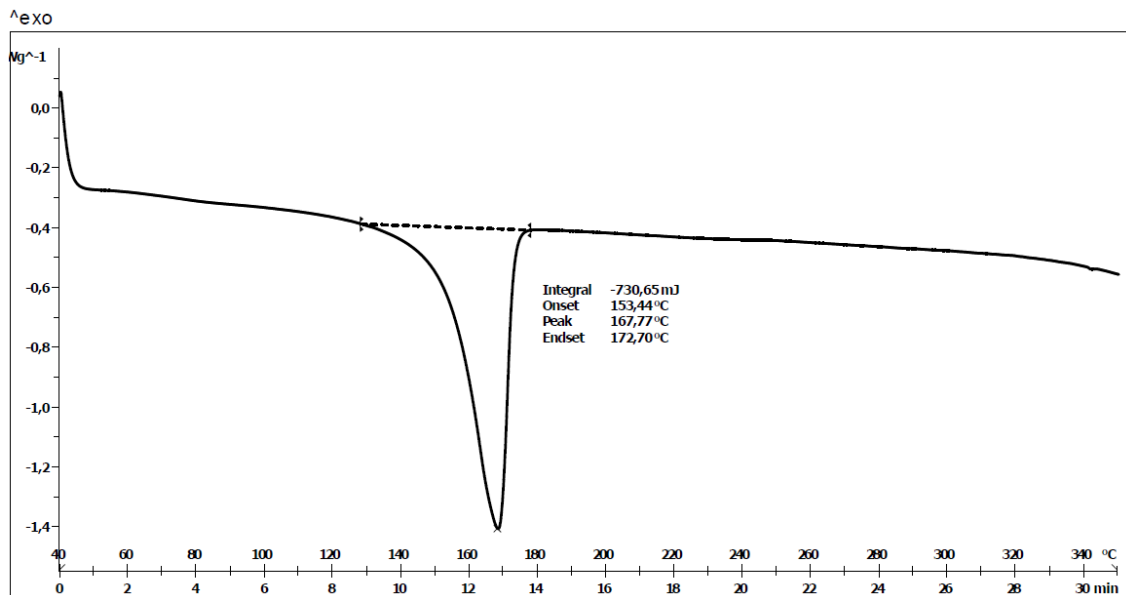
İki faktörlü tamamen tesadüfi dağılımlı varyans analizi teknigi		
Değişken 1: Kalınlık		
Faktör 1: Katkı oranı	Hipotezler	
	$H_0$	$H_A$
Faktör 2: Besleme oranı	$H_{01}$ : Katkı oranının kalınlık değerine etkisi yoktur.	$H_{A1}$ : Katkı oranının kalınlık değerine etkisi vardır.
	$H_{02}$ : Besleme oranının kalınlık değerine etkisi yoktur.	$H_{A2}$ : Besleme oranının kalınlık değerine etkisi vardır.
Faktör 2: Besleme oranı	$H_{03}$ : Katkı oranı ve besleme oranının kalınlık değerine birlikte etkisi yoktur.	$H_{A3}$ : Katkı oranı ve besleme oranının kalınlık değerine birlikte etkisi vardır.
Değişken 2: Gramaj		
Faktör 1: Katkı oranı	$H_0$	$H_A$
	$H_{01}$ : Katkı oranının gramaj değerine etkisi yoktur.	$H_{A1}$ : Katkı oranının gramaj değerine etkisi vardır.
Faktör 2: Besleme oranı	$H_{02}$ : Besleme oranının gramaj değerine etkisi yoktur.	$H_{A2}$ : Besleme oranının gramaj değerine etkisi vardır.
	$H_{03}$ : Katkı oranı ve besleme oranının gramaj değerine birlikte etkisi yoktur.	$H_{A3}$ : Katkı oranı ve besleme oranının gramaj değerine birlikte etkisi vardır.
Değişken 3: Hava geçirgenliği		
Faktör 1: Katkı oranı	$H_0$	$H_A$
	$H_{01}$ : Katkı oranının hava geçirgenliği değerine etkisi yoktur.	$H_{01}$ : Katkı oranının hava geçirgenliği değerine etkisi vardır.
Faktör 2: Besleme oranı	$H_{02}$ : Besleme oranının hava geçirgenliği değerine etkisi yoktur.	$H_{02}$ : Besleme oranının hava geçirgenliği değerine etkisi vardır.
	$H_{03}$ : Katkı oranı ve besleme oranının hava geçirgenliği değerine birlikte etkisi yoktur.	$H_{03}$ : Katkı oranı ve besleme oranının hava geçirgenliği değerine birlikte etkisi vardır.
Değişken 4: Termal iletkenlik katsayısı		

	$H_0$	$H_A$
<b>Faktör 1:</b> Katkı oranı	$H_{01}$ : Katkı oranının termal iletkenlik katsayısı değerine etkisi yoktur.	$H_{A1}$ : Katkı oranının termal iletkenlik katsayısı değerine etkisi vardır.
<b>Faktör 2:</b> Besleme oranı	$H_{02}$ : Besleme oranının termal iletkenlik katsayısı değerine etkisi yoktur. $H_{03}$ : Katkı oranı ve besleme oranının termal iletkenlik katsayısı değerine birlikte etkisi yoktur.	$H_{A2}$ : Besleme oranının termal iletkenlik katsayısı değerine etkisi vardır. $H_{A3}$ : Katkı oranı ve besleme oranının termal iletkenlik katsayısı değerine birlikte etkisi vardır.

## 4. BULGULAR ve TARTIŞMA

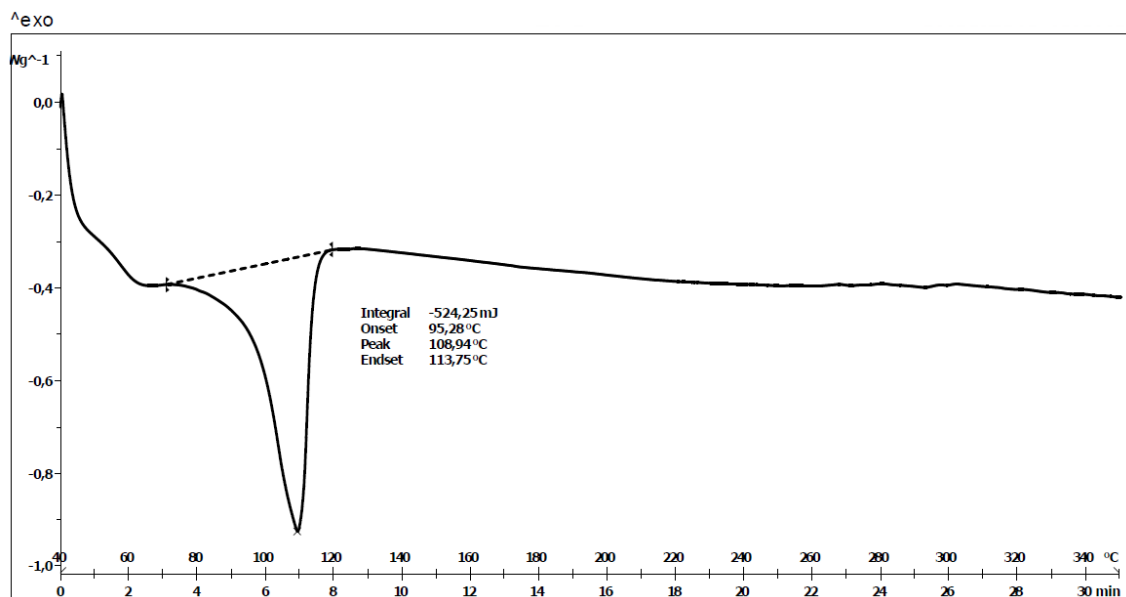
### 4.1. Çalışmada Kullanılan Polimerlerin DSC Sonuçları

Polipropilen cipse ait DSC eğrisi Şekil 4.1' de verilmiştir. Cips 167,77 °C' de erime piki göstermiştir. Tedarikçi firmadan alınan teknik dokümanla analiz sonuçları uyumludur.

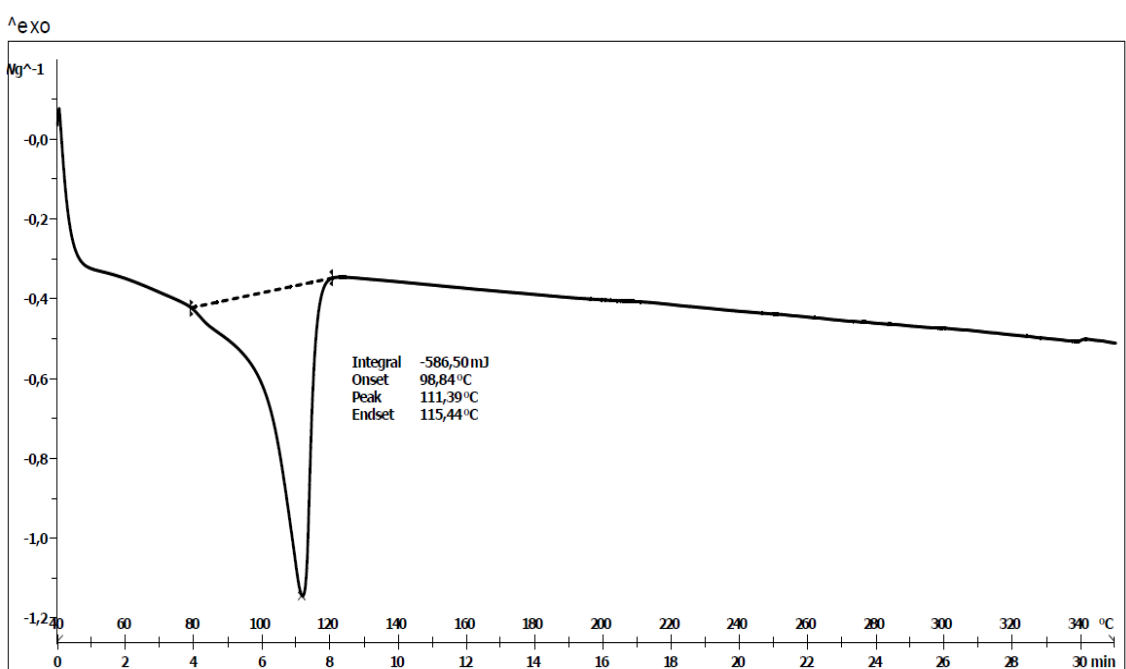


Şekil 4.1. Polipropilen cipsin DSC eğrisi

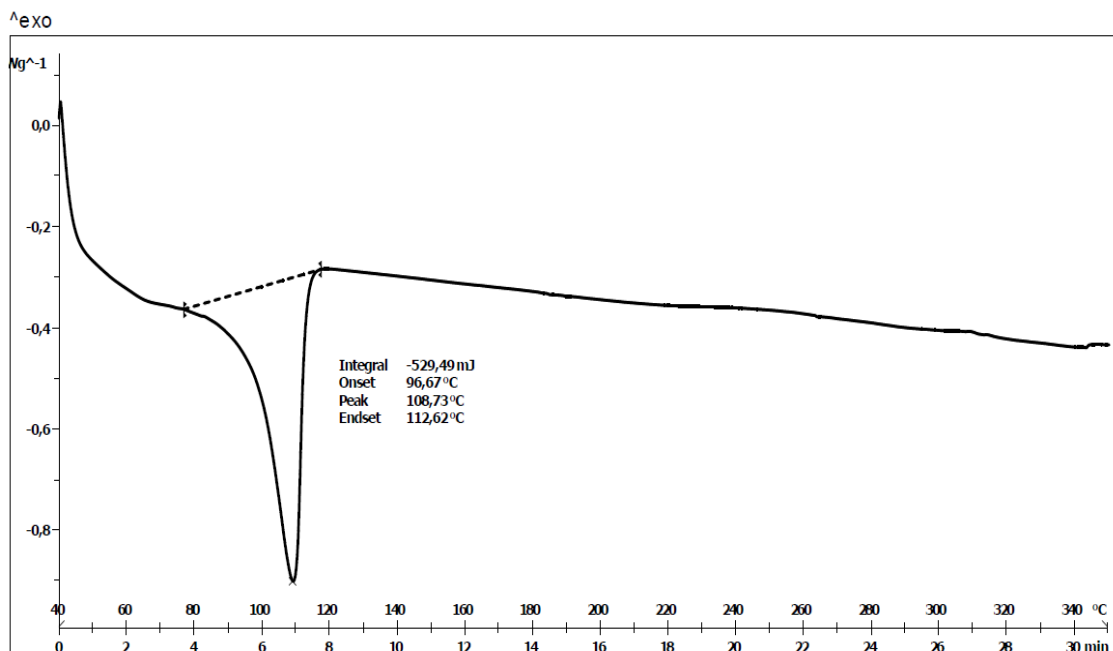
Renkli polietilen cipslere ait DSC sonuçları sırasıyla Şekil 4.2, 4.3, 4.4 ve 4.5'te verilmiştir. Polimerlerin erime sıcaklıklarları 108-111 °C aralığında değişmektedir.



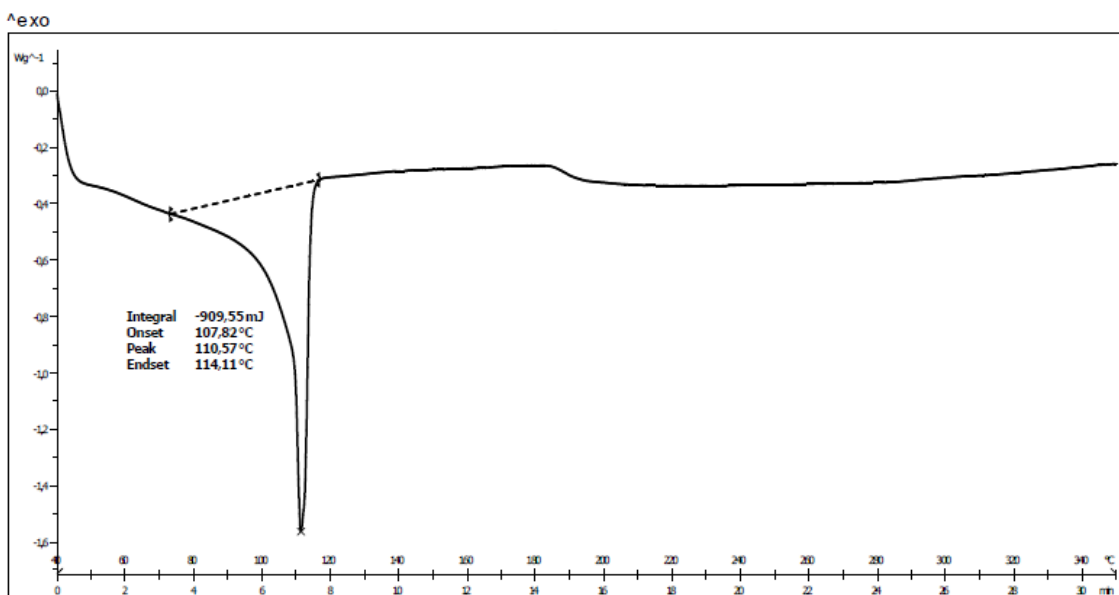
**Şekil 4.2.** Sarı polietilen cipsin DSC eğrisi



**Şekil 4.3.** Mavi polietilen cipsin DSC eğrisi



**Şekil 4.4.** Yeşil polietilen cipsin DSC eğrisi

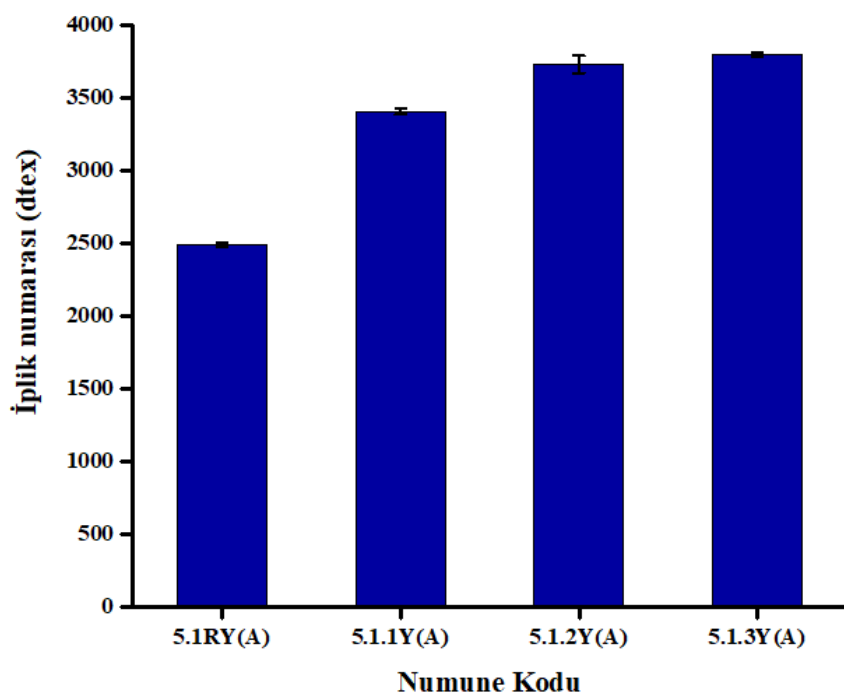


**Şekil 4.5.** Pembe polietilen cipsin DSC eğrisi

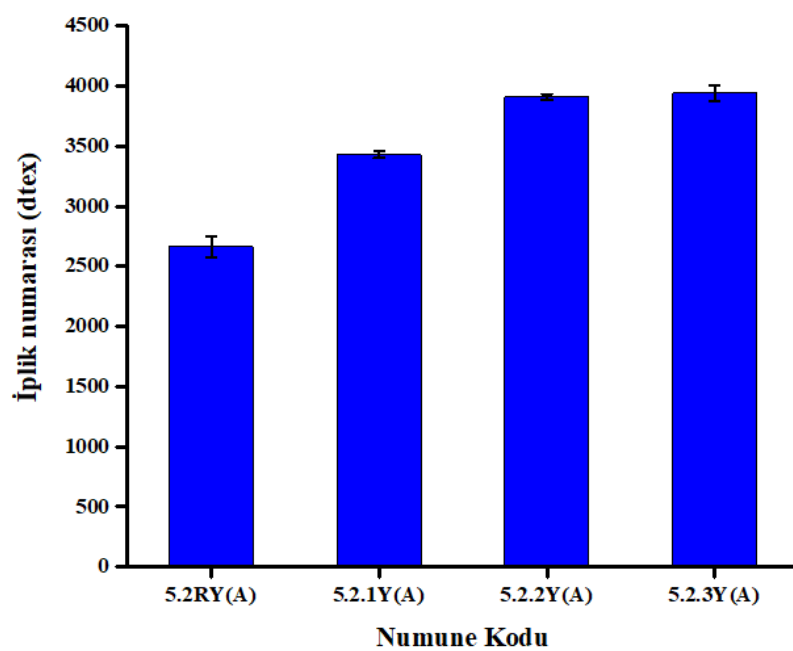
#### 4.2. İplik Doğrusal Yoğunluğu (İplik Numara) Tayini Sonuçları

Şekil 4.6, 4.7 ve 4.8 “Metot A” ile üretilen bikomponent ipliklerin dtex cinsinden numara değerlerini göstermektedir. Referans ipliklere kıyasla üç ekstrüder hızında da katkı orANIYLA birlikte iplik numaralarında artış görülmüştür. Üç farklı dış/ iç ekstrüder besleme

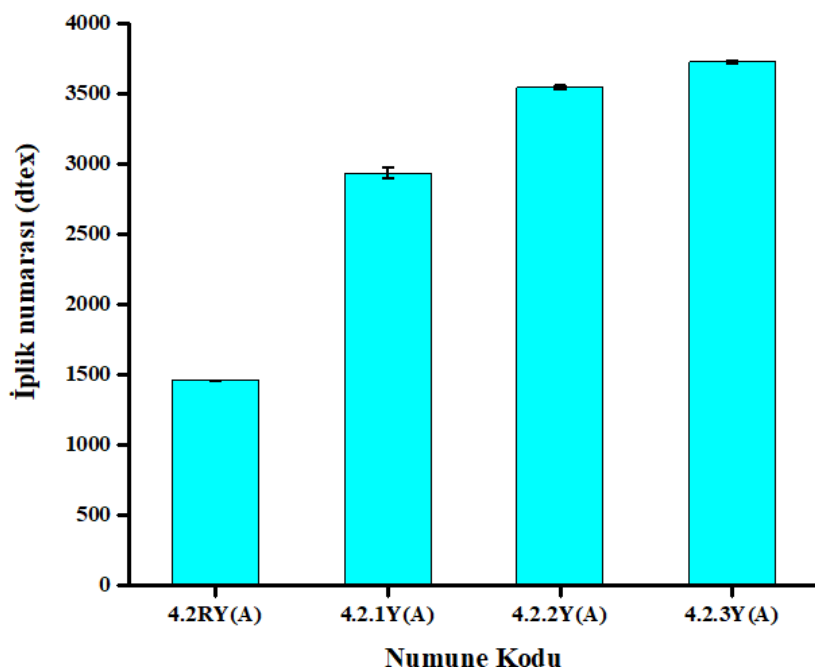
oranında üretilen bikomponent ipliklerde katkı oranı artışıyla iplik numarası orantılı olarak artmıştır.



**Şekil 4.6.** 5/1 dış/ iç ekstrüder besleme oranında üretilen bikomponent ipliklerin numara sonuçları



**Şekil 4.7.** 5/2 dış/ iç ekstrüder besleme oranında üretilen bikomponent ipliklerin numara sonuçları



**Şekil 4.8.** 4/2 dış/ iç ekstrüder besleme oranında üretilen bikomponent ipliklerin numara sonuçları

**Çizelge 4.1.** Metot A ile üretilen bikomponent iplik numara sonuçları için istatistiksel analiz (ANOVA ve SNK) sonuçları

Parametre	İplik Numarası (dtex)		
Katkı Oranı	0	0,00*	2204 a
	1		3259 b
	2		3731 c
	3		3825 c
Besleme Oranı	4-2	0,00*	2920 a
	5-1		3359 b
	5-2		3486 b
Katkı Oranı * Besleme Oranı			0,01*

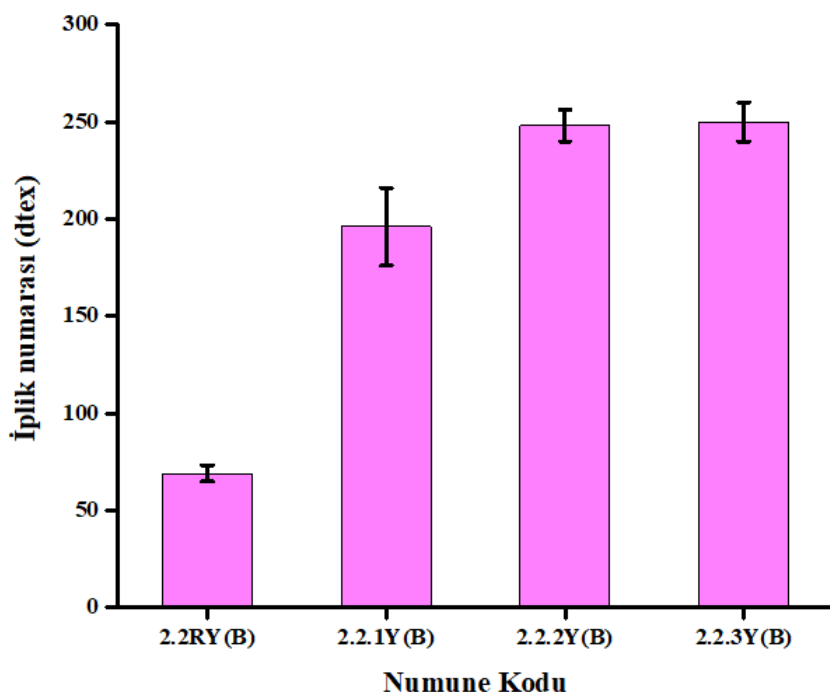
(a), (b) ve (c) SNK testine göre istatistiksel farklılıklarını göstermektedir.

\*%5 anlamlılık seviyesi

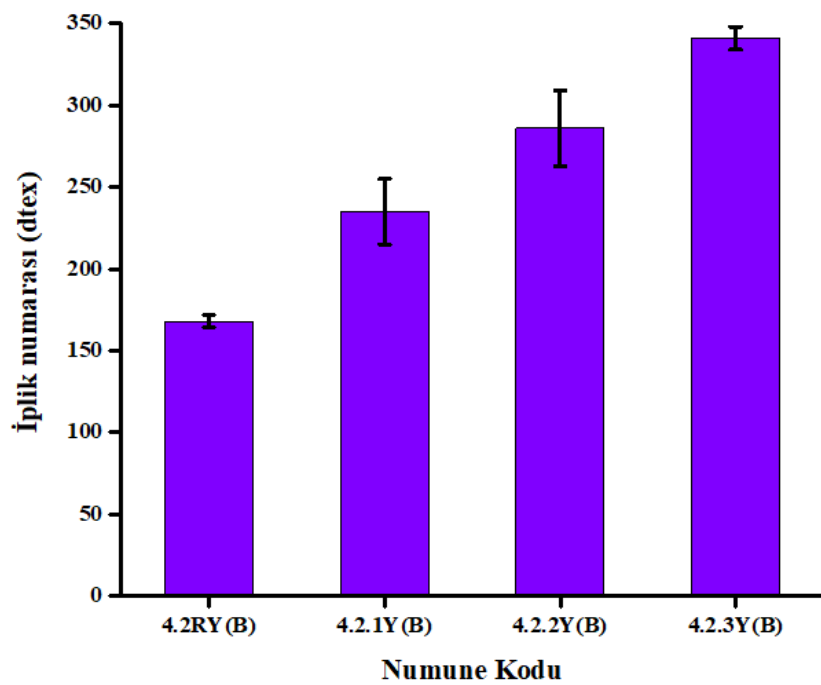
İplik numara değerlerine katkı oranının, besleme oranının ve kesimlerinin etkisi ANOVA ve SNK testleri ile de değerlendirildiğinde 0,05 anlamlılık seviyesinde hem katkı oranının, besleme oranının ve kesimlerinin de iplik numarası üzerine etkisi olduğu

istatiksel olarak da ispatlanmıştır. Çizelge 3.5'te iplik numarası değişkeni için verilen alternatif hipotezler kabul edilmiştir.

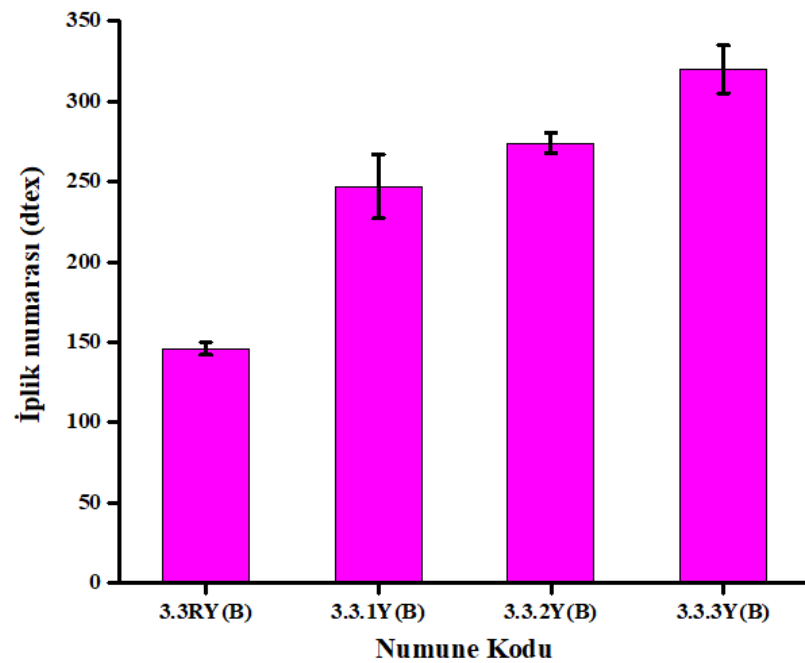
Şekil 4.9, 4.10, 4.11, 4.12 ve 4.13 "Metot B" ile üretilen bikomponent ipliklerin dtex cinsinden numara değerlerini göstermektedir. Benzer şekilde referans ipliklere kıyasla beş ekstrüder hızında da katkı oranıyla birlikte iplik numaralarında artış görülmüştür. Sabit iç ekstrüder hızında dış ekstrüder hızı arttıkça iplik numaraları beklenildiği gibi artmıştır. Metot B ile üretilen iplik numaraları daha küçüktür, daha ince lifler üretilmiştir. Eriyikten çekim lif üretiminde iplik numarasını belirleyen en önemli iki parametre çekim hızı ve debidir. Materyal ve Metot bölümünde Çizelge 3.2 'de belirtilen üretim parametreleri dikkate alındığında Metot B' de Metot A' ya göre hem besleme oranlarının oldukça düşük hem de çekim hızının bir miktar daha fazla olduğu görülmektedir. Dolayısıyla bu beklenen bir sonuçtır.



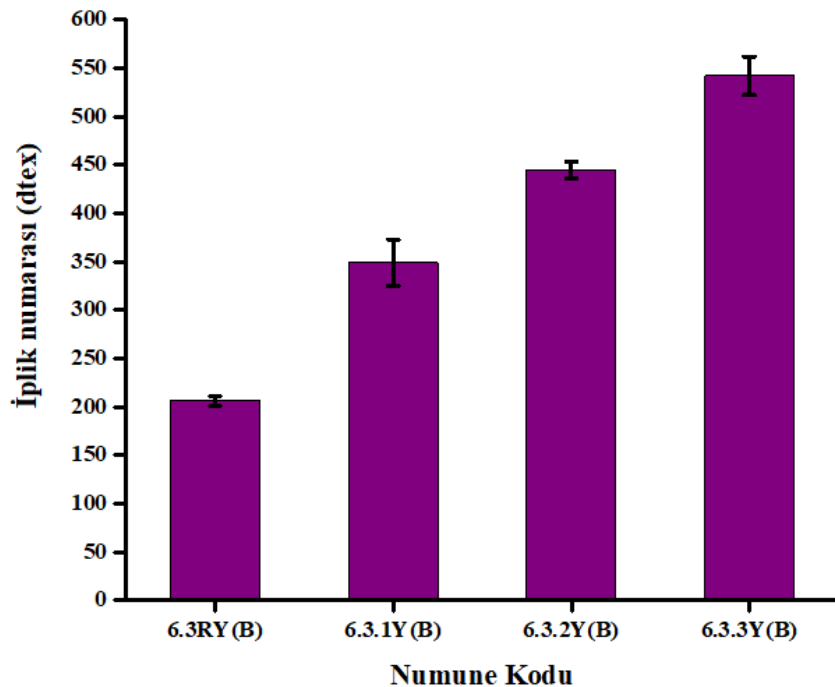
**Şekil 4.9.** 0.2/0.2 dış/iç ekstrüder besleme oranında üretilen bikomponent ipliklerin numara sonuçları



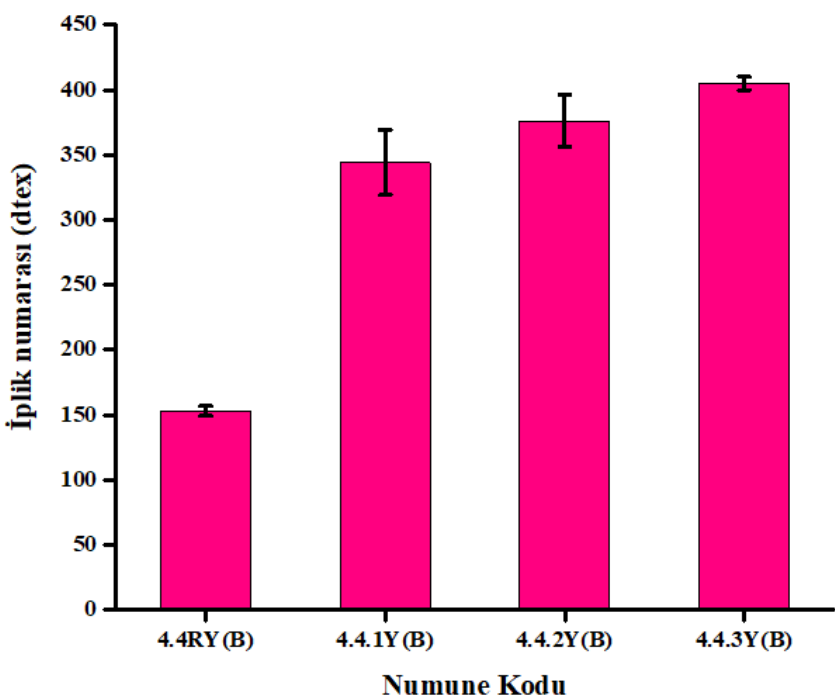
**Şekil 4.10.** 0.4/0.2 dış/iç ekstrüder besleme oranında üretilen bikomponent ipliklerin numara sonuçları



**Şekil 4.11.** 0.3/0.3 dış/iç ekstrüder besleme oranında üretilen bikomponent ipliklerin numara sonuçları



**Şekil 4.12.** 0.6/0.3 dış/ iç ekstrüder besleme oranında üretilen bikomponent ipliklerin numara sonuçları



**Şekil 4.13.** 0.4/0.4 dış/ iç ekstrüder besleme oranında üretilen bikomponent ipliklerin numara sonuçları

**Çizelge 4.2.** Metot B ile üretilen bikomponent iplik numara sonuçları için istatiksel analiz (ANOVA ve SNK) sonuçları

Parametre		İplik Numarası (dtex)	
Katkı Oranı	0	0,00*	148 a
	1		274 b
	2		325 c
	3		371 d
Besleme Oranı	0.2-0.2	0,00*	190 a
	0.4-0.2		257 b
	0.3-0.3		246 b
	0.6-0.3		385 c
	0.4-0.4		319 d
Katkı Oranı * Besleme Oranı		0,00*	

(a), (b), (c) ve (d) SNK testine göre istatiksel farklılıklarını göstermektedir.

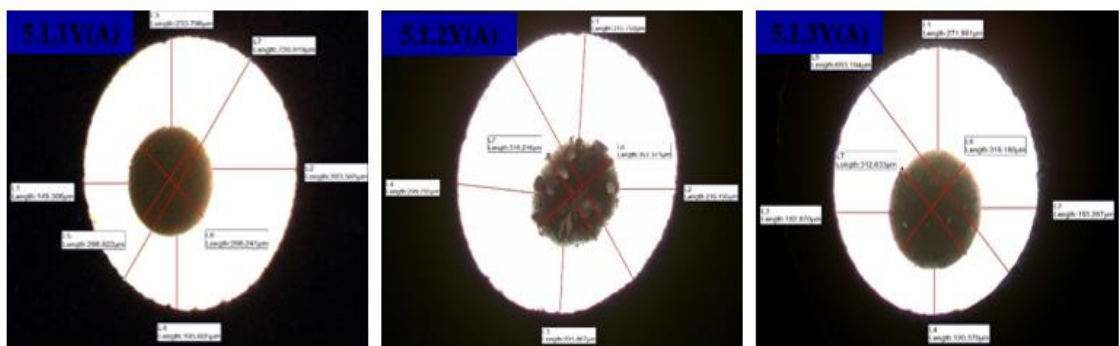
\*%5 anlamlılık seviyesi

İplik numara değerlerine katkı oranının, besleme oranının ve kesişimlerinin etkisi ANOVA ve SNK testleri ile de değerlendirildiğinde 0,05 anlamlılık seviyesinde hem katkı oranının, besleme oranının ve kesişimlerinin de iplik numarası üzerine etkisi olduğu istatiksel olarak da ispatlanmıştır. Çizelge 3.5'te iplik numarası değişkeni için verilen alternatif hipotezler kabul edilmiştir.

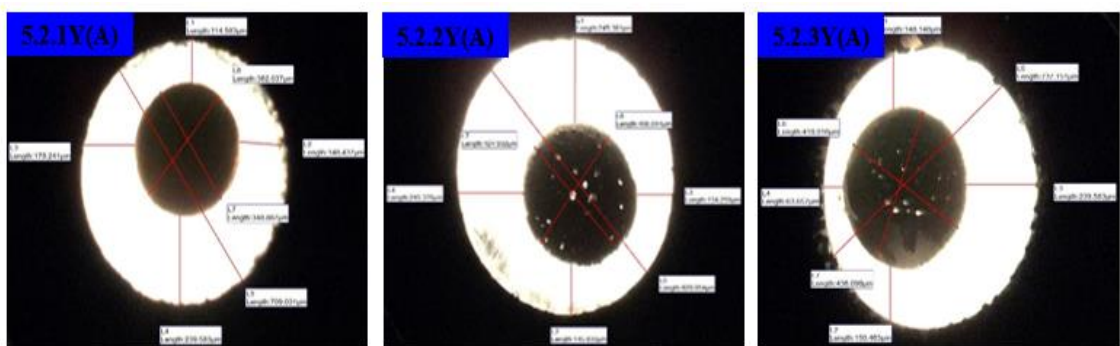
#### 4.3. Enine ve Boyuna Kesit Optik Mikroskop Analiz Sonuçları

Metot A ile üretilen bikomponent ipliklerin enine kesit görüntüleri sırasıyla Şekil 4.14, 4.15 ve 4.16'da sunulmuştur. Hem enine kesit hem de boyuna kesit görüntülerinden (Şekil 4.17, 4.18 ve 4.19) iç içe bikomponent kesit yapısının düzgün bir şekilde olduğu görülmektedir. Aynı iç/dış ekstrüder besleme oranında katkı oranı arttıkça iç/dış kesit çap oranlarının arttığı tespit edilmiştir ve bu durumun köpük polimerin genleşmesinden kaynaklandığı düşünülmektedir. 5/1 dış/ iç ekstrüder besleme oranında üretilen bikomponent ipliklerde, iç/dış çap oranları %1, 2 ve 3 katkılı numuneler için sırasıyla; 39/100, 43/100 ve 45/100'dür. 5/2 dış/ iç ekstrüder besleme oranında üretilen bikomponent ipliklerde, iç/dış çap oranları %1, 2 ve 3 katkılı numuneler için sırasıyla; 49/100, 51/100 ve 59/100'dür. 4/2 dış/ iç ekstrüder besleme oranında üretilen

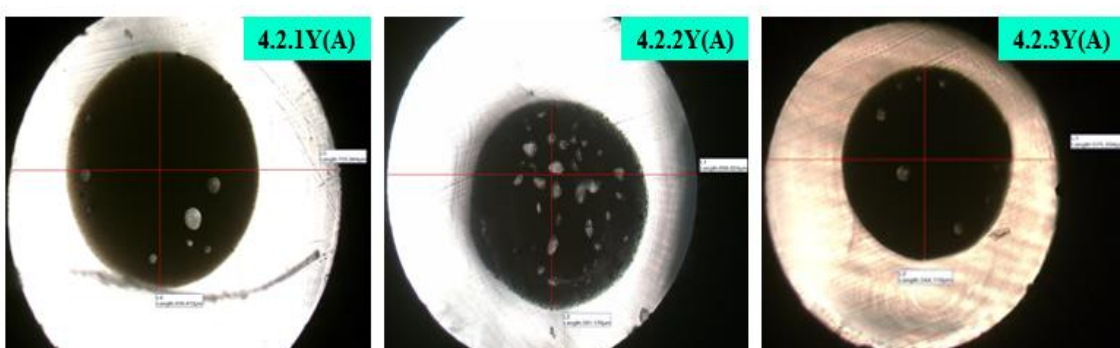
bikomponent ipliklerde, iç/dış çap oranları %1, 2 ve 3 katkılı numuneler için sırasıyla; 56/100, 58/100 ve 59/100'dür.



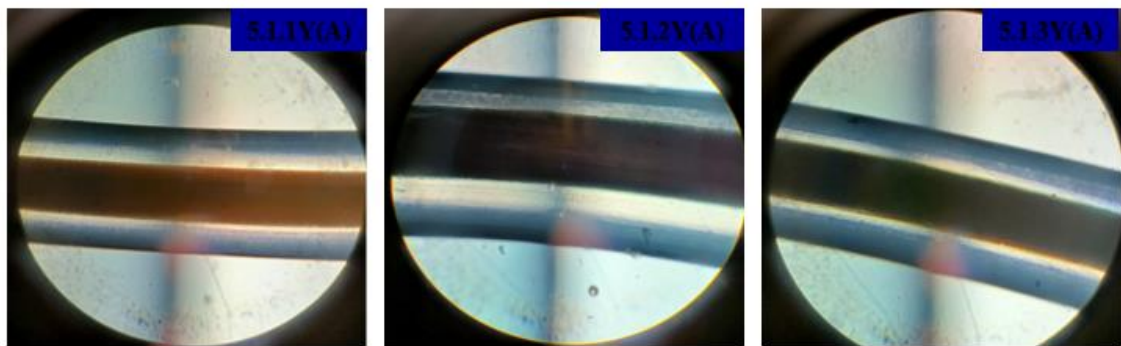
**Şekil 4.14.** 5/1 dış/ iç ekstrüder besleme oranında üretilen bicomponent ipliklerin enine kesit optik mikroskop görüntüleri (Büyütmeye oranı: 5x)



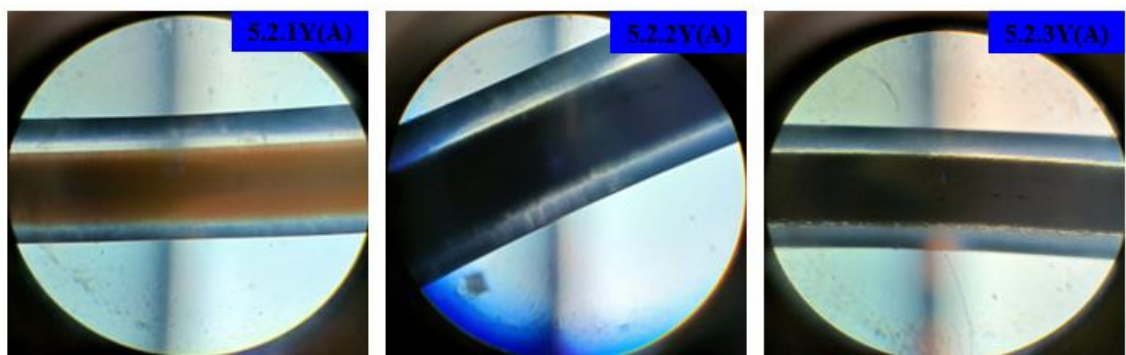
**Şekil 4.15.** 5/2 dış/ iç ekstrüder besleme oranında üretilen bicomponent ipliklerin enine kesit optik mikroskop görüntüleri (Büyütmeye oranı: 5x)



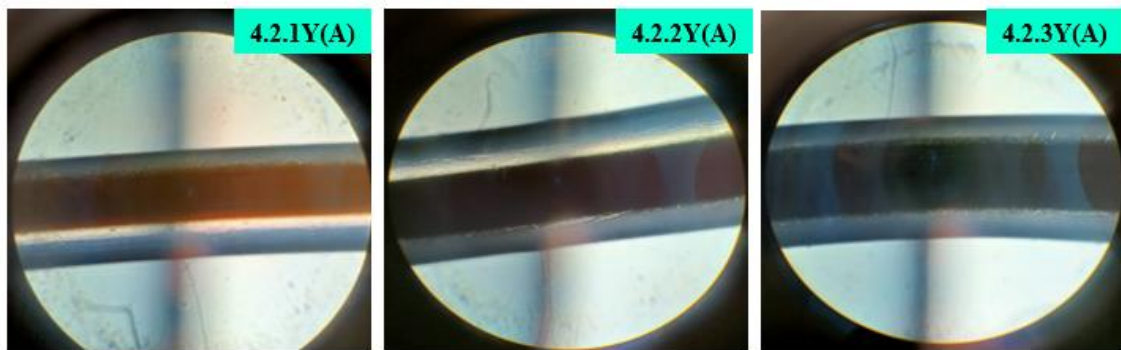
**Şekil 4.16.** 4/2 dış/ iç ekstrüder besleme oranında üretilen bicomponent ipliklerin enine kesit optik mikroskop görüntüleri (Büyütmeye oranı: 5x)



**Şekil 4.17.** 5/1 dış/ iç ekstrüder besleme oranında üretilen bicomponent ipliklerin boyuna kesit optik mikroskop görüntüleri (Büyütmeye oranı: 20x)



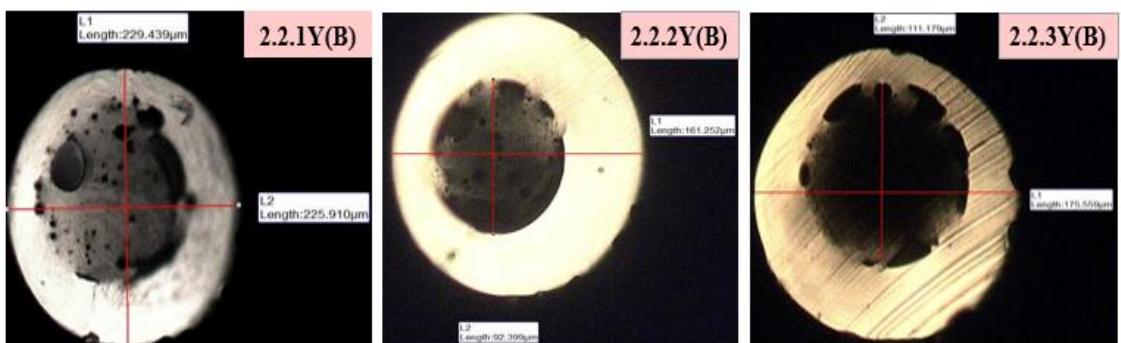
**Şekil 4.18.** 5/2 dış/ iç ekstrüder besleme oranında üretilen bicomponent ipliklerin boyuna kesit optik mikroskop görüntüleri (Büyütmeye oranı: 20x)



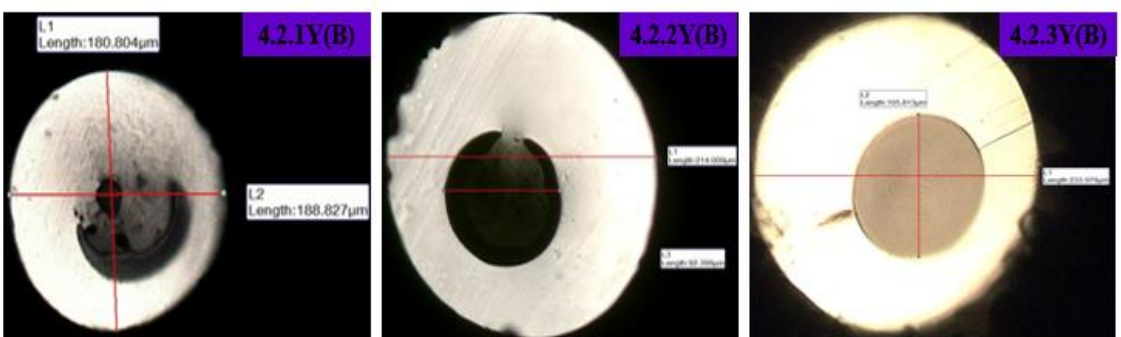
**Şekil 4.19.** 4/2 dış/ iç ekstrüder besleme oranında üretilen bicomponent ipliklerin boyuna kesit optik mikroskop görüntüleri (Büyütmeye oranı: 20x)

Metot B ile üretilen bicomponent ipliklerin enine kesit görüntüleri sırasıyla Şekil 4.20, 4.21, 4.22, 4.23 ve 4.24'te sunulmuştur. Hem enine kesit hem de boyuna kesit görüntülerinden (Şekil 4.25, 4.26, 4.27, 4.28 ve 4.29) iç içe bicomponent kesit yapısının düzgün bir şekilde oluştuğu görülmektedir. Metot A ile üretilen liflerle benzer şekilde

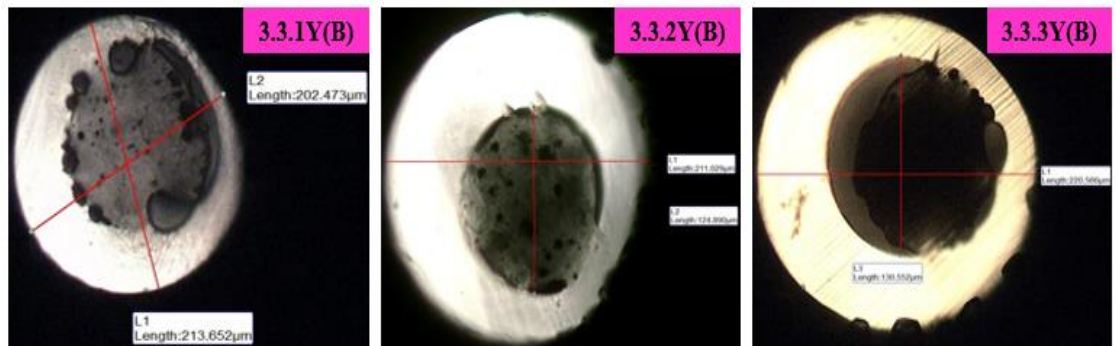
aynı iç/dış ekstrüder besleme oranında katkı oranı arttıkça iç/dış kesit çap oranlarının arttığı tespit edilmiştir ve bu durumun köpük polimerin genleşmesinden kaynaklandığı düşünülmektedir. 0.2/0.2 dış/iç ekstrüder besleme oranında üretilen bikomponent ipliklerde, iç/dış çap oranları %1, 2 ve 3 katkılı numuneler için sırasıyla; 55/100, 57/100 ve 63/100'dür. 0.4/0.2 dış/iç ekstrüder besleme oranında üretilen bikomponent ipliklerde, iç/dış çap oranları %1, 2 ve 3 katkılı numuneler için sırasıyla; 41/100, 43/100 ve 45/100'dür. 0.3/0.3 dış/iç ekstrüder besleme oranında üretilen bikomponent ipliklerde, iç/dış çap oranları %1, 2 ve 3 katkılı numuneler için sırasıyla; 57/100, 58/100 ve 59/100'dür. 0.6/0.3 dış/iç ekstrüder besleme oranında üretilen bikomponent ipliklerde, iç/dış çap oranları %1, 2 ve 3 katkılı numuneler için sırasıyla; 38/100 39/100 ve 42/100'dür. 0.4/0.4 dış/iç ekstrüder besleme oranında üretilen bikomponent ipliklerde, iç/dış çap oranları %1, 2 ve 3 katkılı numuneler için sırasıyla; 56/100, 57/100 ve 61/100'dür.



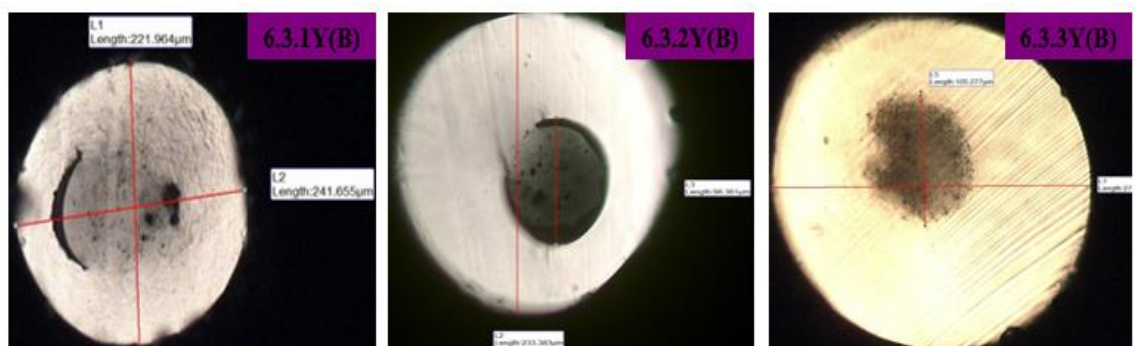
**Şekil 4.20.** 0.2/0.2 dış/iç ekstrüder besleme oranında üretilen bikomponent ipliklerin enine kesit optik mikroskop görüntüleri (Büyütmeye oranı: 40x)



**Şekil 4.21.** 0.4/0.2 dış/iç ekstrüder besleme oranında üretilen bikomponent ipliklerin enine kesit optik mikroskop görüntüleri (Büyütmeye oranı: 40x)



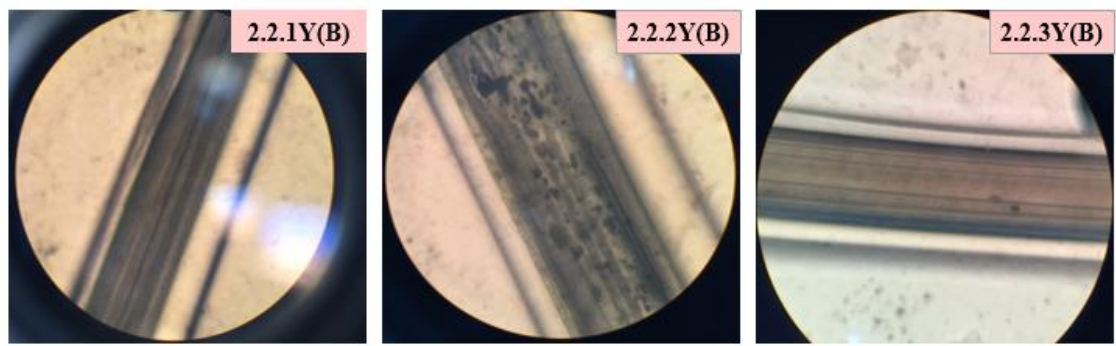
**Şekil 4.22.** 0.3/0.3 dış/ iç ekstrüder besleme oranında üretilen bicomponent ipliklerin enine kesit optik mikroskop görüntüleri (Büyütmeye oranı: 40x)



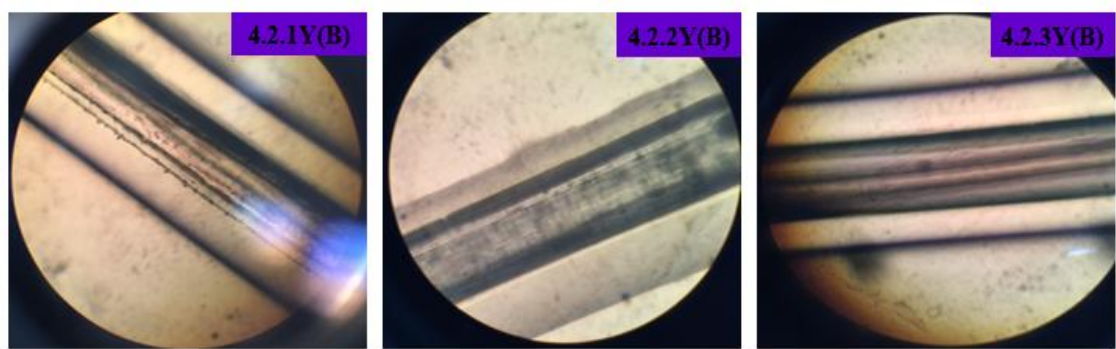
**Şekil 4.23.** 0.6/0.3 dış/ iç ekstrüder besleme oranında üretilen bicomponent ipliklerin enine kesit optik mikroskop görüntüleri (Büyütmeye oranı: 40x)



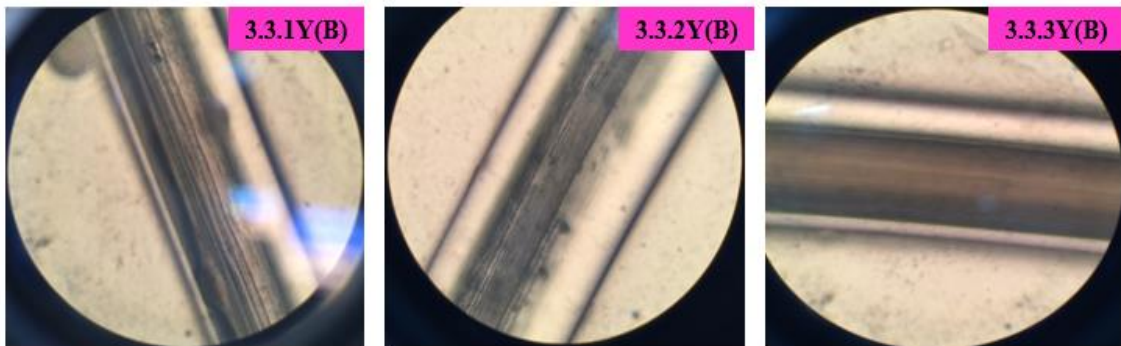
**Şekil 4.24.** 0.4/0.4 dış/ iç ekstrüder besleme oranında üretilen bicomponent ipliklerin enine kesit optik mikroskop görüntüleri (Büyütmeye oranı: 40x)



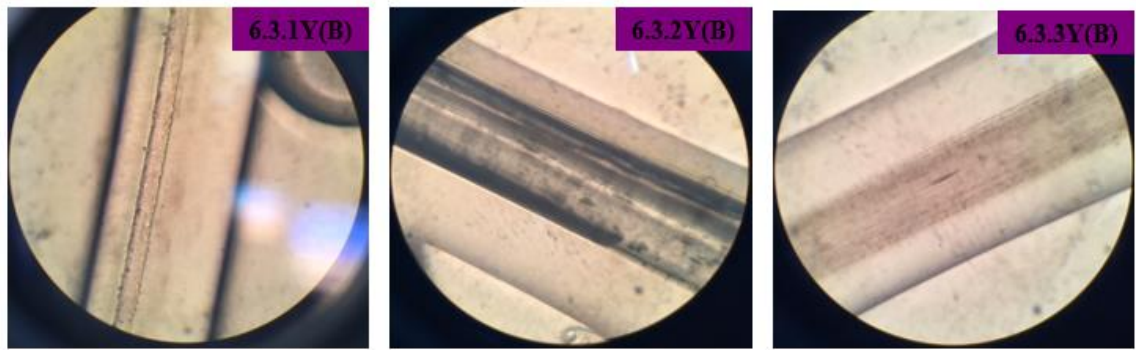
**Şekil 4.25.** 0.2/0.2 dış/ iç ekstrüder besleme oranında üretilen bicomponent ipliklerin boyuna kesit optik mikroskop görüntüleri (Büyütmeye oranı: 40x)



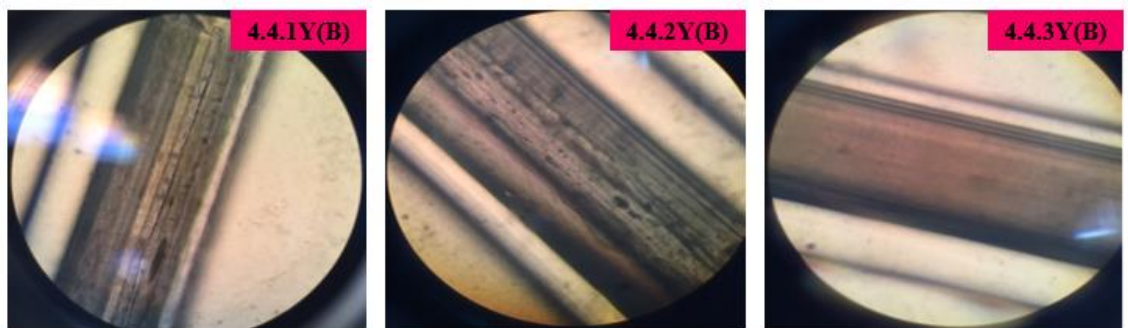
**Şekil 4.26.** 0.4/0.2 dış/ iç ekstrüder besleme oranında üretilen bicomponent ipliklerin boyuna kesit optik mikroskop görüntüleri (Büyütmeye oranı: 40x)



**Şekil 4.27.** 0.3/0.3 dış/ iç ekstrüder besleme oranında üretilen bicomponent ipliklerin boyuna kesit optik mikroskop görüntüleri (Büyütmeye oranı: 40x)



**Şekil 4.28.** 0.6/0.3 dış/ iç ekstrüder besleme oranında üretilen bicomponent ipliklerin boyuna kesit optik mikroskop görüntüleri (Büyütmeye oranı: 40x)



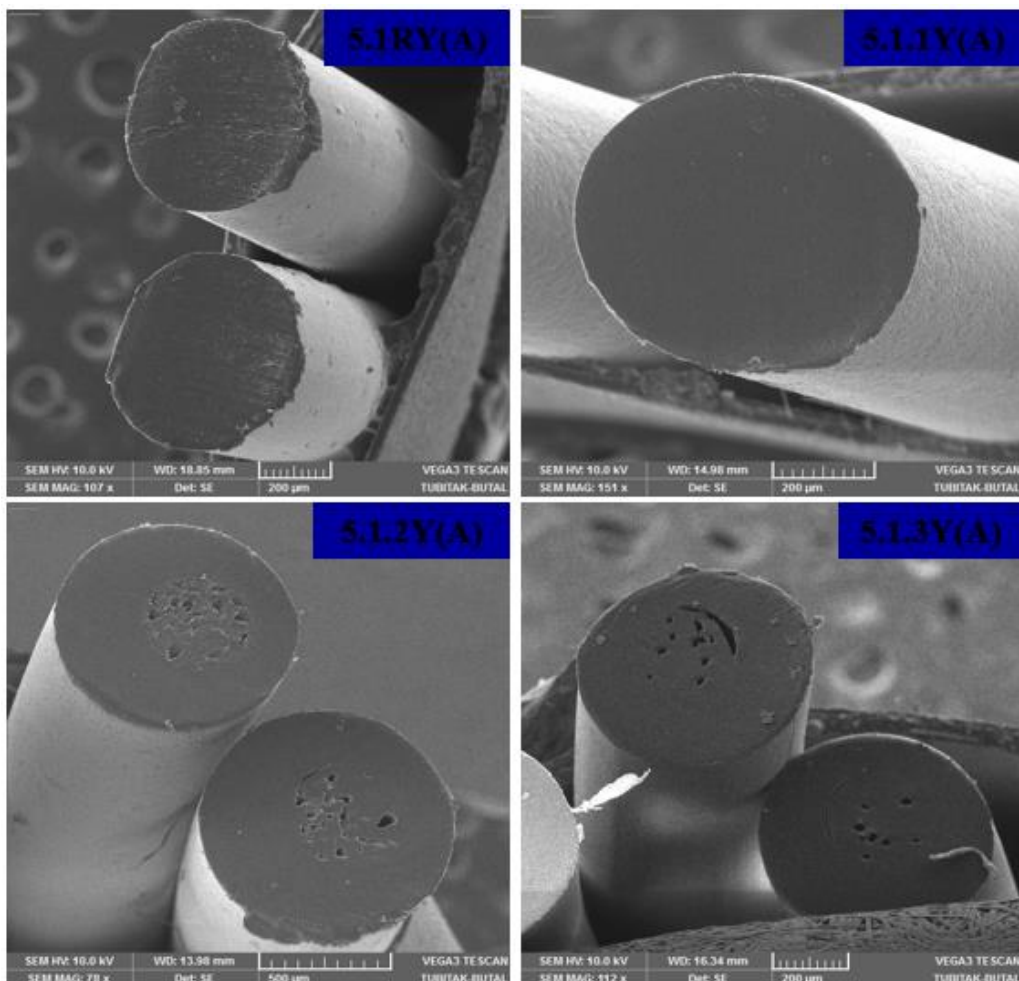
**Şekil 4.29.** 0.4/0.4 dış/ iç ekstrüder besleme oranında üretilen bicomponent ipliklerin boyuna kesit optik mikroskop görüntüleri (Büyütmeye oranı: 40x)

#### 4.4. SEM Analizi Sonuçları

Metot A ile üretilen bicomponent ipliklerin bir kısmına ait SEM analizi görüntü sonuçları Şekil 4.30 ve 4.31'de sunulmuştur. Üretilen bicomponent ipliklerin enine kesit yapısının oldukça homojen ve yuvarlak kesitin düzgün olduğu görülmektedir. İç/dış polipropilen polimeri ile üretilen referans bicomponent iplikler (5.1RY(A) ve 5.2RY(A)) aynı malzemeden üretildiği için tek bileşenli bir lif gibi görüntü vermektedir.

Şekil 4.30 incelediğinde %1 katkı orANIyla üretilen ipliklerde köpük polimer katkısı oldukça düşük olduğu için iç yapıda köpük polimere dair bir görüntü denk gelmemiştir. Enine kesit görüntüsü neredeyse referans bicomponent iplikle aynıdır. Optik mikroskop görüntülerinde de benzer şekilde (Şekil 4.14) %1 katkılı iplikte köpük polimerden kaynaklı hava kabarcıkları görünmemekteydi. %2 ve %3 katkılı bicomponent ipliklerde

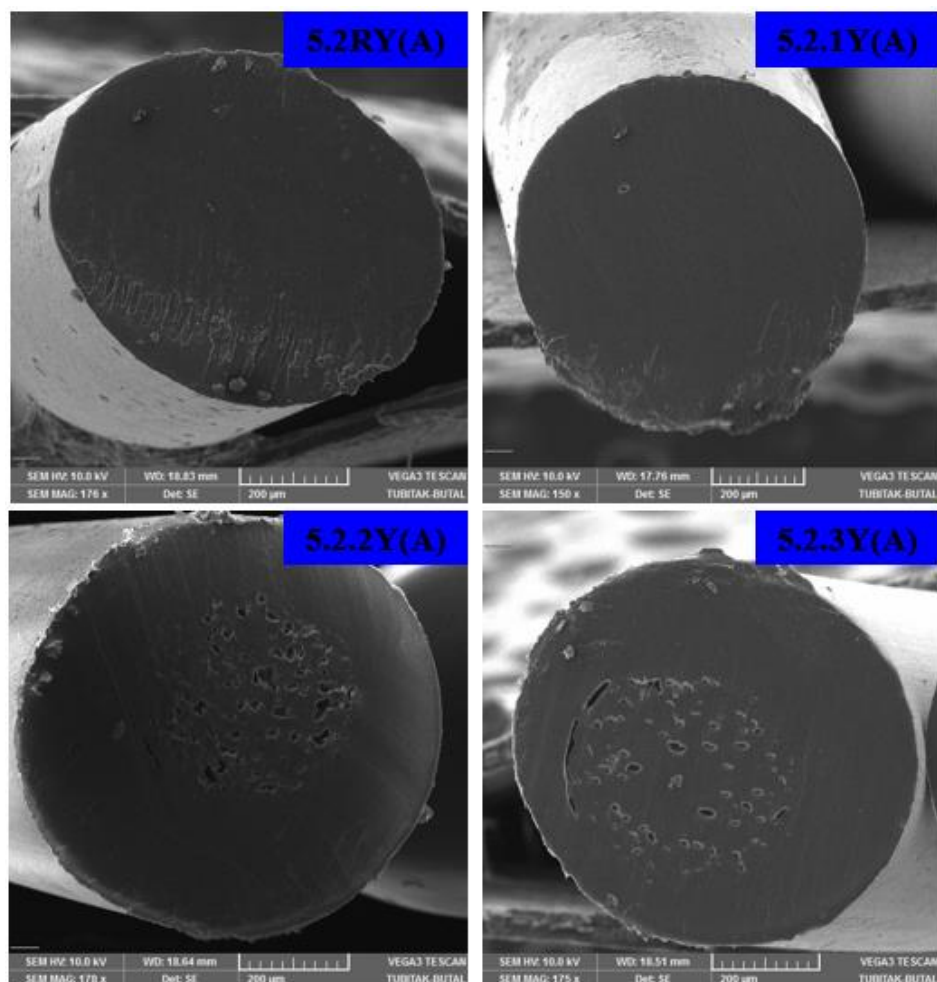
ise iç yapıda köpük polimerin genleşmesinden kaynaklı hava boşluklarının oluştuşunu özellikle %3 katkılı ipliklerde bazı bölgelerde genleşmeden kaynaklı iç/dış kesit sınırında ufak bir ayrılmmanın başladığını görülmektedir.



**Şekil 4.30.** 5/1 dış/ iç ekstrüder besleme oranında üretilen bikomponent ipliklerin enine kesit SEM görüntüleri (Büyütmeye oranları: 5.1RY(A): 107x, 5.1.1Y(A):151x, 5.1.2Y(A):78x, 5.1.3Y(A): 112x)

Şekil 4.31 incelendiğinde %1 katkı orANIyla üretilen ipliklerde köpük polimer katkısı oldukça düşük olduğu için iç yapıda köpük polimere dair görüntü bir yerde belli olmaktadır. Optik mikroskop görüntülerinde de benzer şekilde (Şekil 4.14) %1 katkılı iplikte köpük polimerden kaynaklı hava kabarcıkları çok az görünülmekteydi. %2 ve %3 katkılı bikomponent ipliklerde ise iç yapıda köpük polimerin genleşmesinden kaynaklı hava boşluklarının oluştuşu görülmektedir. Şekil 4.30 ile kıyaslandığında 5/2 ekstrüder oranında az da olsa daha fazla iç malzeme beslendiği için genleşmeden kaynaklı hava

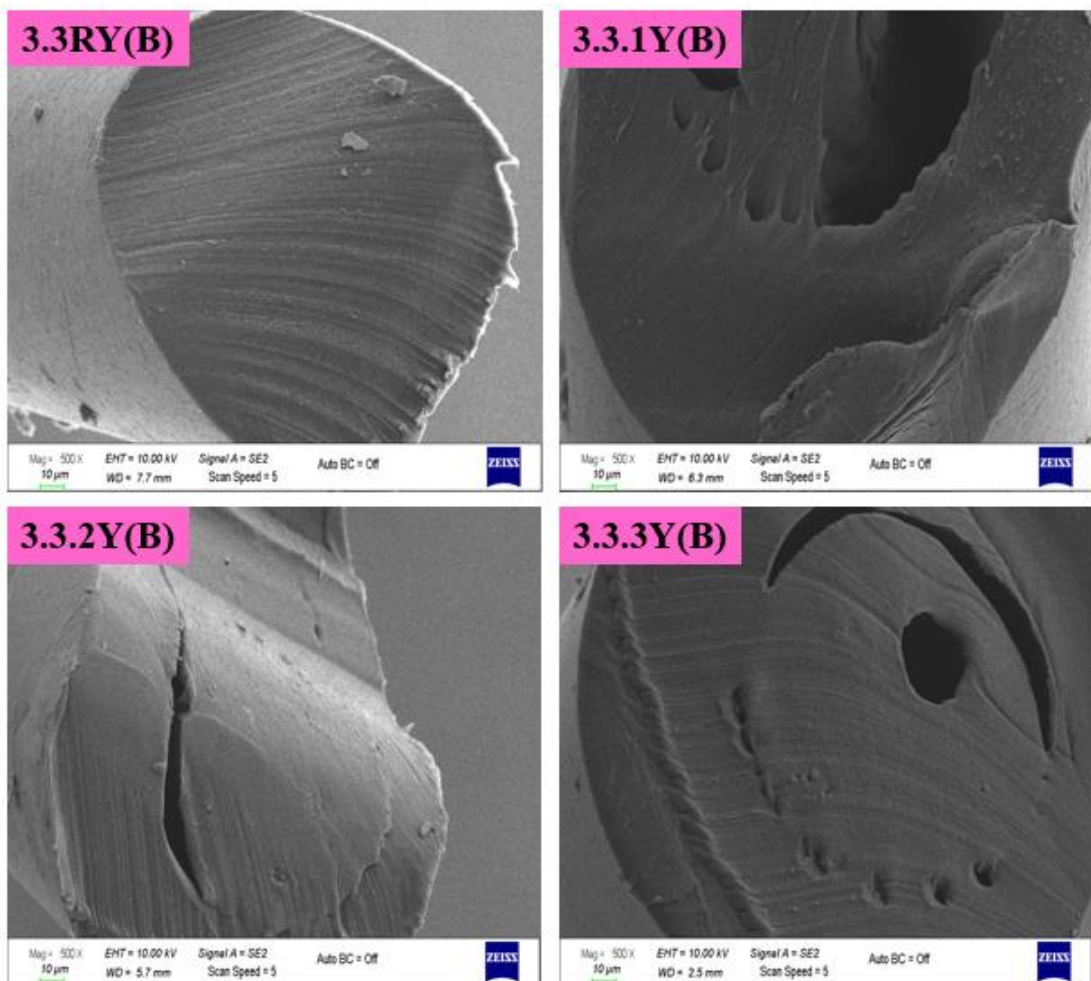
boşlukları daha fazladır. Yine aynı şekilde %3 katkılı ipliklerde genleşmeden kaynaklı iç/dış kesit sınırında ufak bir ayrılmmanın başladığı görülmektedir.



**Şekil 4.31.** 5/2 dış/ iç ekstrüder besleme oranında üretilen bicomponent ipliklerin enine kesit SEM görüntüleri (Büyütmeye oranları: 5.2RY(A): 176x, 5.2.1Y(A): 150x, 5.2.2Y(A): 178x, 5.2.3Y(A): 175x)

Metot B ile üretilen bicomponent ipliklerden 0.3/0.3 dış/ iç ekstrüder besleme oranında üretilen ipliklere ait SEM analizi görüntüleri Şekil 4.32'de sunulmuştur. Üretilen bicomponent ipliklerin enine kesit yapısının oldukça homojen ve yuvarlak kesitin düzgün olduğu görülmektedir. İç/dış polipropilen polimeri ile üretilen referans bicomponent iplik (3.3RY(B)) aynı malzemeden üretildiği için tek bileşenli bir lif gibi görüntü vermektedir. %1 ve %3 katkı ile üretilen ipliklerde hava boşlukları belli olmaktadır özellikle %3 katkılı iplikte bir miktar iç/dış polimer kesit sınırında ayrılma görülmektedir. %2'lik katkı oranında ise köpük polimerden kaynaklı hava boşluğu görülmemekte burada

da iç/dış yapı arasında bir miktar ayrılma görülmektedir. İki üretim metodu arası kıyas yapacak olursak Metot A ile üretilen liflerde köpük polimer etkisi daha barizdir.



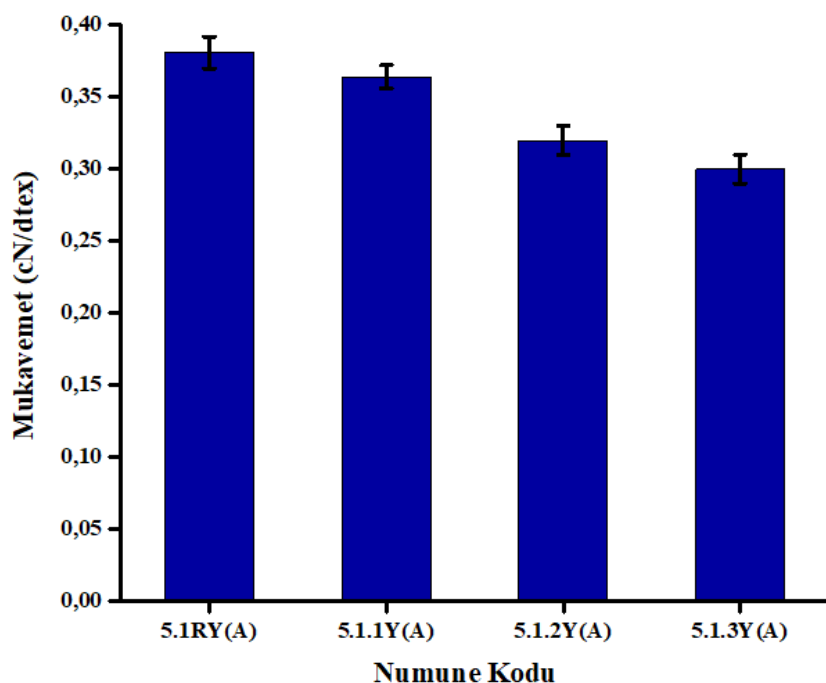
**Şekil 4.32.** 0.3/0.3 dış/İç ekstrüder besleme oranında üretilen bicomponent ipliklerin enine kesit SEM görüntüleri (Büyütmeye oranı: 500x)

#### 4.5. Mukavemet ve Uzama Test Sonuçları

Metot A üretilen bicomponent ipliklerin mukavemet test sonuçları hem Çizelge 4.3' te hem de sırasıyla Şekil 4.33 4.34 ve 4.35'te sunulmuştur. Üç farklı dış/İç ekstrüder besleme oranlarında üretilen ipliklerin mukavemet sonuçları incelendiğinde referans (%100 PP/PP) bicomponent ipliklere göre mukavemet değerleri azalmıştır.

**Çizelge 4.3.** Metot A ile üretilen bikomponent ipliklerin mukavemet ve uzama sonuçları

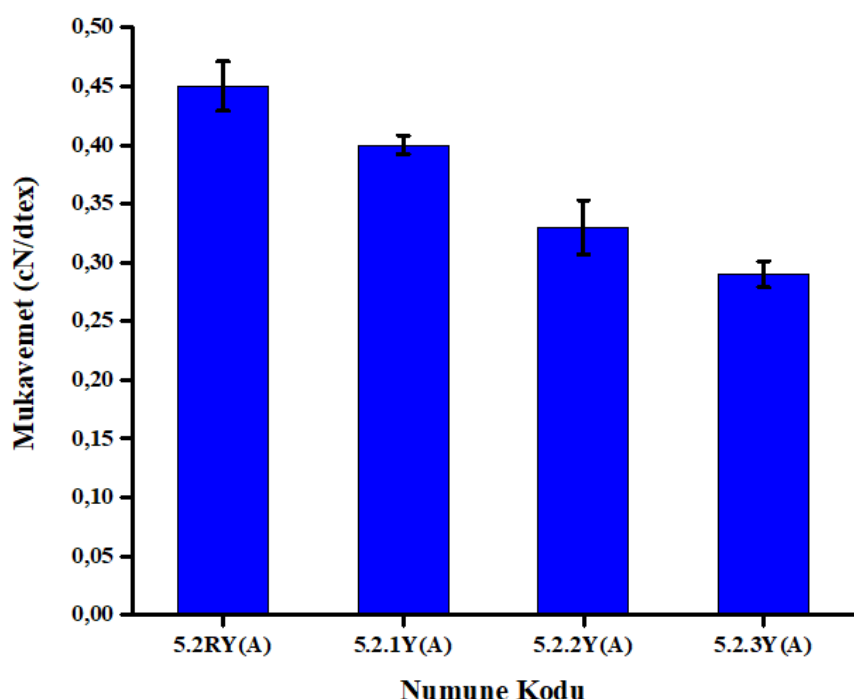
Numune Kodu	Mukavemet (cN/dtex)		Uzama (%)	
	Ortalama	Standart Sapma	Ortalama	Standart Sapma
5.1RY(A)	0,38	0,01	5,83	0,91
5.1.1Y(A)	0,36	0,01	46,09	4,49
5.1.2Y(A)	0,32	0,01	52,78	4,75
5.1.3Y(A)	0,30	0,01	64,03	15,48
5.2RY(A)	0,45	0,02	5,95	0,49
5.2.1Y(A)	0,40	0,01	59,99	4,27
5.2.2Y(A)	0,33	0,02	66,99	8,77
5.2.3Y(A)	0,29	0,01	88,00	11,53
4.2RY(A)	0,57	0,02	5,43	0,96
4.2.1Y(A)	0,34	0,02	44,02	2,71
4.2.2Y(A)	0,29	0,02	48,38	2,92
4.2.3Y(A)	0,27	0,01	55,64	3,48



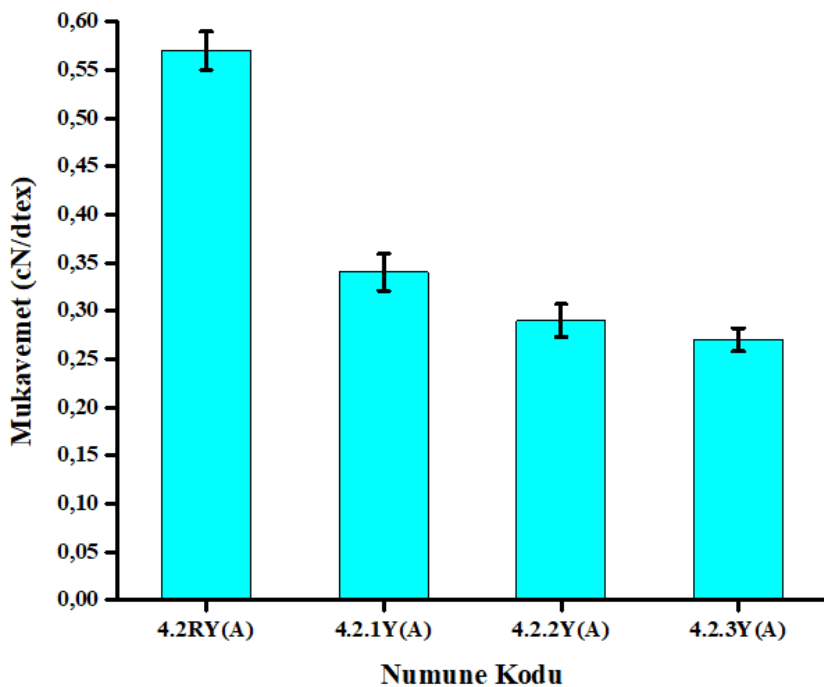
**Şekil 4.33.** 5/1 dış/ iç ekstrüder besleme oranında üretilen bikomponent ipliklerin katkı oranına bağlı mukavemet değişimi

5.1RY(A) kodlu referans ipliğiin ortalama mukavemet değeri 0,38 cN/dtex' tir. 5/1 dış/ iç ekstrüder besleme oranında üretilen bikomponent ipliklerde, referans ipliğe göre %1, 2 ve 3 katkı oranlarında sırasıyla; %4,5, %16 ve %21,3 oranlarında mukavemet değerlerinde azalma görülmüştür.

5.2RY(A) kodlu referans ipliğiin ortalama mukavemet değeri 0,45 cN/dtex' tir. 5/2 dış/ iç ekstrüder besleme oranında üretilen bikomponent ipliklerde, referans ipliğe göre %1, 2 ve 3 katkı oranlarında sırasıyla; %11,1, %26,6 ve %35,5 oranında mukavemet değerlerinde azalma görülmüştür. 4.2RY(A) kodlu referans ipliğiin ortalama mukavemet değeri 0,57 cN/dtex' tir. 4/2 dış/ iç ekstrüder besleme oranında üretilen bikomponent ipliklerde, referans ipliğe göre %1, 2 ve 3 katkı oranlarında sırasıyla; %40,4, %49,1 ve %52,6 oranında mukavemet değerlerinde azalma görülmüştür. Mukavemet değerindeki en büyük azalma yaklaşık %52 oranındadır ve en yüksek katkı oranında (%3), 4.2.3Y(A) kodlu numunede görülmüştür.

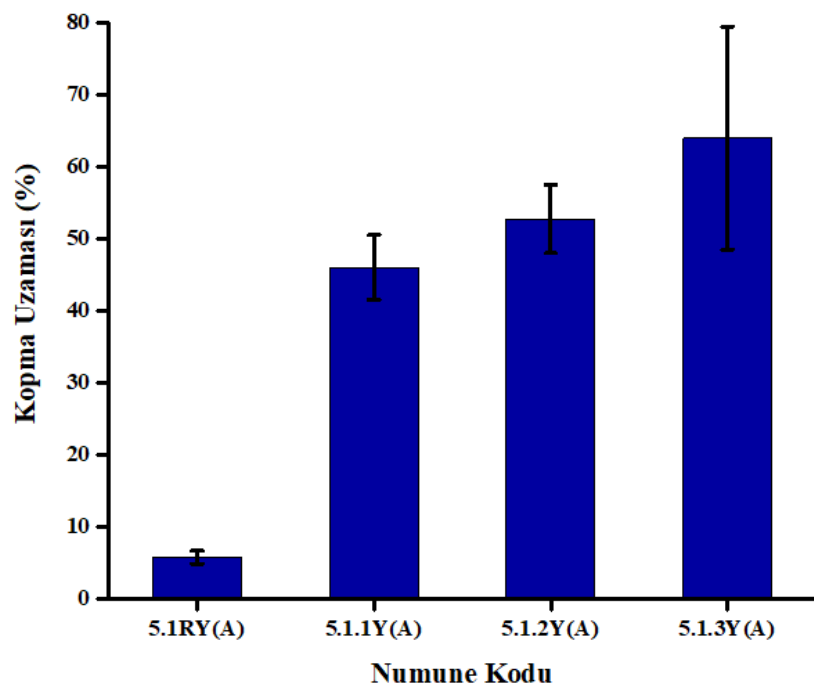


**Sekil 4.34.** 5/2 dış/ iç ekstrüder besleme oranında üretilen bikomponent ipliklerin katkı oranına bağlı mukavemet değişimi

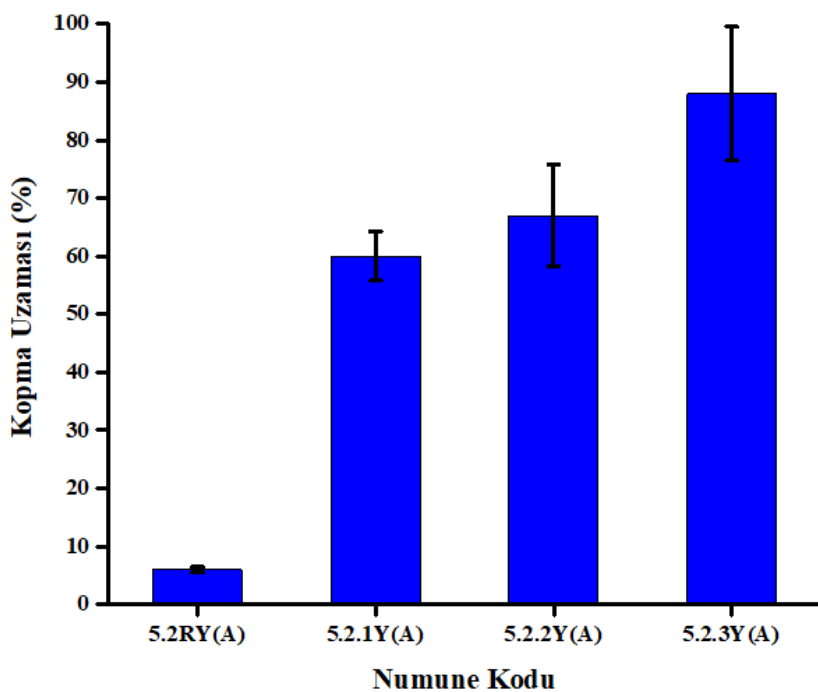


**Şekil 4.35.** 4/2 dış/ iç ekstrüder besleme oranında üretilen bikomponent ipliklerin katkı oranına bağlı mukavemet değişimi

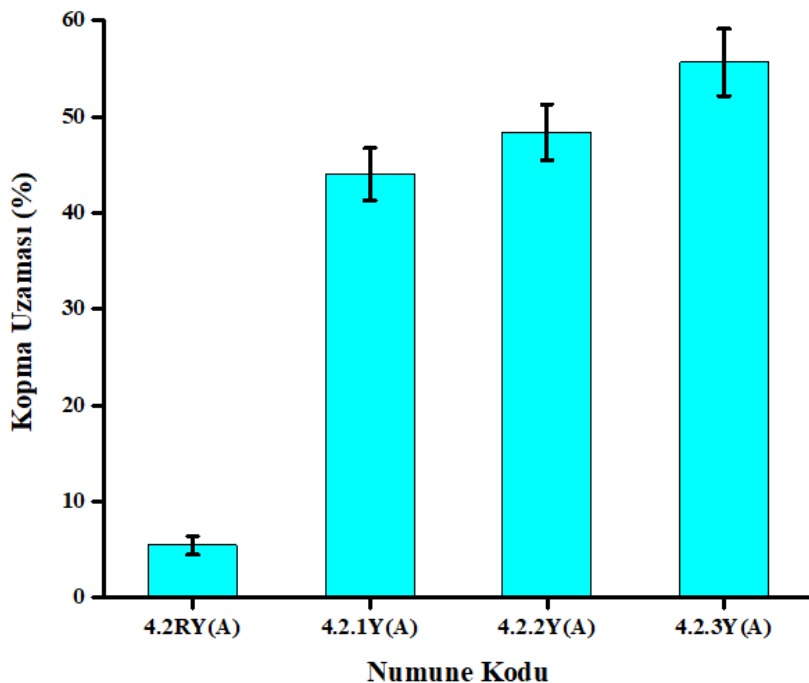
% Kopma uzaması grafikleri incelendiğinde (Şekil 4.36, 4.37 ve 4.38), uzama değerlerinin mukavemet değerlerindeki azalmayla ters orantılı olarak arttığı görülmektedir. 5/1 dış/ iç ekstrüder besleme oranında üretilen bikomponent ipliklerin katkı oranına bağlı % kopma uzaması değişimi incelendiğinde, referans iplik ortalama %5,83 uzama değerine sahipken, artan katkı oraniyla ortalama uzama değerleri sırasıyla %46, %52,78 ve %64'tür. 5/2 dış/ iç ekstrüder besleme oranında üretilen bikomponent ipliklerin katkı oranına bağlı % kopma uzaması değişimi incelendiğinde, referans iplik ortalama %5,95 uzama değerine sahipken, artan katkı oraniyla ortalama uzama değerleri sırasıyla, %59,99, %66,99 ve %88'dir. 4/2 dış/ iç ekstrüder besleme oranında üretilen bikomponent ipliklerin katkı oranına bağlı % kopma uzaması değişimi incelendiğinde, referans iplik ortalama %5,43 uzama değerine sahipken, artan katkı oraniyla ortalama uzama değerleri sırasıyla %44,02, %48,38 ve %55,64'tür. Referans ipliklerin % uzama değerlerindeki standart sapma çok azdır ancak katkı ilavesiyle standart sapma değerleri de yükselmiştir.



**Şekil 4.36.** 5/1 dış/ iç ekstrüder besleme oranında üretilen bicomponent ipliklerin katkı oranına bağlı % kopma uzaması değişimi



**Şekil 4.37.** 5/2 dış/ iç ekstrüder besleme oranında üretilen bicomponent ipliklerin katkı oranına bağlı % kopma uzaması değişimi



**Şekil 4.38.** 4/2 dış/ iç ekstrüder besleme oranında üretilen bicomponent ipliklerin katkı oranına bağlı % kopma uzaması değişimi

**Çizelge 4.4.** Metot A ile üretilen bicomponent ipliklerin mukavemet ve uzama sonuçları için istatiksel analiz (ANOVA ve SNK) sonuçları

Parametre		Mukavemet (cN/dtex)		Uzama (%)	
Katkı Oranı	0	0,00*	0,47 d	0,00*	5,62 a
	1		0,37 c		49,50 b
	2		0,31 b		57,17 c
	3		0,29 a		68,92 d
Besleme Oranı	4-2	0,00*	0,37 b	0,00*	38,98 a
	5-1		0,34 a		42,36 a
	5-2		0,37 b		54,58 b
Katkı Oranı*Besleme Oranı		0,00*		0,00*	

(a), (b), (c) ve (d) SNK testine göre istatiksel farklılıklarını göstermektedir.

\* %5 anlamlılık seviyesi

İplik mukavemet ve uzama değerlerine katkı oranının, besleme oranının ve kesimlerinin etkisi ANOVA ve SNK testleri ile de değerlendirildiğinde 0,05 anlamlılık seviyesinde hem katkı oranının, besleme oranının ve kesimlerinin de mukavemet ve uzama üzerine

etkisi olduğu istatiksel olarak da ispatlanmıştır. Çizelge 3.5'te mukavemet ve uzama değişkenleri için verilen alternatif hipotezler kabul edilmiştir.

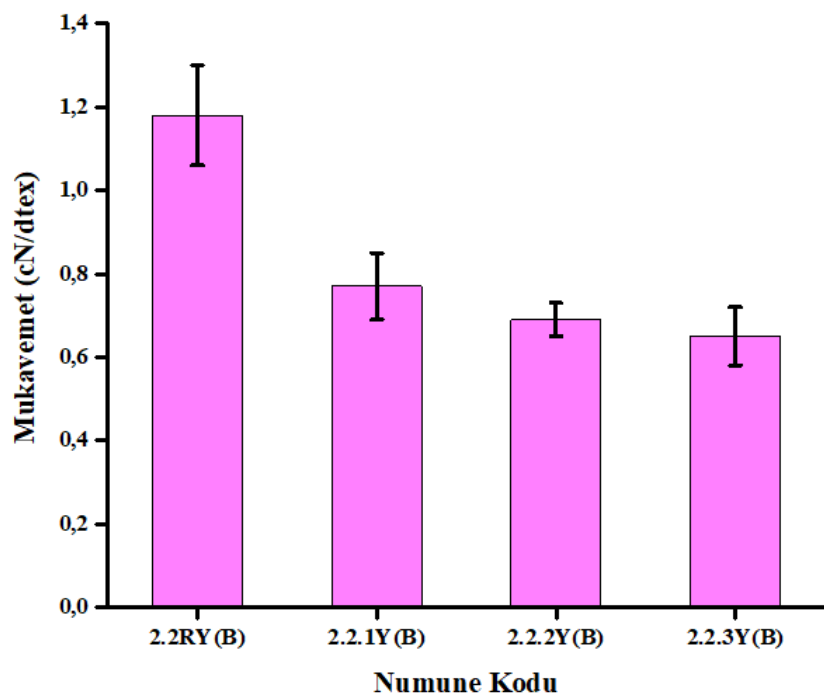
Metot B ile üretilen bikomponent ipliklerin mukavemet ve uzama test sonuçları hem Çizelge 4.5'te hem de sırasıyla Şekil 4.39, 4.40, 4.41, 4.42 ve 4.43'te sunulmuştur. Mukavemet değerlerindeki genel değişim değerlendirildiğinde katkı ilavesiyle mukavemet değerlerinin azaldığı söylenebilir.

**Çizelge 4.5.** Metot B ile üretilen bikomponent ipliklerin mukavemet ve uzama sonuçları

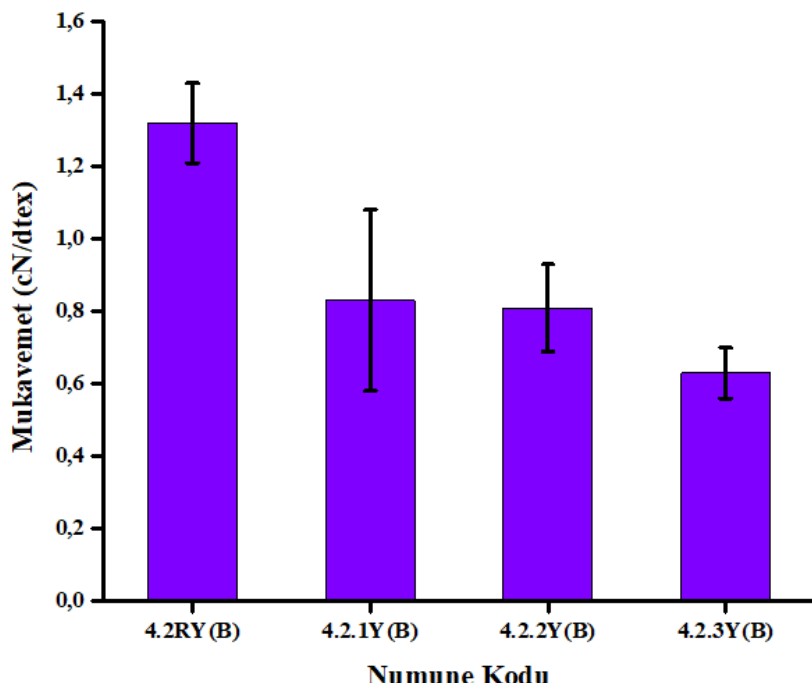
Numune Kodu	Mukavemet (cN/dtex)		Uzama (%)	
	Ortalama	Standart Sapma	Ortalama	Standart Sapma
2.2RY(B)	1,18	0,12	437,25	28,19
2.2.1Y(B)	0,77	0,08	489,98	34,36
2.2.2Y(B)	0,69	0,04	504,11	37,61
2.2.3Y(B)	0,65	0,07	516,07	37,28
4.2.RY(B)	1,32	0,11	518,05	75,60
4.2.1Y(B)	0,83	0,25	607,41	66,67
4.2.2Y(B)	0,81	0,12	626,79	65,36
4.2.3Y(B)	0,63	0,07	632,02	88,59
3.3RY(B)	1,03	0,08	423,35	75,36
3.3.1Y(B)	0,96	0,08	512,51	40,76
3.3.2Y(B)	0,92	0,05	622,63	23,56
3.3.3Y(B)	0,75	0,11	782,23	72,07
6.3RY(B)	1,12	0,07	543,35	57,96
6.3.1Y(B)	0,83	0,18	557	63,04
6.3.2Y(B)	0,82	0,09	657,15	62,44
6.3.3Y(B)	0,76	0,03	881,52	40,01
4.4.RY(B)	1,34	0,05	580,20	83,09
4.4.1Y(B)	0,86	0,07	586,79	57,83
4.4.2Y(B)	0,71	0,12	631,59	52,08
4.4.3Y(B)	0,50	0,08	717,50	69,38

0.2/0.2 dış/İç ekstrüder besleme oranında üretilen bikomponent ipliklerin katkı oranına bağlı mukavemet değişimi incelendiğinde 2.2RY(B) kodlu referans ipliğin ortalama mukavemet değeri 1,18 cN/dtex' tir. Artan katkı orANIyla birlikte sırasıyla 0,77, 0,69, ve

0,65 cN/dtex mukavemet değerleri elde edilmiştir. 0.4/0.2 dış/ iç ekstrüder besleme oranında üretilen bikomponent ipliklerin katkı oranına bağlı mukavemet değişimi 4.2RY(B) kodlu referans iplığın ortalama mukavemet değeri 1,32 cN/dtex' tir. Artan katkı oranıyla birlikte sırasıyla 0,83, 0,81 ve 0,63 cN/dtex mukavemet değerleri elde edilmiştir.

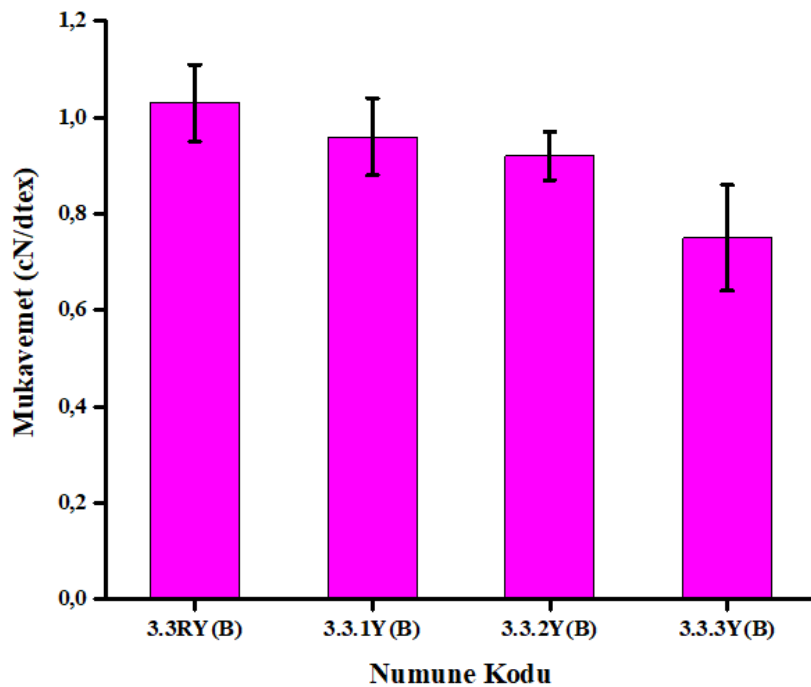


**Şekil 4.39.** 0.2/0.2 dış/ iç ekstrüder besleme oranında üretilen bikomponent ipliklerin katkı oranına bağlı mukavemet değişimi

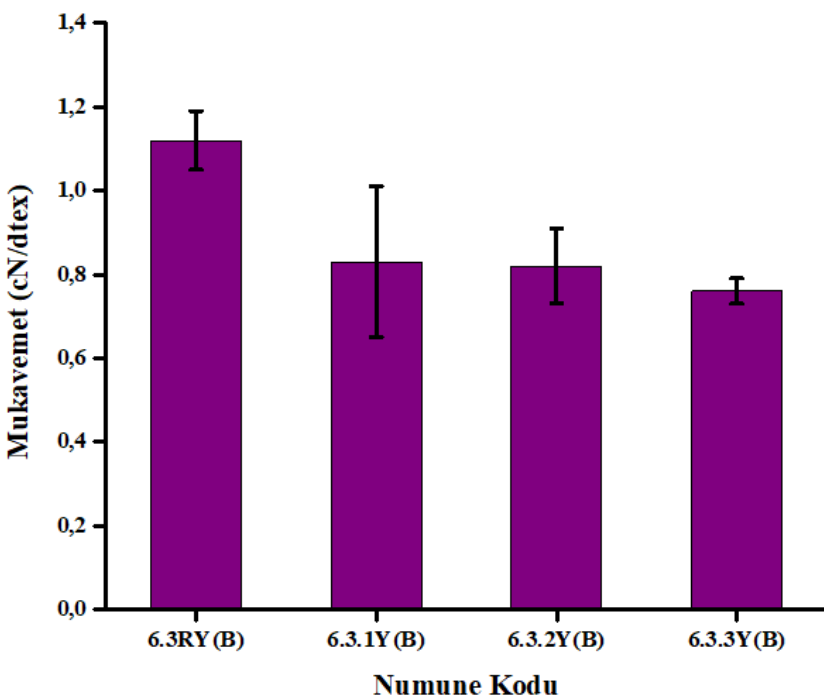


**Şekil 4.40.** 0.4/0.2 dış/ iç ekstrüder besleme oranında üretilen bikomponent ipliklerin katkı oranına bağlı mukavemet değişimi

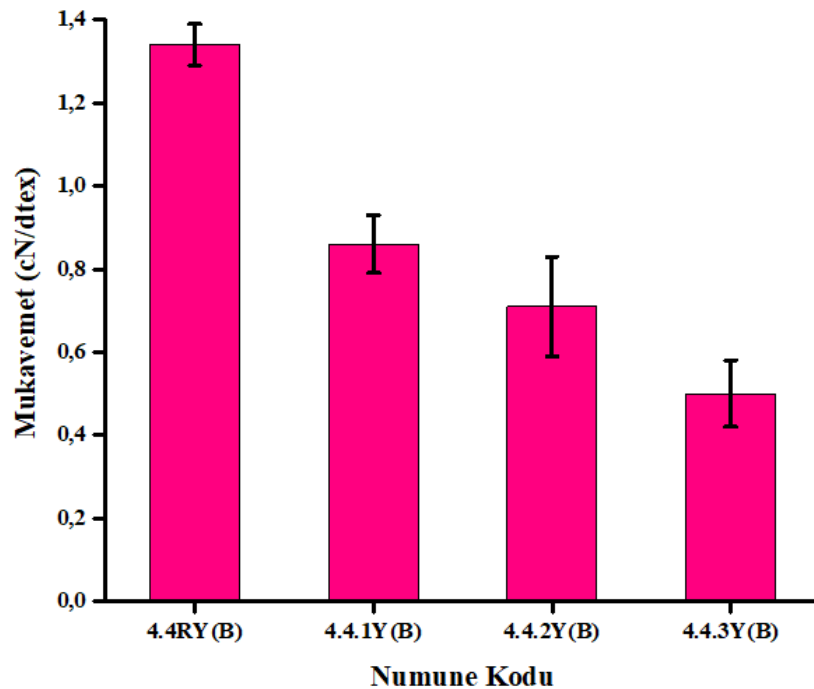
0.3/0.3 dış/ iç ekstrüder besleme oranında üretilen bikomponent ipliklerin katkı oranına bağlı mukavemet değişimi incelendiğinde 3.3RY(B) kodlu referans ipliğin ortalama mukavemet değeri 1,03 cN/dtex' tir. Artan katkı oraniyla birlikte sırasıyla 0,96, 0,92 ve 0,75 cN/dtex mukavemet değerleri elde edilmiştir. 0.6/0.3 dış/ iç ekstrüder besleme oranında üretilen bikomponent ipliklerin katkı oranına bağlı mukavemet değişimi incelendiğinde 6.3RY(B) kodlu referans ipliğin ortalama mukavemet değeri 1,12 cN/dtex' tir. Artan katkı oraniyla birlikte sırasıyla 0,83, 0,82 ve 0,76 cN/dtex mukavemet değerleri elde edilmiştir. 0.4/0.4 dış/ iç ekstrüder besleme oranında üretilen bikomponent ipliklerin katkı oranına bağlı mukavemet değişimi incelendiğinde 4.4RY(B) kodlu referans ipliğin ortalama mukavemet değeri 1,34 cN/dtex' tir. Artan katkı oraniyla birlikte sırasıyla 0,86, 0,71 ve 0,5 cN/dtex mukavemet değerleri elde edilmiştir. Mukavemet değerindeki en büyük azalma yaklaşık %62,6 oranındadır ve en yüksek katkı oranında (%3), 4.4.3Y(B) kodlu numunede görülmüştür.



**Şekil 4.41** 0.3/0.3 dış/ iç ekstrüder besleme oranında üretilen bikomponent ipliklerin katkı oranına bağlı mukavemet değişimi

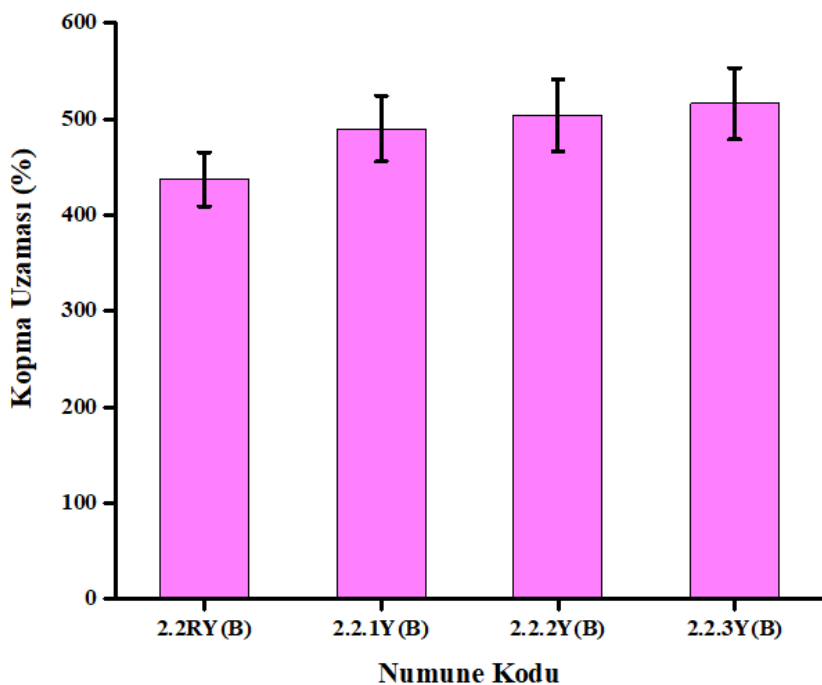


**Şekil 4.42.** 0.6/0.3 dış/ iç ekstrüder besleme oranında üretilen bikomponent ipliklerin katkı oranına bağlı mukavemet değişimi



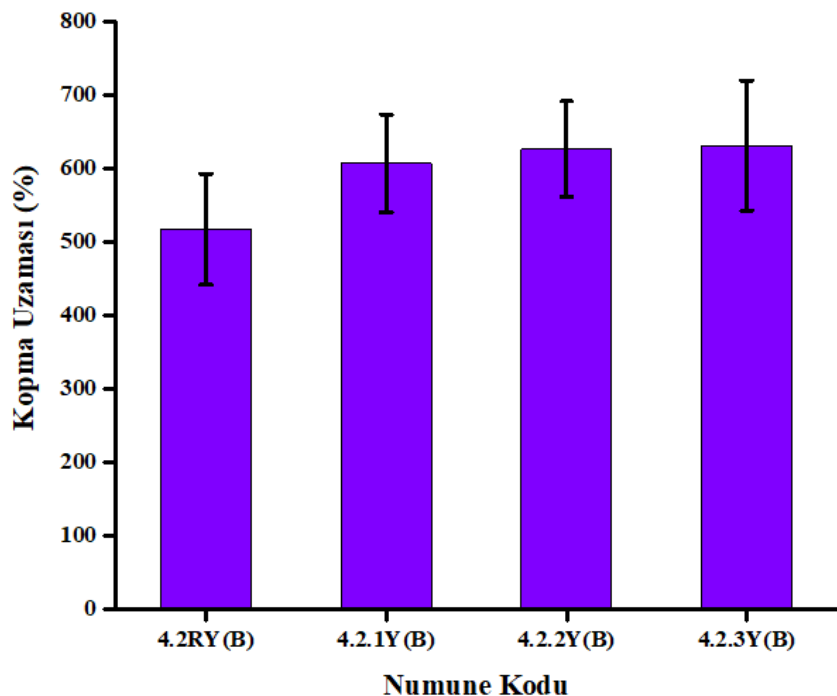
**Şekil 4.43.** 0.4/0.4 dış/ iç ekstrüder besleme oranında üretilen bikomponent ipliklerin katkı oranına bağlı mukavemet değişimi

% Kopma uzaması grafikleri incelendiğinde (Şekil 4.44, 4.45, 4.46, 4.47 ve 4.48), uzama değerlerinin hem referans numunelerde hem de katkılı numunelerde oldukça yüksek olduğu görülmektedir. 0.2/0.2 dış/ iç ekstrüder besleme oranında üretilen bikomponent ipliklerin katkı oranına bağlı % kopma uzaması değişimi incelendiğinde 2.2RY(B) kodlu referans ipliğin %437,25, katkılı ipliklerinse sırasıyla %489,98, %504,11 ve %516,07 uzama değerine sahip olduğu görülmektedir.

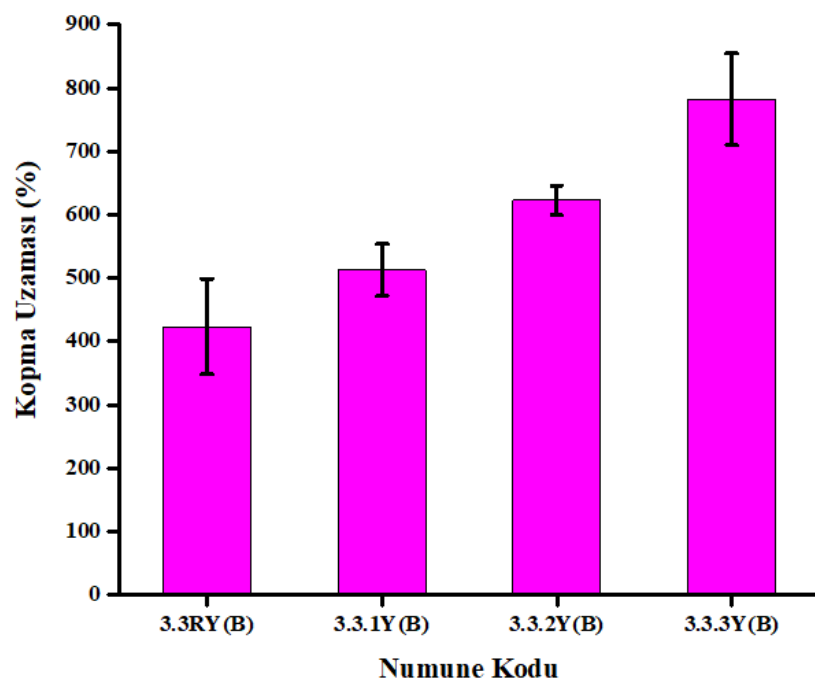


**Şekil 4.44** 0.2/0.2 dış/iç ekstrüder besleme oranında üretilen bikomponent ipliklerin katkı oranına bağlı % kopma uzaması değişimi

0.4/0.2 dış/iç ekstrüder besleme oranında üretilen bikomponent ipliklerin katkı oranına bağlı % kopma uzaması değişimi incelendiğinde 4.2RY(B) kodlu referans ipliğin %518,05 katkılı ipliklerinse sırasıyla %607,41, %626,79 ve %632,02 uzama değerine sahip olduğu görülmektedir. 0.3/0.3 dış/iç ekstrüder besleme oranında üretilen bikomponent ipliklerin katkı oranına bağlı % kopma uzaması değişimi incelendiğinde 3.3RY(B) kodlu referans ipliğin %423,35 katkılı ipliklerinse sırasıyla %512,51, %622,63 ve %782,23 uzama değerine sahip olduğu görülmektedir.

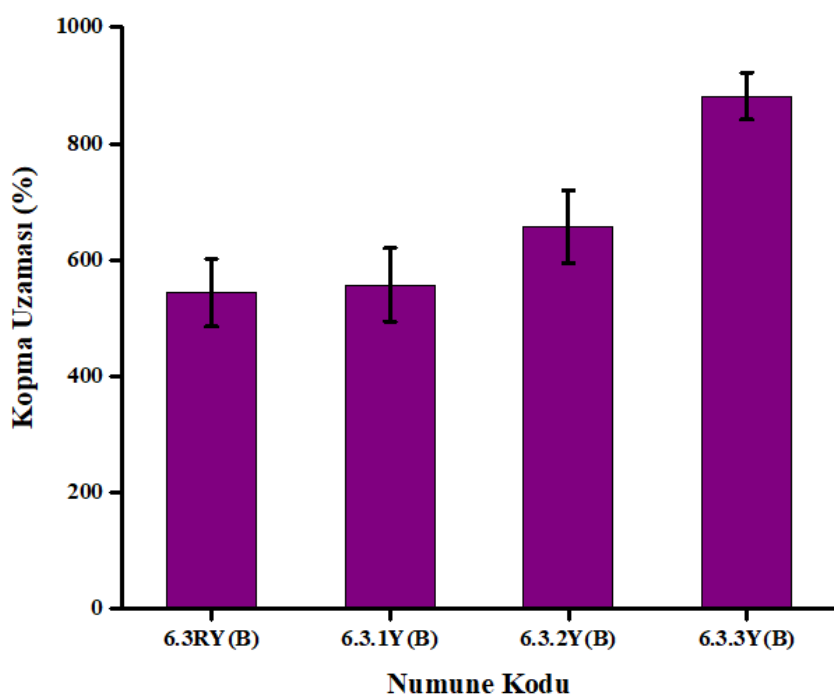


**Şekil 4.45.** 0.4/0.2 dış/ iç ekstrüder besleme oranında üretilen bicomponent ipliklerin katkı oranına bağlı % kopma uzaması değişimi

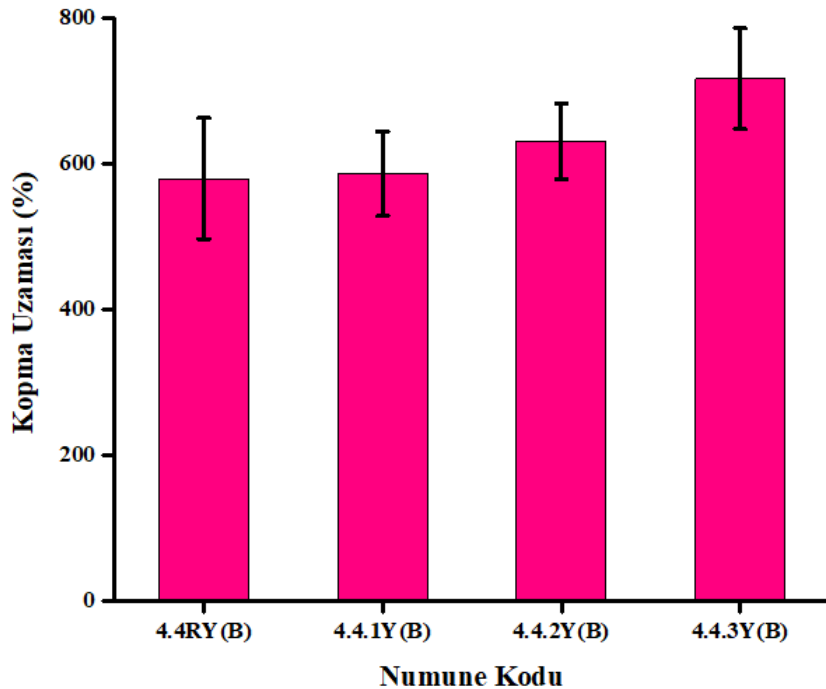


**Şekil 4.46.** 0.3/0.3 dış/ iç ekstrüder besleme oranında üretilen bicomponent ipliklerin katkı oranına bağlı % kopma uzaması değişimi

0.6/0.3 dış/İç ekstrüder besleme oranında üretilen bikomponent ipliklerin katkı oranına bağlı % kopma uzaması değişimi incelendiğinde 6.3RY(B) kodlu referans ipliğin %543,35 katkılı ipliklerinse sırasıyla %557, %657,15 ve %881,52 uzama değerine sahip olduğu görülmektedir. 0.4/0.4 dış/İç ekstrüder besleme oranında üretilen bikomponent ipliklerin katkı oranına bağlı % kopma uzaması değişimi incelendiğinde 4.4RY(B) kodlu referans ipliğin %580,2 katkılı ipliklerinse sırasıyla %586,79, 631,59 ve %717,5 uzama değerine sahip olduğu görülmektedir.



**Şekil 4.47.** 0.6/0.3 dış/İç ekstrüder besleme oranında üretilen bikomponent ipliklerin katkı oranına bağlı % kopma uzaması değişimi



**Şekil 4.48.** 0.4/0.4 dış/İç ekstrüder besleme oranında üretilen bicomponent ipliklerin katkı oranına bağlı % kopma uzaması değişimi

**Çizelge 4.6.** Metot B ile üretilen bicomponent ipliklerin mukavemet ve uzama sonuçları için istatistiksel analiz (ANOVA ve SNK) sonuçları

Parametre		Mukavemet (cN/dtex)		Uzama (%)	
Katkı Oranı	0	0,00*	1,20 c	0,00*	500 a
	1		0,85 b		550 b
	2		0,79 b		608 c
	3		0,66 a		705 d
Besleme Oranı	0.2-0.2	0,14*	0,82 a	0,00*	486 a
	0.4-0.2		0,89 a		596 b
	0.3-0.3		0,91 a		585 b
	0.6-0.3		0,88 a		659 c
	0.4-0.4		0,85 a		628 bc
Katkı Oranı * Besleme Oranı		0,00*		0,00*	

(a), (b) ve (c) SNK testine göre istatistiksel farklılıklarını göstermektedir.

\*%5 anlamlılık seviyesi

İplik mukavemet ve uzama değerlerine katkı oranının, besleme oranının ve kesişimlerinin etkisi ANOVA ve SNK testleri ile de değerlendirildiğinde 0,05 anlamlılık seviyesinde

hem katkı oranının, besleme oranının ve kesişimlerinin de mukavemet ve uzama üzerine etkisi olduğu istatiksel olarak da ispatlanmıştır. Çizelge 3.5'te mukavemet ve uzama değişkenleri için verilen alternatif hipotezler kabul edilmiştir.

Metot A ve Metot B ile üretilen referans ve köpük polimer katkılı bikomponent ipliklerin mukavemet ve uzama sonuçları değerlendirildiğinde Metot B ile üretilen ipliklerin mukavemet değerleri daha yüksek fakat mukavemete bağlı standart sapma değerlerinin de yüksek olduğu görülmektedir. Aynı şekilde % uzama değerleri ve buna bağlı standart sapma değerleri Metot A ile üretilen bikomponent ipliklere göre oldukça yüksektir. Metot A ile üretilen bikomponent iplikler daha düşük mukavemete sahip ancak mukavemet değerlerindeki varyasyon oldukça düşüktür. Ayrıca bu yöntem ile üretilen bikomponent ipliklerde % uzama değerleri de diğerine kıyasla çok düşüktür. Uzama değerlerindeki varyasyon da diğer iplik grubuna kıyasla çok daha azdır. Metot A ile üretilen bikomponent ipliklerin mukavemet ve uzama sonuçlarının daha stabil olduğu görülmektedir. Mukavemet değerlerindeki azalma da Metot B ile üretilen ipliklerde daha yüksektir.

Köpük polimer katkısıyla birlikte mukavemet değerlerindeki azalma birkaç sebeple açıklanabilir. Literatürde katkılı bikomponent ipliklerle ilgili bazı çalışmalar (Celen ve Ulcay, 2019; Lund ve Hagström, 2011; Hu, Chang ve Liang; 2018) bu çalışmaya benzer şekilde katkı ilavesiyle birlikte mukavemetin azaldığı belirtilmiştir. Köpük polimerin ısıyla genleşmesinden dolayı, köpük polimer ve polipropilen polimeri arasındaki düşük etkileşim nedeniyle mukavemet azalmış olabilir. Bikomponent lif üretiminde iki polimerin birbiri ile etkileşiminin yüksek olması gereklidir ki iyi fiziksel ve mekanik özellikler elde edilebilsin. Hu, Chang ve Liang (2018) çalışmalarında bikomponent liflerin mekanik özelliklerini geliştirmek için iki polimer arasında güçlü bir etkileşimin olması gerektiğini belirtmiştir.

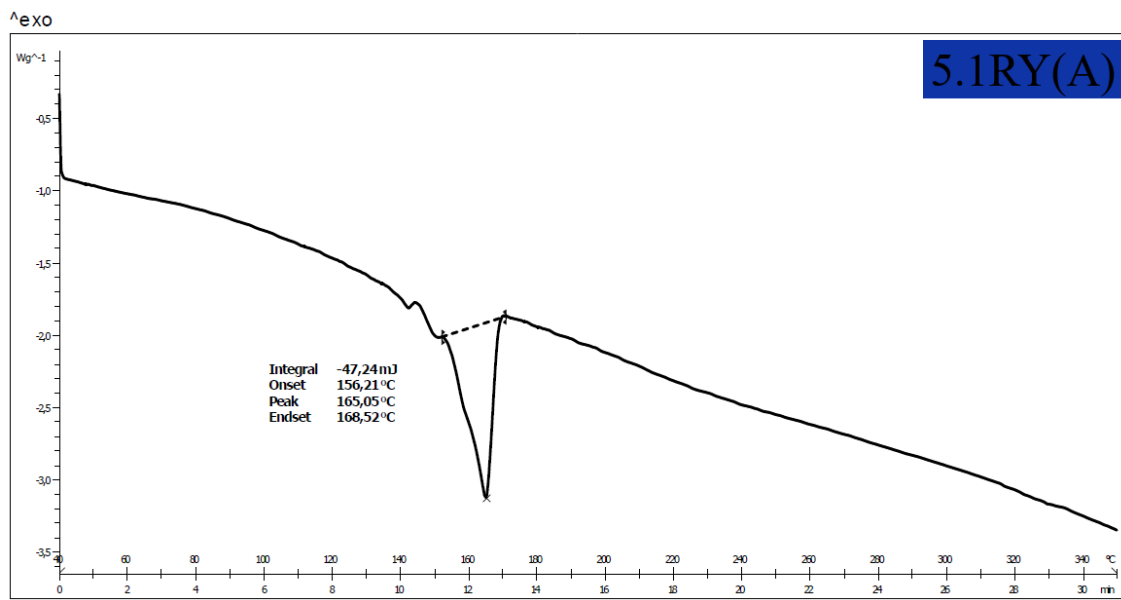
Mukavemet değerlerini etkileyebilecek faktörlerden biri de çekim oranıdır. Maqsood ve Seide (2019) çalışmalarında bikomponent liflerin mekanik özelliklerini belirleyen en önemli faktörün çekim oranı olduğunu belirtmiştir. Materyal ve Yöntem bölümünde de daha önce bahsedildiği gibi tez çalışmasında laboratuvar tipi bikomponent iplik üretim

makinası kullanılmıştır ve bu makine ile Spinboy makineler ya da sanayi tipi üretim makinelerindeki gibi bir çekim hızına çıkılamamaktadır. Bu nedenle referans bikomponent ipliklerde dahi zaten yüksek mukavemet değerleri elde edilememiştir. Metot B ile üretilen bikomponent ipliklerdeki mukavemetin biraz daha yüksek olmasının az da olsa daha yüksek çekim hızı uygulanmasıyla ilişkili olduğu düşünülmektedir.

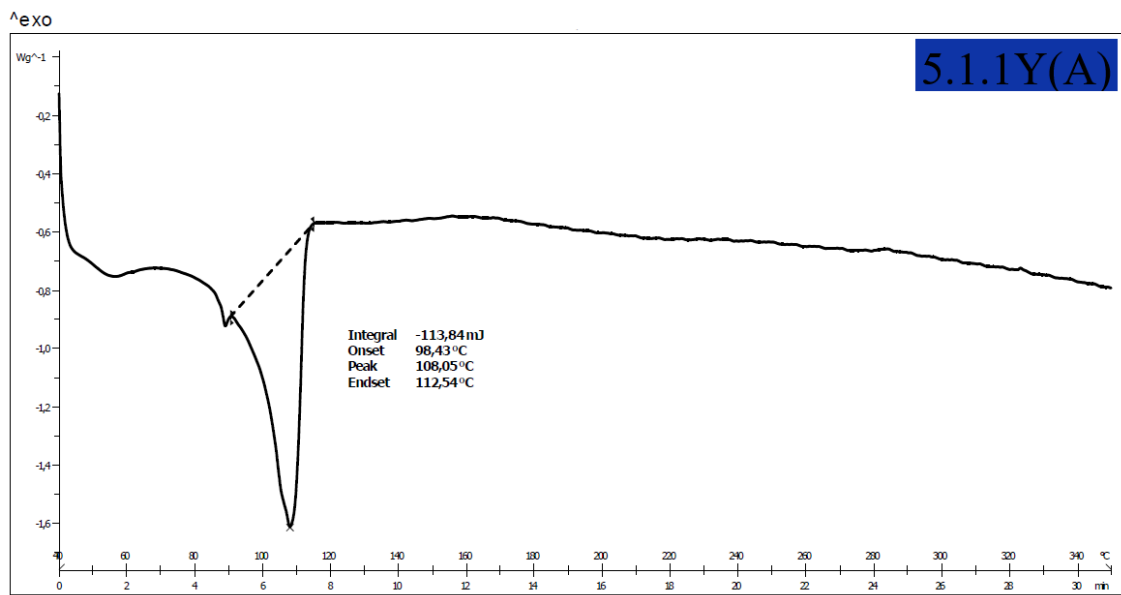
Mukavemet özelliklerini etkileyebilecek en önemli parametrelerden biri de oryantasyondur (Yıldırım ve Ulcay, 2014). Bikomponent lif üretiminde de soğutma oranı her bir komponentin oryantasyonunu belirleyen önemli bir parametredir (Dasdemir, Maze, Anantharamaiah ve Pourdeyhimi, 2012). Çalışmada kullanılan üretim makinesinde soğutma parametrelerine müdahale edilememektedir. Soğutma havası ve sıcaklığı sabit olduğundan etkili ve hızlı bir soğutma işlemi elde edilememektedir ve bu nedenle de ipliklerin yeterince oryante olamadığı düşünülmektedir. Yetersiz oryantasyon da mukavemet özelliklerini negatif etkilemektedir.

#### **4.6. Bikomponent İpliklerin DSC Analiz Sonuçları**

5/1 dış/İç ekstrüder besleme oranında üretilen bikomponent ipliklerin DSC eğrisi sırasıyla Şekil 4.49, 4.50, 4.51 ve 4.52'de sunulmuştur. 5.1RY(A) kodlu referans bikomponent ipliklerin erime piki beklenildiği gibi 165°C' de görülmüştür. %1 köpük polimer katkısıyla birlikte bikomponent ipliklerin erime piki 110°C civarında görülmüştür. Artan katkı oranı ilavesiyle birlikte erime pik sıcaklıklarında herhangi bir değişim gözlenmemiştir.



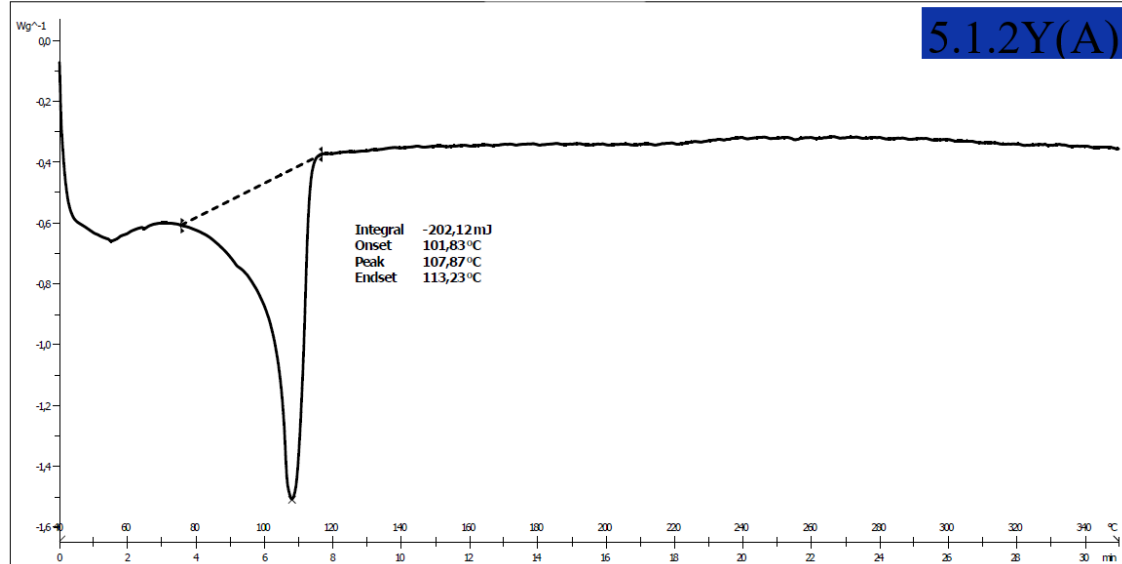
**Şekil 4.49.** 5/1 dış/ iç ekstrüder besleme oranında üretilen referans bicomponent ipliklerin DSC eğrisi



**Şekil 4.50.** 5/1 dış/ iç ekstrüder besleme oranında üretilen %1 katkılı bicomponent ipliklerin DSC eğrisi

<sup>exo</sup>

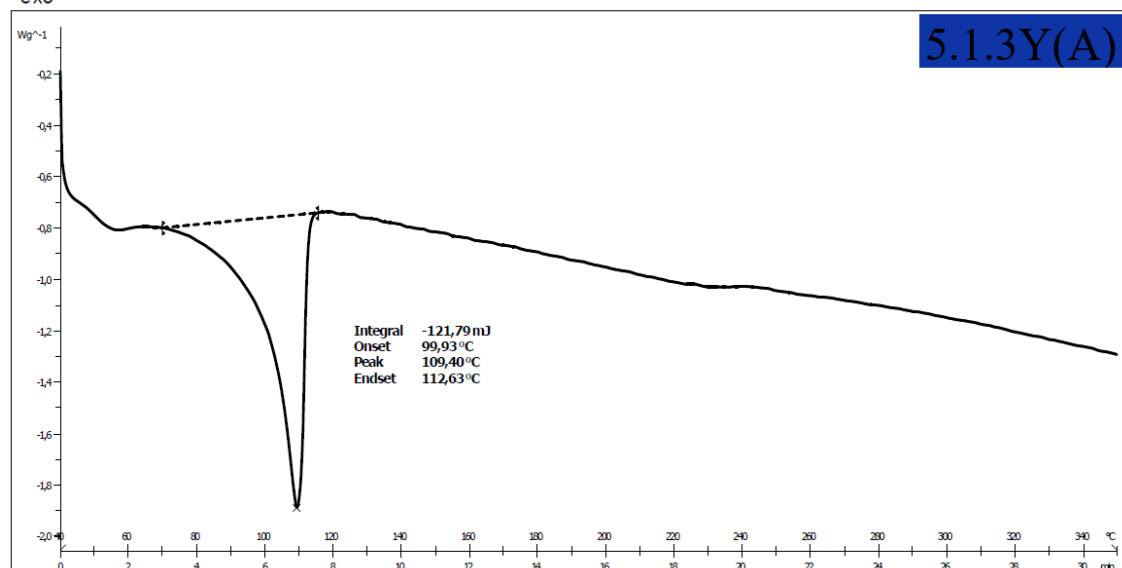
5.1.2Y(A)



**Şekil 4.51.** 5/1 dış/ iç ekstrüder besleme oranında üretilen %2 katkılı bikomponent ipliklerin DSC eğrisi

<sup>exo</sup>

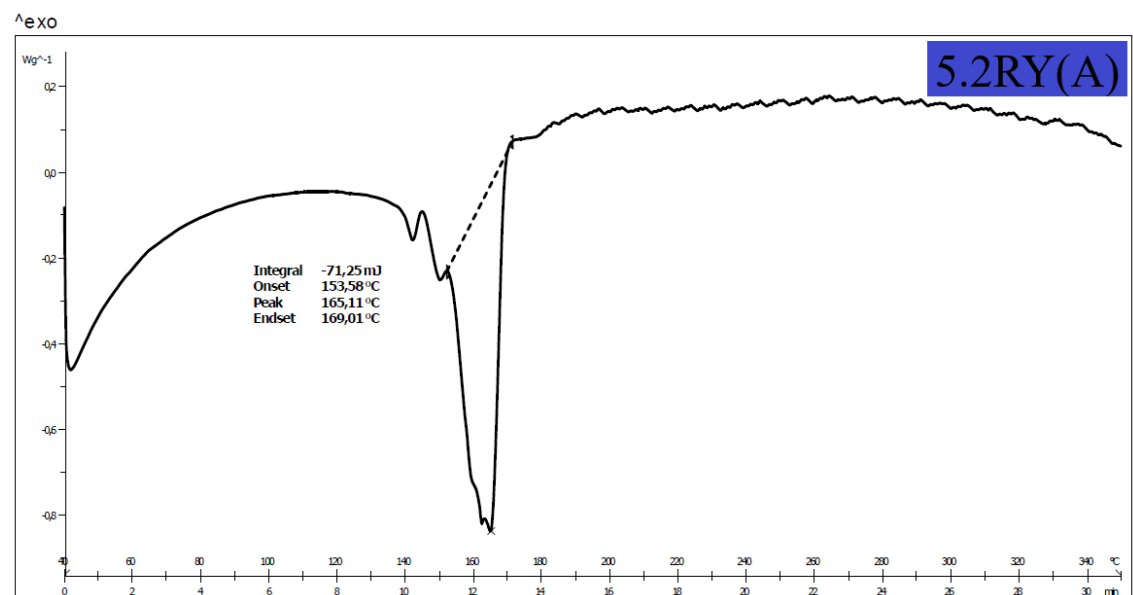
5.1.3Y(A)



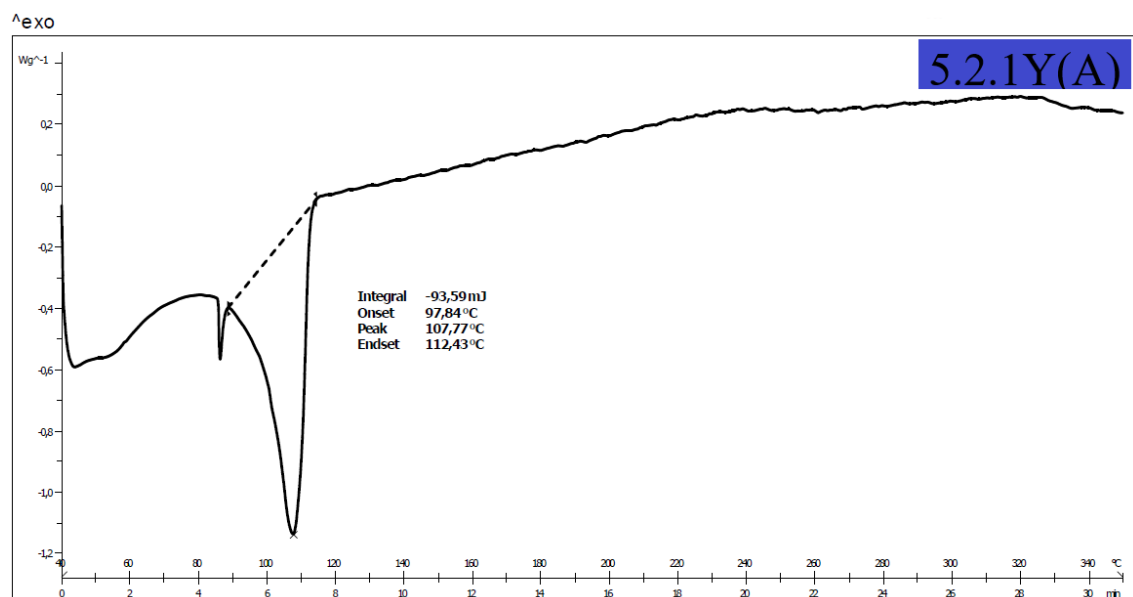
**Şekil 4.52.** 5/1 dış/ iç ekstrüder besleme oranında üretilen %3 katkılı bikomponent ipliklerin DSC eğrisi

5/2 dış/ iç ekstrüder besleme oranında üretilen bikomponent ipliklerin DSC eğrisi sırasıyla Şekil 4.53, 4.54, 4.55 ve 4.56'da sunulmuştur. 5.2RY(A) kodlu referans bikomponent ipliklerin erime piki beklenildiği gibi  $165^{\circ}\text{C}$ ' de görülmüştür. %1 köpük polimer katkısıyla birlikte bikomponent ipliklerin erime piki  $110^{\circ}\text{C}$  civarında görülmüştür. Artan

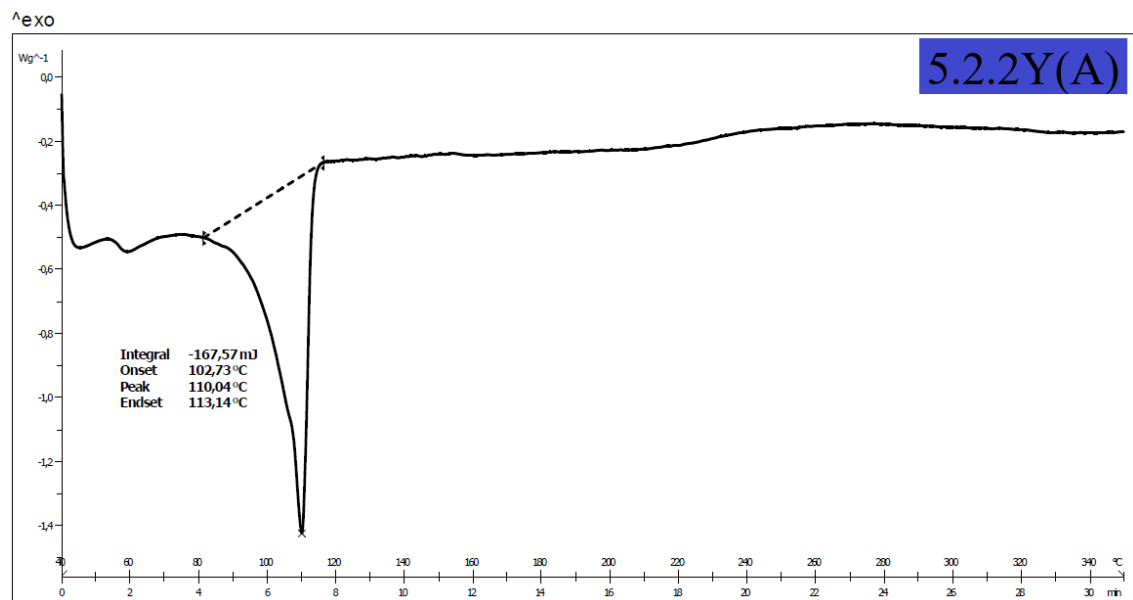
katkı oranı ilavesiyle birlikte erime pik sıcaklıklarında herhangi bir değişim gözlenmemiştir.



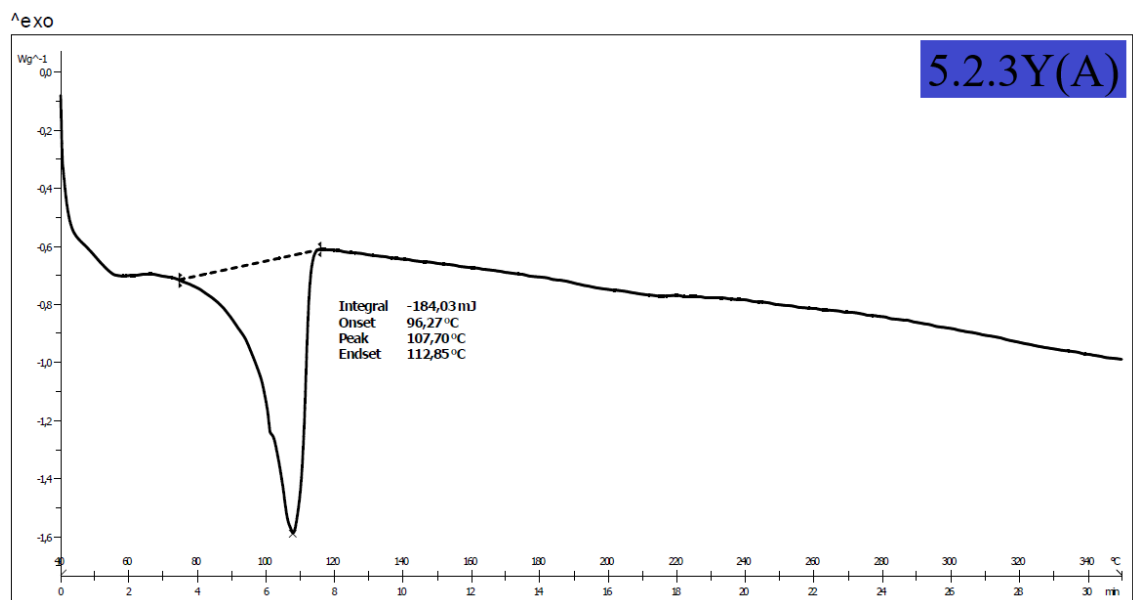
**Şekil 4.53.** 5/2 dış/ iç ekstrüder besleme oranında üretilen referans bicomponent ipliklerin DSC eğrisi



**Şekil 4.54.** 5/2 dış/ iç ekstrüder besleme oranında üretilen %1 katkılı bicomponent ipliklerin DSC eğrisi



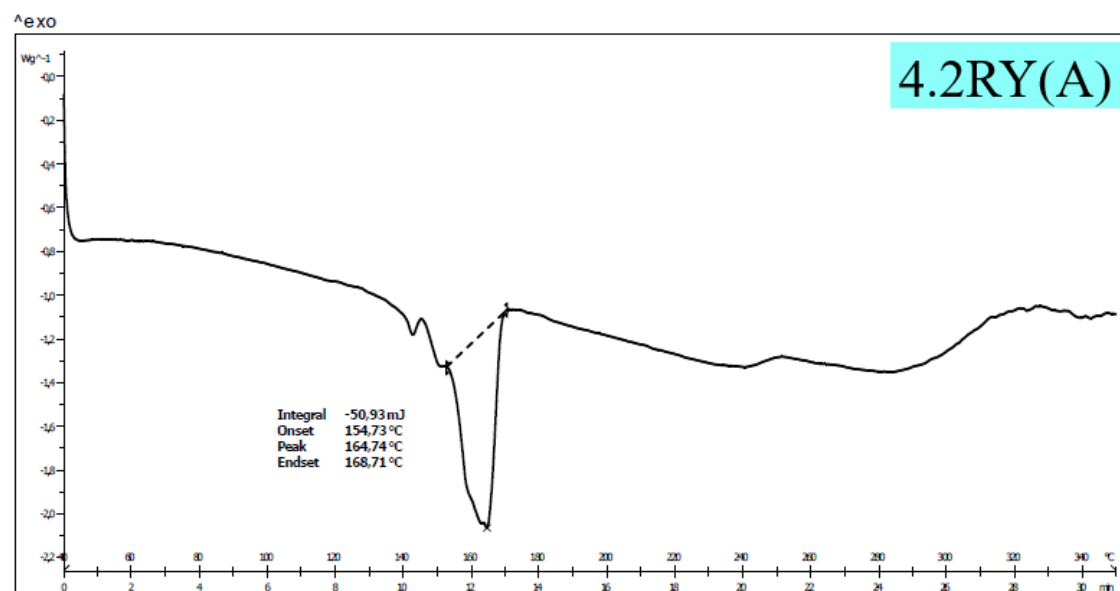
**Şekil 4.55.** 5/2 dış/ iç ekstrüder besleme oranında üretilen %2 katkılı bikomponent ipliklerin DSC eğrisi



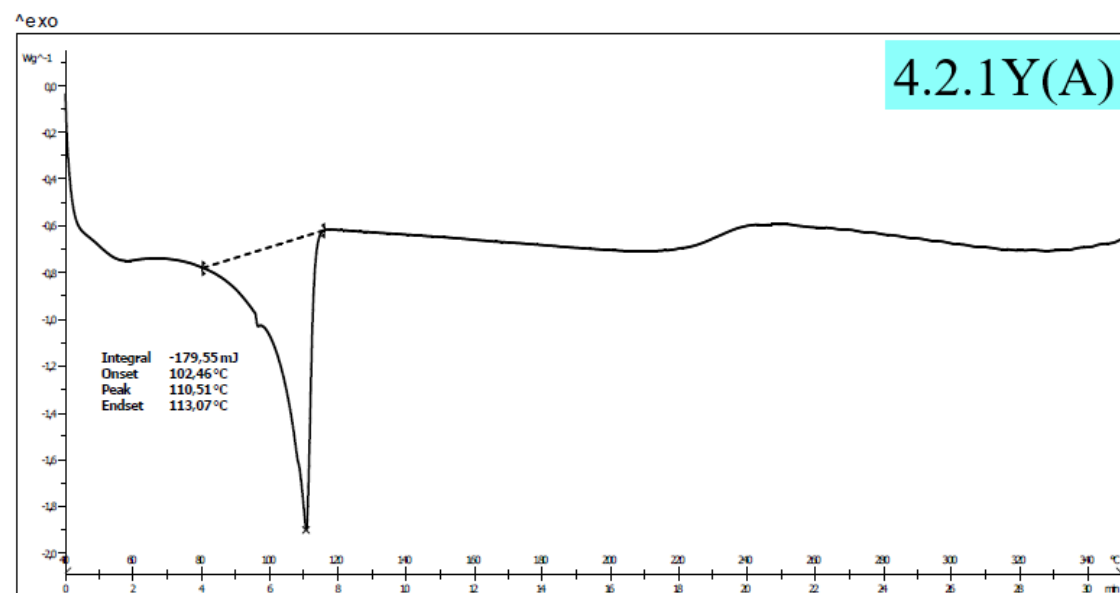
**Şekil 4.56.** 5/2 dış/ iç ekstrüder besleme oranında üretilen %3 katkılı bikomponent ipliklerin DSC eğrisi

4/2 dış/ iç ekstrüder besleme oranında üretilen bikomponent ipliklerin DSC eğrisi sırasıyla Şekil 4.57, 4.58, 4.59 ve 4.60'ta sunulmuştur. 4.2RY(A) kodlu referans bikomponent ipliklerin erime piki beklenildiği gibi 165°C' de görülmüştür. %1 köpük polimer katkısıyla birlikte bikomponent ipliklerin erime piki 110°C civarında görülmüştür. Artan

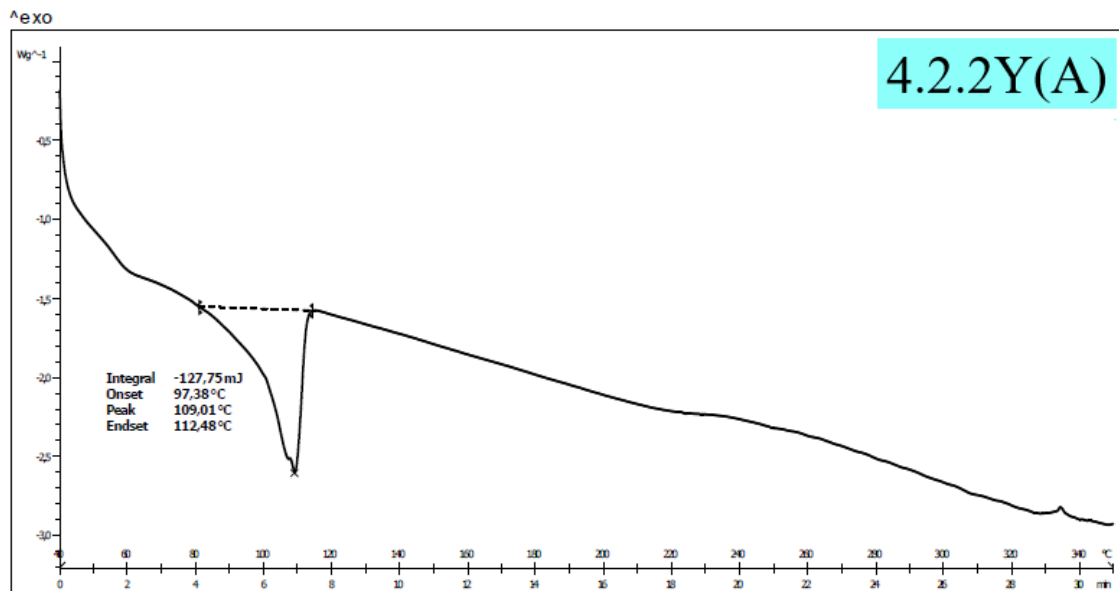
katkı oranı ilavesiyle birlikte erime pik sıcaklıklarında herhangi bir değişim gözlenmemiştir.



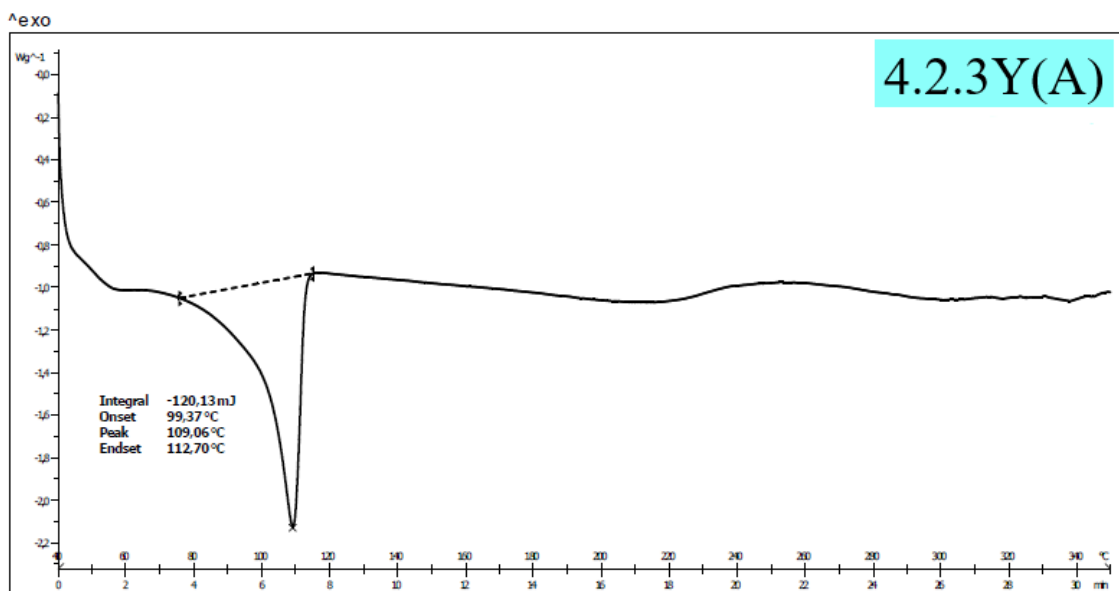
**Şekil 4.57.** 4/2 dış/ iç ekstrüder besleme oranında üretilen referans bicomponent ipliklerin DSC eğrisi



**Şekil 4.58.** 4/2 dış/ iç ekstrüder besleme oranında üretilen %1 katkılı bicomponent ipliklerin DSC eğrisi



**Şekil 4.59.** 4/2 dış/ iç ekstrüder besleme oranında üretilen %2 katkılı bicomponent ipliklerin DSC eğrisi



**Şekil 4.60.** 4/2 dış/ iç ekstrüder besleme oranında üretilen %3 katkılı bicomponent ipliklerin DSC eğrisi

Üç farklı ekstrüder hız oranlarında üretilen bicomponent ipliklerin her birinde benzer DSC eğrileri elde edilmiştir. PP/PP iç/dış bicomponent referans iplikler, aynı polimerin birbirine yüksek adezyonu ve uyumundan dolayı monofilament PP ipliği gibi davranışmış ve tek bir noktada, 160-170 °C aralığında erime piki göstermiştir. Köpük polimer katkısıyla birlikte erime sıcaklığı yaklaşık 55 °C kadar düşüş göstermiştir. Fakat artan

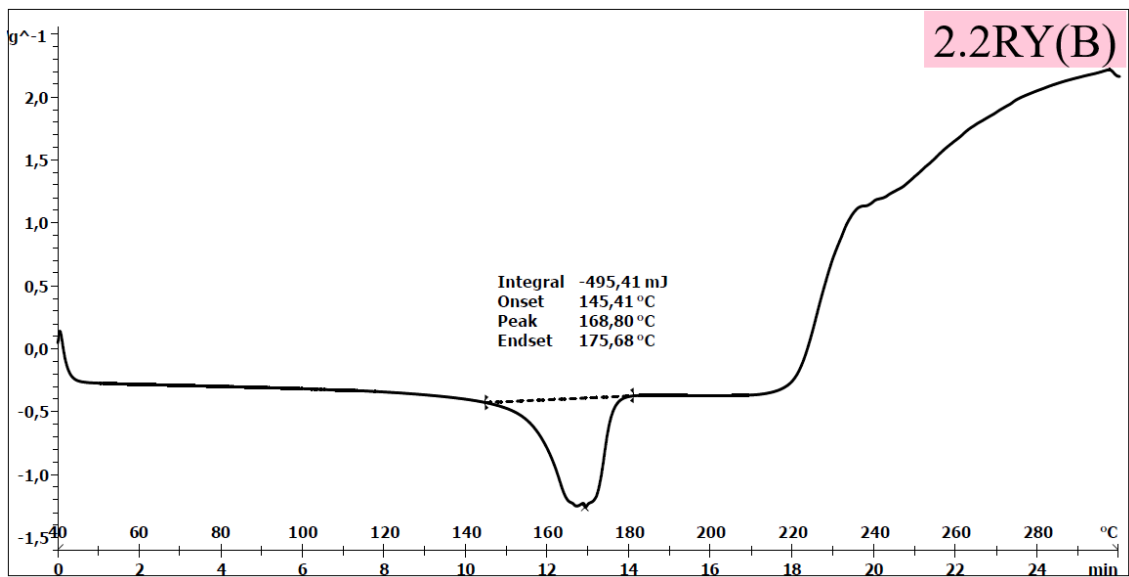
katkı oranıyla birlikte azalma olmamış, katkılı bikomponent iplikler neredeyse aynı noktada erime piki göstermiştir. Erime sıcaklığını etkileyen faktörlerin başında moleküller arası bağ kuvvetleri gelmektedir. Ayrıca yapıda bulunan yabancı maddeler de erime sıcaklığını azaltmaktadır (Hockenberger, 2004). Köpük polimer katkısı ve sıcaklıkla beraber köpük polimerin genleşmesi nedeniyle iç ve dış polimer arası etkileşimin azaldığı ve buna bağlı olarak da bağ kuvvetlerinin zayıfladığı sonucuna varılmıştır. Bu durum da erime sıcaklıklarını düşürmüştür.

Çizelge 4.7'de Metot A ile üretilen bikomponent ipliklerin DSC eğrilerinden elde edilen ve Eşitlik (1)'e göre hesaplanan kristalizasyon oranları sunulmuştur. Referans numunelere göre erime sıcaklıklarındaki azalmaya karşı kristalizasyon oranlarında artış görülmektedir. Kristalizasyon oranları; 5/1 dış/İç ekstrüder besleme oranında üretilen katkılı ipliklerde referans ipliği göre sırasıyla, %0,6, %11,5 ve %12, 5/2 dış/İç ekstrüder besleme oranında üretilen katkılı ipliklerde referans ipliği göre sırasıyla, %8, %10,9 ve %15,6, 4/2 dış/İç ekstrüder besleme oranında üretilen katkılı ipliklerde referans ipliği göre sırasıyla, %12,3, %10,86 ve %15,1artmıştır. Köpük polimer katkısı bikomponent ipliklerin kristalleşme davranışını olumsuz etkilememiş aksine iyileştirmiştir.

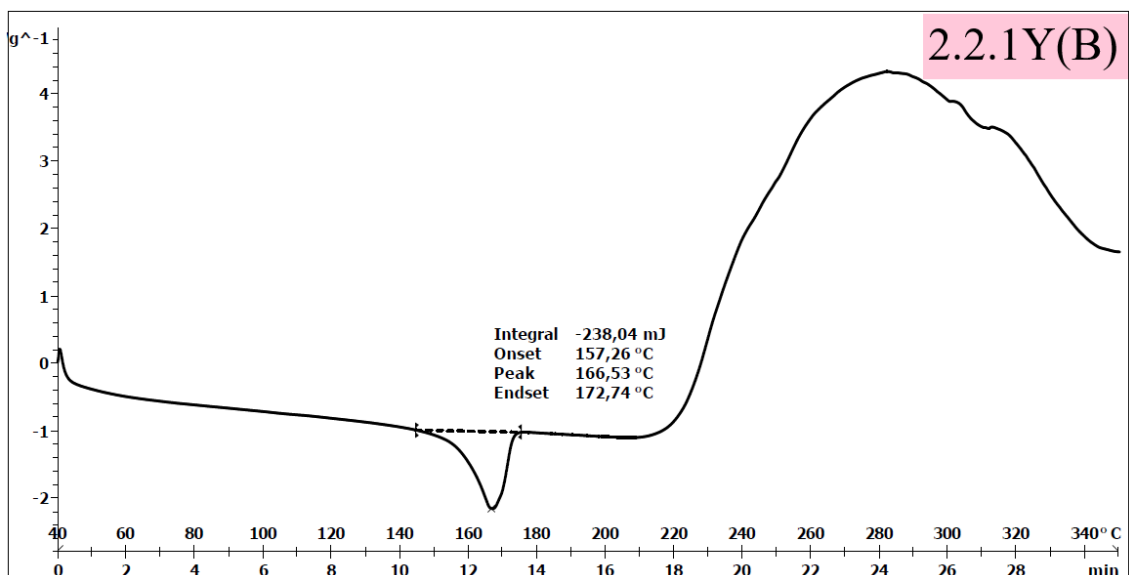
**Çizelge 4.7.** Metot A ile üretilen bikomponent ipliklerin DSC eğrilerinden elde edilen sonuçlar

Numune Kodu	Başlangıç Sıcaklığı (°C)	Bitiş Sıcaklığı (°C)	Erime Sıcaklığı (°C)	Kristalizasyon Oranı (%)
5.1RY(A)	156,21	168,52	165,05	27,16
5.1.1Y(A)	98,43	112,54	108,05	27,76
5.1.2Y(A)	101,83	113,23	107,87	38,73
5.1.3Y(A)	99,93	112,63	109,40	39,20
5.2RY(A)	153,58	169,01	165,11	22,63
5.2.1Y(A)	97,84	112,43	107,77	30,74
5.2.2Y(A)	102,73	113,14	110,04	33,57
5.2.3Y(A)	96,27	112,85	107,70	38,30
4.2RY(A)	154,73	168,71	164,74	24,59
4.2.1Y(A)	102,46	113,07	110,51	36,89
4.2.2Y(A)	97,38	112,48	109,01	35,45
4.2.3Y(A)	99,37	112,70	109,06	39,73

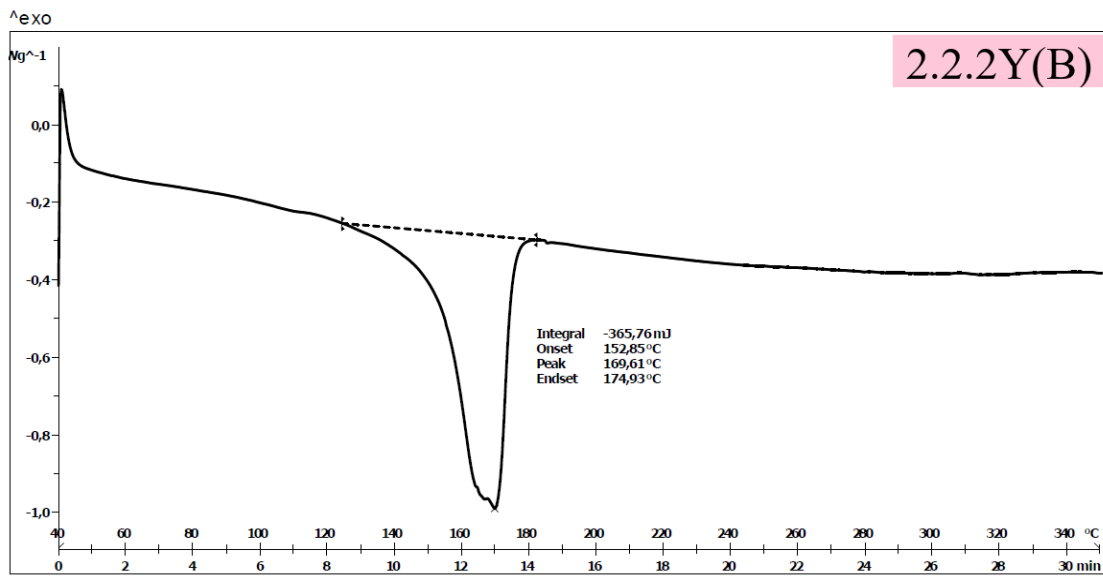
0.2/0.2 dış/İç ekstrüder besleme oranında üretilen bikomponent ipliklerin DSC eğrisi sırasıyla Şekil 4.61, 4.62, 4.63 ve 4.64'te sunulmuştur. 2.2RY(B) kodlu referans bikomponent ipliklerin erime piki beklenildiği gibi  $168^{\circ}\text{C}$ ' de görülmüştür. %1 köpük polimer katkısıyla birlikte bikomponent ipliklerin erime piki  $166^{\circ}\text{C}$  civarında görülmüştür. %2 ve %3 katkılı ipliklerin erime sıcaklıkları sırasıyla  $169$  ve  $163^{\circ}\text{C}$ 'dir.



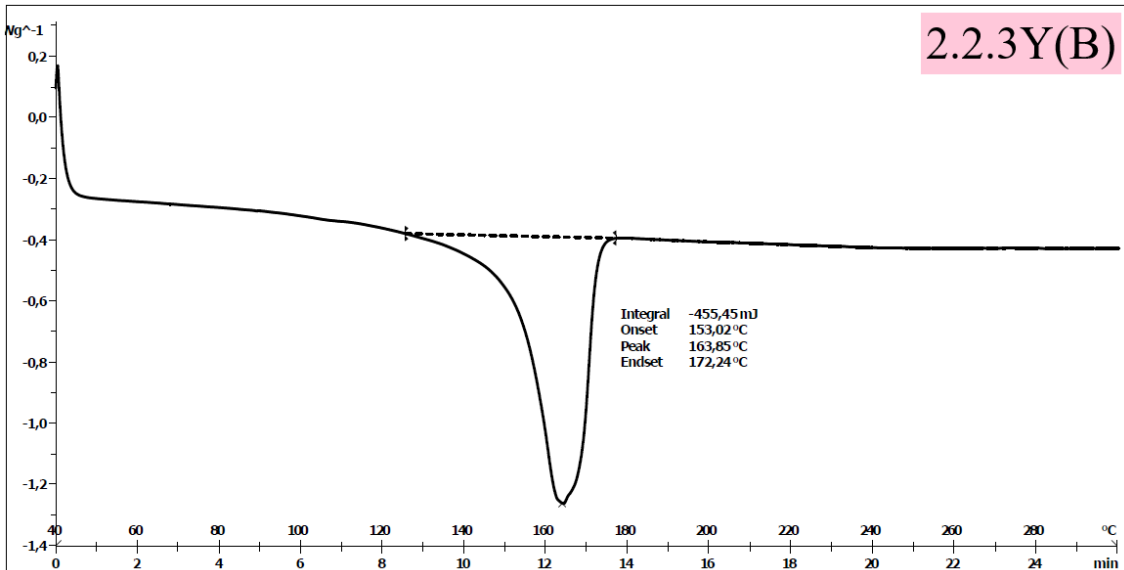
**Şekil 4.61.** 0.2/0.2 dış/İç ekstrüder besleme oranında üretilen referans bikomponent ipliklerin DSC eğrisi



**Şekil 4.62.** 0.2/0.2 dış/İç ekstrüder besleme oranında üretilen %1 katkılı bikomponent ipliklerin DSC eğrisi

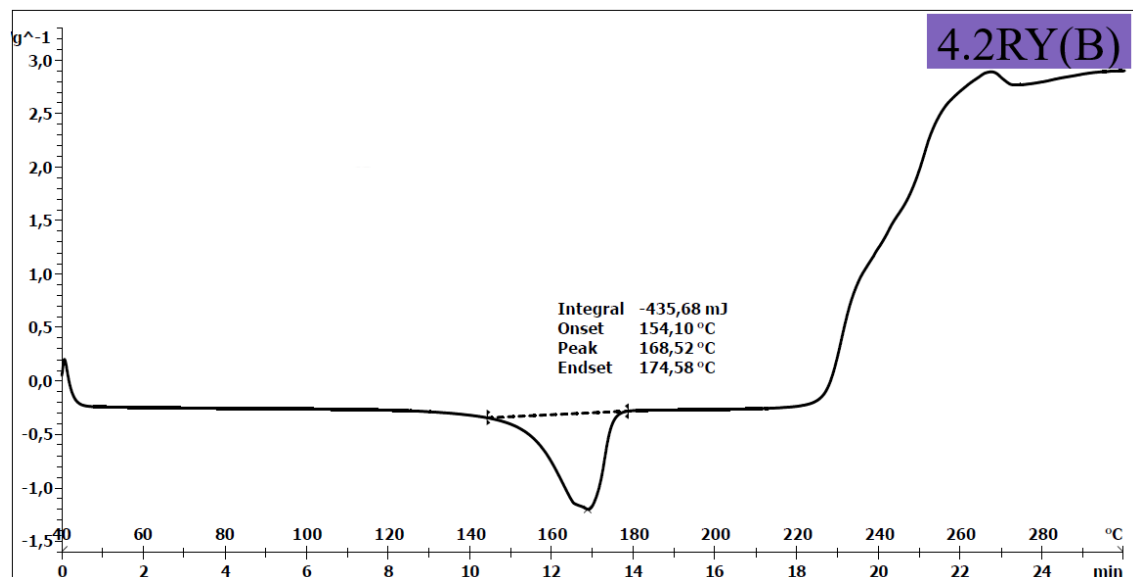


**Şekil 4.63.** 0.2/0.2 dış/ iç ekstrüder besleme oranında üretilen %2 katkılı bicomponent ipliklerin DSC eğrisi

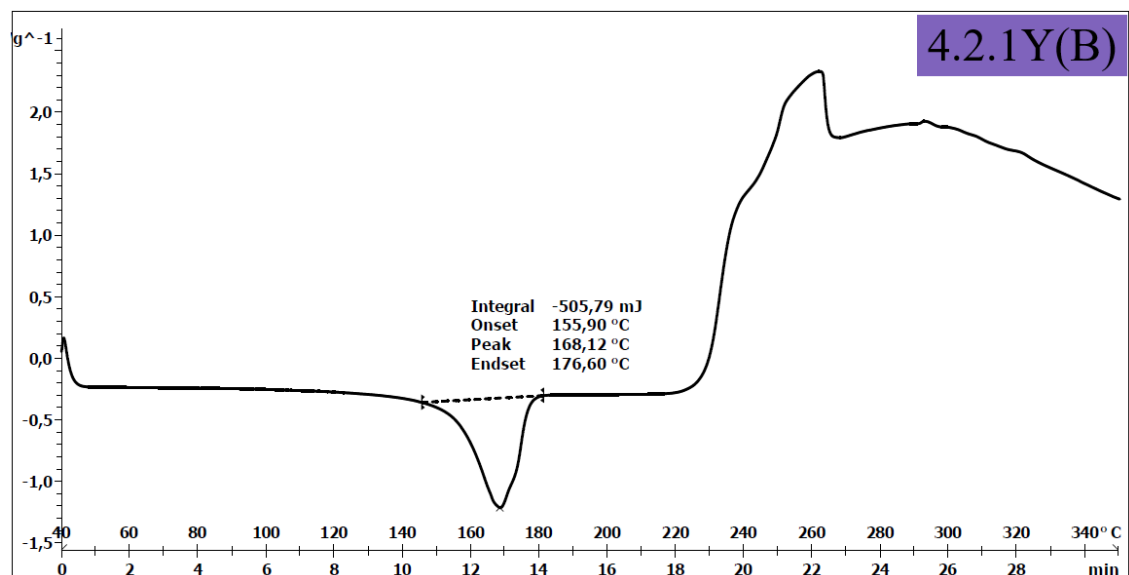


**Şekil 4.64.** 0.2/0.2 dış/ iç ekstrüder besleme oranında üretilen %3 katkılı bicomponent ipliklerin DSC eğrisi

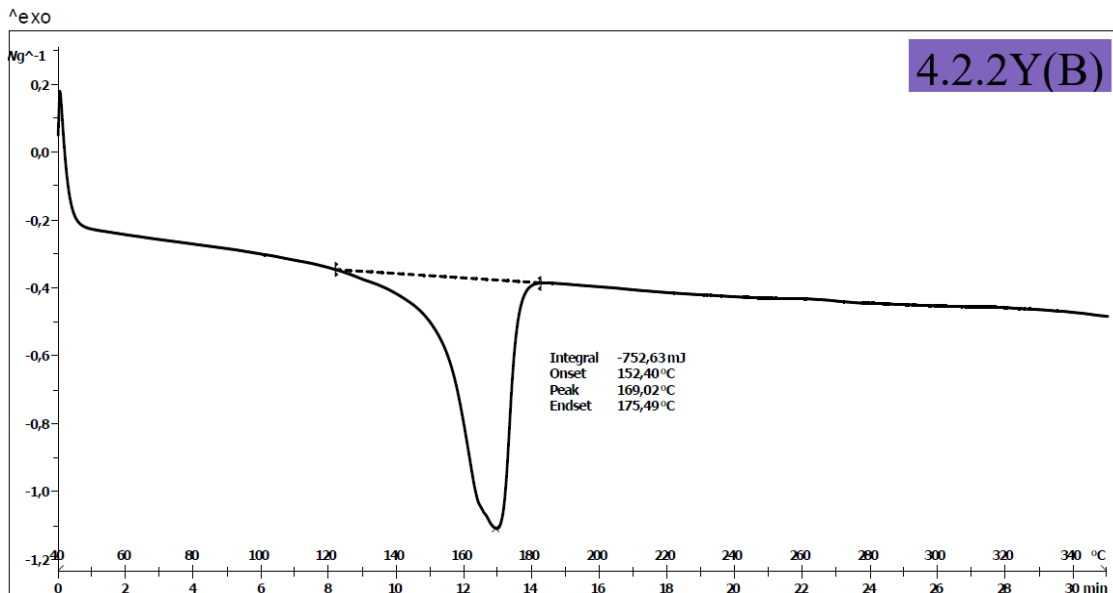
0.4/0.2 dış/ iç ekstrüder besleme oranında üretilen bicomponent ipliklerin DSC eğrisi sırasıyla Şekil 4.65, 4.66, 4.67 ve 4.68'de sunulmuştur. 4.2RY(B) kodlu referans bicomponent ipliklerin erime piki beklenildiği gibi 168°C'de görülmüştür. %1 köpük polimer katkısıyla birlikte bicomponent ipliklerin erime piki 168 °C civarında görülmüştür. %2 ve %3 katkılı ipliklerin erime sıcaklıkları sırasıyla 169 ve 163 °C'dir.



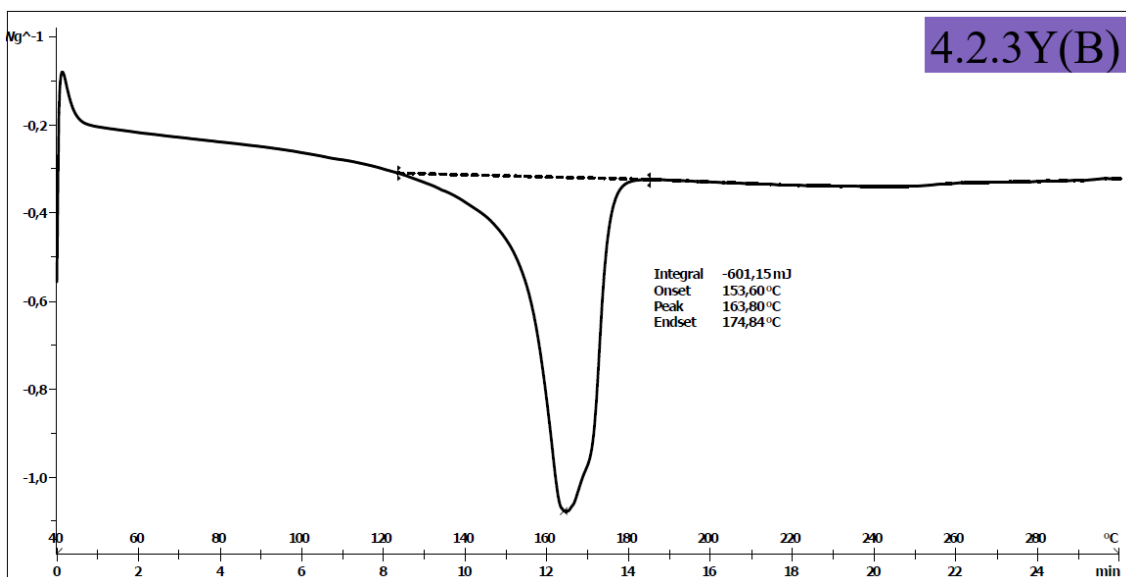
**Şekil 4.65.** 0.4/0.2 dış/ iç ekstrüder besleme oranında üretilen referans bikomponent ipliklerin DSC eğrisi



**Şekil 4.66.** 0.4/0.2 dış/ iç ekstrüder besleme oranında üretilen %1 katkılı bikomponent ipliklerin DSC eğrisi

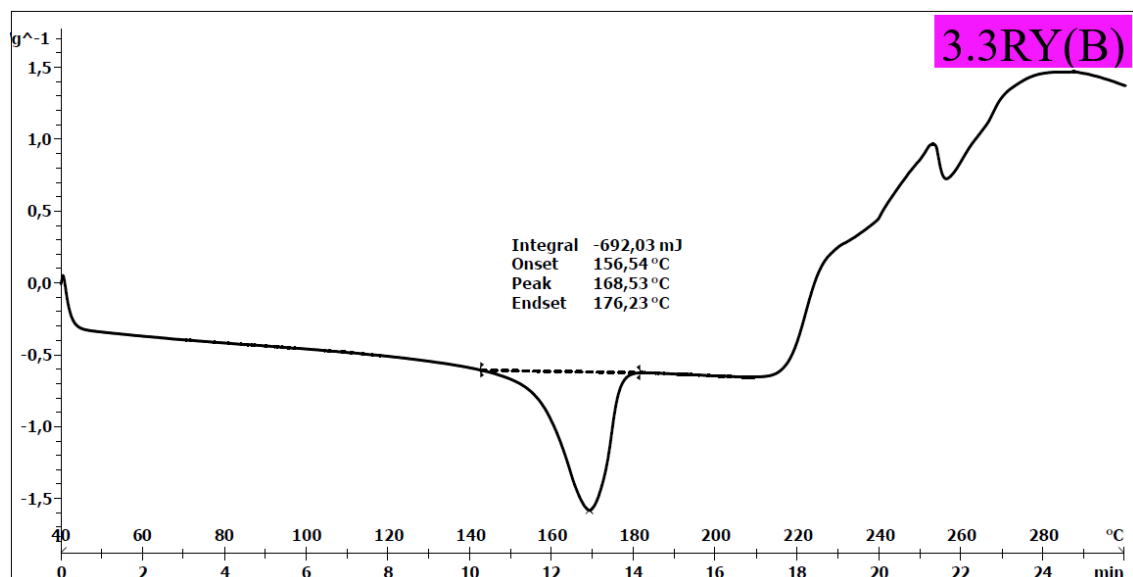


**Şekil 4.67.** 0.4/0.2 dış/İç ekstrüder besleme oranında üretilen %2 katkılı bicomponent ipliklerin DSC eğrisi

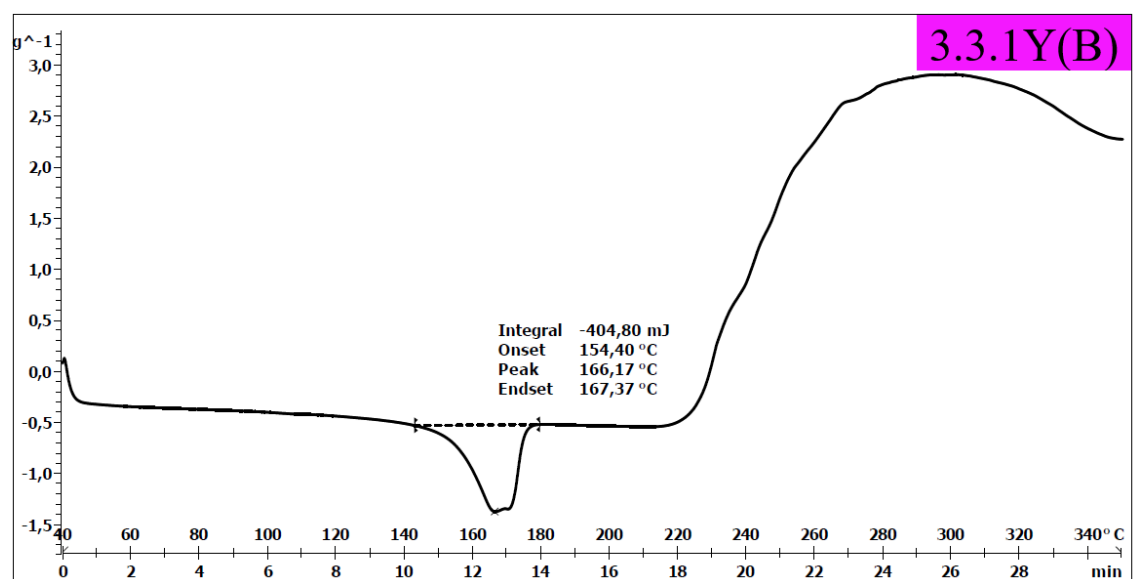


**Şekil 4.68.** 0.4/0.2 dış/İç ekstrüder besleme oranında üretilen %3 katkılı bicomponent ipliklerin DSC eğrisi

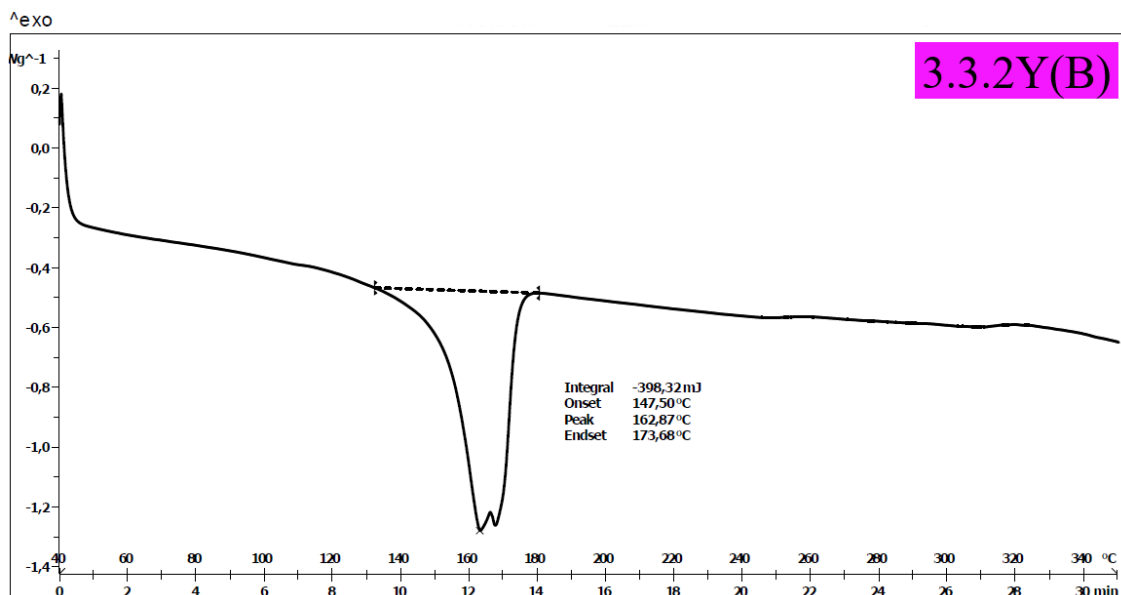
0.3/0.3 dış/İç ekstrüder besleme oranında üretilen bicomponent ipliklerin DSC eğrisi sırasıyla Şekil 4.69, 4.70, 4.71 ve 4.72'de sunulmuştur. 3.3RY(B) kodlu referans bicomponent ipliklerin erime piki beklenildiği gibi 168°C'de görülmüştür. %1 köpük polimer katısıyla birlikte bicomponent ipliklerin erime piki 166 °C civarında görülmüştür. %2 ve %3 katkılı ipliklerin erime sıcaklıkları sırasıyla 162 ve 166 °C'dir.



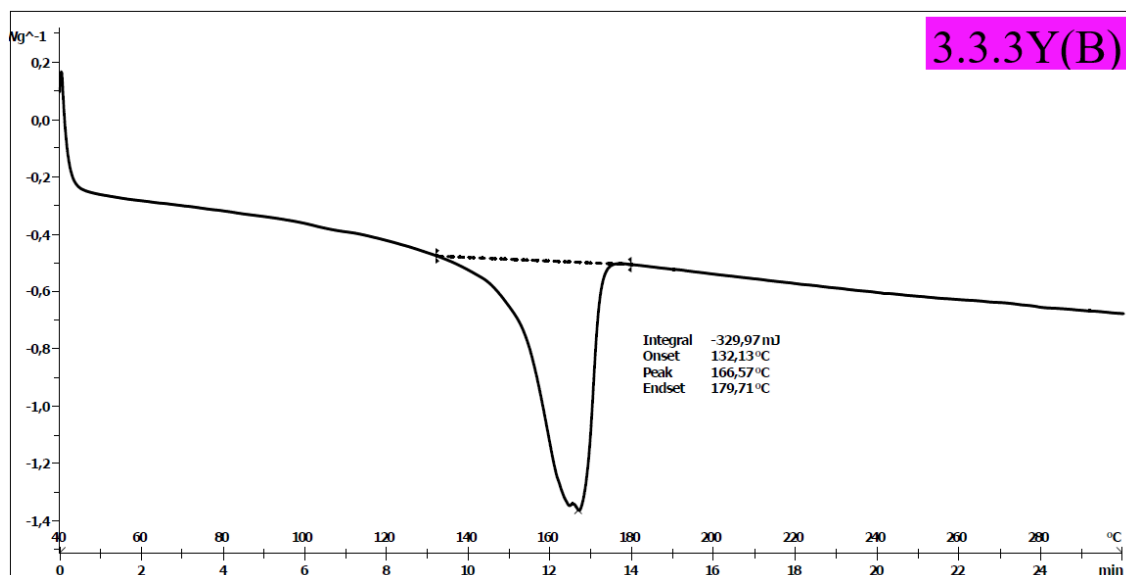
**Şekil 4.69.** 0.3/0.3 dış/İç ekstrüder besleme oranında üretilen referans bicomponent ipliklerin DSC eğrisi



**Şekil 4.70.** 0.3/0.3 dış/İç ekstrüder besleme oranında üretilen %1 katkılı bicomponent ipliklerin DSC eğrisi

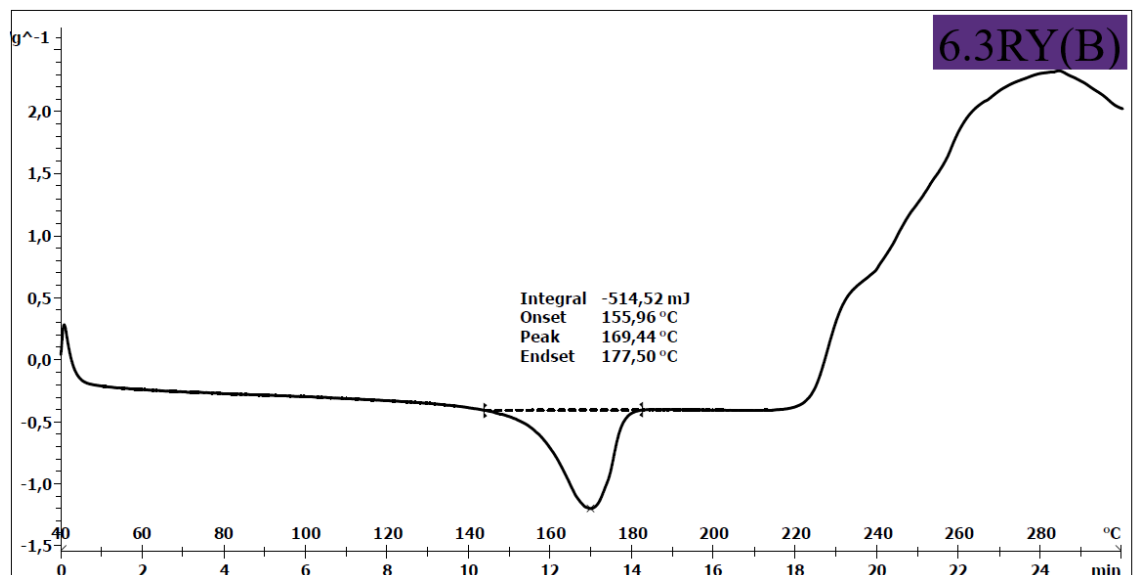


**Şekil 4.71.** 0.3/0.3 dış/İç ekstrüder besleme oranında üretilen %2 katkılı bicomponent ipliklerin DSC eğrisi

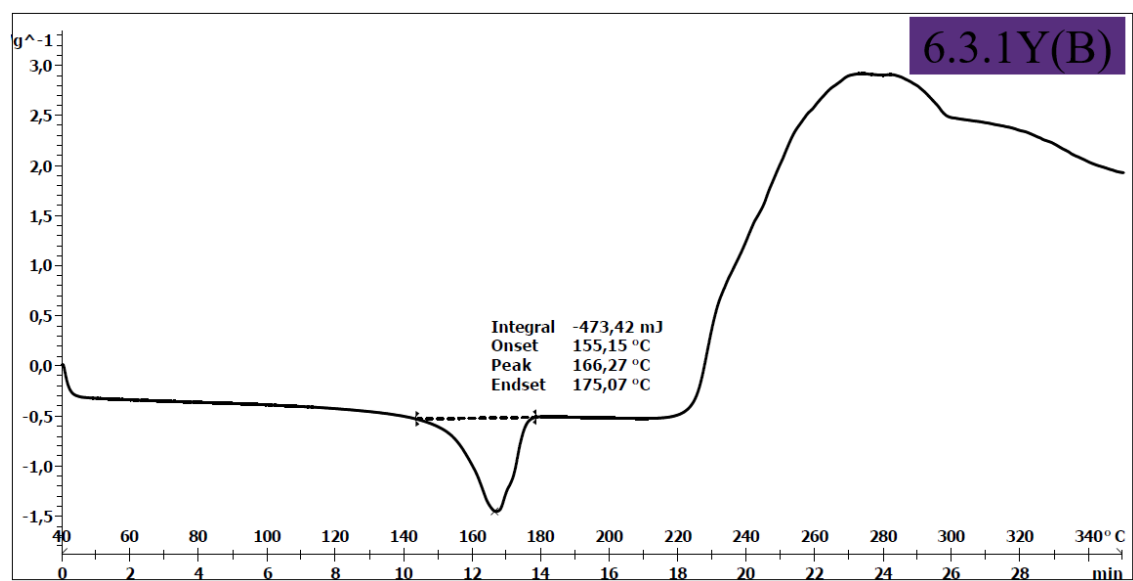


**Şekil 4.72.** 0.3/0.3 dış/İç ekstrüder besleme oranında üretilen %3 katkılı bicomponent ipliklerin DSC eğrisi

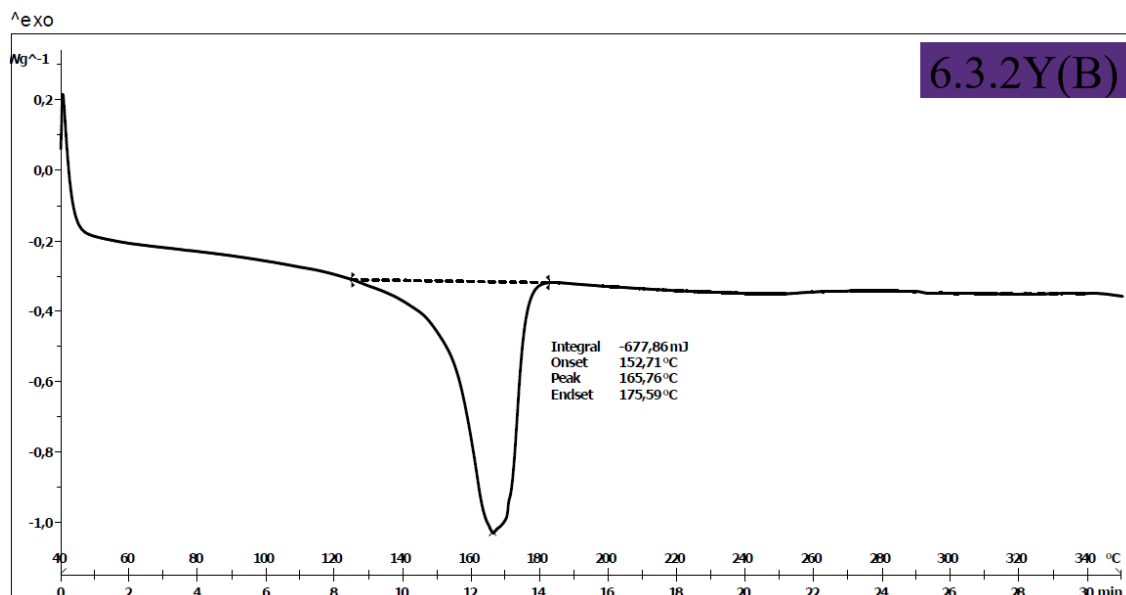
0.6/0.3 dış/İç ekstrüder besleme oranında üretilen bicomponent ipliklerin DSC eğrisi sırasıyla Şekil 4.73, 4.74, 4.75 ve 4.76'da sunulmuştur. 6.3RY(B) kodlu referans bicomponent ipliklerin erime piki beklenildiği gibi 169°C'de görülmüştür. %1 köpük polimer katısıyla birlikte bicomponent ipliklerin erime piki 166 °C civarında görülmüştür. %2 ve %3 katkılı ipliklerin erime sıcaklıkları sırasıyla 165 ve 163 °C'dir.



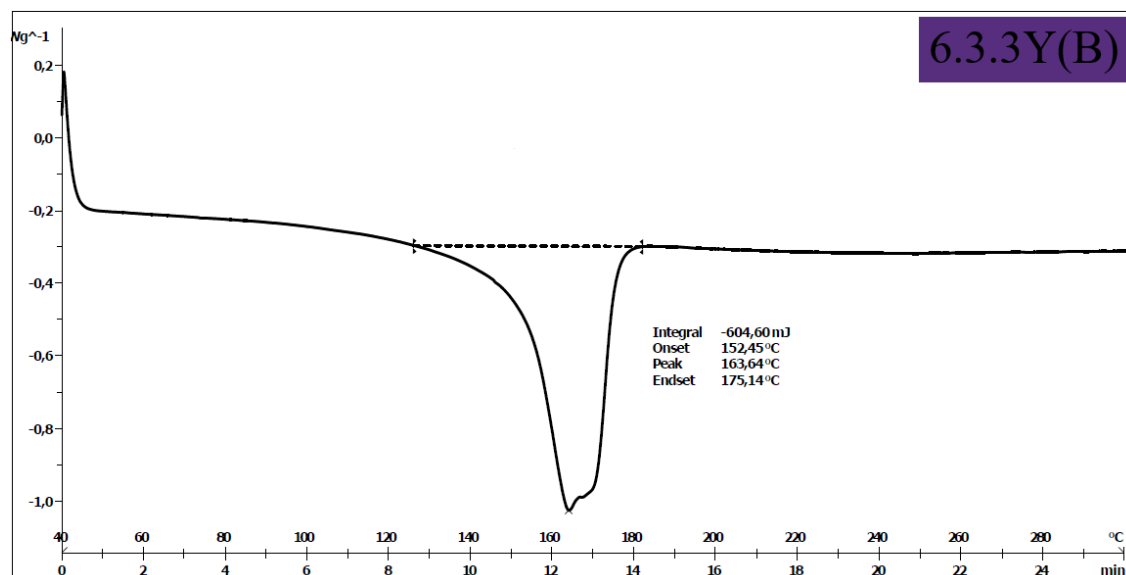
**Şekil 4.73.** 0.6/0.3 dış/ iç ekstrüder besleme oranında üretilen referans bicomponent ipliklerin DSC eğrisi



**Şekil 4.74.** 0.6/0.3 dış/ iç ekstrüder besleme oranında üretilen %1 katkılı bicomponent ipliklerin DSC eğrisi

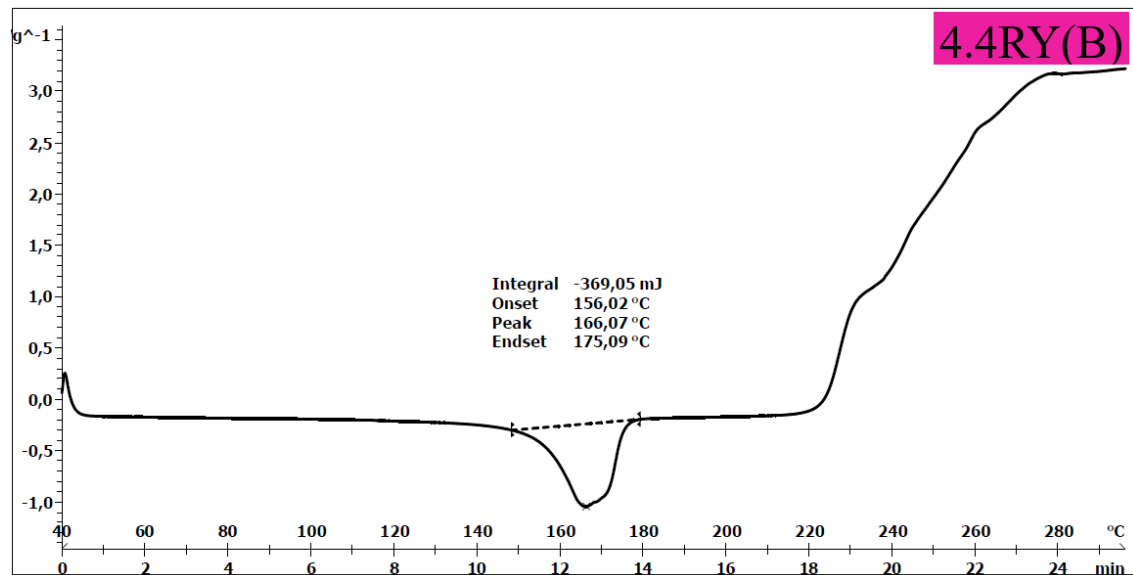


**Şekil 4.75.** 0.6/0.3 dış/ iç ekstrüder besleme oranında üretilen %2 katkılı bicomponent ipliklerin DSC eğrisi

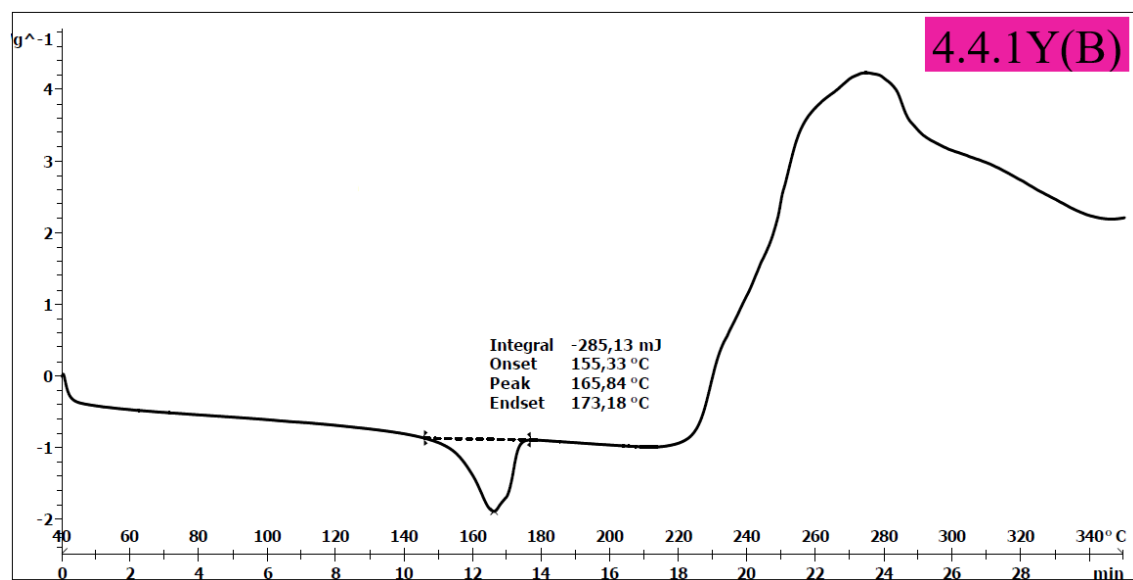


**Şekil 4.76.** 0.6/0.3 dış/ iç ekstrüder besleme oranında üretilen %3 katkılı bicomponent ipliklerin DSC eğrisi

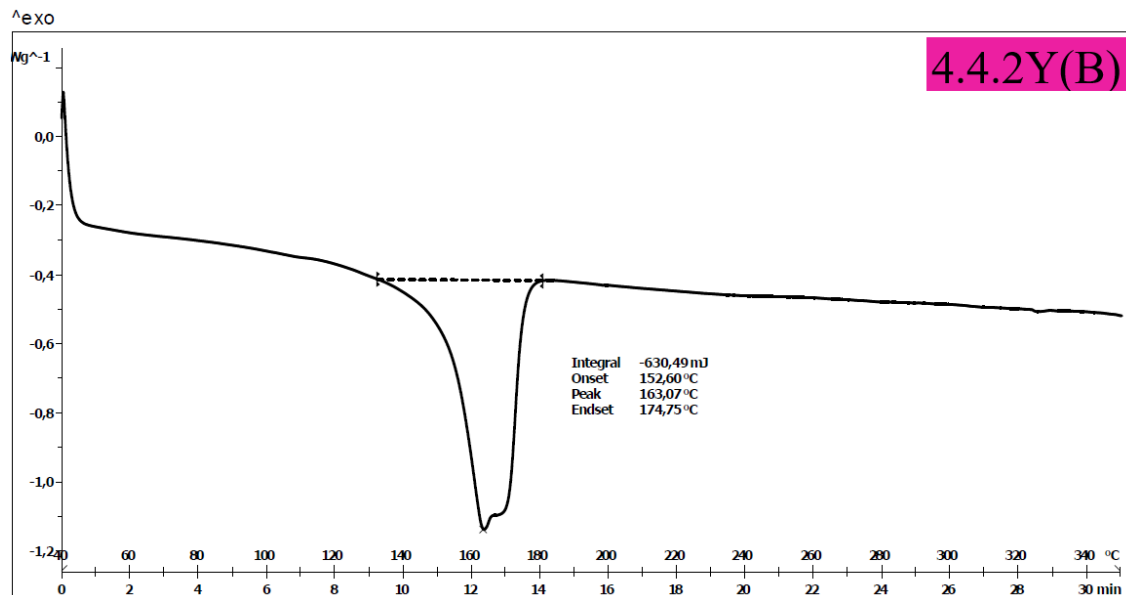
0.4/0.4 dış/ iç ekstrüder besleme oranında üretilen bicomponent ipliklerin DSC eğrisi sırasıyla Şekil 4.77, 4.78, 4.79 ve 4.80'de sunulmuştur. 4.4RY(B) kodlu referans bicomponent ipliklerin erime piki beklenildiği gibi 166°C' de görülmüştür. %1 köpük polimer katkısıyla birlikte bicomponent ipliklerin erime piki 165 °C civarında görülmüştür. %2 ve %3 katkılı ipliklerin erime sıcaklıkları sırasıyla 163 ve 162 °C'dir.



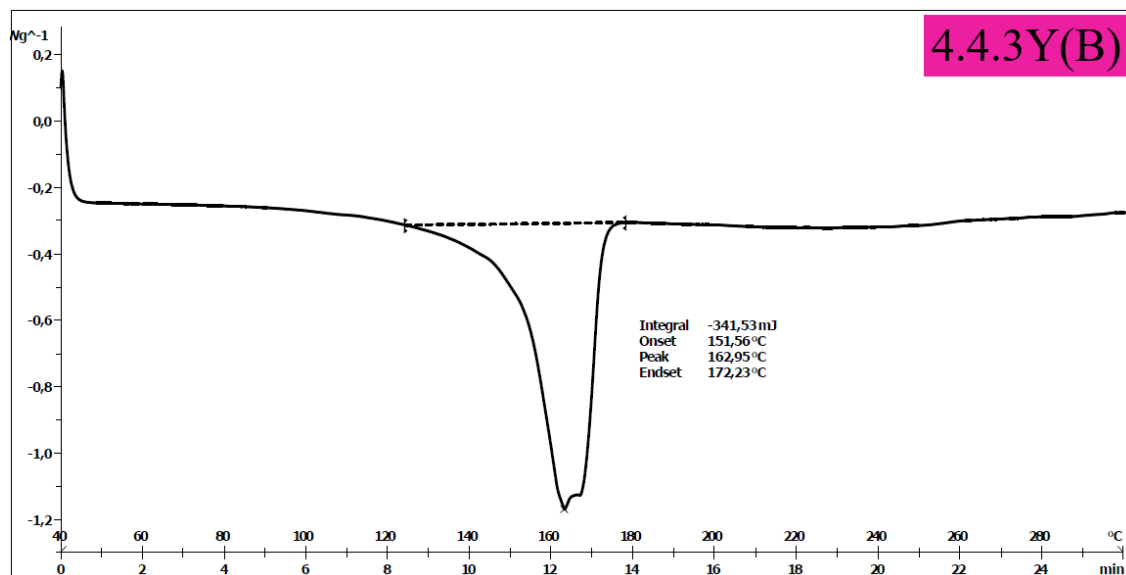
**Şekil 4.77.** 0.4/0.4 dış/İç ekstrüder besleme oranında üretilen referans bicomponent ipliklerin DSC eğrisi



**Şekil 4.78.** 0.4/0.4 dış/İç ekstrüder besleme oranında üretilen %1 katkılı bicomponent ipliklerin DSC eğrisi



**Şekil 4.79.** 0.4/0.4 dış/ iç ekstrüder besleme oranında üretilen %2 katkılı bicomponent ipliklerin DSC eğrisi



**Şekil 4.80.** 0.4/0.4 dış/ iç ekstrüder besleme oranında üretilen %3 katkılı bicomponent ipliklerin DSC eğrisi

Beş farklı ekstrüder hız oranlarında üretilen bicomponent ipliklerin her birinde benzer DSC eğrileri elde edilmiştir. PP/PP iç/dış bicomponent referans iplikler, aynı polimerin birbirine yüksek adezyonu ve uyumundan dolayı monofilament PP ipliği gibi davranışmış ve tek bir noktada, 160-170 °C aralığında erime piki göstermiştir. Köpük polimer katkısıyla birlikte erime sıcaklığında en fazla 5 °C kadar düşüş olmuş, bu düşüş de

genellikle en yüksek katkı oranı olan %3'te elde edilmiştir. Diğer katkı oranlarındaki erime sıcaklıklarını neredeyse referans iplikle aynıdır. Erime sıcaklığını etkileyen faktörlerin başında moleküller arası bağ kuvvetleri geldiğini ve katkı maddelerin de erime sıcaklığını azalttığını Metot A ile üretilen ipliklerin DSC analizi yorumlarında belirtilmiştir. Köpük polimer katkısı ve sıcaklıkla beraber köpük polimerin genleşmesi nedeniyle iç ve dış polimer arası etkileşim bir miktar azalmış ve buna bağlı olarak da en yüksek katkı oranında erime sıcaklıklarını bir miktar düşmüştür.

Çizelge 4.8'de Metot B ile üretilen bikomponent ipliklerin DSC eğrilerinden elde edilen ve Eşitlik (1)'e göre hesaplanan kristalizasyon oranları sunulmuştur. Referans numunelere göre erime sıcaklıklarındaki azalmaya karşı kristalizasyon oranları neredeyse aynı değerdedir. Sadece 0.4/0.4 dış/İç ekstrüder besleme oranında üretilen katkılı ipliklerde referans ipliğe göre sırasıyla, %3,8, %4,1 ve %7,9 oranlarında kristalizasyon oranları artmıştır. Köpük polimer katkısı bikomponent ipliklerin kristalleme davranışını olumsuz etkilememiştir.

**Çizelge 4.8.** Metot B ile üretilen bikomponent ipliklerin DSC eğrilerinden elde edilen sonuçlar

Numune Kodu	Başlangıç Sıcaklığı (°C)	Bitiş Sıcaklığı (°C)	Erime Sıcaklığı (°C)	Kristalizasyon Oranı (%)
2.2RY(B)	145,41	175,68	168,80	36,70
2.2.1Y(B)	157,26	172,74	166,53	36,30
2.2.2Y(B)	152,85	174,93	169,61	35,90
2.2.3Y(B)	153,02	172,24	163,85	39,40
4.2.RY(B)	154,10	174,80	168,52	36,20
4.2.1Y(B)	155,90	176,60	168,12	35,50
4.2.2Y(B)	152,40	175,49	169,02	38,30
4.2.3Y(B)	153,60	174,84	163,80	38,80
3.3RY(B)	156,54	176,23	168,53	37,80
3.3.1Y(B)	154,40	167,37	166,17	36,70
3.3.2Y(B)	147,50	173,68	162,87	38,10
3.3.3Y(B)	132,13	179,71	166,57	38,20
6.3RY(B)	155,96	177,50	169,44	34,10
6.3.1Y(B)	155,15	175,07	166,27	37,10

6.3.2Y(B)	152,71	175,59	165,76	37,60
6.3.3Y(B)	152,45	175,14	163,64	37,80
4.4.RY(B)	156,02	175,09	166,07	32,20
4.4.1Y(B)	155,33	173,18	165,84	36,00
4.4.2Y(B)	152,60	174,75	163,07	36,30
4.4.3Y(B)	151,56	172,23	162,95	40,10

#### 4.7. Bikomponent İpliklerden Üretilen Örme Kumaşların Kalınlık ve Birim Alan Ağırlığı (Gramaj) Sonuçları

Çizelge 4.9'da Metot A ile üretilen örme kumaşların sıkılık, kalınlık ve gramaj değerleri sunulmuştur. Örme kumaşların gramaj değerleri artan katkı oranı ve besleme oranı ile artış göstermiştir. İplik numara sonuçları (Şekil 4.6, 4.7 ve 4.8) ile orantılı sonuçlar elde edilmiştir. Katkı oranı artışı ile benzer şekilde kalınlık değerleri de bir miktar artmıştır.

**Çizelge 4.9.** Metot A ile üretilen örme kumaşların kumaş sıklığı, gramaj ve kalınlık sonuçları

Kumaş Kodu	Sıra Sıklığı (1/cm)	Çubuk Sıklığı (1/cm)	Gramaj (g/m <sup>2</sup> )		Kalınlık (mm)	
			Ortalama	Standart Sapma	Ortalama	Standart Sapma
5.1RF(A)	4	4	494,63	0,24	5,55	0,05
5.1.1F(A)			882,33	0,57	4,47	0,12
5.1.2F(A)			1015,68	0,12	4,94	0,02
5.1.3F(A)			1163,02	0,11	5,75	0,07
5.2RF(A)	4	4	668,16	0,16	5,72	0,15
5.2.1F(A)			888,26	1,41	4,17	0,03
5.2.2F(A)			1036,17	0,08	4,74	0,02
5.2.3F(A)			1249,79	0,18	4,86	0,02
4.2RF(A)	4	4	609,66	0,05	5,15	0,05
4.2.1F(A)			979,33	0,21	4,64	0,02
4.2.2F(A)			1024,72	0,16	4,95	0,01
4.2.3F(A)			1351,25	0,16	5,30	0,13

**Çizelge 4.10.** Metot A ile üretilen bikomponent ipliklerden oluşturulan örme kumaşların kalınlık ve gramaj sonuçları için istatiksel analiz (ANOVA ve SNK) sonuçları

Parametre		Gramaj ( $\text{g}/\text{m}^2$ )		Kalınlık (mm)	
Katkı Oranı	0	0,00*	590 <b>a</b>	0,00*	5,47 <b>d</b>
	1		916 <b>b</b>		4,43 <b>a</b>
	2		1025 <b>c</b>		4,88 <b>b</b>
	3		1254 <b>d</b>		5,30 <b>c</b>
Besleme Oranı	4-2	0,00*	991 <b>c</b>	0,00*	5,01 <b>b</b>
	5-1		888 <b>a</b>		5,18 <b>c</b>
	5-2		960 <b>b</b>		4,87 <b>a</b>
Katkı Oranı*Besleme Oranı		0,00*		0,00*	

(a), (b), (c) ve (d) SNK testine göre istatiksel farklılıklarını göstermektedir.

\*%5 anlamlılık seviyesi

Örme kumaşların kalınlık ve gramaj değerlerine katkı oranının, besleme oranının ve kesimlerinin etkisi ANOVA ve SNK testleri ile de değerlendirildiğinde 0,05 anlamlılık seviyesinde hem katkı oranının, besleme oranının ve kesimlerinin de kalınlık ve gramaj üzerine etkisi olduğu istatiksel olarak da ispatlanmıştır. Çizelge 3.6'da kalınlık ve gramaj değişkenleri için verilen alternatif hipotezler kabul edilmiştir.

#### 4.8. Bikomponent İpliklerden Üretilen Örme Kumaşların Optik Mikroskop Görüntüleri

Şekil 4.81, 4.82 ve 4.83 örme kumaşlara ait optik mikroskop görüntülerini sunmaktadır. Kumaşların optik mikroskop görüntüleri incelendiğinde haroşa örgü yapısının düzgün bir şekilde olduğu görülmektedir. Kataklı bikomponent ipliklerin iki bileşenli yapısı da belli olmaktadır. Referans bikomponent ipliklerin iplik numaraları kataklı bikomponent ipliklere göre küçük olduğu için bu ipliklerden örülen yüzeylerin daha boşluklu ve gözenekli yapıya sahip olduğu görülmektedir.



**Şekil 4.81.** 5/1 dış/ iç ekstrüder besleme oranında üretilen bicomponent ipliklerden üretilen yüzeylerin optik mikroskop görüntüleri (Büyüütme oranı: 10x)



**Şekil 4.82.** 5/2 dış/ iç ekstrüder besleme oranında üretilen bicomponent ipliklerden üretilen yüzeylerin optik mikroskop görüntüleri (Büyüütme oranı: 10x)



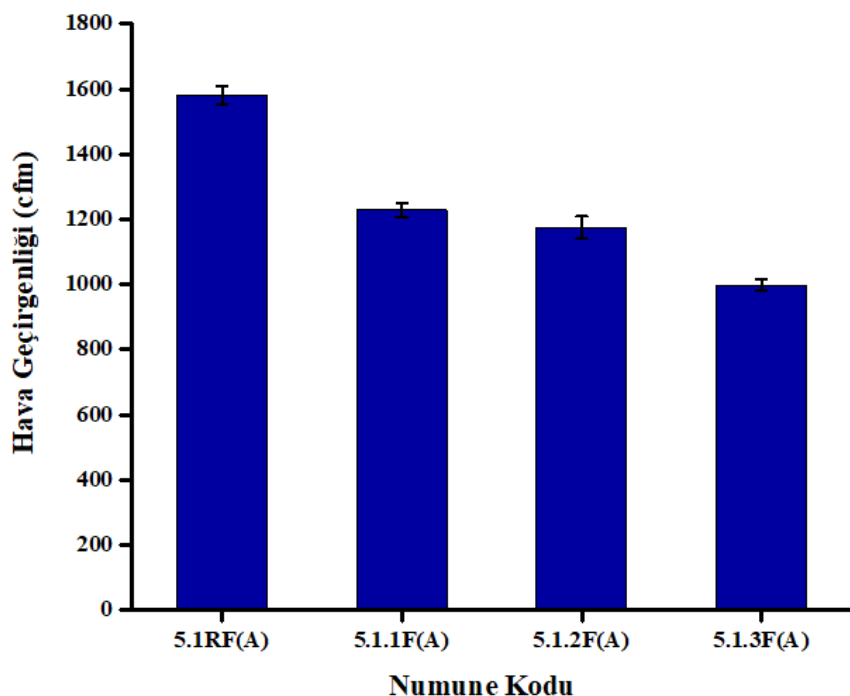
**Şekil 4.83.** 4/2 dış/ iç ekstrüder besleme oranında üretilen bicomponent ipliklerden üretilen yüzeylerin optik mikroskop görüntüleri (Büyütmeye oranı: 10x)

#### 4.9. Bicomponent İpliklerden Üretilen Örme Kumaşların Hava Geçirgenliği Sonuçları

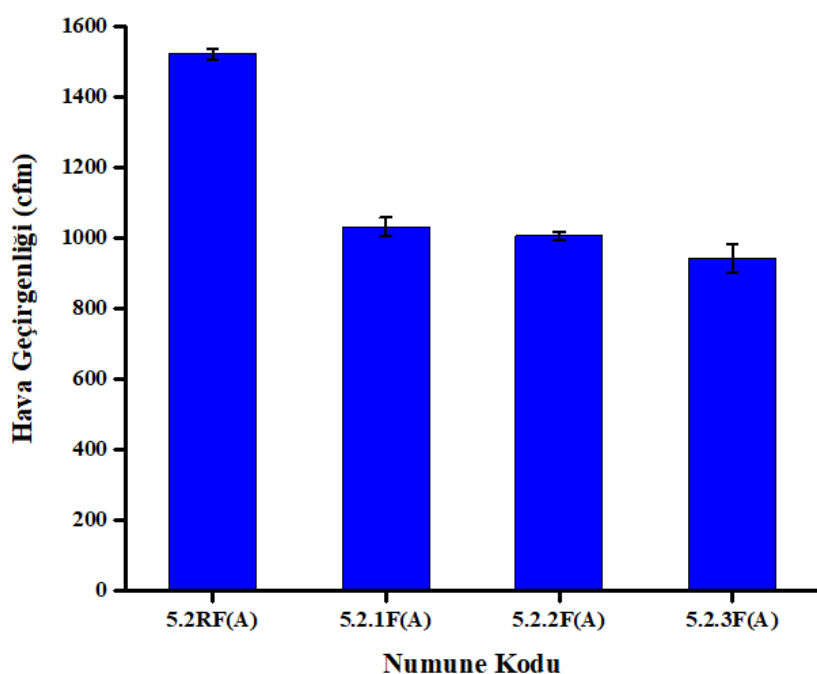
TS 391'in ifadesine göre hava geçirgenliği, deney numunesinin alanı, deney numunesinin iki yüzü arasındaki basınç farkı ve zaman parametrelerine bağlı olarak deney numunesinden dik olarak geçen hava akımının hızıdır. Hava geçirgenliği; havanın lif, iplik ve kumaş yapısı içerisinde gecebilme yeteneğidir. Birim basınçta, birim alandan, belirli zamanda geçen havanın miktarı ölçülmektedir. Hava geçirgenliği temelde kumaşın gramajı ve yapısal parametrelerine (kalınlık, iplik numarası, gözeneklilik gibi) bağlıdır (Bozdoğan, 2009).

Bicomponent ipliklerden üretilen yüzeylerin hava geçirgenliği sonuçları incelendiğinde (Şekil 4.84, 4.85 ve 4.86), bicomponent iplik numaralarıyla (Şekil 4.6, 4.7 ve 4.8) doğru orantılı sonuçlar elde edilmiştir. İplik numarası artışıyla birlikte üretilen kumaşlardaki gözenekler küçülmekte ve hava geçirgenlik değerleri azalmaktadır. İplik numarası arttıkça iplikler örme kumaşlarda daha fazla bir alan kaplamakta ve daha örtücü olmaktadır. Kumaşların gramaj değerleri de (Çizelge 4.10) iplik numarası ile doğru

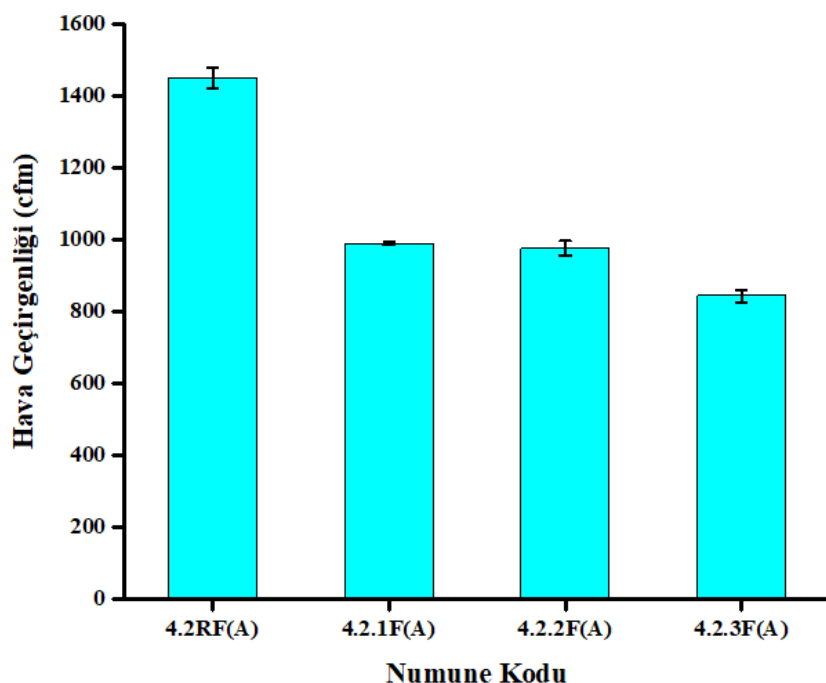
orantılı arttığından, gramaj ve hava geçirgenliği değerleri arasındaki ilişki de benzer şekildedir.



**Şekil 4.84.** 5/1 dış/ iç ekstrüder besleme oranında üretilen bicomponent ipliklerden üretilen yüzeylerin hava geçirgenliği sonuçları



**Şekil 4.85.** 5/2 dış/ iç ekstrüder besleme oranında üretilen bicomponent ipliklerden üretilen yüzeylerin hava geçirgenliği sonuçları



**Şekil 4.86.** 4/2 dış/ iç ekstrüder besleme oranında üretilen bikomponent ipliklerden üretilen yüzeylerin hava geçirgenliği sonuçları

**Çizelge 4.11.** Metot A ile üretilen bikomponent ipliklerden oluşturulan örme kumaşların hava geçirgenliği sonuçları için istatiksel analiz (ANOVA ve SNK) sonuçları

Parametre		Hava Geçirgenliği (cfm)	
Katkı Oranı	0	0,00*	1530 d
	1		1124 c
	2		1077 b
	3		915 a
Besleme Oranı	4-2	0,00*	1082 a
	5-1		1255 c
	5-2		1146 b
Katkı Oranı*Besleme Oranı		0,00*	

(a), (b), (c) ve (d) SNK testine göre istatiksel farklılıklarını göstermektedir.

\* %5 anlamlılık seviyesi

Örme kumaşların hava geçirgenliği değerlerine katkı oranının, besleme oranının ve kesimlerinin etkisi ANOVA ve SNK testleri ile de değerlendirildiğinde 0,05 anlamlılık seviyesinde hem katkı oranının, besleme oranının ve kesimlerinin de hava geçirgenliği

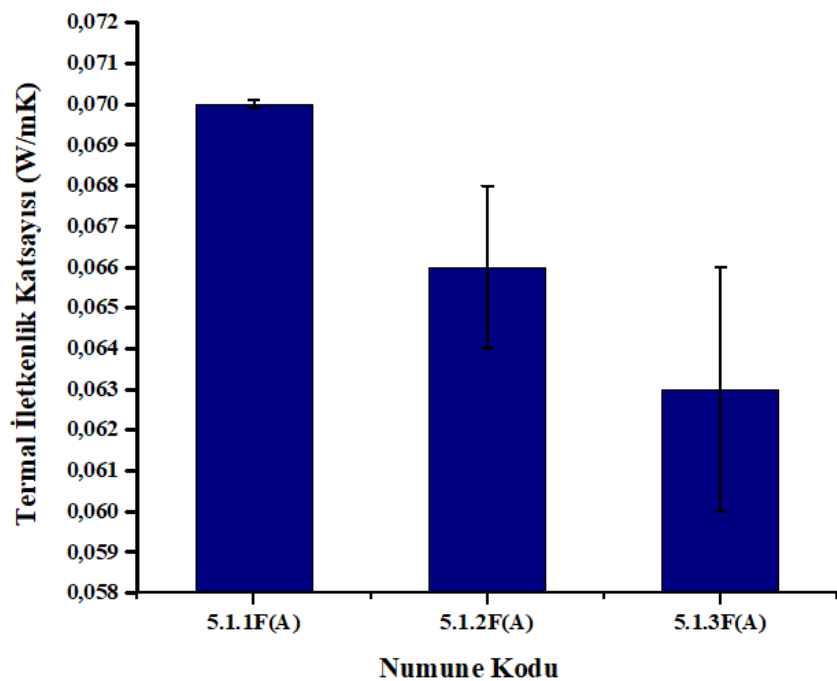
üzerine etkisi olduğu istatiksel olarak da ispatlanmıştır. Çizelge 3.6'da hava geçirgenliği değişkeni için verilen alternatif hipotezler kabul edilmiştir.

#### **4.10. Bikomponent İpliklerden Üretilen Örme Kumaşların Termal İletkenlik Katsayısı Sonuçları**

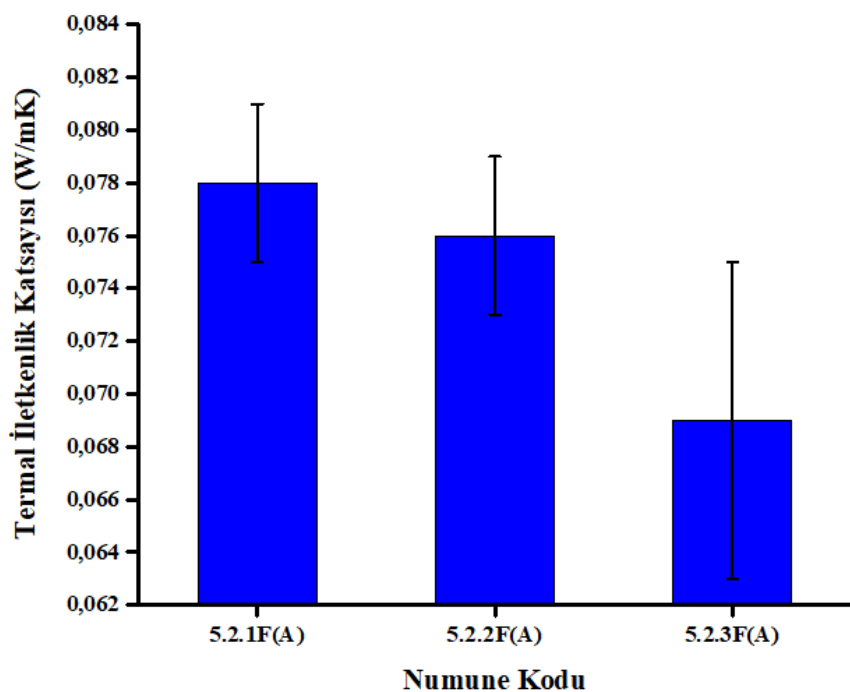
Bikomponent ipliklerden örulen köpük katkılı bikomponent ipliklerin QTM-710 cihazında JIS R 2618 standardına göre ölçülen termal iletkenlik katsayısı sonuçları sırasıyla Şekil 4.87, 4.88 ve 4.89'da sunulmuştur. Bu sonuçlar her bir numuneden onar ölçüm alındıktan sonra elde edilen ortalama değerlerdir.

Referans bikomponent ipliklerden örulen yüzeyler, bu ipliklerin numara değerlerinin katkılı bikomponent ipliklere göre oldukça küçük olması nedeniyle oldukça seyrek ve gözenekli bir kumaş yapısı oluşturmaktadır (Şekil 4.81, 82 ve 83). Gözenekli yapı da hava boşluğuna sebep olmaktadır. Tekstil malzemeleri için, kumaş yapısındaki durgun hava, iletkenlik değeri için en önemli faktördür, çünkü durgun hava tüm liflere kıyasla en düşük ısıl iletkenlik ( $\lambda_{\text{hava}} = 0,025 \text{ W/mK}$ ) değerine sahiptir (Oglakcioglu, Celik, Ute, Marmarali ve Kadoglu, 2009). Referans bikomponent ipliklerden üretilen numunelerin termal iletkenlik katsayısı değerleri her iki yönteme göre de  $0,050 \pm 0,002 \text{ W/mK}$  çıkmıştır. Bu nedenle termal iletkenlik katsayısı kıyaslarında katkılı ipliklerin kendi arasında değerlendirilmesinin daha uygun olduğu sonucuna varılmıştır.

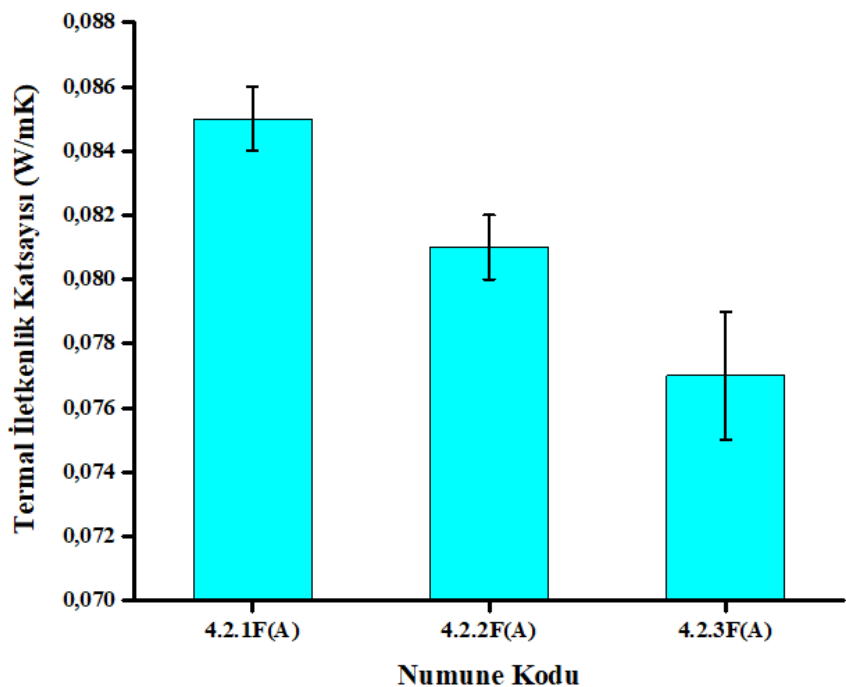
5/1 dış/ iç ekstrüder besleme oranında üretilen bikomponent ipliklerden üretilen yüzeylerin termal iletkenlik katsayısı sonuçları 5.1.1F(A), 5.1.2F(A), 5.1.3F(A) kodlu numuneler için sırasıyla 0,070, 0,066 ve 0,063 W/mK'dır. 5/2 dış/ iç ekstrüder besleme oranında üretilen bikomponent ipliklerden üretilen yüzeylerin termal iletkenlik katsayısı sonuçları 5.2.1F(A), 5.2.2F(A), 5.2.3F(A) kodlu numuneler için sırasıyla 0,078, 0,076 ve 0,069 W/mK'dır. 4/2 dış/ iç ekstrüder besleme oranında üretilen bikomponent ipliklerden üretilen yüzeylerin termal iletkenlik katsayısı sonuçları 4.2.1F(A), 4.2.2F(A), 4.2.3F(A) kodlu numuneler için sırasıyla 0,085, 0,081 ve 0,077 W/mK'dır. Katkı oranı arttıkça termal iletkenlik katsayısı değerleri azalmıştır. Bu standarda göre ölçülen numunelerde en yüksek termal iletkenlik katsayısı değeri 5.1.3F(A) kodlu numunedede yani en yüksek katkı oranında 0,063 W/mK olarak elde edilmiştir.



**Şekil 4.87.** 5/1 dış/ iç ekstrüder besleme oranında üretilen bikomponent ipliklerden üretilen yüzeylerin JIS R 2618 standardına göre termal iletkenlik katsayıları

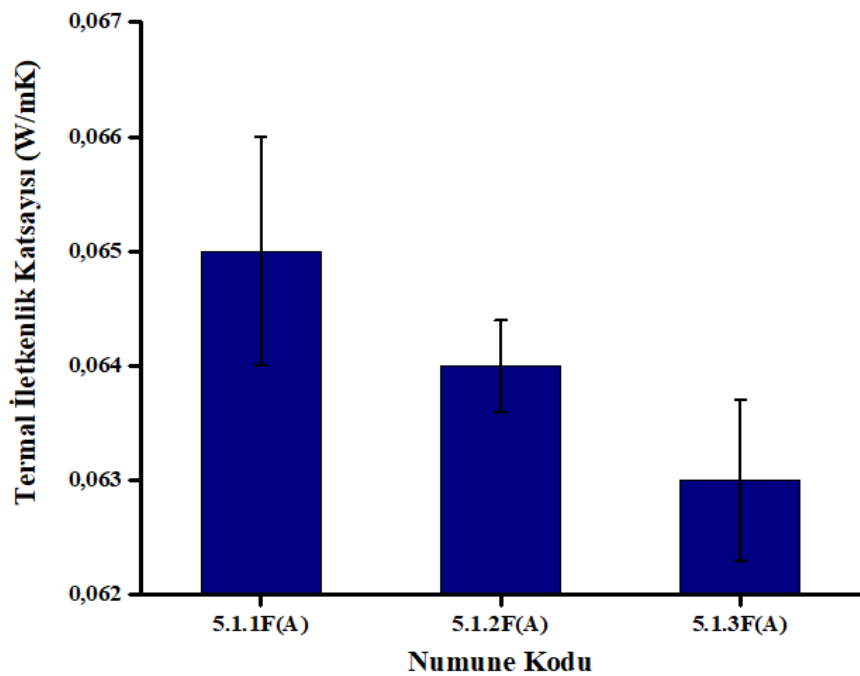


**Şekil 4.88.** 5/2 dış/ iç ekstrüder besleme oranında üretilen bikomponent ipliklerden üretilen yüzeylerin JIS R 2618 standardına göre termal iletkenlik katsayıları

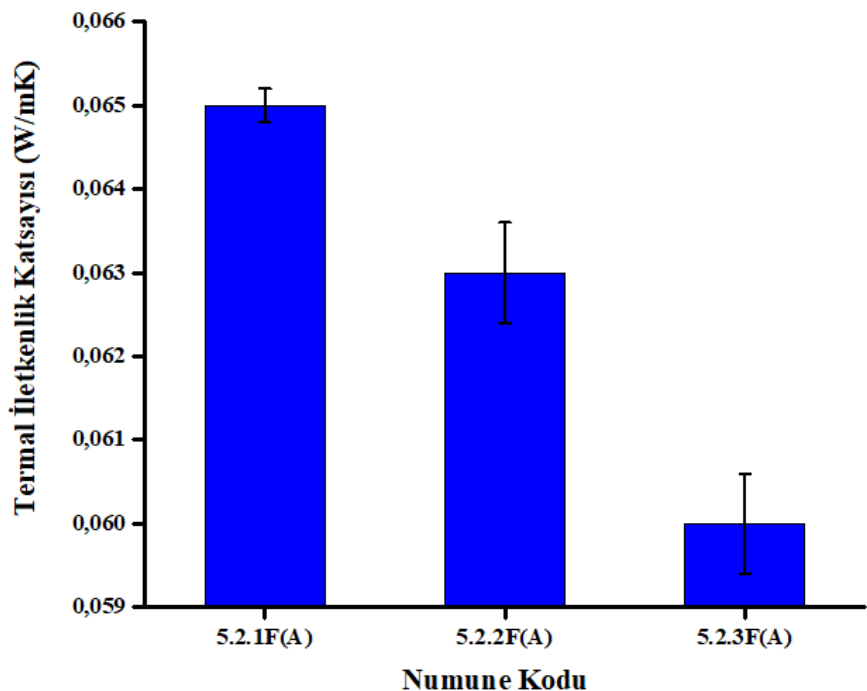


**Şekil 4.89.** 4/2 dış/İç ekstrüder besleme oranında üretilen bikomponent ipliklerden üretilen yüzeylerin JIS R 2618 standardına göre termal iletkenlik katsayıları sonuçları

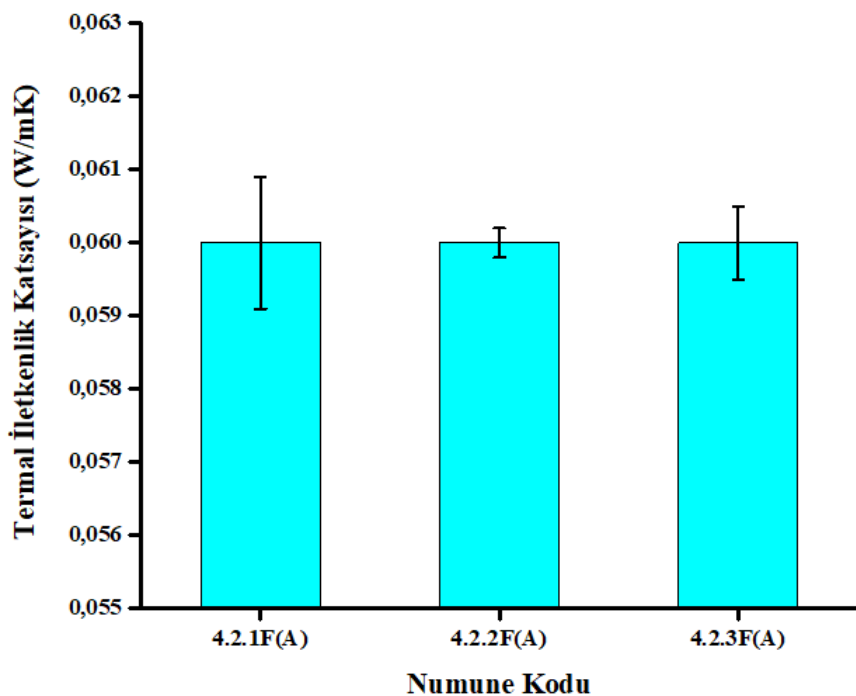
Bikomponent ipliklerden örülen köpük katkılı bikomponent ipliklerin Alambeta test standardına göre ölçülen termal iletkenlik katsayıları sırasıyla Şekil 4.90, 4.91 ve 4.92'de sunulmuştur. Bu sonuçlar her bir numuneden onar ölçüm alındıktan sonra elde edilen ortalama değerlerdir. 5/1 dış/İç ekstrüder besleme oranında üretilen bikomponent ipliklerden üretilen yüzeylerin termal iletkenlik katsayıları 5.1.1F(A), 5.1.2F(A), 5.1.3F(A) kodlu numuneler için sırasıyla 0,065, 0,064 ve 0,063 W/mK'dır. 5/2 dış/İç ekstrüder besleme oranında üretilen bikomponent ipliklerden üretilen yüzeylerin termal iletkenlik katsayıları 5.2.1F(A), 5.2.2F(A), 5.2.3F(A) kodlu numuneler için sırasıyla 0,065, 0,063 ve 0,060 W/mK'dır. Bu iki numune grubunda katkı oranı arttıkça termal iletkenlik katsayıları değerleri azalmıştır. 4/2 dış/İç ekstrüder besleme oranında üretilen bikomponent ipliklerden üretilen yüzeylerin termal iletkenlik katsayıları 4.2.1F(A), 4.2.2F(A), 4.2.3F(A) kodlu numuneler için sırasıyla 0,060, 0,060 ve 0,060 W/mK'dır. Katkı oranı artışı ile numuneler arasında termal iletkenlik katsayıları değişmemiştir. Bu standarda göre ölçülen numunelerde en yüksek termal iletkenlik katsayısı değeri 4.2.1F(A), 4.2.2F(A), 4.2.3F(A) ve 5.2.3F(A) kodlu numunelerde 0,060 W/mK olarak elde edilmiştir.



**Şekil 4.90.** 5/1 dış/ iç ekstrüder besleme oranında üretilen bikomponent ipliklerden üretilen yüzeylerin Alambeta test standardına göre termal iletkenlik katsayıları sonuçları



**Şekil 4.91.** 5/2 dış/ iç ekstrüder besleme oranında üretilen bikomponent ipliklerden üretilen yüzeylerin Alambeta test standardına göre termal iletkenlik katsayıları sonuçları



**Şekil 4.92.** 4/2 dış/ iç ekstrüder besleme oranında üretilen bikomponent ipliklerden üretilen yüzeylerin Alambeta test standartına göre termal iletkenlik katsayıları sonuçları

**Çizelge 4.12.** Metot A ile üretilen bikomponent ipliklerden oluşturulan örme kumaşların iki farklı standarda göre yapılan termal iletkenlik katsayıları sonuçları için istatiksel analiz (ANOVA ve SNK) sonuçları

Parametre		Termal iletkenlik katsayı ( $\lambda$ ) (Alambeta test standartı)		Termal iletkenlik katsayı ( $\lambda$ ) (JIS R 2618 standartı)	
Katkı Oranı	1	0,00*	0,063 c	0,01*	0,078 b
	2		0,062 b		0,074 ab
	3		0,061 a		0,070 a
Besleme Oranı	4-2	0,00*	0,060 a	0,00*	0,081 c
	5-1		0,064 c		0,067 a
	5-2		0,063 b		0,075 b
Katkı Oranı*Besleme Oranı		0,00*		0,96*	

(a), (b) ve (c) SNK testine göre istatiksel farklılıklarını göstermektedir.

\* %5 anlamlılık seviyesi

Örme kumaşların termal iletkenlik katsayıı değerlerine katkı oranının ve besleme oranının etkisi ANOVA ve SNK testleri ile de değerlendirildiğinde 0,05 anlamlılık seviyesinde katkı oranının ve besleme oranının her iki standarda göre elde edilen termal

iletkenlik katsayısı değerleri üzerinde etkisi olduğu istatiksel olarak da ispatlanmıştır. Çizelge 3.6'da termal iletkenlik katsayısı değişkeni için verilen alternatif hipotezler kabul edilmiştir. Birlikte kesimlerinin etkisi incelendiğinde ise, Alambeta test standardına göre alternatif hipotez kabul edilirken, diğer standarda göre orijinal hipotez kabul edilmiştir.

İsı iletkenliği, ısı yalıtım malzemesini değerlendirmek için en önemli parametre olarak kabul edilir. Termal iletkenliğe sahip bir malzeme 0,070 W/mK'den düşük bir termal iletkenlik katsayısına sahipse ısı yalıtkanı olarak kabul edilebilir (Asdrubali, D'Alessandro ve Schiavoni, 2015). İki farklı termal iletkenlik katsayısı standardına göre yapılan ölçüm sonuçları genel olarak değerlendirildiğinde her iki standarda göre de artan katkı oranı ile termal iletkenlik katsayısı değerleri azalmıştır. QTM-710 cihazında JIS R 2618 standardına göre yapılan ölçümlerde, 5/1 dış/ iç ekstrüder besleme oranında üretilen bikomponent ipliklerden üretilen yüzeylerin hepsi, 5/2 dış/ iç ekstrüder besleme oranında üretilen bikomponent ipliklerden üretilen yüzeylerden ise sadece 5.2.3F(A) kodlu numune ısı yalıtım malzemesi olarak nitelendirilebilir. 4/2 dış/ iç ekstrüder besleme oranında üretilen bikomponent ipliklerden üretilen yüzeylerin termal iletkenlik katsayısı değerleri ise ısı yalıtım malzemesi için kabul edilebilir aralıkların üzerinde çıkmıştır. Alambeta test cihazında yapılan termal iletkenlik katsayısı ölçümüne göre ise tüm numuneler ısı yalıtım malzemesi olarak nitelendirilebilir.

Termal iletkenlik katsayısı ölçümlerinde kalınlık önemli bir parametredir. Milenković Skundric, Sokolovic ve Nikolic (1999) kumaş kalınlığının kumaş boyunca ısı transferini etkileyen ana faktörlerden biri olduğunu kanıtlamıştır. Her iki standardın termal iletkenlik katsayısı hesaplamasındaki eşitlikler dikkate alındığında (Denklem (3.2) ve (3.3)) JIS R 2618 standardında numune kalınlığı göz ardı edilmektedir. Bu nedenle Alambeta test cihazındaki standardın ve buna bağlı sonuçların bu numuneler için daha uygun olduğu sonucuna varılmıştır. QTM cihazında yapılan ölçümlerdeki istatiksel analizde de katkı oranının termal iletkenlik katsayısı değerine etkisi olduğu sonucuna varılmış ancak SNK testinde sonuçlar birbirinden farklı değildir.

Kapalı hücreli köpük polimerlerin mühendislik uygulamalarında en yaygın kullanılan ısı yalıtım malzemesi olduğu bilinmektedir (Alvarez-Lainez, Rodriguez-Perez ve De Saja, 2008). Bikomponent iplik yapısına katılan düşük yoğunluklu polietilen köpük ilavesi, bikomponent ipligin yapısında ve dolayısıyla da bu ipliklerden örülən yüzeylerin yapısındaki toplam gözenekliliği arttırmıştır. Benzer şekilde Karaca, Omeroglu ve Akcam (2016) çalışmalarında da genleştirmiş perlit katkısı poliester ipliklerin termal yalıtım özelliklerini iyileşmiştir.

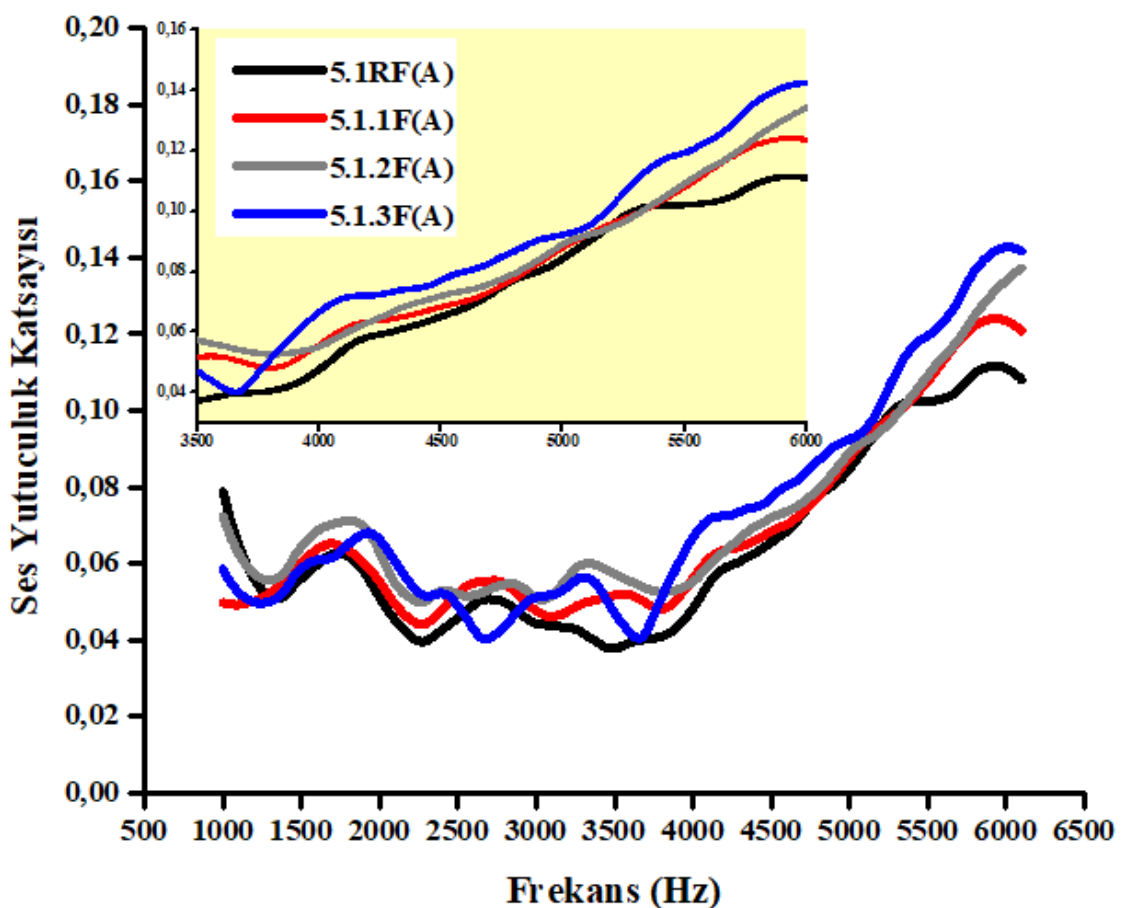
#### **4.11. Bikomponent İpliklerden Üretilen Örme Kumaşların Ses Yutum Katsayıları Sonuçları**

Bikomponent ipliklerden örülən referans ve köpük katkılı örme yüzeylerin ASTM E1050-12 standardına göre 1000 Hz ile 6100 Hz frekans aralığında ölçülen ses yutuculuk katsayıları sonuçları sırasıyla Şekil 4.93, 4.94 ve 4.95'te sunulmuştur. Bu sonuçlar her bir numuneden en az üçer ölçüm alındıktan sonra elde edilen ortalama değerlerdir.

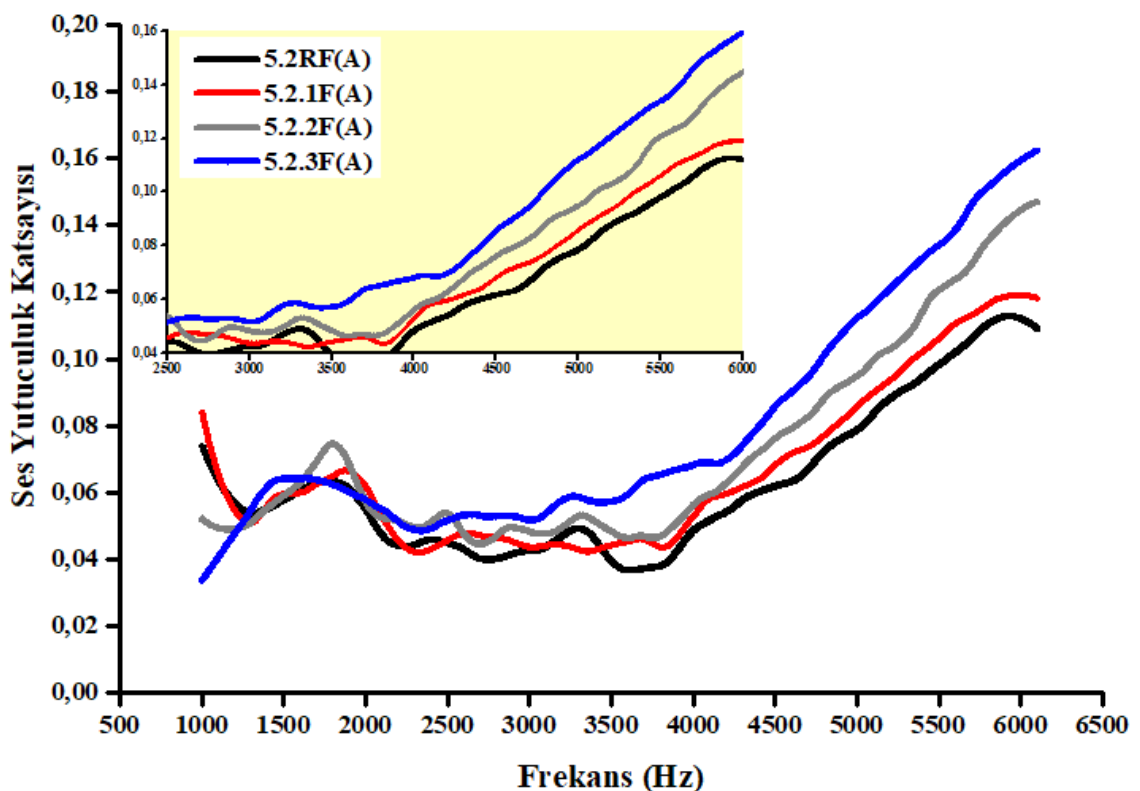
Şekil 4.93 incelendiğinde kumaşların 3500 Hz frekans değerine kadar 0,05 ile 0,08 aralığında bir ses yutuculuk katsayısına sahip olduğu ve değerlerin neredeyse birbiriyile aynı olduğu görülmektedir. 3500 Hz frekans değerinden sonra ses yutuculuk katsayılarında artış gözlenmiştir. 6100 Hz frekansında 5.1.RF(A), 5.1.1F(A), 5.1.2F(A), 5.1.3(A) kodlu kumaşlar için sırasıyla elde edilen ses yutuculuk katsayıları değerleri; 0,108, 0,120, 0,137 ve 0,141'dir. Referans kumaşa göre ses yutuculuk katsayısı değeri en yüksek katkı oranı ile üretilen ipliklerden örülən kumaşa (5.1.3F(A)) ve 6100 Hz frekansında %31 oranında artmıştır.

Şekil 4.94 incelendiğinde kumaşların 2000 Hz frekans değerine kadar 0,04 ile 0,08 aralığında bir ses yutuculuk katsayısına sahip olduğu ve değerlerin neredeyse birbiriyile aynı olduğu görülmektedir. 2000 Hz -3500 Hz frekans aralığında artan katkı oranı ile ses yutuculuk eğrileri arasında farklar olmaya başlamakta ve 3500Hz frekans değerinden sonra ses yutuculuk katsayılarında artış gözlenmiştir. 6100 Hz frekansında 5.2.RF(A), 5.2.1F(A), 5.2.2F(A), 5.2.3F(A) kodlu kumaşlar için sırasıyla elde edilen ses yutuculuk katsayıları değerleri; 0,109, 0,118, 0,147 ve 0,162'dir. Referans kumaşa göre ses yutuculuk

katsayısı değeri en yüksek katkı oranı ile üretilen ipliklerden örülen kumaşa (5.2.3F(A)) ve 6100 Hz frekansında %47 oranında artmıştır.

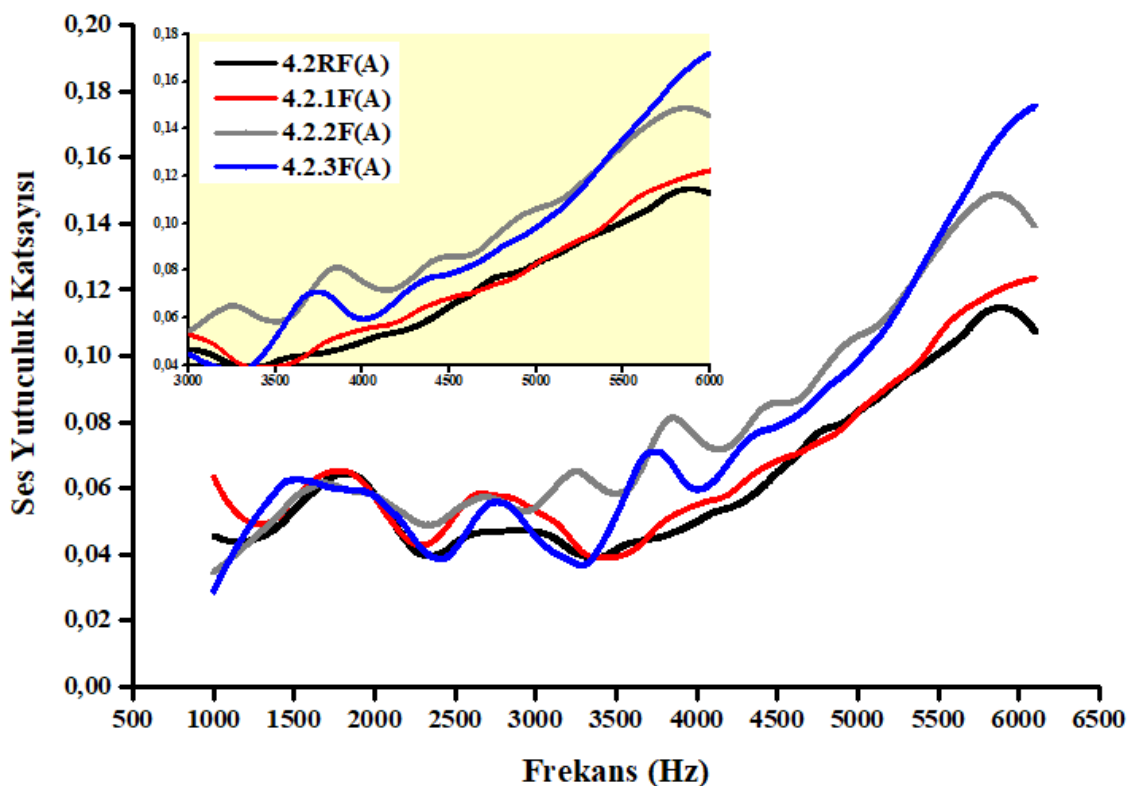


**Şekil 4.93.** 5/1 dış/ iç ekstrüder besleme oranında üretilen bikomponent ipliklerden üretilen yüzeylerin ses yutuculuk katsayıları sonuçları



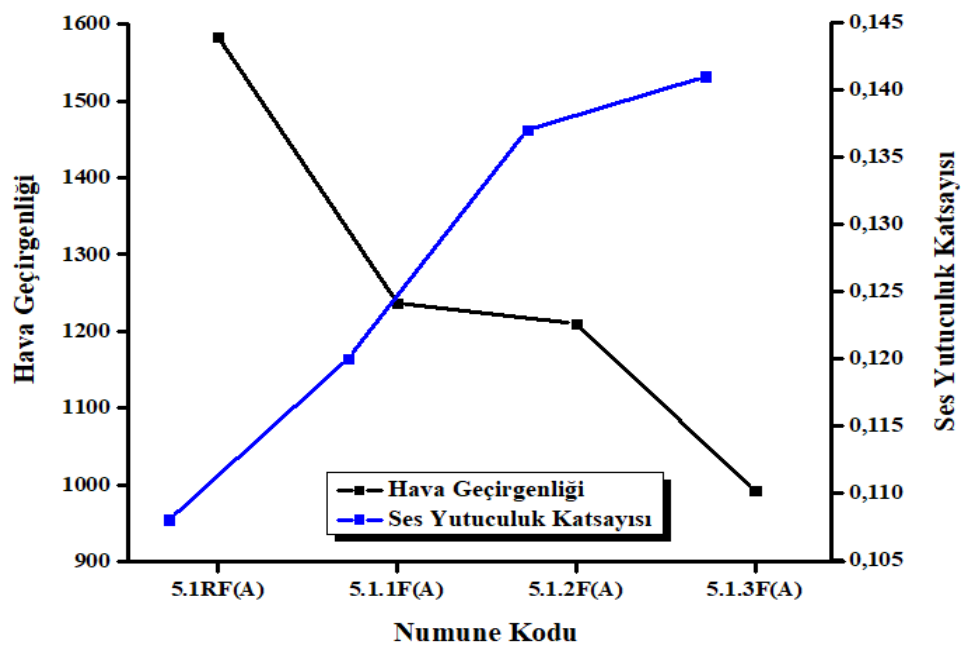
**Şekil 4.94.** 5/2 dış/ iç ekstrüder besleme oranında üretilen bikomponent ipliklerden üretilen yüzeylerin ses yutuculuk katsayıları sonuçları

Şekil 4.95 incelendiğinde kumaşların 3000 Hz frekans değerine kadar 0,03 ile 0,07 aralığında bir ses yutuculuk katsayısına sahip olduğu ve değerlerin neredeyse birbiriyile aynı olduğu görülmektedir. 3000 Hz frekans değerinden sonra ses yutuculuk katsayıları değerleri artmaya başlamaktadır. 6100 Hz frekansında 4.2.RF(A), 4.2.1F(A), 4.2.2F(A), 4.2.3F(A) kodlu kumaşlar için sırasıyla elde edilen ses yutuculuk katsayıları değerleri 0,107, 0,123, 0,139 ve 0,175' tir. Referans kumaşa göre ses yutuculuk katsayısı değeri en yüksek katkı oranı ile üretilen ipliklerden örülen kumaşa (4.2.3F(A)) ve 6100 Hz frekansında %64 oranında artmıştır.

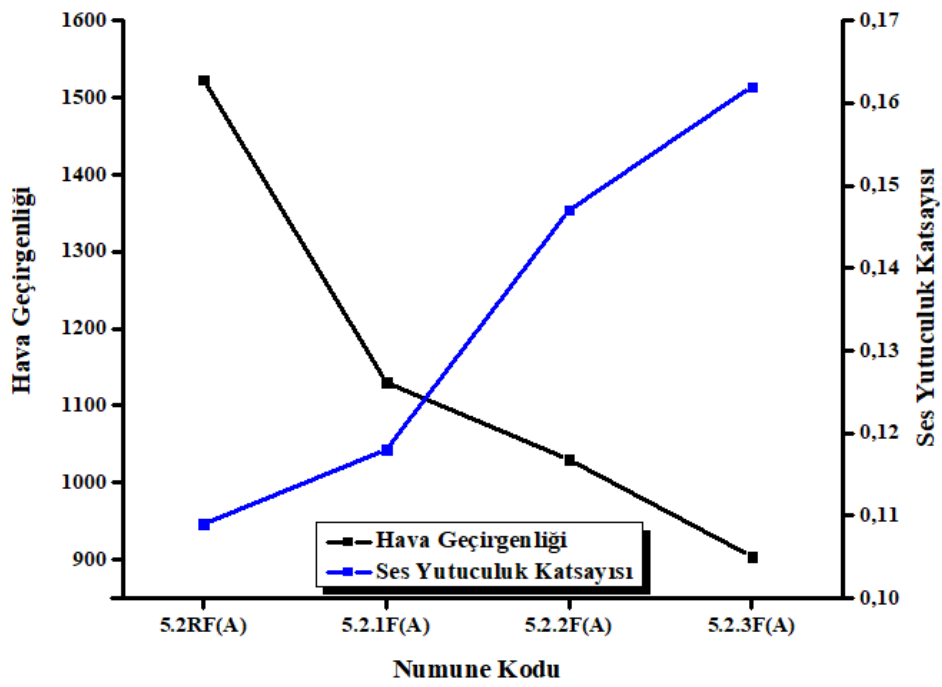


**Şekil 4.95.** 4/2 dış/İç ekstrüder besleme oranında üretilen bikomponent ipliklerden üretilen yüzeylerin ses yutuculuk katsayıları sonuçları

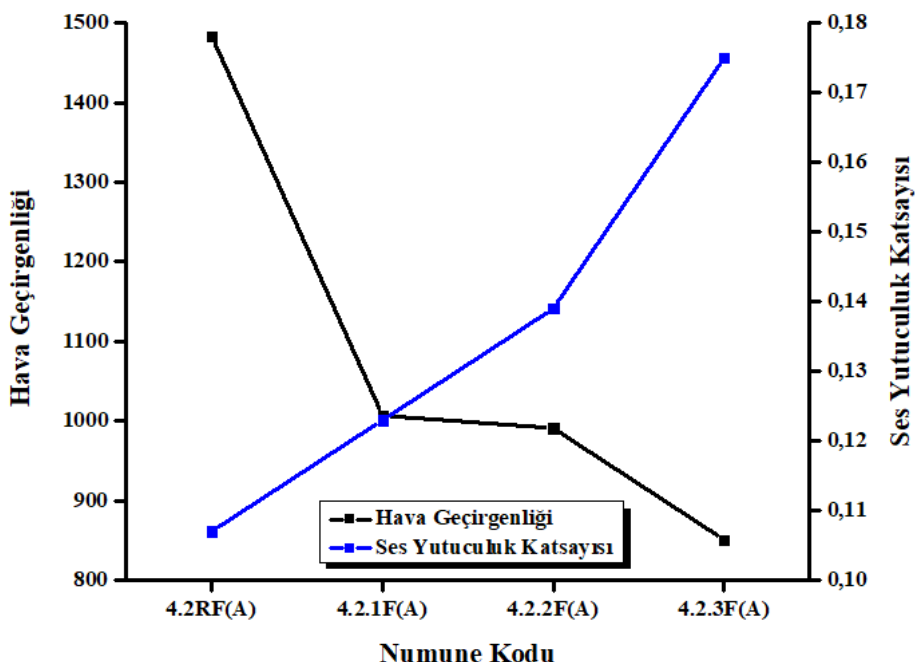
Hava geçirgenlik özelliği dolaylı olarak ses yalıtım özelliklerini de etkilemektedir. Kumaş yapısında daha kalın numarada iplik kullanıldığında kumaş gözenekleri küçülmekte ve hava geçirgenlik değerleri buna bağlı olarak azalmaktadır ve neticede daha yüksek ses yumur katsayıları elde edilmektedir. (Süvari, 2020). Şekil 4.96, 4.97 ve 4.98 ‘de hava geçirgenliği değerleri ile en yüksek frekanstaki ses yumur katsayıları arasındaki ilişki incelenmiştir. Beklenildiği şekilde hava geçirgenliği azaldıkça ses yumur katsayıları değerleri artmıştır.



**Şekil 4.96.** 5/1 dış/iç ekstrüder besleme oranında üretilen bikomponent ipliklerden üretilen yüzeylerin hava geçirgenliği ile ses yutuculuk katsayıları arasındaki ilişki



**Şekil 4.97.** 5/2 dış/iç ekstrüder besleme oranında üretilen bikomponent ipliklerden üretilen yüzeylerin hava geçirgenliği ile ses yutuculuk katsayıları arasındaki ilişki



**Şekil 4.98.** 4/2 dış/İç ekstrüder besleme oranında üretilen bikomponent ipliklerden üretilen yüzeylerin hava geçirgenliği ile ses yutuculuk katsayıları arasındaki ilişki

İyi akustik özellikleri elde etmek için malzemelerin gözenekli yapıda olması gereklidir (Berardi ve Iannace, 2015). Literatürden elde edilen bilgiler ışığında da gözenekli yapıları nedeniyle köpük polimerlerden ses yutum uygulamalarında yararlanıldığı bilinmektedir (Atiénzar-Navarro, Del Rey, Alba, Sánchez-Morcillo ve Picó, 2020; Azahari, Rus, Kormin ve Zaliran, 2017; Tongtong, Shuming, Wenbo, Yebin ve Jiang, 2019). Bu çalışmaların çoğunda köpük polimer yapısına belli oranlarda lif katkısı ile ya da kumaş yapılarının entegre edilmesiyle ses yalıtım özellikleri iyileştirilmeye çalışılmıştır. Saf köpük yapısına tekstil malzemeleri (lif, iplik, kumaş) belli oranlarda dahil edildiği için ve tekstil malzemeleri de gözenekli yapılarından dolayı total gözenekliliğe olumlu katkı sağladığı için literatürde daha yüksek ses yutuculuk katsayıları değerlerine ulaşılmıştır. Bu çalışmada ise düşük yoğunluklu polietilen köpük gözenekli yapısı nedeniyle bikomponent lif içerisinde gözenekli yapı oluşturmuş ve artan katkı oranı ile birlikte de ses yutuculuk katsayısında en yüksek %64 oranında iyileşme sağlamıştır.

## **5. SONUÇ**

Bu tez çalışmasında birçok sektörde geniş kullanım alanına sahip düşük yoğunluklu polietilen köpük polimerinin tekstil sektöründe sentetik iplik üretiminde kullanılabilirliği ve bu ipliklerden üretilen örme kumaşların yalıtm özellikleri ilk kez araştırılmıştır.

Bu amaçla sentetik iplik üretiminde pek çok avantaj sağlayan eriyikten çekim bikomponent iplik üretimi ile köpük polietilen katkılı bikomponent iplikler üretilmiştir. İç içe bikomponent lif üretim tekniği kullanılarak %1, 2 ve 3 olmak üzere üç farklı katkı oranında köpük polimer iç yapıda kullanılmıştır. Üretilen bikomponent ipliklerin iplik numarası, mukavemet, uzama gibi fiziksel özellikleri test edilmiş, yüzey ve iç yapı görünümleri optik mikroskop ve taramalı elektron mikroskopu (SEM) ile incelenmiş, diferansiyel taramalı kalorimetre (DSC) analizi ile termal davranışları değerlendirilmiştir. Bikomponent ipliklerden örme kumaş yüzeyleri elde edilmiş, bu kumaşların fiziksel özelliklerinin (sıklık, kalınlık, gramaj, hava geçirgenliği) yanı sıra termal iletkenlik katsayısı ve ses yutuculuk özellikleri incelenmiştir. Test sonuçlarının etkisi aynı zamanda istatiksel olarak da değerlendirilmiş, varyans analizi ve SNK (Student-Newman Keuls) testi uygulanmıştır.

Çalışma sonuçlarından köpük polietilen polimerinin bikomponent iplik üretiminde katkı olarak kullanılabileceği sonucuna varılmıştır. Katkılı bikomponent ipliklerin mekanik özelliklerinde bir miktar azalma olsa da bu beklenen bir sonuçtur. Mikroskopik incelemelerde iplik yapısının düzgün ve homojen bir şekilde elde edildiği görülmektedir. Bikomponent ipliklerden üretilen örme yüzeylerin termal iletkenlik katsayıları artan katkı oranı ile düşüş göstermiş ve üretilen kumaşlar ilgili standarda göre termal yalıtm malzemesi olarak kullanılabilecek durumdadır. Ses yutum katsayıları da değerlendirildiğinde köpük polimer ilavesinin akustik özellikleri iyileştirdiği görülmüştür. Düşük yoğunluklu polietilen köpüğün sağladığı pek çok avantaj ve bu çalışmada da vermiş olduğu olumlu sonuçlar nedeniyle termal ve akustik izolasyon sağlayan tekstil uygulamalarında umut vadeden bir malzeme olduğu sonucuna varılmıştır.

## KAYNAKLAR

- Abdelfattah, A., Ghalia, E. I. ve Eman, R. M. (2011).** Using nonwoven hollow fibers to improve cars interior acoustic properties. *Life Science Journal*, 8(1), 344-351.
- Abreu, M. J., Catarino, A. ve Tama, D. (2018).** Evaluating the effect of fabric type on thermal insulation properties of sports clothing. In *IOP Conference Series: Materials Science and Engineering*, 460(1), 012005. Doi: 10.1088/1757-899X/460/1/012005.
- Afzal, A., Ahmad, S., Rasheed, A., Ahmad, F., Iftikhar, F. ve Nawab, Y. (2017).** Influence of fabric parameters on thermal comfort performance of double layer knitted interlock fabrics. *Autex Research Journal*, 17(1), 20-26. Doi: 10.1515/aut-2015-0037
- Al Jahwari, F., Huang, Y., Naguib, H. E. ve Lo, J. (2016).** Relation of impact strength to the microstructure of functionally graded porous structures of acrylonitrile butadiene styrene (ABS) foamed by thermally activated microspheres. *Polymer*, 98, 270-281. Doi: 10.1016/j.polymer.2016.06.045
- Al-Homoud, M. S. (2005).** Performance characteristics and practical applications of common building thermal insulation materials. *Building and environment*, 40(3), 353-366. Doi: 10.1016/j.buildenv.2004.05.013
- Alvarez-Lainez, M., Rodriguez-Perez, M. A. ve De Saja, J. A. (2008).** Thermal conductivity of open-cell polyolefin foams. *Journal of Polymer Science Part B: Polymer Physics*, 46(2), 212-221. Doi: 10.1002/polb.21358
- Álvarez-Láinez, M., Rodríguez-Pérez, M. A. ve de Saja, J. A. (2014).** Acoustic absorption coefficient of open-cell polyolefin-based foams. *Materials Letters*, 121, 26-30. Doi: 10.1016/j.matlet.2014.01.061
- Anonim (2017).** Erişim adresi: <http://batisove.org/pdf/r17.pdf>
- Asdrubali, F., D'Alessandro, F. ve Schiavoni, S. (2015).** A review of unconventional sustainable building insulation materials. *Sustainable Materials and Technologies*, 4, 1-17. Doi: 10.1016/j.susmat.2015.05.002
- Atiénzar-Navarro, R., Bonet-Aracil, M. A. R. I. L. É. S., Gisbert-Payá, J., del Rey, R. ve Picó, R. (2020).** Sound absorption of textile fabrics doped with microcapsules. *Applied Acoustics*, 164, 107285. Doi: 10.1016/j.apacoust.2020.107285
- Atiénzar-Navarro, R., Del Rey, R., Alba, J., Sánchez-Morcillo, V. J. ve Picó, R. (2020).** Sound Absorption Properties of Perforated Recycled Polyurethane Foams Reinforced with Woven Fabric. *Polymers*, 12(2), 401. Doi: 10.3390/polym12020401
- Azahari, M. S. M., Rus, A. Z. M., Kormin, S. ve Zaliran, M. T. (2017).** Acoustic properties of polymer foam composites blended with different percentage loadings of natural fiber. In *IOP Conference Series: Materials Science and Engineering*, 244(1) 012009. Doi: 10.1088/1757-899X/244/1/012009

**Azdast, T. ve Hasanzadeh, R. (2018).** Tensile and morphological properties of microcellular polymeric nanocomposite foams reinforced with multi-walled carbon nanotubes. *International Journal of Engineering*, 31(3), 504-510.

**Azmi, M. A. (2012).** Rigid polyurethane foam reinforced coconut coir fiber properties. *International Journal of Integrated Engineering*, 4(1).

**Barbosa, R. C. N., Campilho, R. D. S. G. ve Silva, F. J. G. (2018).** Injection mold design for a plastic component with blowing agent. *Procedia Manufacturing*, 17, 774-782. Doi: 10.1016/j.promfg.2018.10.128

**Basner, M., Babisch, W., Davis, A., Brink, M., Clark, C., Janssen, S. ve Stansfeld, S. (2014).** Auditory and non-auditory effects of noise on health. *The lancet*, 383(9925), 1325-1332. Doi: 10.1016/S0140-6736(13)61613-X

**Berardi, U. ve Iannace, G. (2015).** Acoustic characterization of natural fibers for sound absorption applications. *Building and Environment*, 94, 840-852. Doi: 10.1016/j.buildenv.2015.05.029

**Berardi, U., & Iannace, G. (2017).** Predicting the sound absorption of natural materials: Best-fit inverse laws for the acoustic impedance and the propagation constant. *Applied Acoustics*, 115, 131-138. Doi: 10.1016/j.apacoust.2016.08.012

**Bergstrom, J.C. ve Randall, A. (2016).** *Resource economics: an economic approach to natural resource and environmental policy*. Yer: Edward Elgar Publishing.

**Bicomponent Fibers (2018).** Erişim adresi: <http://www.engr.utk.edu/mse/Textiles/Bicomponent%20fibers.htm>

**Binaların Isı Yalıtımı (2016).** Erişim adresi: [www.mmoizmir.org](http://www.mmoizmir.org)

**Black, F. (1986).** Noise. *The journal of finance*, 41(3), 528-543. Doi: 10.1111/j.1540-6261.1986.tb04513.x

**Bozdoğan, F (2009).** *Fiziksel Tekstil Muayeneleri (Kumaş Testleri)*. Yer: E.Ü Tekstil ve Konfeksiyon Araştırma-Uygulama Merkezi Yayıncı.

**Cai, M., He, H., Zhang, X., Yan, X., Li, J., Chen, F., Yuan, D. ve Ning, X. (2019).** Efficient synthesis of PVDF/PI side-by-side bicomponent nanofiber membrane with enhanced mechanical strength and good thermal stability. *Nanomaterials*, 9(1), 39. Doi: 10.3390/nano9010039

**Canbolat, Ş. (2013).** *Termal ve akustik izolasyon sağlayan duvar kumaşı eldesi* (Yüksek lisans tezi) <https://acikerisim.uludag.edu.tr/handle/11452/6429> veri tabanından erişildi.

**Celen, R. ve Ulcay, Y. (2019).** Investigating electromagnetic shielding effectiveness of knitted fabrics made by barium titanate/polyester bicomponent yarn. *Journal of*

**Celen, R. ve Ulcay, Y.** Investigation of electromagnetic shielding and solar properties of woven fabrics made by barium titanate/polyester bicomponent yarns. *Tekstil ve Konfeksiyon*, 30(4), 251-261. Doi: 10.32710/tekstilvekonfeksiyon.633386

**Chang-Dong Patrick L. (2006).** *Extrusion processing of low-bulk density, microcellular, open-cell thermoplastic foams.* (PhD Thesis). Department of Mechanical and Industrial Engineering, University of Toronto.

**Chen, Y., Yuan, F., Su, Q., Yu, C., Zhang, K., Luo, P., Hu, D. ve Guo, Y. (2020).** A novel sound absorbing material comprising discarded luffa scraps and polyester fibers. *Journal of Cleaner Production*, 245, 118917. Doi: 10.1016/j.jclepro.2019.118917

**Choi, Y. B. ve Kim, S. Y. (1999).** Effects of interface on the dynamic mechanical properties of PET/nylon 6 bicomponent fibers. *Journal of applied polymer science*, 74(8), 2083-2093.

Doi:10.1002/(SICI)1097-4628(19991121)74:8<2083::AID APP25>3.0.CO;2-G

**Crone, T. (1956).** *Architectural Construction, Second Edition*, Yer: Wiley, New York.

**Dai, Z., Su, J., Zhu, X., Xu, K., Zhu, J., Huang, C. ve Ke, Q. (2018).** Multifunctional polyethylene (PE)/polypropylene (PP) bicomponent fiber filter with anchored nanocrystalline MnO<sub>2</sub> for effective air purification. *Journal of Materials Chemistry A*, 6(30), 14856-14866. Doi: 10.1039/C8TA03683G

**Dasdemir, M., Maze, B., Anantharamaiah, N. ve Pourdeyhimi, B. (2012).** Influence of polymer type, composition, and interface on the structural and mechanical properties of core/sheath type bicomponent nonwoven fibers. *Journal of Materials Science*, 47(16), 5955-5969. Doi: 10.1007/s10853-012-6499-7

**Dasdemir, M., Maze, B., Anantharamaiah, N. ve Pourdeyhimi, B. (2011).** Formation of novel thermoplastic composites using bicomponent nonwovens as a precursor. *Journal of Materials Science*, 46(10), 3269-3281. Doi: 10.1007/s10853-010-5214-9

**Dayıoğlu, H ve Karakaş H. (2007).** *Elyaf Bilgisi*. Yer: Ajans Plaza Tanıtım ve İletişim Hizmetleri Ltd. Şti. İstanbul.

**Demir, H., Sipahioğlu, M., Balköse, D. ve Ülkü, S. (2008).** Effect of additives on flexible PVC foam formation. *journal of materials processing technology*, 195(1-3), 144-153. Doi: 10.1016/j.jmatprotec.2007.04.123

**Demirkale, S. Y. (2007).** *Çevre ve yapı akustiği: mimarlar ve mühendisler için el kitabı*. Yer: Birsen Yayınevi.

**Diamant, R. M. E. (1965).** *Insulation of Buildings. Thermal and Acoustic. [With Plates.]* Yer: Iliffe Books.

**Dillon, B. J. (2005).** *A feasibility study of polypropylene and polypropylene/polyethylene blends for foamed wire and cable jacketing applications.* (Master Thesis). University of Massachusetts Lowell.

**Dilmac, S. ve Keser, N. (2003).** A comparison of new Turkish thermal insulation standard (TS 825), ISO 9164, EN 832 and German regulation. *Energy and Buildings*, 35(2), 161-174. Doi: 10.1016/S0378-7788(02)00020-8

**Eaves, D. E. and Witten, N. (1998).** *Proceedings of SPE Antec '98 Conference*, Atlanta, GA.

**Eaves, D. E. (1998).** *Proceedings of New Plastics '98 Conference*, London, UK.

**Eaves, D. E. (2004).** *Handbook of polymer foams*. Yer: Rapra Technology Ltd. Shrewsbury.

**Ellingham, T., Duddleston, L. ve Turng, L. S. (2017).** Sub-critical gas-assisted processing using CO<sub>2</sub> foaming to enhance the exfoliation of graphene in polypropylene+graphene nanocomposites. *Polymer*, 117, 132-139. Doi: 10.1016/j.polymer.2017.04.028

**Eren, S. ve Ulcay, Y. (2015).** Production of bi-component polyester fibres for EMR (electromagnetic radiation) protection and examining EMR shielding characteristics. *Textile and Apparel*, 25(2), 140-147.

**Eungkee Lee, R., Hasanzadeh, R. ve Azdast, T. (2017).** A multi-criteria decision analysis on injection moulding of polymeric microcellular nanocomposite foams containing multi-walled carbon nanotubes. *Plastics, Rubber and Composites*, 46(4), 155-162. Doi: 10.1080/14658011.2017.1300210

**European Parliament. (2010).** Directive 2010/75/EU of the European Parliament and of the Council of 24 November 2010 on industrial emissions (integrated pollution prevention and control). *Official Journal of the European Union*, L-334.

**Fourn, F. (1995).** *Synthetische Fasern: Herstellung, Maschinen und Apparate, Eigenschaften; Handbuch für Anlagenplanung, Maschinenkonstruktion und Betrieb*; Carl Hanser Verlag: Munich, Germany.

**Fourné, F. ve Hergeth, H.H. (1999).** *Synthetic fibers: Machines and equipment, manufacture, properties*. Yer: Munich: Hanser.

**Gautam, R., Bassi, A. S. ve Yanful, E. K. (2007).** A review of biodegradation of synthetic plastic and foams. *Applied biochemistry and biotechnology*, 141(1), 85-108. Doi: 10.1007/s12010-007-9212-6

**Glauß, B., Steinmann, W., Walter, S., Beckers, M., Seide, G., Gries, T. ve Roth, G. (2013).** Spinnability and characteristics of polyvinylidene fluoride (PVDF)-based

bicomponent fibers with a carbon nanotube (CNT) modified polypropylene core for piezoelectric applications. *Materials*, 6(7), 2642-2661. Doi: 10.3390/ma6072642

**Goines, L. ve Hagler, L. (2007).** Noise pollution: a modern plague. *Southern Medical Journal*, 100(3), 287-94.

**Gunesoglu, S., Meric, B. ve Gunesoglu, C. (2005).** Thermal contact properties of 2-yarn fleece knitted fabrics. *Fibres and Textiles in Eastern Europe*, 13(2), 46.

**Gürdal, E. (1998).** Yalıtım Malzemelerinin Yangın Güvenliğine Etkisi, *Yapı Dergisi*, 79, 47-49.

**Hadded, A., Benloufa, S., Fayala, F. ve Jemni, A. (2016).** Thermo physical characterization of recycled textile materials used for building insulating. *Journal of building engineering*, 5, 34-40. Doi: 10.1016/j.jobe.2015.10.007

**Hasanzadeh, R., Azdast, T., Doniavi, A. ve Eungkee Lee, R. (2019).** Thermal-insulation performance of low-density polyethylene (LDPE) foams: Comparison between two radiation thermal conductivity models. *Polyolefins Journal*, 6(1), 13-21. Doi: 10.22063/POJ.2018.2185.1113

**Hes, L. ve Dolezal, I. (2018).** Indirect measurement of moisture absorptivity of functional textile fabrics. In *Journal of Physics: Conference Series*, 1065(12), 122026. Doi: 10.1088/1742-6596/1065/12/122026.

**Hockenberger, A. (2014).** *Tekstil Fiziği*. Yer: Alfa Basım Yayım Dağıtım Ltd. Şti.

**Hu, C. C., Chang, S. S. ve Liang, N. Y. (2018).** Fabrication of antistatic fibers with core/sheath and segmented-pie configurations. *Journal of Industrial Textiles*, 47(5), 569-586. Doi: 10.1177/1528083716665629

**Hufenus, R., Affolter, C., Camenzind, M. ve Reifler, F. A. (2013).** Design and Characterization of a Bicomponent Melt-Spun Fiber Optimized for Artificial Turf Applications. *Macromolecular Materials and Engineering*, 298(6), 653-663. Doi: 10.1002/mame.201200088

**Isı Yalıtımı Sektör Araştırması (2006).** Erişim Adresi: [www.ito.org.tr](http://www.ito.org.tr)

**Isı Yalıtımı ve Faydaları (2017).** Erişim adresi: <https://www.mmo.org.tr>.

**Iwaro, J. ve Mwasha, A. (2010).** A review of building energy regulation and policy for energy conservation in developing countries. *Energy Policy*, 38(12), 7744-7755. Doi: 10.1016/j.enpol.2010.08.027

**İnşaat Teknolojisi Ses Yalıtımı (2017).** Erişim adresi: [www.izoder.org.tr](http://www.izoder.org.tr)

**Jacobs, L. J. M., Danen, K. C. H., Kemmere, M. F. ve Keurentjes, J. T. F. (2007).** A parametric study into the morphology of polystyrene-co-methyl methacrylate foams

using supercritical carbon dioxide as a blowing agent. *Polymer*, 48(13), 3771-3780. Doi: 10.1016/j.polymer.2007.05.002

**Jaffe, M. ve East, A.J. (2007).** *Polyester fibers*. M. Lewin (Ed.), Handbook of Fiber Chemistry. Yer: CRC Press.

**Jawaid, M. H. P. S., & Khalil, H. A. (2011).** Cellulosic/synthetic fibre reinforced polymer hybrid composites: A review. *Carbohydrate polymers*, 86(1), 1-18. Doi: 10.1016/j.carbpol.2011.04.043

**Jayamani, E. ve Hamdan, S. (2013).** Sound absorption coefficients natural fibre reinforced composites. *Advanced Materials Research*, 701, 53-58.

**Jayaraman, K. 2005.** *Acoustical absorptive properties nonwovens*, (MSc Thesis). North Carolina State University, Textile Management and Technology, U.S.A.

**Jin, F. L., Zhao, M., Park, M. ve Park, S. J. (2019).** Recent trends of foaming in polymer processing: A review. *Polymers*, 11(6), 953. Doi: 10.3390/polym11060953

**Jiong S. M. S. (2006).** *Application of nanoparticles in polymeric foams*. (PhD Thesis). Ohio State University.

**Kang, Y., Lee, E., Lee, K., Choi, S. ve Shin, E. (2019).** Acoustic properties of sound-absorbing polyester fabrics woven with thick staple and thin draw textured yarn for use in interior decoration. *The Journal of the Textile Institute*, 110(2), 202-210. Doi: 10.1080/00405000.2018.1508798

**Karaca, E., Omeroglu, S. ve Akcam, O. (2016).** Investigation of the effects of perlite additive on some comfort and acoustical properties of polyester fabrics. *Journal of Applied Polymer Science*, 133(16). Doi: 10.1002/app.43128

**Kawahara, Y., Takarada, W., Yamamoto, M., Kondo, Y., Tashiro, K. ve Kikutani, T. (2020).** Fiber structure, tensile behavior, and antibacterial activity of polylactide/poly (butylene terephthalate) bicomponent fibers produced by high-speed melt-spinning. *Journal of Macromolecular Science, Part B*, 59(7), 440-456. Doi: 10.1080/00222348.2020.1741880

**Keshtkar, M., Nofar, M., Park, C. B. ve Carreau, P. J. (2014).** Extruded PLA/clay nanocomposite foams blown with supercritical CO<sub>2</sub>. *Polymer*, 55(16), 4077-4090. Doi: 10.1016/j.polymer.2014.06.059

**Kılıç, M. ve Yiğit, A. (2008).** *İş Transferi*. Yer: Alfa Basım Yayım Dağıtım Ltd. Şti.

**Küçükali, M. (2010).** *Akustik özellikleri geliştirilmiş örme kumaşlar* (Yüksek lisans tezi), İstanbul Teknik Üniversitesi, Fen Bilimleri Enstitüsü, Tekstil Mühendisliği Anabilim Dalı, İstanbul.

**L.J. Gibson, L. J. ve Ashby, M.F. (1999).** *Cellular Solids*, 2nd Edition, Yer: Cambridge University Press, Cambridge, UK.

**Lee, L. J., Zeng, C., Cao, X., Han, X., Shen, J. ve Xu, G. (2005).** Polymer nanocomposite foams. *Composites science and technology*, 65(15-16), 2344-2363. Doi: 10.1016/j.compscitech.2005.06.016

**Li, D., Chang, D., Liu, B. ve Tian, J. (2014).** Improving sound absorption bandwidth of micro-perforated panel by adding porous materials. *INTER-NOISE and NOISE-CON Congress and Conference Proceedings*, 249(6), 1877-1882.

**Li, H., Zhang, N., Fan, X., Gong, J., Zhang, J. ve Zhao, X. (2020).** Investigation of effective factors of woven structure fabrics for acoustic absorption. *Applied Acoustics*, 161, 107081. Doi: 10.1016/j.apacoust.2019.107081

**Lin, M. F., Don, T. M., Chang, F. T., Huang, S. R. ve Chiu, W. Y. (2016).** Preparation and properties of thermoresponsive and conductive composite fibers with core-sheath structure. *Journal of Polymer Science Part A: Polymer Chemistry*, 54(9), 1299-1307. Doi: 10.1002/pola.27976

**Liu, C., Long, Y., Xie, J. ve Xie, X. (2017).** Towards green polyurethane foams via renewable castor oil-derived polyol and carbon dioxide releasing blowing agents from alkylated polyethylenimines. *Polymer*, 116, 240-250.

Doi: 10.1016/j.polymer.2017.03.079

**Liu, Y., Cheng, B., Wang, N., Kang, W., Zhang, W., Xing, K. ve Yang, W. (2012).** Development and performance study of polypropylene/polyester bicomponent melt-blowns for filtration. *Journal of applied polymer science*, 124(1), 296-301. Doi: 10.1002/app.34861

**Long, Y., An, J. ve Xie, X. (2020).** CO<sub>2</sub>-releasing blowing agents from modified polyethylenimines slightly consume isocyanate groups while foaming polyurethanes. *Arabian Journal of Chemistry*, 13(1), 3226-3235. Doi: 10.1016/j.arabjc.2018.10.007

**Lund, A. ve Hagström, B. (2011).** Melt spinning of β-phase poly (vinylidene fluoride) yarns with and without a conductive core. *Journal of Applied Polymer Science*, 120(2), 1080-1089. Doi: 10.1002/app.33239

**Maleki, B. A. (2011).** Shading: Passive cooling and energy conservation in buildings. *International Journal on Technical and Physical Problems of Engineering (IJTPE)*, 3(4), 72-79.

**Manasoğlu, G. (2014).** *Selüloz tozlarının tekstil kaplamacılığında kullanımı üzerine bir araştırma* (Yüksek lisans tezi).

<https://acikerisim.uludag.edu.tr/bitstream/11452/8469/1/360449.pdf> veri tabanından erişildi.

**Maqsood , M. ve Seide, G. (2019).** Novel bicomponent functional fibers with sheath/core configuration containing intumescent flame-retardants for textile applications. *Materials*, 12(19), 3095. Doi: 10.3390/ma12193095

**Mather, R. R. (2005).** *Synthetic Fibres: Nylon, Polyester, Acrylic, Polyolefin*. Yer: Woodhead Publishing, Cambridge, UK.

**Matusiak, M., & Sikorski, K. (2011).** Influence of the structure of woven fabrics on their thermal insulation properties. *Fibres & Textiles in Eastern Europe*, 19(5), 88.

**Michałowski, S., Prociak, A., Zajchowski, S., Tomaszewska, J. ve Mirowski, J. (2017).** Porous product with reduced apparent density keeps good mechanical properties. Extruded composites of poly (vinyl chloride) blown under microwave irradiation. *Polymer Testing*, 64, 229-234. Doi: 10.1016/j.polymertesting.2017.10.007

**Microfiber (2018).** Erişim adresi:

[http://www.stadsing.com/gfx/brugerupload/documents,WHAT%20IS%20MICROFIBER%20\(BH\).pdf](http://www.stadsing.com/gfx/brugerupload/documents,WHAT%20IS%20MICROFIBER%20(BH).pdf)

**Milenkovic, L., Skundric, P., Sokolovic, R. ve Nikolic, T. (1999).** Comfort properties of defence protective clothing. *The Scientific Journal Facta Universitatis*, 1(4), 101-106.

**Molani, S., Azdast, T., Doniavi, A., Hasanzadeh, R., Moradian, M. ve Mamaghani Shishavan, S. (2018).** A Taguchi analysis on structural properties of polypropylene microcellular nanocomposite foams containing Fe<sub>2</sub>O<sub>3</sub> nanoparticles in batch process. *Plastics, Rubber and Composites*, 47(3), 106-112. Doi: 10.1080/14658011.2018.1441778

**Mukhopadhyay, S. ve Ramakrishnan, G. (2008).** Microfibres. *Textile Progress*, 40(1), 1-86. Doi: 10.1080/00405160801942585

**Nakajima, T., Kajiwara, K. ve McIntyre, J. E. (1994).** *Advanced fiber spinning technology*. Yer: Woodhead Publishing.

**Neğiş, T. (1988).** Binalarda Isı Tecridi ve Isı Yalıtım Malzemeleri, *İnşaat Dergisi*, 3, 20-23.

**Noll, I., Seide, G. ve Gries, T. (2016).** *Enhancing the Efficiency of Diesel Fuel Filters by the Usage of Bicomponent Fibers with Water-guiding Channel*. The Fiber Society Spring Meeting and Technical Conference, Mulhouse, France.

**Notario, B., Ballesteros, A., Pinto, J. ve Rodriguez-Perez, M. A. (2016).** Nanoporous PMMA: A novel system with different acoustic properties. *Materials Letters*, 168, 76-79. Doi: 10.1016/j.matlet.2016.01.037

**Oglakcioglu, N., Celik, P., Ute, T. B., Marmarali, A. ve Kadoglu, H. (2009).** Thermal comfort properties of angora rabbit/cotton fiber blended knitted fabrics. *Textile Research Journal*, 79(10), 888-894. Doi: 10.1177/0040517508099396

**Özkan S. (2001).** *Ses Yalıtım Uygulamaları*. TMMOB Makine Mühendisleri Odası Yalıtım Kongresi, Eskişehir, Türkiye.

**Pakdel, E., Naebe, M., Kashi, S., Cai, Z., Xie, W., Yuen, A. C. Y., Montazer, M., Sun, L ve Wang, X. (2020).** Functional cotton fabric using hollow glass microspheres: Focus on thermal insulation, flame retardancy, UV-protection and acoustic performance. *Progress in Organic Coatings*, 141, 105553. Doi: 10.1016/j.porgcoat.2020.105553

**Palmer, J. (2002).** *Environmental education in the 21st century: Theory, practice, progress, and promise*. Yer: Routledge.

**Papadopoulos, A. M. (2005).** State of the art in thermal insulation materials and aims for future developments. *Energy and buildings*, 37(1), 77-86. Doi: 10.1016/j.enbuild.2004.05.006

**Park, C. B., Behravesh, A. H. ve Venter, R. D. (1998).** Low density microcellular foam processing in extrusion using CO<sub>2</sub>. *Polymer Engineering & Science*, 38(11), 1812-1823. Doi: 10.1002/pen.10351

**Patnaik, A. (2016).** *Materials used for acoustic textiles in Acoustic Textiles*. Yer: Springer, Singapore.

**Peng, J., Walsh, P. J., Sabo, R. C., Turng, L. S. ve Clemons, C. M. (2016).** Water-assisted compounding of cellulose nanocrystals into polyamide 6 for use as a nucleating agent for microcellular foaming. *Polymer*, 84, 158-166. Doi: 10.1016/j.polymer.2015.12.050

**Petlitckaia, S. ve Poulesquen, A. (2019).** Design of lightweight metakaolin based geopolymers foamed with hydrogen peroxide. *Ceramics International*, 45(1), 1322-1330. Doi: 10.1016/j.ceramint.2018.10.021

**Pinto, J., Notario, B., Verdejo, R., Dumon, M., Costeux, S. ve Rodriguez-Perez, M. A. (2017).** Molecular confinement of solid and gaseous phases of self-standing bulk nanoporous polymers inducing enhanced and unexpected physical properties. *Polymer*, 113, 27-33. Doi: 10.1016/j.polymer.2017.02.046

**Pop-Iliev, R. (1999).** *Processing offine-cell polypropylene foams in compounding-based rotational foam molding* (PhD Thesis). University of Toronto.

**Prahsarn, C., Klinsukhon, W., Roungpaisan, N. ve Srisawat, N. (2013).** Self-crimped bicomponent fibers containing polypropylene/ethylene octene copolymer. *Materials Letters*, 91, 232-234. Doi: 10.1016/j.matlet.2012.09.106

**Ranaweera, C. K., Ionescu, M., Bilic, N., Wan, X., Kahol, P. K. ve Gupta, R. K. (2017).** Biobased polyols using thiol-ene chemistry for rigid polyurethane foams with

enhanced flame-retardant properties. *Journal of Renewable Materials*, 5(1), 1-12. Doi: 10.7569/JRM.2017.634105

**Razzaz, Z., Mohebbi, A. ve Rodrigue, D. (2018).** Effect of processing conditions on the cellular morphology of polyethylene hollow fiber foams for membrane applications. *Cellular Polymers*, 37(4-6), 169-188. Doi: 10.1177/0262489318795967

**Roungpaisan, N., Takarada, W. ve Kikutani, T. (2019).** High-speed melt spinning of sheath/core bicomponent fibers of poly (L-lactide)s with different molecular weight. *AIP Conference Proceedings*, 2065(1), 030030. Doi: 10.1063/1.5088288

**Rüttinger, L. ve Feil, M. (2010).** Sustainable prevention of resource conflicts: New risks from raw materials for the future? Case study and scenarios for China and rare Earths. Erişim adresi: [http://www.adelphi.de/files/de/news/application/pdf/rohkon\\_report\\_3.4\\_china.pdf](http://www.adelphi.de/files/de/news/application/pdf/rohkon_report_3.4_china.pdf)

**Singh, S.N. (2002).** Blowing Agents for Polyurethane Foams, *Rapra Review Report*, 12(10), Rapra Technology, Shawbury, UK.

**Sadik, T., Pillon, C., Carrot, C. ve Ruiz, J. A. R. (2018).** Dsc studies on the decomposition of chemical blowing agents based on citric acid and sodium bicarbonate. *Thermochimica Acta*, 659, 74-81. Doi: 10.1016/j.tca.2017.11.007

**Sauceau, M., Nikitine, C., Rodier, E. ve Fages, J. (2007).** Effect of supercritical carbon dioxide on polystyrene extrusion. *The Journal of Supercritical Fluids*, 43(2), 367-373. Doi: 10.1016/j.supflu.2007.05.014

**Schuetz, M. A. ve Glicksman, L. R. (1984).** A basic study of heat transfer through foam insulation. *Journal of Cellular Plastics*, 20(2), 114-121. Doi: 10.1177/0021955X8402000203

**Seddeq, H. S. (2009).** Factors influencing acoustic performance of sound absorptive materials. *Australian Journal of Basic and Applied Sciences*, 3(4), 4610-4617.

**Ses Yalıtımı. (2017).** Erişim adresi: [http://eng.harran.edu.tr/~ihilali/ses\\_yalitim.pdf](http://eng.harran.edu.tr/~ihilali/ses_yalitim.pdf)

**Sibanda, M., Focke, W., Braack, L., Leuteritz, A., Brünig, H., Tran, N. H. A., Wieczorek, F. ve Trümper, W. (2018).** Bicomponent fibres for controlled release of volatile mosquito repellents. *Materials Science and Engineering: C*, 91, 754-761. Doi: 10.1016/j.msec.2018.06.016

**Silva, G. M. ve Magalhaes, M. D. C. (2008).** Acoustical properties of vegetal fibers used on multilayered materials. *한국소음진동공학회 국제학술발표논문집*, 1835-1841.

**Sivertsen, K. (2007).** *Polymer Foams*. Erişim adresi: [https://ocw.mit.edu/.../3...polymer.../polymer\\_foams.pdf](https://ocw.mit.edu/.../3...polymer.../polymer_foams.pdf).

**Smith, D. S., Alzina, A., Bourret, J., Nait-Ali, B., Pennec, F., Tessier-Doyen, N., Otsu, K., Matsubara, H., Elser, P. ve. Gonzenbach, U. T. (2013).** Thermal conductivity of porous materials. *Journal of Materials Research*, 28(17), 2260-2272. Doi: 10.1557/jmr.2013.179.

**Soltani, P. ve Zerrebini, M. (2012).** The analysis of acoustical characteristics and sound absorption coefficient of woven fabrics. *Textile Research Journal*, 82(9), 875-882. Doi: 10.1177/0040517511402121

**Song, W., Barber, K. ve Lee, K. Y. (2017).** Heat-induced bubble expansion as a route to increase the porosity of foam-templated bio-based macroporous polymers. *Polymer*, 118, 97-106. Doi: 10.1016/j.polymer.2017.04.058

**Sonnenschein, M.F. (1999).** Hollow fiber microfiltration membranes from poly (ether-ether ketone) (PEEK). *Journal of Applied Polymer Science* 72 (2): 175–181. Doi: 10.1002/(SICI)1097-4628(19990411)72:2<175::AID-APP3>3.0.CO;2-H

**Srivastava V. ve Srivastava R. (2014).** A Review on Manufacturing, Properties and Application of Expanded Polypropylene, *MIT International Journal of Mechanical Engineering*, 4(1), 22–28.

**Stanković, S. B., Popović, D. ve Poparić, G. B. (2008).** Thermal properties of textile fabrics made of natural and regenerated cellulose fibers. *Polymer testing*, 27(1), 41-48. Doi: 10.1016/j.polymertesting.2007.08.003

**Strother, E. F. ve Turner, W. C. (1990).** *Thermal insulation building guide*. Yer: Robert E. Krieger Publishing Company, Florida.

**Suh, K. W., Park, C. P., Maurer, M. J., Tusim, M. H., Genova, R. D., Broos, R. ve Sophiea, D. P. (2000).** Lightweight cellular plastics. *Advanced Materials*, 12(23), 1779-1789. Doi: 10.1002/1521-4095(200012)12:23<1779::AID-ADMA1779>3.0.CO;2-3

**Suvari, F. (2020).** Örtme Faktörü ve Gözeneklilik Parametrelerinin Dokuma Kumaşlarının Ses Yutuculuk Davranışına Etkilerinin İncelenmesi. *Uludag University Journal of The Faculty of Engineering*, 25(2), 665-678. Doi: 10.17482/uumfd.716590

**Suvari, F. ve Dulek, Y. (2019).** Investigating the effect of raising on the sound absorption behavior of polyester woven fabrics. *Textile Research Journal*, 89(23-24), 5119-5129. Doi: 10.1177/0040517519848161

**Suvari, F., Ulcay, Y. ve Pourdeyhimi, B. (2019).** Influence of sea polymer removal on sound absorption behavior of islands-in-the-sea spunbonded nonwovens. *Textile Research Journal*, 89(12), 2444-2455. Doi: 10.1177/0040517518797332

**Suvari, F., Ulcay, Y. ve Pourdeyhimi, B. (2016).** Sound absorption analysis of thermally bonded high-loft nonwovens. *Textile Research Journal*, 86(8), 837-847. Doi: 10.1177/0040517515590412

**Suvari, F., Ulcay, Y., Maze, B. ve Pourdeyhimi, B. (2013).** Acoustical absorptive properties of spunbonded nonwovens made from islands-in-the-sea bicomponent filaments. *Journal of the Textile Institute*, 104(4), 438-445. Doi: 10.1080/00405000.2012.740330

**Pontiff, T. (2000).** *Foam Extrusion*. S-T. Lee (Ed.), Principles and Practices (s.251) Yer: Technomic Publishing, Lancaster, PA, USA.

**Taban, E., Mortazavi, S. B., Vosoughi, S., Khavanin, A ve Asilian Mahabadi, H. (2017).** Noise exposure effects on blood glucose, cortisol, and weight changes in the male mice. *Health Scope*, 6(2). Doi: 10.5812/jhealthscope.36108

**Takematsu, M. M., Diniz, M. F., Mattos, E. D. C. ve Dutra, R. D. C. L. (2018).** Sheath-core bicomponent fiber characterization by FT-IR and other analytical methodologies. *Polímeros*, 28, 339-347. Doi: 10.1590/0104-1428.09016

**Talebi, Z., Soltani, P., Habibi, N. ve Latifi, F. (2019).** Silica aerogel/polyester blankets for efficient sound absorption in buildings. *Construction and Building Materials*, 220, 76-89. Doi: 10.1016/j.conbuildmat.2019.06.031

**Tang, X., Zhang, X., Zhuang, X., Zhang, H. ve Yan, X. (2018).** Acoustical analysis of corduroy fabric for sound absorption: Experiments and simulations. *Journal of Industrial Textiles*, 48(1), 201-220. Doi: 10.1177/1528083717725912

**Tascan, M. ve Vaughn, E. A. (2008).** Effects of fiber denier, fiber cross-sectional shape and fabric density on acoustical behavior of vertically lapped nonwoven fabrics. *Journal of Engineered Fibers and Fabrics*, 3(2), 155892500800300206. Doi: 10.1177/155892500800300206

**Tomioka, S. ve Kojima, M. (1979).** Spinnability and adhesiveness of polypropylene-polyethylene bicomponent fibers. *Sen'i Gakkaishi*, 35(12), T542-T547. Doi: 10.2115/fiber.35.12\_T542

**Tongtong, Z. H. U., Shuming, C. H. E. N., Wenbo, Z. H. U., Yebin, W. A. N. G. ve Jiang, Y. (2019).** Sound absorption property of polyurethane foam with polyethylene fiber. *Materials Science*, 25(1), 85-89. Doi: 10.5755/j01.ms.25.1.19720

**Toydemir, N., Gürdal, E., Tanaçan, L., Özkal, S., Doymuş, N. ve Ciravoglu, Ö. (2000).** *Yapı elemanı tasarımında malzeme*. Yer: Literatür yayınları.

**Ülker, S. (2009).** *İşı Yalıtım Malzemelerinin Özelliklerinin Uygulamaya Etkileri* (Doktora Tezi). İstanbul Teknik Üniversitesi, Fen Bilimleri Enstitüsü, Mimarlık Anabilim Dalı, İstanbul.

**Ünal, H. Ve Yetgin, S. H. (2011).** *Enjeksiyonla Kalıplama Yöntemiyle Üretilen PP Köpük Malzeme Özelliklerine Kimyasal Köpük Ajanının Etkisinin İncelenmesi*. 6th International Advanced Technologies Symposium (IATS'11), Elazığ, Turkey.

**Van Amber, R. R., Wilson, C. A., Laing, R. M., Lowe, B. J. ve Niven, B. E. (2015).** Thermal and moisture transfer properties of sock fabrics differing in fiber type, yarn, and fabric structure. *Textile Research Journal*, 85(12), 1269-1280. Doi: 10.1177/0040517514561926

**Van Do, C., Nguyen, T. T. T. ve Park, J. S. (2012).** Fabrication of polyethylene glycol/polyvinylidene fluoride core/shell nanofibers via melt electrospinning and their characteristics. *Solar energy materials and solar cells*, 104, 131-139. Doi: 10.1016/j.solmat.2012.04.029

**Verdejo, R., Stämpfli, R., Alvarez-Lainez, M., Mourad, S., Rodriguez-Perez, M. A., Brühwiler, P. A. ve Shaffer, M. (2009).** Enhanced acoustic damping in flexible polyurethane foams filled with carbon nanotubes. *Composites Science and Technology*, 69(10), 1564-1569. Doi: 10.1016/j.compscitech.2008.07.003

**Wang, G., Zhao, G., Zhang, L., Mu, Y. ve Park, C. B. (2018).** Lightweight and tough nanocellular PP/PTFE nanocomposite foams with defect-free surfaces obtained using in situ nanofibrillation and nanocellular injection molding. *Chemical Engineering Journal*, 350, 1-11. Doi: 10.1016/j.cej.2018.05.161

**Wang, L., Hikima, Y., Ishihara, S. ve Ohshima, M. (2017).** Fabrication of lightweight microcellular foams in injection-molded polypropylene using the synergy of long-chain branches and crystal nucleating agents. *Polymer*, 128, 119-127. Doi: 10.1016/j.polymer.2017.09.025

**Wang, M., Yu, B., Han, J., Song, W. ve Zhu, F. (2017).** The influence of drawing pressure on the properties of PET/PA6 bicomponent spunbonded fibers. *Journal of Industrial Textiles*, 46(5), 1281-1293. Doi: 10.1177/1528083715627162

**Wicklein, B., Kocjan, A., Salazar-Alvarez, G., Carosio, F., Camino, G., Antonietti, M. ve Bergström, L. (2015).** Thermally insulating and fire-retardant lightweight anisotropic foams based on nanocellulose and graphene oxide. *Nature nanotechnology*, 10(3), 277-283. Doi: 10.1038/nnano.2014.248

**Wu, H., Zhao, G., Wang, G., Zhang, W. ve Li, Y. (2018).** A new core-back foam injection molding method with chemical blowing agents. *Materials & Design*, 144, 331-342. Doi: 10.1016/j.matdes.2018.02.043

**Wu, L., Ban, J., Jiang, Q., Li, T. T., Shiu, B. C., Huang, S. Y., Lou, C. W. ve Lin, J. H. (2019).** Polyethylene Terephthalate/Carbon Fabric/Polyurethane Foam Sandwich Composites: Flame Retardance and Mechanical Properties. *Fibers and Polymers*, 20(6), 1277-1283. Doi: 10.1007/s12221-019-8590-z

**Xie, P., Wu, G., Cao, Z., Han, Z., Zhang, Y., An, Y. ve Yang, W. (2018).** Effect of mold opening process on microporous structure and properties of microcellular polylactide-polylactide nanocomposites. *Polymers*, 10(5), 554. Doi: 10.3390/polym10050554

**Xue, B., Deng, J. ve Zhang, J. (2016).** Multiporous open-cell poly (vinyl formal) foams for sound absorption. *RSC advances*, 6(9), 7653-7660. Doi: 10.1039/C5RA23285F

**Yan, Y., Iqbal, A., Wu, C., Wang, Y., Li, G. ve Qi, R. (2020).** Electrical conductivity of carbon black/single-wall carbon nanotube/low-density polyethylene ternary composite foam. *Journal of Applied Polymer Science*, 137(7), 48382. Doi: 10.1002/app.48382

**Yang, H., Wang, Z., Liu, Z., Cheng, H. ve Li, C. (2019).** Continuous, strong, porous silk firoin-based aerogel fibers toward textile thermal insulation. *Polymers*, 11(11), 1899. Doi: 10.3390/polym11111899

**Yang, W. ve Moon, H. J. (2019).** Combined effects of acoustic, thermal, and illumination conditions on the comfort of discrete senses and overall indoor environment. *Building and Environment*, 148, 623-633. Doi: 10.1016/j.buildenv.2018.11.040

**Yang, Y., Gupta, M. C., Dudley, K. L. ve Lawrence, R. W. (2005).** Conductive carbon nanofiber–polymer foam structures. *Advanced materials*, 17(16), 1999-2003. Doi: 10.1002/adma.200500615

**Yapılarda Isı Yalıtımı ve Isı Yalıtım Malzemeleri (2017).** Erişim adresi: [www.imo.org.tr](http://www.imo.org.tr)

**Yetgin S. H. Ve Ünal H. (2008).** Polimer Esası Köpük Malzemeler. *Dumlupınar Üniversitesi Fen Bilimleri Enstitüsü Dergisi*, 17.

**Yıldırım, K. ve Ulcay, Y. (2014).** An experimental study and model development of poly (ethylene terephthalate) yarn morphology. *e-Polymers*, 14(2), 121-131. Doi: 10.1515/epoly-2013-0068

**Yılmaz, D. N. (2009).** *Acoustic properties of biodegradable nonwovens* (PhD Thesis). North Carolina State University, Textile Management and Technology, U.S.A.

**Zhang, X., Chen, J. ve Zeng, Y. (2020).** Morphology development of helical structure in bicomponent fibers during spinning process. *Polymer*, 201, 122609. Doi: 10.1016/j.polymer.2020.122609

**Zhang, Y., Zhang, C. Z., Liu, F. J., Wang, F. Y ve Wang, P. (2016).** *Research on morphologies of polyvinyl alcohol/milk nanofibers*. Thermal Science, 20(3), 961-966. Doi: 10.2298/TSCI1603961Z

**Zotefoams Cushion Packaging Guide. (2004).** Erişim adresi: <https://www.zotefoams.com>